



معاونت پژوهش و فناوری



پژوهشکده توسعه صنایع شیمیایی ایران

ساخت ابر خازن الکتروشیمیایی بر پایه ترکیبات

نانومتخلل کربنی - (فاز ۱)

پژوهشکده توسعه صنایع شیمیایی

گروه صنایع شیمیایی معدنی

مجری طرح: نورعلی محمدی

فهرست مطالب

عنوان	صفحة
۱-۱ مقدمه‌ای بر وسایل ذخیره انرژی	۲
۱-۲ قواعد پایه‌ای شارژ و دشارژ با جریان ثابت در خازن‌های فیزیکی	۷
۱-۳ وسایل ذخیره انرژی الکتروشیمیایی	۹
۱-۳-۱ تاریخچه و دسته‌بندی	۹
۱-۳-۲ باتری‌ها	۱۲
۱-۳-۳ ابرخازن‌های الکتروشیمیایی	۱۵
۱-۴ پارامترهای کلیدی وسایل ذخیره انرژی	۲۴
۱-۴-۱ پنجره پتانسیلی / ولتاژ سلول	۲۵
۱-۴-۲ ظرفیت	۲۶
۱-۴-۳ مقاومت سری معادل	۲۹
۱-۴-۴ انرژی و توان	۲۹
۱-۴-۵ قابلیت سرعت	۳۰
۱-۴-۶ طول عمر چرخه‌ای / آزمون پایداری	۳۰
۱-۴-۷ بازده کولونی / انرژی / ولتاژ	۳۱
۱-۴-۸ دشارژ خود به خودی و نشت جریان	۳۱
۱-۵ روش‌های ارزیابی پارامترهای کلیدی وسایل ذخیره انرژی	۳۳
۱-۵-۱ ولتا متري چرخه‌اي	۳۳
۱-۵-۲ اندازه‌گيری‌های شارژ و دشارژ گالوانوستاتیک	۳۷
۱-۵-۳ طیف سنجی امپدانس الکتروشیمیایی	۴۲

۱-۶ بررسی ابرخازن‌ها در سیستم دوالکترودی برای استفاده عملی	۴۵
۱-۲ مقدمه	۵۷
۲-۲ مواد الکترودی	۵۹
۲-۲-۱ کاربرد مواد کربنی در ساخت ابرخازن‌های الکتروشیمیایی	۶۰
۲-۲-۲ نانو ساختارهای کربنی مورد استفاده در ساخت ابرخازن‌های الکتروشیمیایی دوگانه	۶۵
۲-۲-۳ نانوساختارهای کربنی مورد استفاده در ساخت ابرخازن‌ها	۷۰
۴-۲-۲ ابرخازنهای هیبریدی بر پایه مواد کربنی	۷۵
۴-۲ چشم اندازی بر ترکیبات کربنی به عنوان ماده الکترودی ابرخازن‌های الکتروشیمیایی	۷۹
۴-۲-۱ اکسیدها / هیدروکسیدهای فلزات واسطه	۸۱
۴-۲-۲ روتنتیوم اکسید (RuO_2)	۸۲
۴-۲-۳ منگنز دی اکسید (MnO_2) برای شبیه خازنها	۸۳
۴-۲-۴ اکسیدها و هیدروکسیدهای کبالت	۸۵
۴-۲-۵ اکسید / هیدروکسید نیکل ($\text{NiO}/\text{Ni(OH)}_2$)	۸۸
۴-۲-۶ قلع اکسید	۹۱
۴-۲-۷ مواد بر پایه اکسیدهای وانادیوم	۹۲
۴-۲ چشم اندازی بر اکسیدهای فلزی واسطه به عنوان ماده الکترودی ابرخازن‌های الکتروشیمیایی	۹۶
۱-۳ مقدمه	۱۲۱
۲-۳ مواد و ترکیبات الکترولیت مورد استفاده در ابرخازنهای الکتروشیمیایی	۱۲۳
۲-۳-۱ الکترولیتهای آبی	۱۲۶
۲-۳-۲ الکترولیتهای آلی	۱۳۵
۲-۳-۳ الکترولیت‌های مایعات یونی	۱۴۹
۲-۳-۴ الکترولیت‌های ژل‌های پلیمری	۱۵۴



پژوهشکده
توسعه صنایع شیمیایی



جمهوری اسلامی ایران

فصل اول

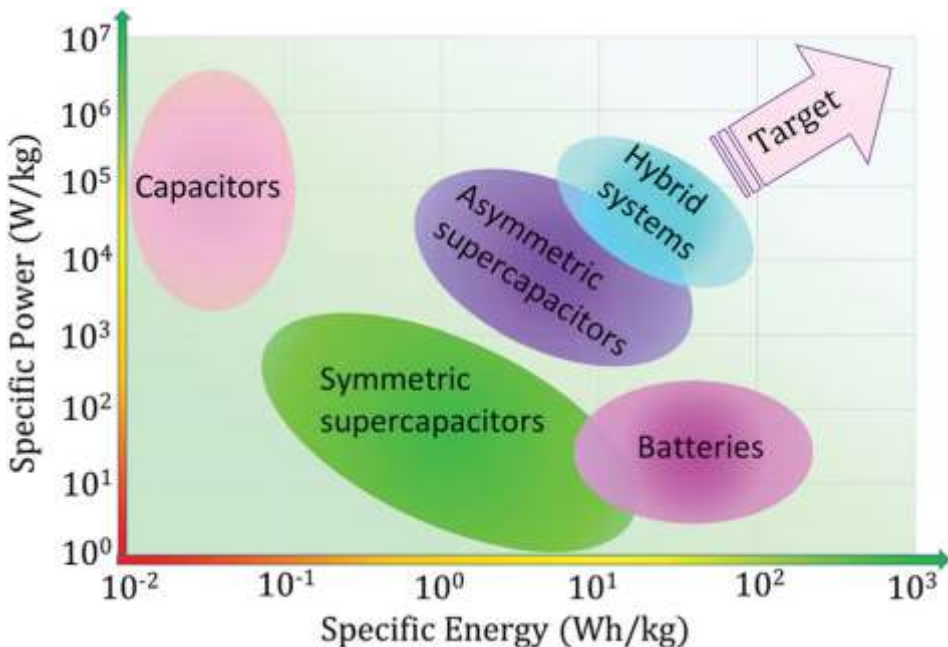
مقدمه ای بر ابرخازن های الکتروشیمیایی به عنوان وسایل ذخیره انرژی

نوظهور

۱-۱ مقدمه‌ای بر وسایل ذخیره انرژی

به دلیل وجود محدودیت‌های عدیده در استفاده از منابع نفتی مانند گرمایش زمین و آلودگی محیط زیست، توجهات فراوانی به سمت منابع تجدیدپذیر انرژی جلب شده است. تغییر منابع سوخت‌های فسیلی به منابع انرژی‌های تجدیدپذیر امکان ذخیره و توزیع ساده‌تر انرژی و حتی تولید همزمان انرژی در محل مصرف به جای انتقال پر هزینه‌ی سوخت‌های فسیلی به جایگاه مصرف، را فراهم می‌آورد. انرژی خورشید، باد و جزر و مد به عنوان منابع اصلی و قابل اتکا انرژی‌های تجدید پذیر مطرح می‌باشند. همچنین تکنولوژی ذخیره انرژی الکتروشیمیایی^۱ (EES) در چند دهه گذشته به عنوان مهم‌ترین منبع ذخیره انرژی معرفی شده است.

باتری‌ها و ابرخازن‌های الکتروشیمیایی از مهم‌ترین وسایل ذخیره انرژی الکتروشیمیایی محسوب می‌شوند. در سالهای گذشته تلاش و تحقیقات زیادی برای توسعه مواد جدید در ساخت وسایل ذخیره انرژی انجام شده است. شکل (۱-۱) نمودار راگون را نشان می‌دهد که در آن انرژی ویژه و توان ویژه برای وسایل ذخیره انرژی مورد مقایسه قرار گرفته است. با بررسی نمودار مشخص می‌شود، هدف اصلی تحقیقات بهینه سازی همزمان انرژی ویژه و توان ویژه می‌باشد [۱].

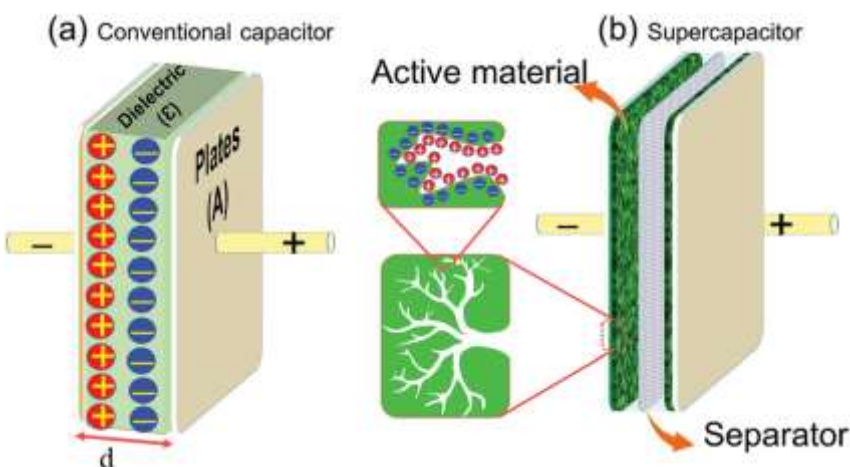


شکل (۱-۱) نمودار راگون که توان ویژه را نسبت به انرژی ویژه برای وسایل ذخیره انرژی گوناگون نشان می‌دهد [۲]. تکنولوژی ذخیره انرژی الکتروشیمیایی بر پایه‌ی نحوه ذخیره انرژی به دسته‌های متفاوتی مثل ذخیره انرژی مکانیکی (چرخ فلک)، تبدیل و ذخیره انرژی شیمیایی (تقسیم آب، پیل سوختی)، ذخیره انرژی شیمیایی حرارتی (ذخیره گرما، همچو شیمیایی هسته ای هیدروژن در خورشید و انرژی حرارتی خورشیدی) و ذخیره انرژی الکتریکی (خازن‌های فیزیکی، خازن‌های لایه دوگانه الکتریکی) و ذخیره انرژی الکتروشیمیایی (شبکه خازن‌ها و باتری‌ها) تقسیم‌بندی می‌شود [۳-۵]. خازن‌ها، ابرخازن‌ها و باتری‌ها به عنوان سه دسته متفاوت از وسایل ذخیره انرژی با برخی شباهت‌ها و تفاوت‌های کلیدی به عنوان سه دسته از تکنولوژی‌های متفاوت با توانایی‌های متفاوت و البته کاربردهای متفاوت بسیار مورد توجه هستند. این تکنولوژی‌ها مکمل یکدیگرند و ترکیب آن‌ها با هم به ویژه ابرخازن‌ها و باتری‌ها می‌توانند ضمانت‌گر تامین نیاز انرژی آینده باشند [۶].

خازن‌های فیزیکی ابتدایی‌ترین و ساده‌ترین شکل وسایل ذخیره انرژی هستند. آن‌ها از دو صفحه‌ی موازی که توسط یک عایق به نام دیالکتریک از یکدیگر جدا شده‌اند تشکیل می‌شوند. (شکل ۱-۲-a) یک صفحه خازن دارای بار مثبت و صفحه دیگر دارای بار منفی است. بنابراین دریک خازن بار به شکل انرژی پتانسیل الکتریکی بین دو صفحه ذخیره می‌شود [۶]. خازن‌های الکتروولیتی به عنوان آخرین مرحله تکامل تکنولوژی خازن‌ها شناخته می‌شوند. در این خازن‌ها ماده دیالکتریک با یک محیط هادی یونی تعویض می‌شود که الکتروولیت نامیده می‌شود. در یک خازن

الکتروولیتی یون‌ها به صورت آزادانه در درون الکتروولیت حرکت می‌کنند و بنابراین دانسیته انرژی بیشتری را فراهم می‌کنند و از این رو ظرفیت خازن‌های الکتروولیتی در محدوده میلی‌فاراد می‌باشد در حالی که خازن‌های دی‌الکتریک ظرفیتی در محدوده میکرو‌فاراد دارند.

ابرخازن‌ها از ماده عایق دی‌الکتریک بین صفحات خود استفاده نمی‌کنند. آن‌ها از دو الکترود تشکیل شده‌اند که توسط یک جدا کننده نفوذ پذیر نسبت به یون (مثل مقوا، سرامیک، شیشه، پلاستیک و کاغذ) جدا شده‌اند. الکترودها در محیط یک الکتروولیت می‌باشند که ارتباط یونی را برقرار می‌کند (شکل ۱-۲) [۶ و ۷].



شکل (۱-۲) شماتیک خازن‌های معمولی (a) و ابرخازن‌ها (b) [۲].

در ابرخازن‌ها بار یا توسط جداسازی در لایه دوگانه هلموتز در حدفاصل بین الکترود و الکتروولیت ذخیره می‌شود (که به این خازن‌ها، خازن‌های لایه دوگانه شیمیایی (الکتروشیمیایی^۱) (EDLC) می‌گویند و یا توسط انتقال فارادیک بار توسط واکنش اکسایش کاهش ذخیره می‌شود (شبه‌خازن‌ها).

باتری‌ها دسته‌ی جذاب دیگری از وسایل ذخیره‌ی انرژی هستند. باتری‌ها از دو الکترود که توسط الکتروولیت از هم جدا شده‌اند تشکیل شده‌اند. هرچند که باتری به طور واقعی انرژی الکتریکی را ذخیره نمی‌کند. باتری‌ها وسایلی هستند که انرژی را در شکل انرژی شیمیایی درون مواد فعال الکترودها از طریق پیوند شیمیایی و تبدیل این انرژی شیمیایی به جریان الکتریسیته مستقیم از طریق واکنش اکسایش کاهش یا از طریق واکنش کمپلکس شدن در

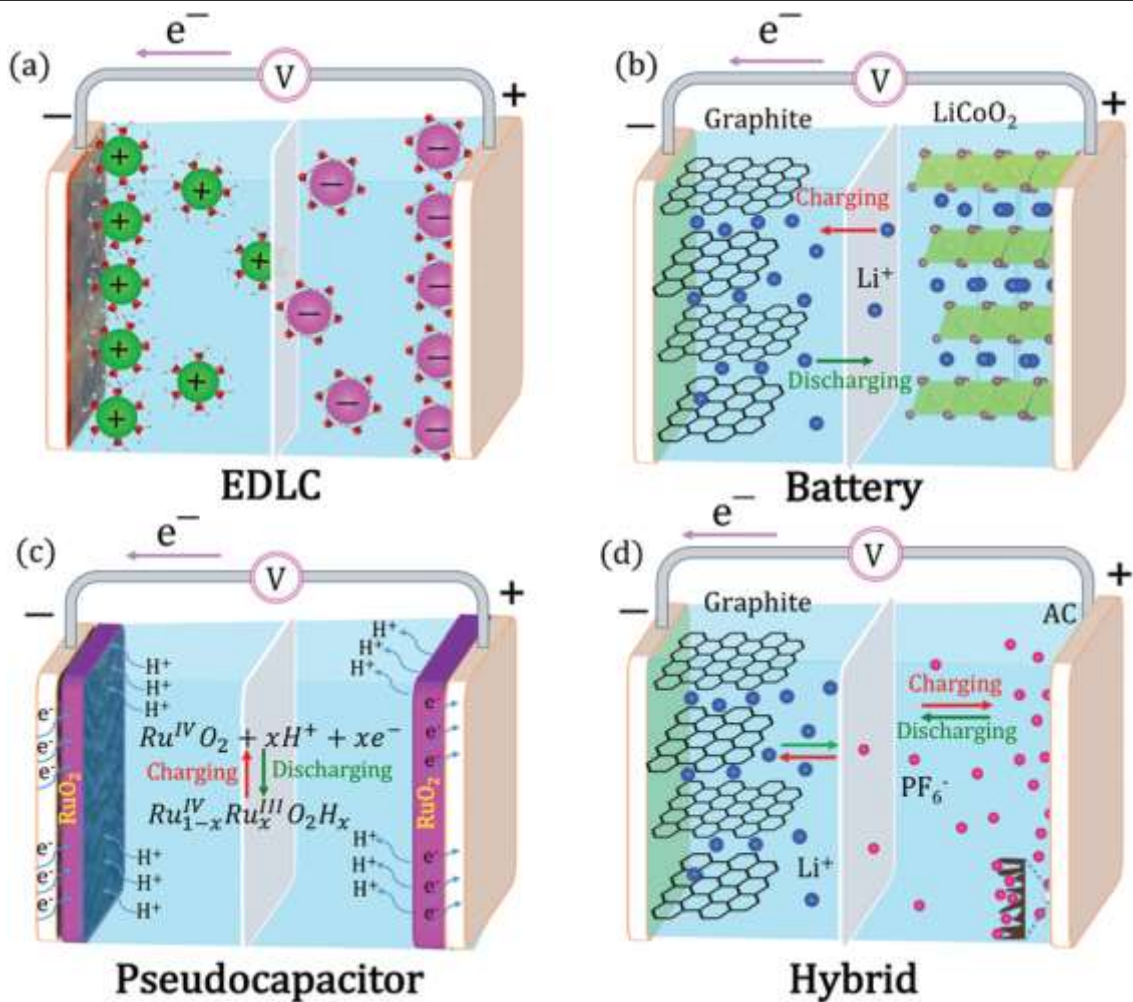
1- Electrochemical Double Layer Capacitor

باتری‌های یون لیتیم ذخیره می‌کنند. در یک باتری انرژی در درون یک ترکیب به خصوص یا ترکیبی که از قطب‌های مثبت و منفی تشکیل شده باشد و به عنوان الکتروولیت شناخته می‌شود ذخیره می‌شود.

با توجه به این دو زمینه تحقیقاتی مهم در حوزه ذخیره انرژی، زمینه‌ی جدیدی پا به عرصه گذاشته است که در آن مواد الکتروودی ابرخازنی با مواد الکتروودی باتری مانند ترکیب می‌شوند و نوع جدیدی از وسایل ذخیره انرژی را به عنوان وسایل هیبریدی به وجود آورده‌اند که با نام (supercapattery (supercapacitor+battery)) شناخته می‌شوند. وسایل ذخیره انرژی هیبریدی دارای دو الکتروود هستند که دریکی مکانیسم ذخیره بار ابرخازنی مشاهده می‌شوند. وسایل ذخیره انرژی هیبریدی دارای دو الکتروود هستند که دریکی مکانیسم ذخیره بار ابرخازنی مشاهده می‌شود و در دیگری مکانیسم ذخیره بار باتری‌ها که الکتروود اول به عنوان منبع توان و الکتروود دوم به عنوان منبع انرژی عمل می‌کند [۷] و [۸].

به طور کلی بار الکتریکی می‌تواند هم در سطح و هم در درون توده‌ی (واکنش فارادی) مواد الکتروفعال ذخیره شود. بنابراین ماده‌ی ایده‌آل برای خازن‌های لایه دوگانه الکتروشیمیایی^۱ ماده‌ای است که دارای بیشترین مساحت سطح فعال و در دسترس باشد. برای مثال در مواد کربنی بار ذخیره شده در حد فاصل بین الکتروود و مواد فعال و الکتروولیت تجمع می‌یابد. در این فرآیند هیچ واکنش فارادی در سطح الکتروود و هیچ واکنش الکتروشیمیایی در درون الکتروولیت اتفاق نمی‌افتد (شکل ۱-۳-a). در باتری‌ها با قابلیت شارژ مجدد مکانیسم ذخیره بار از طریق انجام یک واکنش برگشت پذیر الکتروشیمیایی در سطح الکتروود و درون محلول الکتروولیت انجام می‌پذیرد (شکل ۱-۳-b) بنابراین مواد الکتروودی باید به راحتی اجازه ورود و خروج گونه‌هایی که واکنش اکسایش و احیا را انجام می‌دهند به درون سطح الکتروود را بدهند. ذخیره بار در وسایل شبکه‌خازنی بر اساس انجام واکنش فارادی در سطح الکتروود بدون نفوذ گونه‌ها به درون بالک محلول اتفاق می‌افتد (شکل ۱-۳-c). در این مورد ۱ طول نفوذ می‌باشد که خیلی کوچکتر از ضخامت لایه نفوذ می‌باشد $Dt^{1/2}$ که ۱ طول لایه نفوذ، D ضریب نفوذ و t زمان است. همانطور که از نام وسایل هیبریدی بر می‌آید این وسایل بین ابرخازن‌ها و باتری‌ها هستند و رفتارشان بین‌ابین لایه دوگانه الکتریکی و فرآیند فارادی است (شکل ۱-۳-d).

1- Electrochemical Double Layer Capacitor (EDLC)



شکل(۳-۳) سیستم‌های ذخیره انرژی متفاوت الکتروشیمیایی. (a) خازن لایه دوگانه الکتریکی (b). باتری (c). شبه‌خازن و (d). سیستم هیبریدی [۲].

باید ذکر شود که تفاوت فرآیند ذخیره بار در سیستم‌های خازن‌های لایه دوگانه الکتروشیمیایی و شبه‌خازنی در ماهیت و رفتار خازنی است و پروفایل ولتاژگرام چرخه‌ای^۱ آن‌ها نزدیک مستطیل است و پروفایل شارژ و دشارژ گالوانواستاتیک آن‌ها شبه مثلثی می‌باشد و پیشوند pseudo متفاوت در مکانیسم ذخیره بار را در آن‌ها نشان می‌دهد. به عبارت دیگر ولتاژگرام‌های پیک مانند و پروفایل‌های غیرخطی شارژ و دشارژ مربوط به پروفایل‌های باتری‌ها و وسایل هیبریدی می‌باشد. بنابراین مکانیسم ذخیره بار به سه دسته ۱. ذخیره بار غیر فارادیک خازنی^۲ و ۲.

1- Cyclic Voltammetry (CV)

2- None Faradic Charge storage (CNFs)

ذخیره بار فارادیک خازنی^۱. ذخیره بار فارادیک غیرخازنی(NCFs)^۲ تقسیم می‌شود. معیار درست برای سنجش مکانیسم ذخیره بار خازنی ظرفیت (F) و برای سنجش مکانیسم ذخیره بار فارادیک غیرخازنی ظرفیت بار ویژه (mAh/3.6q) است. بنابراین اگر معیار درست برای اندازه‌گیری مکانیسم ذخیره بار متناسب به کار گرفته شود بسیاری از ظرفیت‌های ویژه‌ی گزارش شده در متون علمی تعجب آور نخواهد بود.

حالا سوال این است که چگونه بین مکانیسم‌های مختلف ذخیره بار تمییز قائل شویم. مکانیسم وسائل خازن لایه دوگانه الکتریکی به طور واضحی با مکانیسم ذخیره بار فارادیک متفاوت است. نکته سردرگم کننده زمانی ایجاد می‌شود که محققان تلاش دارند بین باتری‌ها و شبه‌خازن‌ها تمییز قائل شوند که مکانیسم ذخیره بار در هر دو فارادیک می‌باشد. دو نکته کلیدی برای تشخیص این دو مکانیسم وجود دارد: ۱. تغییر فاز مواد میزبان در باتری‌ها که به صورت ولتاومتری چرخه‌ای پیک دار شده و پروفایل‌های شارژ و دشارژ پهن شده در آمده‌اند در حالی که در مواد شبه‌خازنی ولتاومتری‌های چرخه‌ای یا مستطیلی شکل باقی مانده‌اند و یا پیک‌های آن‌ها بسیار پهن شده‌اند. ۲. سینتیک ذاتی واکنش‌های فارادیکی که واکنش‌های اکسایش کاهش در باتری‌ها هستند تحت کنترل لایه نفوذ هستند (Iav^{0.5}) در حالی که در شبه‌خازن‌ها جریان به طور مستقیم با سرعت روش متناسب می‌باشد (Iav). سیستم‌های ذخیره بار هیبریدی رفتاری بینابین خازن‌ها و باتری‌ها نشان می‌دهند. سهم مشارکت هریک از دسته‌بندی‌هایی که در مکانیسم ذخیره بار ذکر شد توسط تجزیه و تحلیل داده‌های ولتاومتری چرخه‌ای قابل بررسی است [۹ و ۱۰].

۱- قواعد پایه‌ای شارژ و دشارژ با جریان ثابت در خازن‌های فیزیکی

یک خازن انرژی را به صورت بار الکتریکی به روی دو صفحه هادی که توسط یک عایق الکتریسیته از هم جدا شده‌اند ذخیره می‌کند. وقتی که بار الکتریکی (الکترون) از یک صفحه به سمت صفحه دیگر حرکت می‌کند بار مثبت به روی یک صفحه و بار منفی به روی صفحه دیگر القا می‌شود. در گام اول که شارژ نامیده می‌شود الکترون آزادانه از صفحه مثبت به صفحه منفی حرکت می‌کند. با گذر زمان الکترونی که در صفحه منفی جمع شده است الکترون‌های ورودی را دفع می‌کند. هرچه زمان بیشتری می‌گذرد این دافعه نیز بیشتر می‌شود و بنابراین با گذشت زمان پتانسیل

1- Faradic Charge storage (CFs)

2 -None Capacitance Faradic Charge Storage(NCFs)

لازم برای انتقال الکترون به صفحه منفی بیشتر می‌شود. حال اگر جهت جریان به کار گرفته شده معکوس شود الکترون‌های ذخیره شده در خازن از طریق مدار خارجی شروع به حرکت می‌کنند تا به صفحه مقابل برسند که این حالت را در خازن‌ها دشارژ می‌نامند. این فرآیند آنقدر اتفاق می‌افتد که تمامی الکترون‌های خازن تا جمیعته در صفحه خازن از طریق مدار خارجی به صفحه مقابل حرکت کنند و پتانسیل صفحه‌های خازن تا صفر افت کند.

معادله اصلی در تعریف رفتار خازنی به شکل ذیل ارائه شده است:

$$q(t) = CV(t) \quad (1-1)$$

q بار بر حسب کولن، C ظرفیت خازنی بر حسب فاراد و V ولتاژ بر حسب ولت می‌باشد. همچنین زیروند ۱ نشانگر تابع زمان بودن پارامترهای بار و ولتاژ می‌باشد. با مشتق گرفتن از رابطه بالا معادله زیر بدست می‌آید.

$$\frac{dq}{dt} = C \frac{dv}{dt} \quad (2-1)$$

از طرف دیگر چون مشتق بار نسبت به زمان جریان را حاصل می‌کند. می‌توان رابطه بالا را به شکل زیر نیز نوشت.

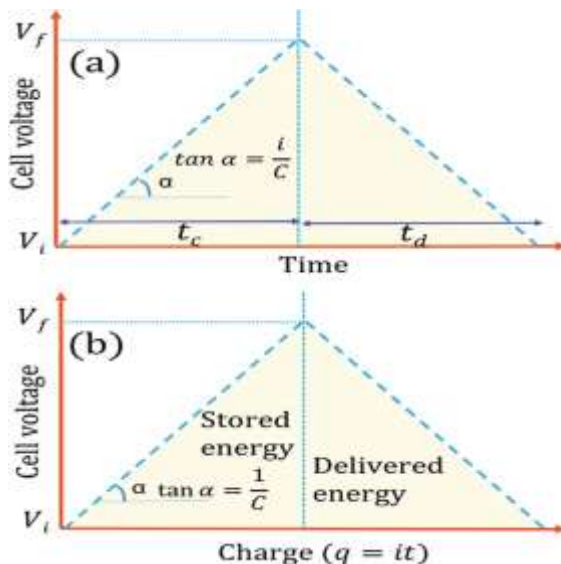
$$dV = \frac{i}{c} dt \quad (3-1)$$

در عمل ظرفیت یک خازن وابسته به ولتاژ است با این وجود در خازن‌های خطی ظرفیت ثابت در نظر گرفته می‌شود.

معادله $(1-3)$ نشان می‌دهد که ولتاژ عبوری از روی صفحات خازن به صورت خطی با گذشت زمان تغییر می‌کند و شبیه خط این تغییر $\frac{i}{c}$ می‌باشد(شکل $1-4-a$). این رابطه همچنین نشان می‌دهد که هرچه ظرفیت خازن بیشتر باشد تغییرات ولتاژ کنتر خواهد بود و نیز هر چه جریان بیشتری از خازن عبور کند تغییرات ولتاژ عبوری نیز بیشتر می‌شود.

فرآیند شارژ و دشارژ به جهت جریان بستگی دارد. اگر جریان وارد خازن شود (شارژ) ولتاژ افزایش می‌یابد و اگر جریان از خازن خارج شود (دشارژ) ولتاژ کاهش می‌یابد. با توجه به (شکل $1-4-a$) زمان شارژ و زمان دشارژ که از روی محور X ها به دست می‌آید اطلاعاتی را راجع به ویژگی‌های خازن مشخص می‌کند. همچنین اگر زمان شارژ و دشارژ باهم برابر باشد نشان‌دهنده این است که عملکرد خازن به صورت 100% بهینه می‌باشد. پنجره‌ی پتانسیلی یک

خازن نیز توسط محور y این شکل بدست می‌آید. برای تعیین میزان انرژی ذخیره شده در خازن در هنگام شارژ و انرژی آزاد شده توسط همان خازن در هنگام دشارژ، باید مساحت سطح زیر منحنی شکل (۴-۱-a) را به روش انگرال گیری محاسبه نمود (شکل ۴-۱-b).



شکل (۴-۱) نمودار ولتاژ بر حسب زمان (a) و ولتاژ بر حسب بار (b) دریک خازن ایده‌آل که با یک جریان ثابت دریک زمان مشخص شارژ شده و سپس با همان جریان دشارژ می‌شود [۲].

۳-۱ وسایل ذخیره انرژی الکتروشیمیایی

۱-۳-۱ تاریخچه و دسته‌بندی

باتری‌ها به عنوان متداول‌ترین شکل وسایل ذخیره انرژی از زمان‌های قدیم مورد استفاده قرار می‌گرفتند. ایرانیان باستان احتمالاً از وجود الکتریسیته قبل از کشف آن آگاه بوده‌اند. باتری‌هایی که از کوزه‌های سفالی پر از محلول سرکه که از یک لوله‌ی آهنی احاطه شده توسط سلیندر مسی تشکیل شده‌اند اولین نسل باتری‌های ساخته شده توسط بشر بوده‌اند. از این کوزه سفالی برای تولید الکتریسیته با پتانسیل ۱.۱ تا ۲ ولت جهت آبکاری نقره و طلا استفاده می‌شده است. تاریخچه باتری‌های مدرن به سالهای ۱۸۰۰ باز می‌گردد وقتی که الکساندرو ولتا مفهوم پتانسیل الکتریکی و ولتاژ را تبیین نمود [۱۱-۱۷].

شروع تکنولوژی خازن‌ها نیز به سال ۱۷۴۵ باز می‌گردد. خازن‌های کاغذی که حاصل ساندویچ شدن نوار کاغذی آغشته به موم یا فلز که بین دو فویل فلزی پیچیده شده اطراف یک سیلندر است در سال ۱۸۷۶ اختراع شد. آلومینیوم و تانتالیوم فلزاتی بودند که اگر در درون محلول مناسب فرو برده می‌شدند باعث ایجاد یک لایه اکسیدی به روی خود می‌شدند. این فلزات قادر بودند که جریان را دریک جهت از خود عبور دهند اما به دلیل تشکیل لایه اکسیدی مانع از عبور جریان در جهت مخالف خود می‌شدند. با توجه به این خاصیت اولین خازن الکترولیتی برپایه آلومینیوم با خلوص بالا که لایه اکسیدی به عنوان دیالکتریک آن بود در سال ۱۸۹۶ ساخته و ثبت اختراع شد. خازن بعدی که حاوی میکا به عنوان دیالکتریک خود بود در سال ۱۹۰۹، خازن بر پایه پلی اتیلن ترفتالات در سال ۱۹۴۱ و خازن دارای دیالکتریک پلاستیکی در سال ۱۹۵۹ ساخته شدند. اولین اختراع که مفهوم وسایل ذخیره بار لایه دوگانه الکتریکی را شرح می‌داد در سال ۱۹۵۷ به ثبت رسید. در این ثبت اختراع از مواد مزوحفه کربنی که به روی جمع کننده‌ی جریان فلزی نشانده شده بودند و در درون محلول سولفوریک اسید قرار گرفته بودند استفاده شد. اگرچه این وسیله کاربردی نبود و هیچ گاه تجاری نشد. اولین خازن لایه دوگانه تجاری (ظرفیت ۱ فاراد و ولتاژ ۵.۵ ولت) در سال ۱۹۷۱ توسط شرکت الکتریکی نیپون معرفی شد [۲۵-۱۸].

مفهوم شبه‌خازنی نیز برای اولین بار توسط تراساتی^۱ و بوزاناکا^۲ در سال ۱۹۷۱ گزارش شد که دنیای جدیدی از موقعیت‌ها را برای دست‌یابی به ظرفیت‌های ویژه برای سیستم‌های مختلف ایجاد می‌کرد. اولین میکرو ابرخازن مسطح به هم پیوسته در سال ۲۰۰۳ با الکترودهای پلی‌پیرول ساخته شد. بعد از گزارش اولین میکرو ابرخازن، روش‌های خلاقانه‌ی بیشتر و بیشتری برای ساخت ابرخازن‌ها شامل میکرو ساخت لیتروگرافی^۳، پرینت اینکجت^۴، ساخت لایه به لایه توسط لیزر و پرینت اسکرین ارائه شد. با وجود توسعه روز افزون وسایل ذخیره انرژی از پیل ولتاوی تا باتری‌های لیتیومی، هریک از تکنولوژی‌های باتری و خازنی به تنها‌ی دارای ایراداتی هستند که همچنان جزو مشکلات اصلی صنعت می‌باشند. ترکیب باتری‌ها با دانسیته بالا به ابرخازن‌ها با توان و قدرت شارژ و دشارژ سریع موقعیت‌های فراوانی

1- Trasatti

2- Buzzanaca

3- litrography

4- Print inject

را برای حذف ایرادات هریک از این وسایل به تنها یابی می‌دهد. بنابراین در طی دو دهه اخیر وسایل ذخیره انرژی هیبریدی که ترکیبی از این دو است توسعه و ساخته شده است [۳۱-۲۶].

وسایل ذخیره انرژی الکتروشیمیایی به سه دسته کلی ۱. باتری‌ها (شامل باتری‌های نوع اول و دوم) ۲. ابرخازن‌ها و ۳. سیستم‌های هیبریدی تقسیم می‌شوند. هر وسیله ذخیره انرژی دارای یک قطب مثبت، قطب منفی، الکترولیت، جدا کننده و جمع کننده جریان است.

الکترودها اجزای فعالی هستند که برای بارگذاری مواد فعال در ذخیره انرژی استفاده می‌شوند. الکترودها به سلول اجازه می‌دهند که الکترون‌ها از طریق مدار خارجی از یک نیم سلول به نیم سلول دیگر حرکت کنند. در ابرخازن‌های پیشرفته الکترولیت بی‌اثر جای خود را به الکترولیت اکسایش کاهشی که قادر است واکنش‌های فارادیک در حد فاصل الکترود و الکترولیت انجام دهد داده است. جدا کننده‌ها غشاها نفوذ پذیری هستند که قطب‌های مثبت و منفی سلول را از هم جدا می‌کنند. جدا کننده‌ها از ایجاد اتصال کوتاه بین دو نیم سلول جلوگیری می‌کنند در حالی که اجازه تبادل یون بین دو نیم سلول را که امر حیاتی برای تکمیل چرخه سلول است را می‌دهند. هرچند با استفاده از الکترولیت‌های فاز جامد، ژل و یا پلیمری، دیگر نیازی به جدا کننده نمی‌باشد و این نیز یکی از پیشرفتها در ساخت وسایل ذخیره انرژی می‌باشد. جمع کننده‌های جریان برای انتقال بهینه الکترون از الکترودها به پایانه‌های باتری استفاده می‌شوند. اگرچه توسعهٔ مواد الکترودی فعال هادی مثل کربن نانوتیوب، گرافن دو بعدی و غیره نیاز به استفاده از جمع کننده‌های جریان را حذف کرده است.

در بسیاری از مقالات الکترود منفی آند نامیده می‌شود و الکترود مثبت کاتد، اما این نامگذاری تنها در باتری‌های نوع اول که قطب‌های مثبت و منفی تا انتهای ثابت باقی می‌مانند درست است و در باتری‌های نسل دوم (باتری‌های با قابلیت شارژ مجدد) و ابرخازن‌ها که دائماً در حال شارژ و دشارژ هستند و واکنش‌های اکسایش و کاهشی معکوس در دو الکترود رخ می‌دهند استفاده از این تعریف برای آن‌ها نادرست است و الکترود در حال شارژ الکترود منفی است و آند خوانده می‌شود در حالت دشارژ الکترود مثبت می‌شود و باید کاتد نامیده شود از این رو برای جلوگیری از

سردرگمی در این نوع نامگذاری از این پس بهتر است اصطلاحات مثبت و منفی جایگزین نامگذاری کاتد و آند شود [۳۲ و ۳۳].

۱-۳-۲- باتری‌ها

باتری‌ها یکی از وسایل ذخیره انرژی هستند که انرژی شیمیایی ذخیره شده در مواد الکترودی فعال را به طور مستقیم از طریق واکنش اکسایش کاهش و یا انتقال بار به انرژی الکتریکی تبدیل می‌کنند. واکنش در قطب منفی الکترون را به مدار خارجی تزریق می‌کند و واکنش در قطب مثبت این الکترون تولید شده را مصرف می‌کند و الکترولیت درون سلول نیز محیط لازم برای انتقال بار از طریق یون‌ها را بین دو الکترود مثبت و منفی تامین می‌کند. دو نوع اصلی باتری‌ها وجود دارد: ۱. باتری‌های اولیه یا باتری‌های غیر قابل شارژ. ۲. باتری‌های ثانویه یا باتری‌ها با قابلیت شارژ مجدد. علاوه بر این تقسیم‌بندی دسته‌های دیگری از باتری‌ها نیز وجود دارند که بر اساس عملکرد و یا نوع طراحی طبقه‌بندی می‌شوند.

(الف) باتری‌های ثابت در مقابل باتری‌های شناور: باتری‌های ثابت دارای الکترولیت ثابت با الکترودهای جامد مشخص هستند اما باتری‌های شناور دارای دو محلول الکترولیت در دو مخزن مجزا هستند که در طول به سمت الکترودهای جامد در جریان هستند. باید این نکته ذکر شود که در باتری‌های ثابت بار به روی مواد الکترودی فعال ذخیره می‌شود اما در باتری‌های شناور بار در بخش‌های محلول در الکترولیت ذخیره می‌شود. از جمله معروف‌ترین باتری‌های شناور به باتری‌های $Zn-Br_2$ و $V^{2+}/V^{3+}-V^{4+}/V^{5+}$ می‌توان اشاره نمود. یکی از مهم‌ترین ویژگی‌های این باتری‌ها این است که به سادگی و تنها با تعویض محلول الکترولیت می‌توانند شارژ مجدد شوند.

(ب) باتری‌های نامحلول/ترسیبی در مقابل باتری‌های کمپلکس شده /کمپلکس نشده: باتری‌های نامحلول/ترسیبی بر اساس واکنش شیمیایی اتفاق افتاده در درون سلول بار را ذخیره می‌کنند در حالی که باتری‌های کمپلکس شده /کمپلکس نشده بر اساس دافعه و بازارانش یون‌های باردار از قطب‌های مثبت و منفی بار را ذخیره می‌کنند.

(ج) باتری‌های بسته در مقابل باتری‌های باز: در باتری‌های بسته تمام تجهیزات لازم باتری در درون آن تعییه می‌شود و باتری به طور کامل از محیط اطراف مجزا می‌شود. اما در باتری‌های باز بعضی از اجزای آن (مثل اکسیژن) از محیط اطراف تامین می‌شود.

بر اساس ماهیت الکترولیت و حالت فیزیکی آن باتری‌ها به چند دسته تقسیم می‌شوند.

(د) باتری‌های آبی و غیرآبی: باتری‌های متداول که در صنعت بسیار استفاده می‌شوند باتری‌های سرب اسید، نیکل کادمیوم و باتری‌های نیکل/هیدرید فلزی می‌باشند که از نمک آبی به عنوان الکترولیت استفاده می‌کنند. باتری‌های غیرآبی از محلول الکترولیت قطبی آپروتیک بدون پروتون یا اتم هیدروژن فعال تشکیل شده‌اند. بیشتر باتری‌های لیتیومی از نمک لیتیوم مثل LiSO_3CF_3 , LiAsF_6 , LiPF_6 و $\text{LiN}(\text{SO}_2\text{CF}_3)_2$ محلول در حللاهایی مثل استونیتریل، اتیلن کربنات، دی اتیل کربنات، پروپیلن کربنات، ۱و۲ دی متوكسی اتان، دی متیل سولفوکسید، تترا هیدرو فوران و یا مخلوطی از دویا سه حلال که پیش‌تر ذکر شد به عنوان باتری‌های غیرآبی طبقه‌بندی می‌شوند. الکترولیت‌های غیرآبی در چند دسته شامل الکترولیت‌های آلی، پلیمری، مایع یونی و فاز جامد طبقه‌بندی می‌شوند.

(ر) باتری‌ها با الکترولیت جامد در مقابل باتری‌ها با الکترولیت مایع (تر^۱): بیشتر باتری‌ها برای تنظیم بار از الکترولیت مایع بین دو الکترود استفاده می‌کنند. اما مشکل این نوع باتری‌ها وجود خطرات زیست محیطی آن‌ها می‌باشد بنابراین از باتری‌ها با الکترولیت جامد که دارای الکترود و الکترولیت جامد هستند استفاده می‌شود. الکترولیت‌های جامد هادی‌های مناسبی برای یون‌ها و عایق‌های کامل الکترون می‌باشند. برای مثال Ag_4RbI_5 هدایت Ag^+ و Li^+ برای هدایت $\text{Li}/\text{Al}_2\text{O}_3$. ویژگی باتری‌ها با الکترولیت جامد کم حجم بودن آن‌ها می‌باشد اما ایراد اصلی آن نیز مقاومت بالای یون‌ها در سطح تماس بین الکترولیت و الکترود است.

(ز) باتری‌های اسیدی و بازی: باتری‌های آبی نیز بر اساس نوع الکترولیت خود به سه دسته باتری‌های اسیدی مثل باتری سرب / اسید، باتری‌های خنثی مثل باتری روی/هوا و باتری قلیایی مثل باتری نیکل کادمیوم و یا روی / منگنز دی اکسید تقسیم می‌شوند [۳۴ و ۳۵].

همانطور که اشاره شد بار ذخیره شده در یک باتری از طریق یک واکنش برگشت پذیر فارادی اکسایش / کاهاش مواد الکترودی فعال ایجاد می‌شود. مقدار این انرژی الکتریکی تابعی از پتانسیل سل است که از روش اصول و قواعد فیزیکی شیمیایی ترمودینامیک مشخص می‌شود. تنوع بسیار زیادی از گونه‌های فلزی و پلیمرهای هادی به عنوان مواد الکترودی مطرح شده‌اند و پیشرفت‌های زیادی در زمینه باتری‌های غیرلیتیومی ایجاد شده است اما با این حال باتری‌های لیتیومی در بین تمامی باتری‌ها بهترین آن‌ها است که به خاطر ویژگی‌ها و قدرت ذخیره انرژی بالای آن می‌باشد. اساس کار باتری‌های لیتیومی به کمپلکس شدن و استخراج یون لیتیوم در قطب‌های مثبت و منفی آن می‌باشد. در هنگام شارژ مقداری از یون‌های لیتیوم از قطب مثبت از طریق الکتروولیت به قطب منفی مهاجرت می‌کنند و در آنجا باقی می‌مانند که در نتیجه انرژی در باتری ذخیره می‌شود. در هنگام دشارژ فرآیند معکوس اتفاق می‌افتد. اختلاف پتانسیل شیمیایی لیتیوم در دو الکترود باعث می‌شود که یون لیتیوم از درون قطب مثبت خارج شود و از طریق الکتروولیت به قطب مثبت مهاجرت کند. در همین لحظه برای اینکه الکتروولیت خنثی باقی بماند الکترون‌ها از طریق مدار خارجی به قطب مثبت مهاجرت می‌کنند. انرژی که یک باتری ایجاد می‌کند بستگی به قابلیت ذخیره بار آن توسط مواد الکترودی فعال و واکنش‌های اکسایش کاهاشی که در دو الکترود اتفاق می‌افتد دارد. بنابراین مواد الکترودی فعال باید به راحتی اجازه کمپلکس شدن و کمپلکس زدایی گونه‌های فعال را در سطح الکترود بدهنند. قطب LiMPO_4 ($\text{M}=\text{Fe}, \text{Co}, \text{Ni}, \text{Mn}$) LiMn_2O_4 ، LiMO_2 ($\text{M}=\text{Co}, \text{Ni}, \text{Mn}$) مثبت باتری‌های لیتیومی معمولاً از ساخته می‌شود. محدودیت اصلی LiCoO_2 قیمت بالا و کاهاش ظرفیت در شارژ و دشارژ‌های طولانی می‌باشد.

محدودیت اصلی LiNiO_2 پایداری کم آن در دماهای بالا می‌باشد. ضعف اصلی LiMnO_2 نیز عدم پایداری در چرخه‌های زیاد می‌باشد که به خاطر خاصیت لایه ای منگنز اکساید و شسته شدن آن می‌باشد. ایراد اصلی LiMPO_4 هدایت الکتریکی و یونی پایین آن است. برای مقابله با این ایرادات مواد الکترودی را با عناصر مختلف دوپه می‌کنند و این محدودیتها را به حداقل می‌رسانند [۳۶-۴۲].

انتخاب مواد الکترودی فعال برای قطب منفی باتری‌های لیتیومی به مواد الکترودی پایه کربنی و پایه تیتانیومی محدود می‌شود. اکسید فلزی لیتیوم هدایت الکتریکی پایینی داشته و در نتیجه ظرفیت ایجاد شده توسط آن در اندازه‌های میکرو پایین می‌باشد.

۱-۳-۳-۱ ابرخازن‌های الکتروشیمیایی

۱-۳-۳-۱-۱ ابرخازنهای لایه دوگانه الکتریکی

ظرفیت دریک خازن توانایی ذخیره بار به روی صفحه خازن معرفی می‌شود. هرچه فاصله‌ی بین دو صفحه خازن نزدیک‌تر و نیز هر چه مساحت سطح الکترودها بیشتر باشد دریک مقدار مساوی ولتاژ بار بیشتری روی خازن ذخیره شده و ظرفیت آن افزایش می‌یابد. برای یک وسیله ذخیره انرژی ایده ال‌ترین حالت این است که مقدار انرژی ذخیره شده و آزاد شده بدون کاهش توان آن افزایش یابد. نانوتکنولوژی راه مناسبی را برای افزایش مساحت سطح در اختیار قرار می‌دهد. کاهش اندازه‌ها تا مقیاس نانو باعث کاهش مسیر نفوذ یون به درون مواد الکترودی شده و مساحت سطح در دسترس را به شدت افزایش می‌دهد. استفاده از جدا کننده و الکترولیت فاصله بین صفحات خازنی را کاهش می‌دهد و در نتیجه تحرک یون‌ها به قطب‌های مخالف به صورت سریع و برگشت پذیر انجام می‌شود. بنابراین ابرخازن‌ها از چند لحاظ با خازن‌های فیزیکی متفاوت هستند. ۱. صفحات ابرخازنی دارای مساحت سطح خیلی بالاتری هستند. ۲. فاصله بین صفحات بسیار کمتر است. و در نتیجه بار ذخیره شده در ابرخازن‌ها هزار، میلیون و حتی میلیارد برابر خازن‌های فیزیکی می‌باشد. قابل توجه است، بدایم در ابرخازن‌ها دو لایه دوگانه الکتریکی در قطب‌های مثبت و منفی تشکیل می‌شود و گویی دو خازن به صورت سری به هم وصل شده‌اند.

همه‌ی روش‌های ارزیابی عملکرد ابرخازن‌ها بر این فرضیه استوار است که مدار یک ابرخازن را می‌توان به صورت مدار یک مقاومت- خازن ساده سازی کرد. بنابراین فرض می‌شود که یک مقاومت به صورت سری به یک خازن ایده‌آل وصل شده است تا قواعد فیزیکی ابرخازن بررسی شود. یک چنین سیستمی می‌تواند هم با جریان ثابت و هم با ولتاژ ثابت شارژ شود، اما به دلیل اینکه شارژ و دشارژ با جریان ثابت در ابرخازن‌ها متداول‌تر است این حالت بررسی می‌شود [۴۳-۷۴].

با عبور جریان ثابت از مدار R-C پتانسیل روی صفحات خازن V_C با گذشت زمان تغییر می‌کند و در نهایت تغییرات پتانسیل یک سل از رابطه زیر پیروی می‌کند.

$$V_C(t) = \frac{q(t)}{c} \quad (4-1)$$

با مشتق گرفتن از رابطه بالارابطه زیر حاصل می‌شود

$$dV_C = \frac{i}{c} dt \quad (5-1)$$

که با نوآرایی و انتگرال گیری از رابطه بالا داریم

$$dV = iR + \frac{i}{c} dt \quad (6-1)$$

$$\int_{V_i}^{V_f} dV = iR + \frac{i}{c} \int_{t_1}^{t_2} dt \quad (7-1)$$

و بنابراین

$$\Delta V = iR + \frac{i}{c} \Delta t \quad (8-1)$$

mekanisim ذخیره بار در ظرفیت لایه دوگانه الکتریکی بر اساس جذب یون‌های الکتروولیت در سطح مواد الکتروودی ابرخازن می‌باشد. بنابراین هرچه مساحت سطح در دسترس و همچنین هدایت این گونه خازن‌ها بیشتر باشد ظرفیت خازنی نیز بیشتر است. مواد کربنی نانوساختار با مساحت سطح و هدایت بالا انتخاب خوبی به عنوان مواد الکتروودی این خازن‌ها می‌باشد. ظرفیت لایه دوگانه مواد پایه کربنی توسط ساختار آن‌ها به ویژه حفرات و مساحت سطح ویژه آن‌ها کنترل می‌شود [۴۹-۴۵].

سیمون و گوتسی¹ ارتباط بین ظرفیت و اندازه یون‌ها را در الکتروولیت‌های مایع یونی بررسی و تحقیق کردند و نشان دادند که به صورت ایده‌آل بیشترین ظرفیت زمانی به دست می‌آید که اندازه حفره با اندازه یون برابر باشد. جی² ارتباط بین ظرفیت و مساحت سطح را برای انواع مواد پایه کربنی بررسی کرد. ظرفیت وزنی (Fg^{-1}) با افزایش

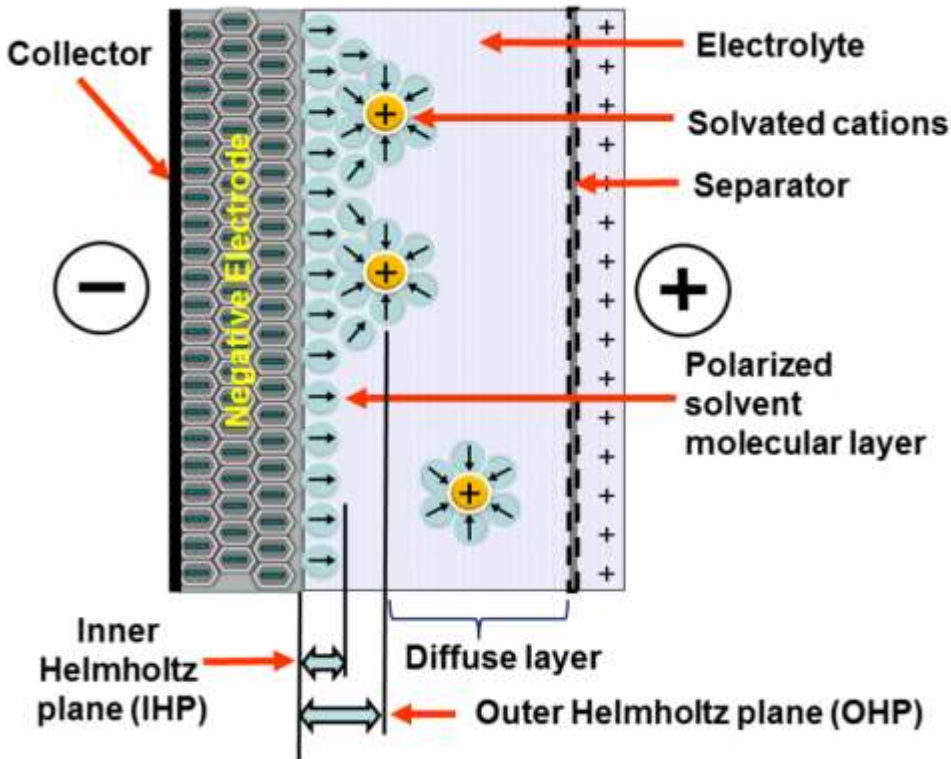
1- Simon and Gogotsi

2 - Ji

مساحت سطح افزایش می‌یابد اما ظرفیت نرمال شده با مساحت واقعی که حاصل نسبت ظرفیت ویژه به مساحت سطح ویژه است به تدریج کاهش می‌یابد و در $5\mu\text{FCm}^{-2}$ جایی که مساحت سطح از $1500 \text{ m}^2\text{g}^{-1}$ بیشتر می‌شود ثابت می‌ماند [۴۹-۵۶].

کشف و توسعه هترو اتم‌های دوپه شده بر روی مواد پایه کربنی یکی از شاخه‌های پر طرفدار برای توسعه مواد فعال الکترودی در ساخت ابرخازن‌ها می‌باشد. دوپه کردن هترو اتم‌هایی مثل نیتروژن، اکسیژن، گوگرد، فسفر به شبکه مواد کربنی باعث افزایش فعالیت شیمیایی، افزایش خیسی پذیری^۱، افزایش هدایت و همچنین باعث ایجاد ویژگی‌های شبه‌خازنی می‌شود. بور و نیتروژن به عنوان همسایگان کربن با شعاع اتمی نزدیک به کربن و با کمبود یک الکترون برای بور و اضافه بودن یک الکترون برای نیتروژن کاندیداهای مناسبی برای دوپه شدن در ساختمان شبکه‌ی کربن می‌باشند. دوپینگ نیتروژن به داخل قالب شبکه کربنی بهتر از بقیه هترو اتم‌ها باعث اصلاح عملکرد کربن می‌شود چراکه نیتروژن با اتم‌های کربن مجاور خود پیوند کوالانسی قوی می‌دهد و از این رو باعث افزایش هدایت و ایجاد جایگاه فعال در رفتار شبه‌خازنی وسایل ذخیره انرژی می‌شود [۵۶-۶۶].

به طور کلی وسایل ذخیره انرژی لایه دوگانه، عملکرد و بازه چرخه‌ای خوبی دارند و پروفایل ولتاوری چرخه‌ای آن‌ها نزدیک به مستطیل و پروفایل شارژ و دشارژ آن‌ها نزدیک به مثلث است. در خازن‌های لایه دوگانه الکتریکی جذب و واجذب یون‌ها در حدفاصل الکترود و الکتروولیت در غیاب محدودیت‌های نفوذ به صورت سریع اتفاق می‌افتد بنابراین تغییرات پتانسیل به زمان ثابت است. ساده‌ترین مدل برای توجیه این فرآیند مدل هلموتز می‌باشد (شکل ۱-۶). برپایه این مدل در ولتاژ اعمالی الکترود فرو رفته در الکتروولیت یون با بار مخالف را جذب و یون هم بار را دفع می‌کند بنابراین دو لایه دوگانه در سطح تماس الکترود و الکتروولیت تشکیل می‌شود که لایه دوگانه الکتریکی نامیده می‌شود. ظرفیت لایه دوگانه در سطح تماس بین هر کدام از الکترودها و الکتروولیت به صورت یک خازن فیزیکی معمولی در نظر گرفته می‌شود و محاسبه می‌شود. برخلاف فرضیه هلموتز یون‌ها در درون محلول متحرک هستند و تحت تاثیر نفوذ و نیروهای الکترواستاتیک می‌باشند.



شکل ۱-۶ مدل ارائه شده هلموهولتز برای لایه دوگانه الکتریکی در ابر خازن های الکتروشیمیایی

در مدل دیگری که توسط گوی چاپمن ارائه شد یون‌ها به صورت بارهای نقطه‌ای در نظر گرفته می‌شوند و غلظت یون‌ها در محلول نزدیک سطح الکترود از توزیع بولتزمان پیروی می‌کند. اگرچه این مدل، مدل نزدیکتری به واقعیت بود اما در مواقعی که لایه دوگانه به شدت باردار می‌شد قادر به توجیه نبود. مدل پیشرفته‌تر از مدل‌های قبلی که مدل گوی چاپمن اشترن است که ایده هلموتز و گوی چاپمن را ترکیب کرده است [۶۷-۷۹]. این مدل با دقت بیشتری جزئیات ساختار لایه دوگانه الکتریکی را نشان می‌دهد. بر اساس این مدل لایه دوگانه الکتریکی شامل چندین لایه می‌باشد که شامل لایه داخلی هلموتز، لایه خارجی هلموتز و لایه نفوذ که مجاور با بالک محلول می‌باشد. در لایه اشترن که شامل لایه داخلی و خارجی هلموتز هست یون‌ها حلal زدایی می‌شوند و یا به صورت جزیی حلal پوشی می‌شوند که به خاطر نیروی قوی بین یون‌ها و سطح الکترود می‌باشد. قابل توجه هست که پتانسیل در لایه‌های دوگانه هلموتز نسبت به پتانسیل سطح الکترود با شبیه متفاوت از همیگر دچار افت می‌شود. با گسترش لایه نفوذ تغییرات پتانسیل کمتر می‌شود و از حالت ثابت تبدیل می‌شود و بنابراین ظرفیت کل لایه دوگانه از رابطه (۱-۹) پیروی می‌کند [۸۰-۹۲].

$$\frac{1}{cdl} = \frac{1}{cstern} + \frac{1}{cdiff} \quad (9-1)$$

در سال‌های اخیر ساختار حفره‌ای مواد الکترودی که سطح تماس بالایی را ایجاد می‌کند و مسیر عبور مناسبی برای یون‌ها به وجود می‌آورد توجه بسیاری را به خود جلب کرده است. اگرچه مدل ذکر شده در بالا برای خازن‌های صفحه‌ای قابل توجیه است اما در توضیح رفتار لایه دوگانه الکتریکی ساختارهای حفره‌ای ناتوان است. تحرک یون‌ها در بالک الکتروولیت نسبت به حفرات مواد فعال الکترودی کاملاً متفاوت است. اندازه حفرات تاثیر بسزایی به روی تحرک یون‌های درون حفرات دارد. بیشترین ظرفیت در مواد مزوحفه کربنی زمانی به دست می‌آید که اندازه حفرات با شعاع یون‌های حلال پوشی شده یکسان باشد. حفرات با قطر کمتر از نیم نانومتر برای یون‌های هیدراته مناسب نیستند و در دسترس الکتروولیت برای تشکیل لایه دوگانه الکتریکی قرار نمی‌گیرند و حفرات با اندازه کمتر از ۱ نانومتر نیز برای الکتروولیتهای آلی مناسب نیستند. در میان مواد مزوحفه کربنی مواد با قطر بین ۳ تا ۵ نانومتر بهترین ظرفیت خازنی را نشان می‌دهند که از نظر اندازه دو برابر اندازه شعاع یون‌های حلال پوشیده است و اجازه جذب و اجذب یون‌ها بر سطح مواد فعال الکترودی بر روی دیواره‌ها را می‌دهد.

تیم‌های تحقیقاتی سیمون و گوتسی در ادامه فعالیت‌های خود در رابطه با اندازه حفرات مواد مزوحفه کربنی به این نتیجه رسیدند که می‌توان ظرفیت خازنی را افزایش داد با وجود اینکه اندازه آن‌ها از قطر یون‌های حلال پوشی شده کمتر است. اگرچه هنوز مکانیسم کار به خوبی مشخص نشده اما تصور می‌شود که یون‌ها هنگام ورود به درون حفره‌ها به صورت جزئی حلال پوشی می‌شوند. با این حلال پوشی بین یون و سطح الکترود فاصله‌ای ایجاد می‌شود که باعث افزایش ظرفیت خازنی می‌شود.

با عبور از خازن‌های مسطح تاثیر ساختار حفره‌ها در خازن‌های مزوحفه بر روی ظرفیت خازنی باید مورد توجه قرار گیرد. شکل حفره‌ها در مواد مزوحفه کربنی براساس نحوه سنتز ممکن است به شکل سیلندری کروی و غیره باشد. اگر شکل حفره به صورت سیلندری فرض شود آنگاه ظرفیت خازنی از رابطه زیر تعیین می‌شود.

$$C = \frac{2\pi\epsilon r\epsilon_0 L}{\ln\left(\frac{a}{b}\right)} \quad (10-1)$$

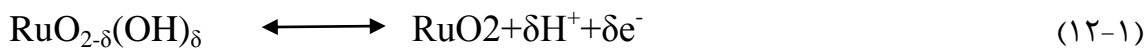
که 1 طول حفره a و b شعاع درونی و بیرونی سیلندر می‌باشد. ظرفیت نرمال شده خازن سیلندری نسبت به سطح از رابطه زیر بدست می‌آید.

$$\frac{C}{A} = \frac{\pi r \varepsilon_0}{b \ln(\frac{b}{b-d})} \quad (11-1)$$

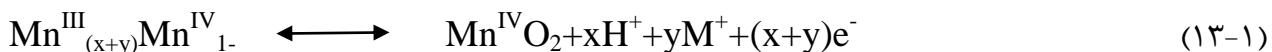
در واقعیت حفرات مواد فعال الکترودی یک شکل نیستند و شکل‌های مختلفی با اندازه متفاوت از چندین نانومتر تا چند دهم نانومتر دارند. بنابراین لازم است ظرفیت همه اشکال حفرات از ماکرو، مزو و میکرو حفرات در نظر گرفته شوند [۹۲-۱۰۰].

۱-۳-۲ شبکه‌خازن‌ها

برخلاف پیشرفت‌هایی که در مواد کربنی در حوزه ابرخازن‌ها شده است محدودیت اصلی این ترکیبات ظرفیت ویژه و انرژی ویژه پائین می‌باشد. تلاش‌های زیادی برای غلبه بر دانسیته انرژی پایین ابرخازن‌ها شده است. افزایش دانسیته انرژی توسط رفتار شبکه‌خازنی قابل دسترسی است. در شبکه‌خازن‌ها^۱ علاوه بر تجمع بار در لایه دوگانه الکتریکی، بار از طریق انجام واکنش فارادیک اکسایش یا کاهش در سطح الکترود نیز ذخیره می‌شود. رتنيوم اکساید اولین ماده‌ای بود که خاصیت شبکه‌خازنی نشان داد. این ماده پنجره پتانسیلی گستره ای دارد (۱.۲ ولت)، هدایت الکتریکی بالا، پایداری دمایی خوب و هدایت فلزی مناسب را دارد. دریک محیط اسیدی رفتار برگشت پذیر واکنش اکسایش و کاهش رتنيوم اکساید طبق رابطه زیر مشاهده می‌شود [۱۰۰-۱۱۴].

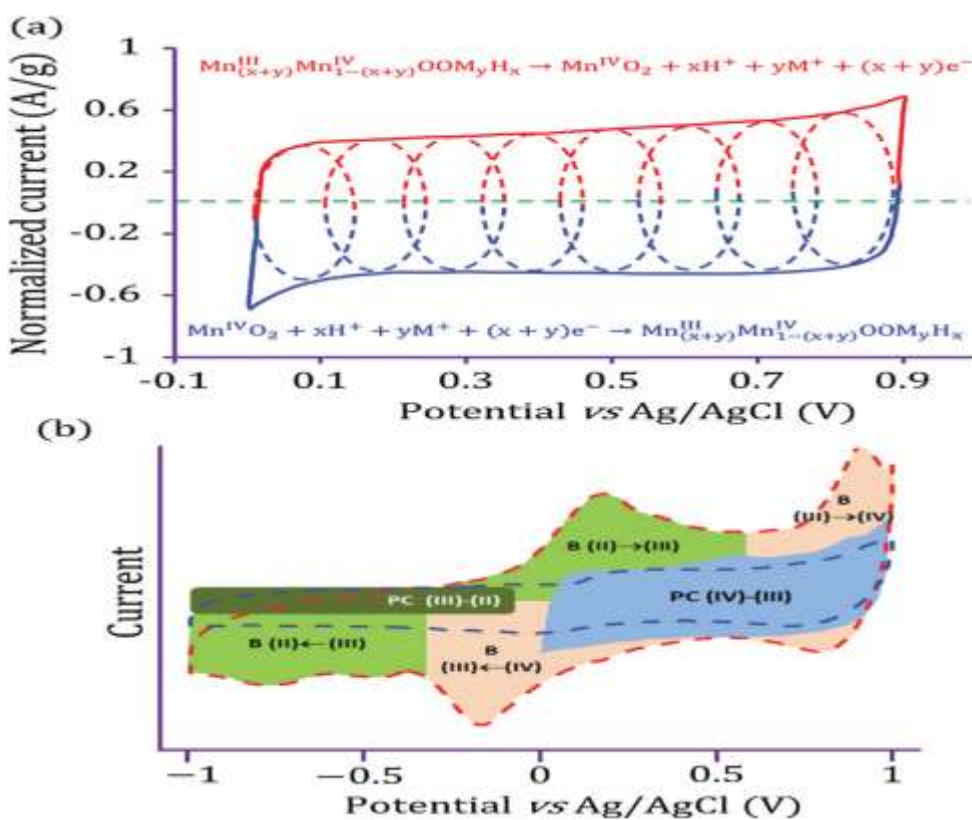


منگنز اکساید با قیمت نسبتاً پایین، سمیت پایین، دوستدار محیط زیست بودن و ظرفیت تئوری بالای 1300 F/g کاندیدای مناسب دیگریست که واکنش اکسایش کاهش آن طبق رابطه زیر تعیین می‌شود.



¹ pseudocapacitors

باید ذکر شود که اگرچه روتینیوم اکساید و منگنز اکساید جزو اکسیدهای فلزی با رفتار شبهخازنی هستند با تغییر شرایط آزمایش پیکهای اکسایش و کاهش در منحنی ولتاویتی چرخه‌ای قابل مشاهده است. برای مثال برای منگنز اکساید در پنجره پتانسیلی ۱ تا ۱ ولت نسبت به الکترود مرجع نقره/نقره کلرید به وضوح پیکهای اکسایش کاهش قابل مشاهده است اما در پنجره ۰ تا ۰/۹ ولت نسبت به الکترود مرجع نقره/نقره کلرید پروفایل ولتاویتی چرخه‌ای مستطیلی است. این مشاهده که در (شکل ۷-۱) نشان داده شده است بیانگر این موضوع است که رفتار شبهخازنی تنها از یکی از حالت‌های اکسایشی منگنز اکساید ناشی می‌شود [۱۱۴-۱۲۴].



شکل (۷-۱) منحنی ولتاویتی چرخه‌ای منگنز اکساید در الکتروولیت پتانسیل سولفات ۱ مولار در محدوده پنجره پتانسیلی متفاوت [۲]

مواد دیگر مورد استفاده در شبهخازن‌ها شامل اکسید فلزات واسطه، نیتریدها، فسفیدها، سولفیدها و پلیمرهای هادی می‌باشد. در کنار اکسید فلزات و پلیمرهای هادی، کاربیدهای دو بعدی و نیتریدها، قالب‌های آلی فلزی و هیدروکسیدهای دو لایه مواد شبهخازنی هستند که اخیراً مورد توجه قرار گرفته‌اند.

یکی از راههای موثر در افزایش ظرفیت مواد شبهخازنی مزدوج کردن گونه‌های الکتروفعال معدنی با ترکیبات آلی از طریق پیوند کوالانسی، غیر کوالانسی و پیوند پای - پای می‌باشد.

مکانیسم ذخیره بار در الکترودهای شبهخازنی به چند دسته ۱. اکسایش کاهش شبهخازنی ۲. بین لایه ای شبهخازنی ۳. دوپینگ شبهخازنی ۴. ترسیب پتانسیلی شبهخازنی تقسیم می‌شود.

اگرچه فرآیند فارادیک در ذخیره بار مواد شبهخازنی و باتری‌مانند دخیل هست اما سینتیک و پروفایل الکتروشیمیایی این دو کاملاً با هم متفاوت است. ارتباط بین جریان و سرعت روبش به طور کلی از رابطه زیر بیان می‌شود.

$$I = av^b \quad (14-1)$$

که پارامتر b در آن به مکانیسم ذخیره بار اشاره دارد. در الکترودهای شبهخازنی جریان به صورت خطی با سرعت روبش تغییر می‌کند و $b=1$ است. همچنین شدت جریان با رابطه $15-1$ نیز نشان داده می‌شود که در آن A مساحت سطح ماده الکترودی و C ظرفیت خازنی می‌باشد

$$= ACv|i| \quad (15-1)$$

در حالی که در مواد با رفتار باتری مانند، جریان پیک دار برگشت پذیر با توان رادیکالی فرجه دو سرعت روبش در ارتباط است [۱۲۵-۱۳۳].

$$i = av^{1/2} \quad (16-1)$$

بنابراین سینتیک شبهخازن‌ها از مکانیسم جذب کنترل شده توسط فرآیند الکتروشیمیایی تعیت می‌کند در حالی که در مواد باتری‌مانند پاسخ الکتروشیمیایی از فرآیند اکسایش کاهش تحت کنترل نفوذ تعیت می‌کند. به کمک اطلاعات سینتیکی حاصل از پروفایل ولتاکتری چرخه‌ای می‌توان بین مواد الکترودی با رفتار باتری‌مانند و شبهخازن تمایز قائل شد. توان سرعت روبش در سیستم‌های هیبریدی بین ۰.۵ تا ۱ متغیر است.

البته قابل ذکر است که مکانیسم ذخیره بار در اکثر مواد به شکل هیبریدی است و رفتار شبهخازنی خالص کمتر مشاهده می‌شود، رفتار شبهخازنی هنگامی اتفاق می‌افتد که یون‌ها به صورت برگشت پذیر به درون تونل‌ها یا لایه‌های

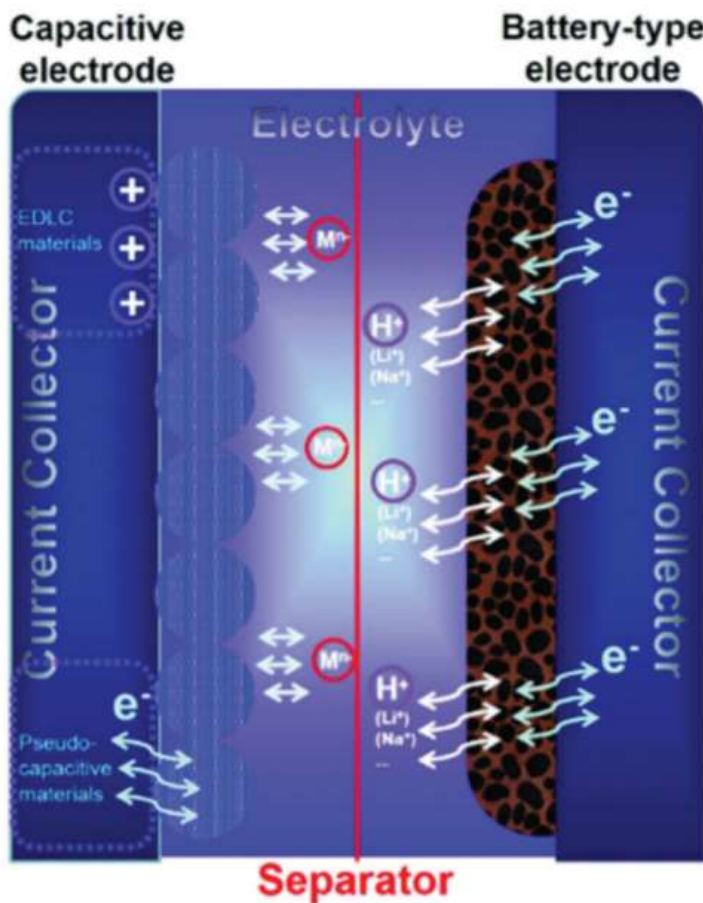
مواد الکترودی نفوذ و از آن خارج می‌شوند که با انتقال بار فارادیک نیز همراه است اما با انتقال فاز همراه نیست. این مکانیسم ذخیره بار مزیت باتری‌ها در ذخیره بار (مکانیسم فارادیک) را داردست درحالی که فرآیند هنوز توسط نفوذ کاتیون‌ها به درون شبکه کریستالی مواد الکترودی فعال محدود نشده است. برای مثال پاسخ جریان Nb_2O_5 به صورت ترکیبی از دو مکانیسم مجزای شبکه‌خازنی و باتری‌مانند می‌باشد. در سرعت روبش‌های ۰.۱ تا ۲۰ میلی ولت بر ثانیه مقدار b برای پیک‌های آندی و کاتدی یک می‌باشد که نشان‌دهنده سینتیک سریع و رفتار خازنی می‌باشد. در حالی که در سرعت روبش‌های بیشتر از ۵۰ میلی ولت بر ثانیه مقدار b تا ۰/۷ کاهش می‌یابد که نشان‌دهنده رفتار باتری‌مانند می‌باشد.

مواد شبکه‌خازنی معمولاً ظرفیت و انرژی بیشتری را نسبت به خازن‌های لایه دوگانه الکتریکی از خود نشان می‌دهند. به طور کلی ظرفیت ویژه مواد شبکه‌خازنی ۱ تا ۲ مرتبه از خازن‌های لایه دوگانه بیشتر است هرچند که این خازن‌ها عملکرد توان ضعیفتر و طول عمر کوتاه‌تر و پایداری مکانیکی کمتری را دارند. که همه این‌ها به دلیل فرآیند شبکه‌خازنی اکسید فلزات با هدایت الکتریکی پایین و نفوذ نامرتب یون‌ها می‌باشد. بنابراین اگرچه شبکه‌خازن‌ها و خازن‌های لایه دوگانه هر کدام جداگانه ویژگی‌های مثبتی را نشان می‌دهند اما هر کدامشان از محدودیت‌هایی نیز رنج می‌برند و نمی‌توانند همه ویژگی‌های دانسته انرژی و توان بالا را همزمان داشته باشند. بنابراین تلاشهای فراوانی برای ساخت الکترودهای کامپوزیت با عملکرد ذخیره بار مناسب انجام شده و در حال انجام است.

۳-۳-۳-۱ سیستم‌های ذخیره انرژی هیبریدی

یک وسیله ذخیره انرژی ایده‌آل وسیله‌ای است که هم انرژی بالا و هم توان بالایی داشته باشد. با وجود پیشرفت‌های فراوانی که در جهت افزایش انرژی وسایل ذخیره انرژی انجام شده است هنوز هم انرژی ویژه آن‌ها پایین است. وسایل ذخیره انرژی هیبریدی تلاش دارند ویژگی باتری‌ها را در ذخیره بالای انرژی، با قابلیت ابرخازن‌ها در توان بالا و پایداری چرخه‌ای بالا را همراه سازند. در ساخت این وسایل یک ابرخازن و یک باتری با هم ترکیب می‌شود تا یک وسیله هیبریدی را تشکیل دهد. اما این وسایل نیز به دلایلی مانند گرانی ساخت، پیچیدگی ساخت و حجم و وزن بالا، مورد دلخواه نیستند. شکل ۱-۸ مکانیسم ذخیره بار در ابرخازن هیبریدی را نشان می‌دهد که در سطح یک

الکترود مواد الکترودی باتری مانند و در سطح یک الکترود دیگر مواد ابرخازنی است که باعث افزایش چشم گیر ظرفیت خازنی می‌شود [۱۳۴].



شکل (۱-۸) سیستم ذخیره انرژی هیبریدی [۲]

۱-۴ پارامترهای کلیدی وسایل ذخیره انرژی

عملکرد الکتروشیمیایی وسیله ذخیره انرژی معمولاً توسط ولتاوی چرخه‌ای، شارژ و دشارژ گالوانوستاتیک و طیف سنجی امپدانس الکتروشیمیایی بررسی می‌شود. این روش‌ها برای بررسی ۳ پارامتر جریان، ولتاژ و زمان استفاده می‌شود. همه پارامترهای مهم دیگر مثل انرژی، توان، ظرفیت، مقاومت سری معادل (ESR) و پنجره پتانسیلی از این سه پارامتر اصلی به دست می‌آید. گذشته از پارامترهای ذکر شده آزمون‌های دیگری مثل قابلیت بازداری، پایداری چرخه‌ای، بازده کولونی، دشارژ خودبه خودی و ثابت زمانی نیز برای بررسی عملکرد وسایل ذخیره انرژی به ویژه ابرخازن‌ها مورد استفاده قرار می‌گیرند. همچنین پارامترهای دیگری نیز مانند ماندگاری و تاثیر دما وجود دارند که

تاکنون معادله سازی نشده‌اند. بنابراین ضروری است که یک فرآیند پیشرفته برای ارزیابی و متحدسازی آزمون‌های ارزیابی انجام شود. هرچند این دو پارامتر برای آزمون‌های میدانی و صنعتی بهتر از سایر آزمون‌های آزمایشگاهی است. به علاوه آزمون‌های مواد ابرخازنی از آزمون‌های خود ابرخازن‌ها متفاوت است. همچنین باید ذکر شود که اگرچه همه سه تکنیک الکتروشیمیایی اصلی برای اندازه‌گیری پارامترهای کلیدی استفاده می‌شود اما هر کدام از این تکنیک‌ها ویژگی‌های به خصوصی در اندازه‌گیری بعضی از این پارامترها دارند برای مثال تکنیک طیف سنجی امپدانس الکتروشیمیایی^۱ برای اندازه‌گیری مقاومت سری معادل^۲ مناسب است در حالیکه پروفایل شارژ و دشارژ گالوانوستاتیک^۳ برای تعیین ظرفیت و توان و ولتاژتری چرخه‌ای برای تمایز بین ویژگی‌های باتری‌مانند و خازن مانند قابل استفاده است.

۱-۴ پنجره پتانسیلی / ولتاژ سلول

پنجره پتانسیلی بیشترین پتانسیلی است که ۱. پایداری شیمیایی الکتروولیت را در مقابل واکنش‌های آندی و کاتدی ۲. پایداری مواد فعال الکترودی در مقابل تخریب را ضمانت می‌کند. پنجره پتانسیلی برای الکترود و پنجره ولتاژ برای وسیله به کار می‌رود. مفهوم پنجره پتانسیلی / ولتاژ برای باتری‌ها و ابرخازن‌ها به صورت جزئی متفاوت است. در باتری‌ها پنجره پتانسیلی / ولتاژ به صورت محدوده پتانسیلی تغییر می‌کند که فرآیند شارژ و دشارژ برگشت پذیر باشد. در حالی که در ابرخازن‌ها علاوه بر برگشت پذیر بودن رفتار الکترود / سلول باید خازنی باشد یعنی پروفایل ولتاژتری چرخه‌ای و شارژ و دشارژ گالوانوستاتیک باید به ترتیب مستطیلی و مثلثی باشد. برخلاف باتری‌ها که ولتاژ دشارژ خطی از خود نشان می‌دهند ولتاژ ابرخازن‌ها متناسب با بار الکتریکی ذخیره شده است. بیشترین ولتاژ یک ابرخازن زمانی به دست می‌آید که به صورت کامل شارژ شده باشد. فرآیند تخریب حلال و واکنش‌های برگشت ناپذیر در یکی از الکترودها در میان پارامترهایی است که پنجره پتانسیلی یک وسیله ذخیره انرژی را محدود می‌کند. در بسیاری از موارد به ویژه در ابرخازن‌ها پنجره پتانسیلی الکترود مثبت با الکترود منفی همپوشانی می‌کند که بدین معناست که پنجره پتانسیلی ابرخازن باریک‌تر از مجموع پنجره پتانسیلی الکترودهاست. در بدترین حالت زمانی که

1- Electrochemical Impedance Spectroscopy (EIS)

2- Equivalent Series Resistance (ESR)

3- Alvanostatic Charge and Discharge (GCD)

پنجره پتانسیلی یک الکترود پنجره پتانسیلی یک الکترود دیگر را به طور کامل بپوشاند پنجره ولتاژی ابرخازن محدود

به پنجره پتانسیلی الکترود باریکتر می‌شود.

از سوی دیگر وقتی که محدوده پتانسیلی ۲ الکترود هیچ گونه همپوشانی نداشته باشد که بیشتر در مورد وسائل باطری‌مانند اتفاق می‌افتد وسیله کمترین ولتاژ دشارژ را خواهد داشت. در حالت دشارژ کامل ولتاژ عبوری از ترمینال‌های ابرخازن صفر می‌شود و پتانسیل الکترودهای مثبت و منفی با هم برابر می‌شود. پتانسیل ولتاژ صفر پنجره ابرخازن را تحت تاثیر قرار می‌دهد. پنجره پتانسیلی یک ابرخازن با ظرفیت‌های برابر الکترودها از طریق رابطه زیر تعیین می‌شود.

$$Ovw=2 \times (E_{P2}-PZV); \text{ if } PZV-E_{N2} > E_{P1}-PZV \quad (24-1)$$

$$Ovw=2 \times (PZV-E_{N2}); \text{ if } E_{P1}-PZV > PZV-E_{N2}$$

همچنین باید در نظر گرفته شود که برای عریض سازی پنجره پتانسیلی یک ابرخازن ظرفیت تعیین کننده ولتاژ الکترود باید افزایش بیشتری نسبت به الکترود دیگر داشته باشد. چون سرعت تغییر پتانسیل الکترودهای مثبت و منفی توسط ظرفیت الکترودها تعیین می‌شود هرچه ظرفیت بیشتر باشد سرعت تغییر پتانسیل کمتر می‌شود [۱۳۵-۱۳۸].

۲-۴-۱ ظرفیت

ظرفیت مقدار بار الکتریکی شارژ شده در یک وسیله ذخیره انرژی است که به انتهای پنجره پتانسیلی خود رسیده باشد. ظرفیت کلی یک ابرخازن برابر است با

$$C = \frac{\Delta q}{\Delta V} \quad (25-1)$$

ظرفیت نرمال شده، ظرفیت به ازای هر واحد جرم حجم و سطح می‌باشد. ظرفیت نرمال شده نسبت به هریک از پارامترهای جرم، حجم یا سطح به صورت ظرفیت جرمی (Fg^{-1}) ظرفیت حجمی (Fcm^{-3}) و ظرفیت سطحی (m^2) استفاده می‌شود.

ظرفیت تئوری مواد به راحتی توسط قانون فارادی قابل محاسبه است. که بیان می‌کند یک وزن معادل از یک ماده ۹۶۴۸۵ کولون بار دارد. بنابراین مقدار بار عبوری از هر الکترود متناسب با مقدار وزن ماده الکترودی است. بنابراین ظرفیت تئوری یک باتری به صورت تعداد الکترون‌های درگیر در واکنش اکسایش کاهش، ضربدر $8/26$ آمپر ساعت تعريف می‌شود. هرچند در مقایسه با تری‌ها باهم ظرفیت تئوری نرمال شده با جرم یا حجم مواد نسبت به مقدار خالص ظرفیت بیشتر مورد توجه قرار می‌گیرد. در کابرددهای تجاری عامل مهم در ساخت باتری‌ها محدودیت فضا می‌باشد. بنابراین تعريف ظرفیت بر حسب حجم ماده الکترودی نیز حائز اهمیت است.

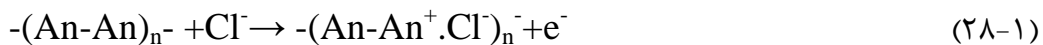
در عمل ظرفیت عملی مواد از طریق پروفایل شارژ و دشارژ گالوانوستاتیک تعیین می‌شود:

$$C_{\text{Practical(Bat.)}} = \frac{it_{\text{cutoff}}}{3.6 \times m} \text{ or accurately } = \frac{i \int V dt}{3.6 \times m \times V} (\text{mAhg}^{-1}) \quad \text{رابطه ۲۶-۱}$$

ظرفیت عملی در بیشتر موارد از ظرفیت تئوری کمتر است. به علاوه برای ارزیابی ظرفیت خازنی عملی باتری یا سلول هم باید مجموع جرم الکترودهای مثبت و منفی در نظر گرفته شود وهم اجزای ضروری باتری یا سلول مثل متصل کننده‌ها، مجزا کننده، الکتروولیت، اتصال دهنده‌های جریان و افروزندهای هادی. بنابراین ظرفیت عملی با ظرفیت تئوری بسیار متفاوت است. در حالی که ظرفیت تئوری باتری به راحتی توسط مول‌های مواد فعال قابل محاسبه است برای مواد خازنی لایه دوگانه ظرفیت تنها به نوع الکترود وابسته نیست و به نوع الکتروولیت نیز وابسته است. برای مواد شبکه‌خازنی نمی‌توان یک رابطه استوکیومتری مشخصی بین ظرفیت و جرم تعیین کرد. به علاوه ظرفیت یک ابرخازن خواه خازن لایه دوگانه باشد یا شبکه‌خازنی برابر با بار الکتریکی تقسیم بر ولتاژ است. بعضی مواد شبکه‌خازنی دریک پنجره پتانسیلی ویژه رفتار باتری‌مانند از خود نشان می‌دهند و نباید برای آن‌ها ظرفیت گزارش شود. ظرفیت ویژه مواد خازنی لایه دوگانه به طور مستقیم با مساحت سطح ویژه متناسب است. ظرفیت شبکه‌خازنی ویژه تئوری که از انتقال بار فارادیک ناشی می‌شود از سطح تماس الکترود الکتروولیت می‌گذرد و طبق رابطه ۲۷-۱ تعیین می‌شود.

$$C_{\text{Theoretical(PS)}} = \frac{nF}{MV} \quad \text{رابطه ۲۷-۱}$$

که n میانگین تعداد الکترون‌های انتقال یافته در واکنش اکسایش کاهش است M وزن مولکولی ماده شبه‌خازنی V پنجره پتانسیلی است. برای مثال برای پلی‌آنیلین یک الکترون به ازای هر واحد تکراری آنیلین در محدوده پتانسیلی $0 \text{--} 8$ ولت انتقال می‌یابد.



وزن مولکولی آنیلین ۹۱ گرم بر مول است بنابراین

$$C_{\text{TeoreticalPANI}} = \frac{1 \times 96485}{91 \times 0.8} = 1325 \text{ Fg}^{-1} \quad (29-1)$$

ظرفیت تئوری پلی‌آنیلین ترکیب ظرفیت شبه‌خازنی تئوری و خازن لایه دوگانه پلی‌آنیلین می‌باشد. خازن لایه دوگانه معمولاً بین چند ده تا چند صد F/g ظرفیت ارائه می‌دهد. بنابراین در حالت خوشبینانه تعمیم رفتار مواد کربنی به پلی‌آنیلین، ظرفیت تئوری پلی‌آنیلین در حد مواد کربنی است. در عمل ظرفیت کل مواد الکترودی توسط پروفایل شارژ و دشارژ گالوانواستاتیک تعیین می‌شود و سهم خازن لایه دوگانه الکتریکی و شبه‌خازنی با کمک گام‌های پتانسیل تکنیک طیف سنجی الکتروشیمیایی قابل محاسبه است.

۲-۲-۴-۱ ظرفیت مشتقی و انتگرالی

ظرفیت مشتقی یا استاتیک یک خازن فیزیکی ثابت است و طبق رابطه ۳۰-۱ مشخص می‌شود.

$$C_{\text{int}} = \frac{q}{V} \quad (30-1)$$

هر چند که در ابرخازن‌ها C ثابت نیست و بنابراین برای محاسبه آن باید از رابطه ۳۱-۱ کمک جست.

$$C_{\text{diff}} = \frac{dq}{dV} \quad (31-1)$$

در این رابطه ظرفیت مشتقی ابرخازن سرعت تغییر بار ذخیره شده در ابرخازن نسبت به پتانسیل تعریف می‌شود.

ظرفیت انتگرالی حاصل گرفتن انتگرال از ظرفیت مشتقی است.

$$C_{\text{int}} = \frac{1}{V} \int_0^V C_{\text{diff}} dV \quad (32-1)$$

اندازه‌گیری‌های ولتامتری چرخه‌ای و شارژ و دشارژ گالوانواستاتیک توانایی اندازه‌گیری ظرفیت مشتقی و انتگرالی را دارند. جدول ۱-۱ فرمول اندازه‌گیری ظرفیت مشتقی و انتگرالی را توسط ولتامتری چرخه‌ای، شارژ و دشارژ گالوانواستاتیک و مقاومت معادل سری بیان می‌کند.

جدول ۱-۱ محاسبه ظرفیت مشتقی و انتگرالی توسط روش‌های ولتامتری چرخه‌ای، شارژ و دشارژ گالوانواستاتیک و مقاومت معادل سری مقاومت سری معادل

Capacitance	CV	GCD	EIS
C_{diff}	$\frac{i}{V}$	$\frac{i}{dV/dt}$	$\frac{-1}{\omega Z''}$
C_{int}	$\frac{1}{\theta(V_{max} - V_{min})} \int idv$	$\frac{i\Delta t}{V_{max} - V_{min}}$	N.A.

۳-۴-۱ مقاومت سری معادل

مقاومت سری معادل، معمولاً به عنوان مجموع مقاومت‌های الکتروولیت، مقاومت اتصالات بین الکترود و جمع کننده جریان و مقاومت الکتروودها بیان می‌شود. مقاومت سری معادل، پارامتر مهمی است که سرعت شارژ و دشارژ ابرخازن را محدود می‌کند بنابراین مقاومت سری معادل بالا باعث عملکرد پایین توان ابرخازن می‌شود.

۴-۴-۱ انرژی و توان

انرژی و توان ۲ پارامتر مهم برای بررسی عملکرد خازن می‌باشد. انرژی ویژه یا دانسیته انرژی، مقدار انرژی ذخیره شده توسط وسیله ذخیره انرژی، به ازای هر واحد جرم یا حجم یا سطح برای مواد فعال الکترودی یا کل وسیله، بیان می‌شود. توان ویژه یا دانسیته توان، مقدار توان وسیله ذخیره انرژی که به ازای هر واحد جرم، حجم یا سطح برای مواد فعال الکترودی یا کل وسیله ارائه می‌شود. ارتباط بین این دو توسط منحنی راگون بیان می‌شود.

۱- سرعت قابلیت ۵-۴

توانایی وسیله ذخیره انرژی برای حفظ ظرفیت، به صورت دانسیته جریان یا افزایش جریان ویژه بیان می‌شود. یک سیستم با سینتیک سریع فرآیند الکترودی، قابلیت سرعت و عملکرد توان بالایی را نشان می‌دهد. کنترل مناسب مساحت سطح ویژه و توزیع اندازه حفرات مواد الکترودی فعال، یک نکته مهم در دستیابی به قابلیت سرعت مناسب است. در مواد با ساختار متخلخل، مانند ماکرو حفره‌ها مسافت نفوذ یون‌ها کوتاه است. مزوحفره‌ها مقاومت راه عبوری یون‌ها برای نفوذ به حفره‌ها را کم می‌کنند و میکرو حفره‌ها به شدت برای ایجاد دافعه خازن‌های لایه دوگانه الکتریکی مناسب هستند. در نتیجه مواد کربنی حفره‌ای سه بعدی قابلیت سرعت بهتری نسبت به سایر مواد کربنی دارند.

۲- آزمون پایداری / عمر چرخه‌ای ۶-۴

به طور کلی ظرفیت وسیله ذخیره انرژی با شارژ و دشارژ‌های متوالی کاهش می‌یابد. یک تعریف مشخص برای طول عمر چرخه‌ای یک وسیله وجود ندارد و به شدت به کاربرد آن وسیله بستگی دارد. در بعضی موارد طول عمر چرخه‌ای به عنوان تعداد چرخه‌های شارژ و دشارژ کامل که ظرفیت خازنی بیشتر از ۸۰٪ ظرفیت اولیه خود را حفظ کرده باشد تعریف می‌شود. مرگ یک باتری نیز زمانی فرا می‌رسد که ظرفیتش به کمتر از ۸۰٪ ظرفیت اولیه خود رسیده باشد. طول عمر چرخه‌ای باتری‌ها از چند صد تا چند هزار چرخه محدود می‌شود که ناشی از کمبود پایداری مواد و برگشت پذیری پائین واکنش‌های اکسایش کاهش در طی چرخه‌های شارژ و دشارژ متوالی می‌باشد در حالی که ابرخازن‌ها می‌توانند تا میلیون‌ها بار شارژ و دشارژ شوند که به طور آزمایشگاهی تعداد این چرخه‌ها قابل اندازه‌گیری نیست. پایداری چرخه‌ای واژه معادل طول عمر چرخه‌ای است که به عنوان اندازه‌گیری انرژی ذخیره شده در طی چرخه‌های شارژ و دشارژ متوالی است. پایداری چرخه‌ای به صورت درصد مشخصی از ظرفیت اولیه گزارش می‌شود که وسیله قادر به حفظ آن بعد از تعداد زیادی چرخه بوده است. برخلاف این حقیقت که واکنش اکسایش کاهش در بار ذخیره شده در شبکه خازن‌ها در گیر است طول عمر چرخه‌ای این وسائل خیلی بیشتر از باتری‌ها با قابلیت شارژ مجدد

1- Rate Capability

2- Cycle Life

3 -Stability test

است. که این امر به این خاطر است که باتری‌ها انرژی را بر پایه واکنش اکسایش کاهش در بالک یا توده‌ی ساختار لایه‌ای مواد الکترودی ذخیره می‌کنند. فرآیند تعادل و واکنش اکسایش کاهش بالک هرچند توسط سینتیک نفوذ یون‌ها محدود می‌شود. واکنش‌های اکسایش و کاهش در چرخه‌های زیاد باعث تخریب مواد فعال الکترودی به ویژه در سرعت‌های روبش بالا می‌شود. در ابرخازن‌های اکسایش کاهشی، واکنش اکسایش کاهش الکتروشیمیایی در سطح یا در نزدیک سطح مواد الکترودی فعال اتفاق می‌افتد و این امر باعث افزایش طول عمر چرخه‌ای ابرخازن‌های اکسایش کاهشی در مقایسه با باتری‌ها می‌شود.

۷-۴ بازده کولونی / انرژی / ولتاژ

بازده کولونی به صورت نسبت بار خارج شده از وسیله/ الکترود در طی فرآیند دشارژ نسبت به بار وارد شده به وسیله / الکترود در طی فرآیند شارژ است. برای یک سیستم با بازده کولونی 100% زمان شارژ و دشارژ در پروفایل شارژ و دشارژ گالوانوستاتیک با هم برابر است. بازده انرژی یک پارامتر مهم برای ارزیابی عملکرد وسیله ذخیره انرژی می‌باشد. بازده کولونی از محور X منحنی I-V به دست می‌آید در حالی که بازده انرژی از محورهای X و Y منحنی به دست می‌آید. بازده انرژی به صورت نسبت انرژی الکتریکی خروجی از وسیله نسبت به انرژی الکتریکی نیاز برای شارژ وسیله ذخیره انرژی تعریف می‌شود.

۸-۴ دشارژ خود به خودی و نشت جریان

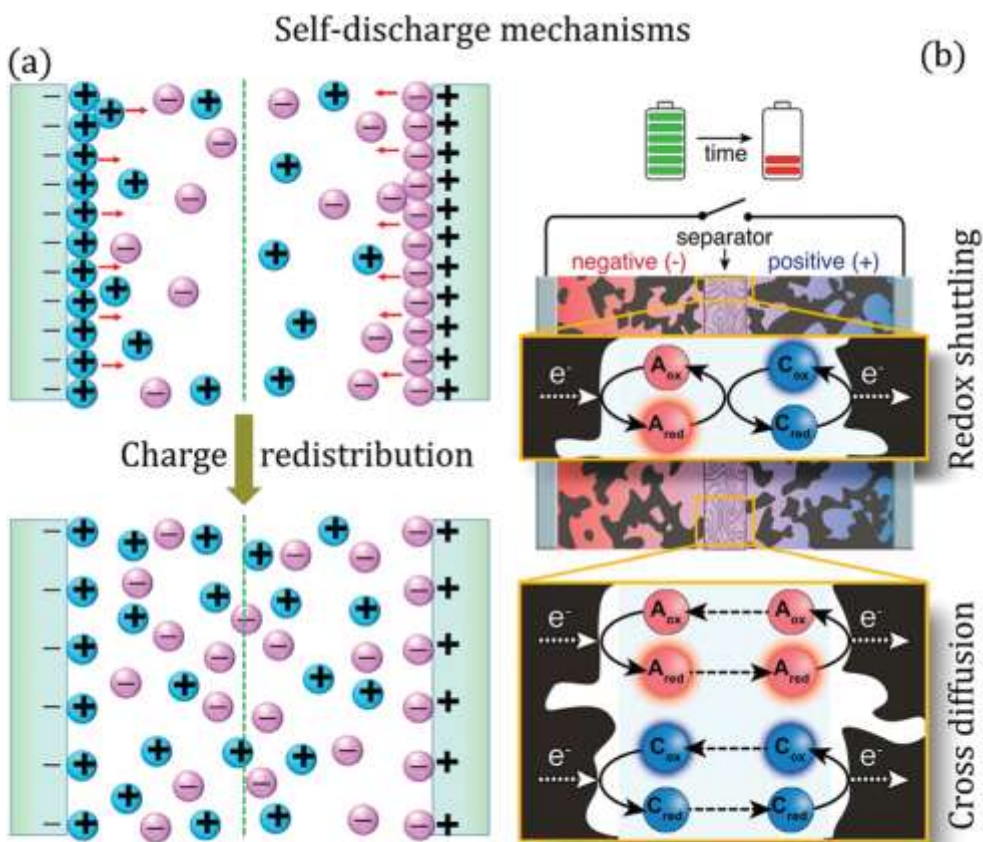
در یک وسیله ذخیره انرژی ایده‌آل الکترون‌ها تنها از قطب منفی خارج شده و به قطب مثبت می‌روند البته زمانی که مدار بسته باشد. هر چند در واقعیت در حالت مدار باز دشارژ به آرامی اتفاق می‌افتد که به صورت دشارژ خود به خودی شناخته می‌شود. این فرآیند به خاطر نیرو پیش برنده ترمودینامیکی موثر که تمایل دارد تا بار را از شرایط تعادل خارج سازد می‌باشد. اغلب سرعت دشارژ خودبه خودی در ابرخازن‌ها بیشتر از باتری‌ها است که این فرآیند به روی عملکرد خازن‌ها تاثیر می‌گذارد. فرآیند دشارژ خود به خودی به سه دسته تقسیم می‌شود.

۱. توزیع دوباره شارژ^۱
۲. فرآیند فارادیک پارازیتی^۲
۳. نشت اهمی^۳ جریان بین دو الکترود.

1- charge redistribution

2 - parasitic Faradaic reactions

قسمت بیرونی مواد الکترودی بسیار سریعتر از قسمت‌های درونی شارژ می‌شوند در نتیجه قسمت‌های بیرونی سریعتر به انتهای پنجره پتانسیلی می‌رسند. نابرابری بین پتانسیل بخش بیرونی و درونی عامل پیش برندۀ در پدیده‌ی دشارژ خود به خودی می‌باشد که با نام توزیع بار نامیده می‌شود. (شکل ۱-۹) مکانیسم دشارژ خودبه خودی را نشان می‌دهد. قسمت a همین شکل مکانیسم شارژ خودبه خودی در سیستم‌های الکتروشیمیایی لایه دوگانه و قسمت b مکانیسم شارژ خودبه خودی در سیستم‌های باتری‌مانند را نشان می‌دهد.



شکل (۱-۹) تصویر شماتیک مکانیسم دشارژ خوبه خودی [۲]

دریک وسیله ذخیره انرژی امکان دارد اتصال کوتاه بین دو الکترود برقرار شود. دشارژ خود به خودی ناشی از انتقال بار از طریق مدار کوتاه را نشت اهمی می‌نامند.

۱-۵ روش های ارزیابی پارامترهای کلیدی وسایل ذخیره انرژی

۱-۵-۱ ولتامتری چرخهای

ولتامتری چرخهای یکی از متدائل ترین روش های الکتروشیمیایی است که بر پایه کاربرد منحنی مثلثی پتانسیل بر حسب زمان است. که جریان را بر حسب پتانسیل تصویر سازی می کند. در سلول های دو الکترودی پتانسیل بین الکترودهای مثبت و منفی اعمال می شود در حالی که در سیستم های ۳ الکترودی پتانسیل بین الکترود کار و الکترود مرجع اعمال می شود. سرعت تغییر پتانسیل / ولتاژ نسبت به زمان سرعت روبش نامیده می شود. در ولتامتری چرخهای جریان عبوری از سلول الکتروشیمیایی نسبت به پتانسیل رسم می شود. این روش یکی از قدرتمندترین روش ها برای بررسی عملکرد ذخیره انرژی الکترودها می باشد. برگشت پذیری یک واکنش الکترودی و مطالعات مکانیزمی فرآیندهای درگیر در سیستم ذخیره انرژی توسط مطالعات ولتامتری چرخهای انجام می شود. واکنش اکسایش کاهش گونه های مختلف می تواند توسط جذب این گونه ها به روی سطح الکترود تحت تاثیر قرار گیرد. برای حل این مشکل نیاز به استفاده از ایزووترم جذب در مطالعات ولتامتری چرخهای می باشد. به طور کلی مقدار بار ذخیره شده در صفحات خازن ها با ولتاژ مناسب است. این نسبت به صورت ظرفیت بیان می شود و تغییرات ولتاژ نسبت به زمان خطی است. جریان عبوری از یک خازن به صورت خطی با سرعت روبش مناسب است و از پتانسیل مستقل است و بنابراین منحنی I-V به صورت مستطیل است. پروفایل شارژ و دشارژ و ولتامتری چرخهای در دو نکته با هم یکسان هستند. ۱. نسبت بین جریان و سرعت روبش ۲. تولید جریان با بار معکوس وقتی که سرعت روبش معکوس می شود.

۱-۵-۱-۱ ارائه راه حلی برای توجیه رفتار با تریمانند و خازن مانند

در ولتامتری چرخهای پاسخ جریان نسبت به کار رفته بسته به اینکه واکنش اکسایش کاهش تحت کنترل نفوذ است یا فرآیند جذب با هم فرق می کند. ولتامتری چرخهای مواد الکترودی در سیستم سه الکترودی می تواند توسط شکل منحنی ها مورد بررسی قرار گیرد. مواد الکترودی با تریمانند با ایجاد پیک در ولتامتری چرخهای مشخص می شوند و منحنی ولتامتری چرخهای مستطیل مانند نشان دهنده رفتار ابرخازنی می باشد. مواد شبکه خازنی

توسط ولتامتری چرخهای مستطیلی با پیک پهن یا به شدت برگشت پذیر شناخته می‌شوند. سیستم‌های هیبریدی نیز منحنی ولتامتری چرخهای باتری‌ها یا ابرخازن‌ها را در سیستم سه الکترودی نشان می‌دهند. هرچند که برخلاف پیک‌های تیز اکسایش کاهش در باتری‌ها یا ولتامتری چرخهای مستطیلی در سیستم‌های سه الکترودی وسائل ذخیره انرژی هیبریدی مثل بعضی سیستم‌های شبه‌خازنی رفتاری شبه مستطیل با یک پیک پهن اکسایش کاهش نشان می‌دهند که نشان‌دهنده ترکیب رفتار باتری‌مانند و ابرخازن‌مانند است. بدین ترتیب تمایز رفتار ابرخازنی و باتری‌مانند از روی شکل منحنی غیر ممکن است. تاراساتی^۱ اولین فردی بود که روشی برای تعیین سهم نفوذ فرآیند ذخیره بار خازنی ابداع کرد. سپس او و دیگران استقلال بار ولتامتری $(q)V$ را امتحان کردند. مقدار q_{in} به دو قسمت تجزیه می‌شود. ۱. q_{out} که سهم سطح خارجی مواد فعال الکترودی در ذخیره بار است. ۲. بار ولتامتری درونی q_{in} که جایگاه‌های در دسترس بخشی مثل حفرات، شکافها و غیره که بار به صورت نسبی با سرعت روبش به توان $1/2$ متناسب است. سرعت نفوذ گونه‌ها به درون بالک مواد الکترودی توسط سرعت روبش در طی آزمون ولتامتری چرخهای قابل کنترل است. وقتی سرعت روبش خیلی زیاد می‌شود بیشتر جایگاه‌های اکسایش کاهش کنترل کننده نفوذ از دسترس خارج می‌شوند و در نتیجه فرآیند ذخیره بار فارادیک برای انجام شدن بسیار کند می‌شوند. در طرف دیگر وقتی سرعت روبش خیلی کم شود فرآیند کنترل نفوذ به درون تمام حفرات موجود در درون مواد الکترودی در دسترس قرار می‌گیرند.

تفاوت بین ذخیره بار خازنی و بار کل برابر است با سهم ذخیره بار فارادیک. برای مواد باتری‌مانند پاسخ جريان با سرعت روبش به توان $5/0$ متناسب است و برای فرآیند ابرخازنی جريان با سرعت روبش متناسب است و بنابراین جريان کلی طبق رابطه ۳۳-۱ ارائه می‌شود.

$$I = i_{SC} + i_{BAT} = k_1 \vartheta^{1/2} + K_2 \vartheta^{1/2} \quad \text{رابطه ۳۳-۱}$$

برای به دست آوردن سهم هریک از این دو فرآیند در جريان باید مقادیر k_1 و k_2 بدست آید.

$$= k_1 \vartheta^{1/2} + k_2 \frac{i}{\vartheta^{1/2}} \quad \text{رابطه ۳۴-۱}$$

بارسم منحنی جریان تقسیم بر سرعت روبش به توان $5/0$ در مقابل سرعت روبش به توان $5/0$ مقدار k_1 و k_2 از

شیب و عرض از مبدا منحنی به دست می‌آید

۲-۱-۵ پنجره پتانسیلی

پنجره پتانسیلی بیشینه توسط افزایش پنجره پتانسیلی و ضبط ولتاومگرام تا جایی که مواد الکترودی پایداری خود را حفظ کرده‌اند و یا اینکه حلال واکنش نداده است ادامه می‌یابد. به علاوه پایداری پنجره پتانسیلی توسط شکل و شدت ولتاومتری چرخه‌ای مورد بررسی قرار می‌گیرد. کاهش شدت ولتاومتری چرخه‌ای نشان می‌دهد که مواد الکترودی فعال در حال حل شدن هستند و یا ارتباطشان با سطح بستر را از دست می‌دهند. تغییر شکل ولتاومگرام نشان می‌دهد که مواد الکترودی فعال تجزیه شده‌اند. به علاوه تولید گاز ممکن است حفرات مواد الکترودی را مسدود کند. بنابراین منحنی ولتاومتری چرخه‌ای از حالت خازنی به حالت مقاومتی تبدیل می‌شود.

ساختار سل و مواد الکترودی فعال به طور محسوسی پنجره پتانسیل سل را تحت تاثیر قرار می‌دهد. ویژگی مهم الکتروولیت‌های غیرآبی نسبت به همتای آبی خود این است که گستره پتانسیلی آن‌ها بسیار بیشتر از الکتروولیت‌های آبی است. (تا 4 ولت برای الکتروولیت‌های آبی). برای جلوگیری از محدودیت‌هایی مثل هدایت‌یونی، امنیت کم و سمیت الکتروولیت آبی محققان به جای استفاده از ساختارهای متقارن از ساختارهای نامتقارن استفاده می‌کنند. سیستم‌های 2 و 3 الکترودی اطلاعات متفاوتی را در محدوده پتانسیلی ارائه می‌دهند. ساختار سه الکترودی اطلاعاتی راجع به مواد الکترودی فعال ارائه می‌دهند. برای دانستن رفتار اکسایش کاهشی هر الکترود و اینکه هر یک چقدر در ایجاد محدودی پتانسیلی نقش دارند مطالعه سیستم سه الکترودی را ضروری می‌کند. از ساختار 2 الکترودی که یک الکترود کار است و دیگری هم الکترود مرجع و هم الکترود متقابل تنها اطلاعات کلی راجع به پنجره پتانسیلی بدست می‌آید.

۳-۱-۵-۱ ظرفیت

ظرفیت یک سلول از رابطه زیر به دست می‌آید. در این رابطه در حالت ایده‌آل مهم نیست که مساحت سطح حالت شارژ یا دشارژ محاسبه شود. در چنین حالتی می‌توان مساحت سطح کل را به دست آورد و به دو تقسیم نمود.

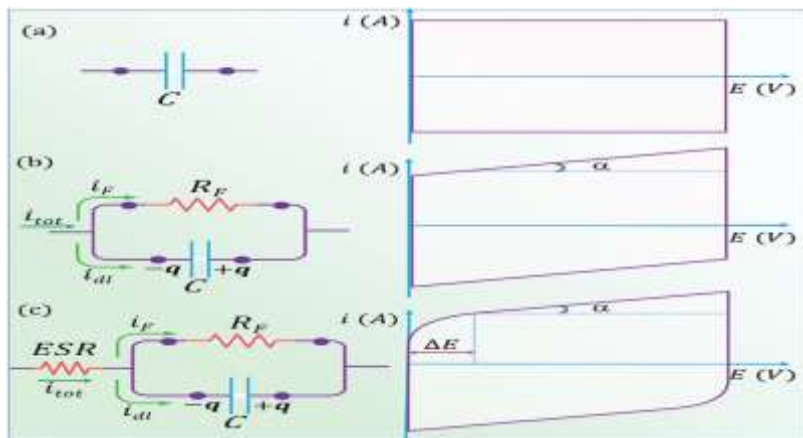
$$C_s = \frac{\int_{V_i}^{V_f} i dV}{\theta \times \Delta V \times x}$$

رابطه ۱-۳۵

هرچند که غالبا بازده ۱۰۰٪ نیست و در حالت غیر ایده‌آل ظرفیت در حالت رفت بیشتر از حالت برگشت است. با توجه به این موضوع در حالت غیر ایده‌آل ظرفیت باید در حالت برگشت محاسبه شود.

۴-۱-۵ مقاومت سری معادل

مقاومت سری معادل (ESR) یک سیستم از مقاومت الکتروولیت، مقاومت مواد فعال الکترودی و مقاومت بین الکترود و جمع کننده‌های جریان تشکیل شده است. این مقاومت باعث کاهش جریان و باعث کاهش در گوشه منحنی ولتاوی چرخه‌ای در ابتدای فرآیند شارژ و دشارژ می‌شود. بنابراین هرچه منحنی تیزتر رشد کند مقاومت کمتر است. شکل ۱-۱۰ منحنی ولتاوی چرخه‌ای سه مدار معادل ساده شده متفاوت را نشان می‌دهد. یک خازن لایه دوگانه الکتریکی ایده‌آل منحنی ولتاوی چرخه‌ای مستطیلی کامل را نشان می‌دهد(شکل ۱-۱-a). در حقیقت وسیله ذخیره انرژی رفتار پیچیده‌تری را از خود نشان می‌دهد(شکل ۱-۱-b). یک مدار را نشان می‌دهد که شمای انتقال بار فارادیک به موازات باردار شدن لایه دوگانه اتفاق می‌افتد. پروفایل ولتاوی چرخه‌ای چنین سیستمی منحنی شبیه داری را تشکیل می‌دهد و شبیه این منحنی برابر با مقاومت فارادیک است($R/1$). همانطور که از (شکل ۱-۱-a,c) می‌توان فهمید منحنی ولتاوی چرخه‌ای به شدت به سرعت روبش بستگی دارد. در سرعت روبش پایین شکل ولتاوی چرخه‌ای نزدیک به مستطیل است که نشان‌دهنده رفتار خازن لایه دوگانه الکتریکی است. در سرعت روبش بالا منحنی ولتاوی چرخه‌ای تغییر شکل می‌دهد و شبه مستطیلی می‌شود. انحراف ولتاوی چرخه‌ای از شکل مستطیل به صورت همپوشانی رفتار لایه دوگانه و فارادی بین مواد الکترودی و الکتروولیت و همچنین افزایش مقاومت درونی سیستم می‌باشد.



شکل ۱۰-۱۱) شماتیک مدار معادل و منحنی ولتاژی چرخه‌ای مرتبط با آن [۲]

۵-۱-۵ انرژی و توان

انرژی و توان الکترود توسط ظرفیت الکترود قابل محاسبه است. متداول‌ترین روش اندازه‌گیری توان از طریق فرآیند دشارژ و طبق رابطه زیر بدست می‌آید. که P_N توان نرمال شده بیشینه می‌باشد، V پتانسیل، مقاومت سری معادل و X می‌تواند حجم، جرم یا سطح باشد.

$$P_N = \frac{V^2}{4 \times ESR \times x} \quad \text{رابطه ۳۶-۱}$$

آزمون‌های متداول سیستم‌های ذخیره انرژی اطلاعاتی راجع به مکانیسم بازده از دست رفته سیستم بدست نمی‌دهد. منحنی توان ویژه/ ولتاژ سلول به صورت تابعی از دانسیته جریان اطلاعات مفیدی در مورد سل می‌دهد.

۱-۵-۶ قابلیت سرعت

در مطالعات ولتاژی چرخه‌ای قابلیت سرعت، ظرفیت را به صورت تابعی از سرعت روبش بیان می‌کند. قابلیت سرعت به صورت منحنی تغییرات ظرفیت بر حسب سرعت روبش قابل ارزیابی است. هرچه سرعت روبش کمتر باشد ظرفیت بالاتر است و با افزایش سرعت روبش ظرفیت کاهش می‌یابد. قابلیت سرعت بالا نشان‌دهنده مساحت سطح و حفرات مواد الکترودی فعال هستند که به طور کامل در دسترس قرار دارند.

۱-۵-۷ اندازه‌گیری‌های شارژ و دشارژ گالوانواستاتیک

شارژ و دشارژ گالوانواستاتیک متداول‌ترین روش آنالیز و پیش‌بینی عملکرد ذخیره انرژی مواد فعال الکترودی تحت شرایط عملی است. در یک آزمون شارژ و دشارژ گالوانواستاتیک جریان ثابت برای یک الکترود به کار برد

می‌شود و الکترود بین دو محدوده‌ی پتانسیلی شارژ و دشارژ می‌شود و در حالی که تغییرات پتانسیل نسبت به زمان ضبط می‌شود. همانند منحنی ولتاوری چرخه‌ای، ابرخازن‌ها، سیستم‌های هیبریدی و باتری‌ها پاسخ‌های متفاوتی در منحنی شارژ و دشارژ گالوانوستاتیک از خود نشان می‌دهند. مواد لایه دوگانه خازنی و بعضی از مواد شبکه‌خازنی به محض عبور جریان به صورت خطی افزایش یا کاهش می‌یابد در حالی که بعضی منحنی شارژ و دشارژ مواد شبکه‌خازنی مثل سیستم‌های هیبریدی رفتار غیرخطی از خود نشان می‌دهند. پروفایل شارژ و دشارژ گالوانوستاتیک باتری‌ها بر اساس قواعد ترمودینامیک یک پروفایل ثابت طولانی و خطی ولتاژ از خود نشان می‌دهد. به خاطر این اختلاف رفتار وسایل مختلف ذخیره انرژی در شارژ و دشارژ گالوانوستاتیک لازم است ماهیت مواد الکترودی توسط معیارها و روش‌های مخصوص مشخص شود. مشابه با روش ولتاوری چرخه‌ای، در تکنیک شارژ و دشارژ گالوانوستاتیک سهم رفتار خازنی و فارادیک را در سیستم تحت تاثیر قرار می‌دهد. در دانسیته بالای جریان تنها سطح خارجی مواد الکترودی در شارژ و دشارژ سهیم هستند بنابراین پاسخ وسیله هیبریدی با جزء لایه دوگانه خازنی کنترل می‌شود که باعث کاهش محسوس در انرژی می‌شود. هرچند، در دانسیته جریان‌های پایین جایگاه درونی و سطحی مواد الکترودی فعال در دسترس یون‌های الکتروولیت قرار می‌گیرند که منجر به ظرفیت ویژه بالا می‌شود. آزمون شارژ و دشارژ گالوانوستاتیک برای بررسی پایداری چرخه‌ای نیز استفاده می‌شود. نکته اینکه پاسخ آزمون‌های شارژ و دشارژ گالوانوستاتیک و ولتاوری چرخه‌ای باید مقادیر یکسانی را به دست دهنند. زمان انجام تست ولتاوری چرخه‌ای کوتاه‌تر از شارژ و دشارژ گالوانوستاتیک می‌باشد.

۱-۵-۲-۱ پنجره پتانسیلی

در روش شارژ و دشارژ گالوانوستاتیک، برای تعیین ولتاژ سلول، میزان پتانسیل به شکل تدریجی تا مشاهده جهش در پروفایل شارژ و دشارژ افزایش می‌یابد. وقتی که یک ناحیه خطی ولتاژ بالا در پروفایل شارژ مشاهده شد می‌توان فهمید که حلال در حال تخریب است. در چنین مواردی فرآیند شارژ باید به سرعت به حالت دشارژ تبدیل شود تا سیستم پایداری خود را بازیابد. به علاوه می‌توان مشاهده کرد که در پروفایل شارژ و دشارژ گالوانوستاتیک با افزایش پنجره پتانسیلی علاوه بر محدودیت پایداری الکتروولیت و مواد الکترودی بازده کولونی سیستم نیز کاهش می‌یابد.

بنابراین پنجره پتانسیلی برای بیشترین عملکرد ذخیره انرژی و کمترین تاثیر منفی تخریب الکتروولیت و مواد الکترودی بهینه می‌شود. به علاوه رفتار و سهم الکترودهای مثبت و منفی به صورت جداگانه در محدوده‌ی پنجره پتانسیلی می‌تواند توسط شارژ و دشارژ گالوانواستاتیک تصویر سازی شود.

۲-۵-۱ ظرفیت

همانطور که قبلاً اشاره شد غیر ایده‌آل بودن سیستم ذخیره انرژی باعث انحراف منحنی ولتاژی چرخه‌ای از شکل مستطیل می‌شود. بنابراین ناحیه انتگرالی در حالت رفت بیشتر از حالت برگشت است. بنابراین برای صحت بیشتر ظرفیت باید بر پایه‌ی ناحیه حالت برگشت محاسبه شود. همین دلیل برای آزمایش شارژ و دشارژ گالوانواستاتیک نیز وجود دارد بنابراین ظرفیت در اندازه‌گیری شارژ و دشارژ گالوانواستاتیک باید در حالت دشارژ محاسبه شود. خیلی مهم‌تر اینکه محاسبه ظرفیت با استفاده از پروفایل شارژ و دشارژ گالوانواستاتیک در هر نوع سیستمی نیاز به انتخاب مدل ریاضی مناسب دارد که توسط سانتاماریا^۱ و همکارانش استاندارد سازی شد.

برای سیستم‌های خازن لایه دوگانه الکتریکی این مدل ریاضی برابر است با

$$C = \frac{\Delta q}{\Delta V} = \frac{i \Delta t}{\Delta V} \quad \text{رابطه ۳۷-۱}$$

و برای سیستم‌های هیبریدی و شبکه‌خازنی برابر است با

$$C = \frac{i}{\left(\frac{dV}{dt} \right)} \quad \text{رابطه ۳۸-۱}$$

هر چند که خواه شکل منحنی دشارژ خطی یا غیرخطی باشد مقدار q/V توسط رابطه زیر محاسبه می‌شود.

$$= \frac{2i \int V dt q}{x V^2} \quad \text{رابطه ۳۹-۱}$$

نکته اینکه در آزمایش شارژ و دشارژ گالوانواستاتیک جریان ثابت است و در انتگرال شرکت نمی‌کند. شکل پروفایل دشارژ نقش مهمی در تعیین ماهیت خازن لایه دوگانه الکتریکی خالص بازی می‌کند هرچند چون افت اهمی IR اجتناب ناپذیر است برای محاسبه ظرفیت سیستم خازن لایه دوگانه الکتریکی فرمول زیر باید نوشته شود

$$C = \frac{I \Delta t}{\Delta V - ESR}$$

رابطه ۱-۴۰

برای پروفایل شارژ و دشارژ گالوانوستاتیک غیرخطی مفهوم ظرفیت به کار برد نمی‌شود اگرچه نسبت q/V همیشه واحد F را به دست می‌دهد. به جای این برای مقایسه عادلانه توانایی ذخیره انرژی سیستم‌ها با پروفایل شارژ و دشارژ گالوانوستاتیک غیرخطی ظرفیت ذخیره بار و انرژی باید استفاده شود. یکی از متداول‌ترین اشتباه‌هایی که انجام می‌شود محاسبه ظرفیت پروفایل شارژ و دشارژ گالوانوستاتیک الکترود منفی مواد الکترودی در سیستم‌های سه الکترودی می‌باشد. در این مورد پروفایل شارژ نزولی و پروفایل دشارژ صعودی است و باید توجه شود که مساحت سطح زیر ناحیه دشارژ که برای استخراج پارامترها استفاده می‌شود در بالای خط دشارژ قرار دارد. به طور کلی جرم و ضخامت مواد الکترودی عملکرد وسیله را به طور محسوسی تحت تاثیر قرار می‌دهند.

بعضی موارد برای کاربردهای تجاری برای بهینه کردن وسایل با کاربردهای مخصوص جرم و ضخامت جرم و ضخامت ماده الکترودی باید تنظیم شود. برای مثال ابرخازن‌ها با ضخامت چند میکرومتری مواد الکترودی، برای کاربردهای توان بالا و ابرخازن‌ها با ضخامت چند میلی متری مواد برای کاربردهای با انرژی بالا استفاده می‌شوند.

۱-۵-۲-۳ انرژی و توان

مقدار انرژی ابرخازن‌ها در طی فرآیند شارژ و دشارژ تحت جریان ثابت برابر است با رابطه

$$E = \int_0^q V dq = i \int_0^t V dt$$

۴۱-۱

برای یک منحنی خطی شارژ و دشارژ گالوانوستاتیک، تابع خطی V تابع خطی i است و رابطه بالا به صورت $E = 1/2 d^2 v^2$ در می‌آید. تقویت ولتاژ می‌تواند به طور محسوسی باعث عملکرد خوب انرژی و توان شود. چون ذخیره انرژی اولین نقش وسایل ذخیره انرژی است انرژی و توان پارامترهای کلیدی برای مقایسه هستند. اما برخی محققان از معادله $C = q/v$ برای محاسبه ظرفیت پروفایل‌های غیرخطی شارژ و دشارژ گالوانوستاتیک استفاده می‌کنند که باعث سردرگمی می‌شود. انرژی ذخیره شده در خازن توسط شارژ خازن صورت می‌گیرد. در ابرخازن‌های متقاضی ظرفیت خازنی از سیستم سه الکترودی به دست می‌آید 4 برابر ظرفیت سیستم دو الکترودی است چرا که در سیستم 2 الکترودی مقابله هم به صورت سری به هم متصل شده‌اند و چون ظرفیت معادل آن‌ها با هم برابر است

طبق معادله خازن‌های سری ظرفیت $1/4$ ظرفیت سیستم سه الکترودی می‌شود. چون پنجره پتانسیلی وسیله متقارن برابر با الکترود منفرد در سیستم سه الکترودی می‌باشد تخمین انرژی به کمک ظرفیت الکترود منفرد قابل انجام است.

$$E = \frac{1}{8} C_{\text{electrode}} V^2 \quad 42-1$$

۴-۲-۵-۱ مقاومت سری معادل

افت اهمی یا مقاومت معادل سری می‌تواند طبق رابطه زیر محاسبه شود.

$$\text{ESR} = \frac{\Delta V_{esr}}{|I_{\text{charge}} + i_{\text{discharge}}|} = \frac{\Delta V_{esr}}{2I} \quad 43-1$$

مقدار مقاومت معادل توزیعی^۱ به کمک پروفایل دشارژ و رابطه زیر به دست می‌آید

$$\text{EDR} = \frac{\Delta V_{edr}}{|I_{\text{charge}} + i_{\text{discharge}}|} = \frac{\Delta V_{edr}}{2I} \quad 44-1$$

چون انرژی ذخیره شده در ابرخازن نتیجه واکنش‌های الکتروشیمیایی بالک نیست، ابرخازن با سرعت یکسان می‌تواند شارژ و دشارژ شود. نکته اینکه در برنامه‌ی اندازه‌گیری وسایل ذخیره، انرژی وسیله شارژ می‌شود سپس دریک مدار باز استراحت می‌کند و سپس تا حد پتانسیلی دشارژ می‌شود.

۴-۲-۵-۲ قابلیت سرعت

نرخ توانایی یکی از ویژگی‌های مهم وسایل ذخیره انرژی است که به کمک دانسیته جریان‌های مختلف مورد مطالعه قرار می‌گیرد.

یک وسیله با قابلیت سرعت بالا توانایی نشان دادن ظرفیت بالا در هر دانسیته جریانی را دارد. مواد خازن لایه دوگانه الکتریکی قابلیت سرعت بالایی را از خود نشان می‌دهند اما مواد شبکه‌خازنی که بر اساس واکنش فارادیک اکسایش کاهش عمل می‌کنند و از مقاومت درونی بالا رنج می‌برند دارای قابلیت سرعت پایینی هستند.

1- Equivalent Distribution resistance(EDR)

۶-۵-۱ پایداری چرخه‌ای

پایداری چرخه‌ای که یک فاکتور مهم در تعیین ماهیت وسیله ذخیره انرژی است می‌تواند توسط تکرار متداول چرخه‌ی شارژ و دشارژ گالوانوستاتیک برای چند صد چرخه برای باتری‌ها و چندین هزار برای ابرخازن‌ها انجام شود. نتیجه معمولاً به صورت درصد ظرفیت باقی مانده بعد از تعداد چرخه‌های شارژ و دشارژ گزارش شود. طول عمر چرخه‌ای سیستم ذخیره انرژی شارژ پذیر بستگی به شرایط انجام فرآیند مثل عمق دشارژ، جریان شارژ و دشارژ و دمای انجام دارد. باتری‌های غیر لیتیومی تا ۵۰۰ چرخه، باتری‌های لیتیومی و سدیمی تا ۲۰۰۰ چرخه و ابرخازن‌ها تا ۱۰۰۰۰ چرخه و وسائل هیبریدی تا ۵۰۰۰۰ چرخه توانایی شارژ و دشارژ دارند.

۷-۵-۱ بازده کولونی / انرژی / ولتاژ

بازده کولونی یکی از محدوده‌ها برای تعیین ماهیت وسیله ذخیره انرژی است که بازده انتقال الکترون را از رابطه زیر تعیین می‌کند.

$$CE(\%) = \frac{\Delta q_d}{\Delta q_c} \times 100 = \frac{\int_0^{t_d} i ddt}{\int_0^{t_c} ic dt} \times 100 \quad ۴۵-۱$$

بازده کولونی توسط دانسیته جریان و دما تحت تاثیر قرار می‌گیرد. همچنین بازده انرژی و بازده ولتاژ به ترتیب از طریق رابطه‌های ۴۶-۱ و ۴۷-۱ بدست می‌آید.

$$EE(\%) = \frac{Ed}{Ec} \times 100 = \frac{\int_0^{t_d} idV ddt}{\int_0^{t_c} icV cdt} \times 100 \quad ۴۶-۱$$

$$VE = \frac{EE}{CE} \times 100 \quad ۴۷-۱$$

۳-۵-۱ طیف سنجی امپدانس الکتروشیمیایی

طیف سنجی امپدانس الکتروشیمیایی به شکل گسترده‌ای برای تعیین ماهیت گونه‌های زیادی از وسائل ذخیره انرژی به ویژه ابرخازن‌ها مورد استفاده قرار می‌گیرد. از آنجایی که خطی بودن از ویژگی‌های ذاتی این تکنیک است و باتری‌ها سیستم غیرخطی هستند ارتباط I-V غیرخطی است از این رو این روش در مورد باتری‌ها صادق نیست. آزمون‌های طیف سنجی امپدانس الکتروشیمیایی، امپدانس یک سیستم را به صورت تابعی از فرکانس در یک پتانسیل

ثبت اندازه‌گیری می‌کند. طیف سنجی امپدانس الکتروشیمیایی می‌تواند برای اندازه‌گیری رفتار خازنی یک الکترود منفرد یا یک وسیله شامل ۲ یا چندین الکترود مورد استفاده قرار گیرد. در اندازه‌گیری طیف سنجی امپدانس الکتروشیمیایی یک ولتاژ سینوسی با شدت کم (بین ۵ تا ۱۰ میلی ولت) به روی یک ولتاژ ثابت سوار می‌شود و امپدانس به صورت تابعی از فرکانس مدولاسیون اندازه گرفته می‌شود. پاسخ خروجی در یک مطالعه طیف سنجی امپدانس الکتروشیمیایی به راحتی به شکل منحنی باد^۱ (شدت یا فاز پاسخ در مقابل فرکانس) یا منحنی نایکوئست^۲ (امپدانس موهومی در مقابل امپدانس واقعی) به نمایش در می‌آید. به طور عملی آزمون طیف سنجی امپدانس الکتروشیمیایی برای مطالعه امپدانس، ظرفیت ویژه، مقاومت سری معادل و مکانیسم ذخیره بار می‌تواند مورد استفاده قرار گیرد. به علاوه با تنظیم فرکانس می‌توان مسیرهای مختلف هدایت در یک مدار معادل را ممکن نمود. این بدین معنی است که بسته به فرکانس به کار گرفته شده ویژگی‌های فیزیکی و شیمیایی مواد می‌تواند تنظیم شود تا مواد به صورت مقاومت و یا خازن خالص رفتار کنند.

یک روش برای آنالیز داده‌های طیف سنجی امپدانس الکتروشیمیایی سازگار کردن داده‌های آزمایشگاهی با مدار معادل مناسب است. هر چند که دانشمندان در مورد فرآیند یا مکانیسم این سیستم‌ها کم می‌دانند و به همین دلیل هماهنگ کردن داده‌های امپدانس آزمایشگاهی با مدار معادل مختلف می‌تواند چالش برانگیز باشد از این رو دانشمندان باید مراقب باشند وقتی که آنالیز طیف سنجی امپدانس الکتروشیمیایی انجام می‌دهند مدل معادل و متعاقباً داده‌ها معنی دار باشد. بنابراین درک قواعد اصولی و روش‌های طیف سنجی امپدانس الکتروشیمیایی مهم است.

یک مقاومت الکتریکی (R) وقتی که ولتاژ (V) از دو سر یک قطعه هادی عبور می‌کند، توانایی یک مدار عنصری برای مقاومت در برابر جریان الکتریکی (I) است. وقتی که جریان از یک مدار عبور می‌کند ارتباط بین I و V توسط قانون اهم بیان می‌شود. اگرچه امپدانس (Z) و مقاومت (R) شبیه هم هستند اما امپدانس تابعی از زمان یا فرکانس است.

$$Z = \frac{Vt}{It}$$

۴۸-۱

1- bode

2 - nyquist

امپدانس الکتروشیمیایی به صورت به کار بردن پتانسیل سینوسی بر روی یک سل شیمیایی و اندازه‌گیری جریان بیان می‌شود. فرمول کلی ولتاژ سینوسی برابر است با

$$V_t = V_0 \sin(\omega t) \quad 49-1$$

در یک سیستم خطی پاسخ جریان به صورت فازی تغییر می‌کند و جریان سینوسی برای آن برابر است

$$I_t = I_0 \sin(\omega t + \varphi) \quad 50-1$$

باید ذکر شود که جریان یا ولتاژ مستقیم به صورت نوع خاصی از جریان یا ولتاژ متناوب است که فرکانس آن صفر است. بر پایه رابطه بالا می‌توان رابطه زیر را نوشت

$$Z = \frac{V_t}{I_t} = \frac{V_0 \sin(\omega t)}{I_0 \sin(\omega t + \varphi)} = Z_0 \frac{\sin(\omega t)}{\sin(\omega t + \varphi)} \quad 51-1$$

Z به مفهوم مقدار پیچیده و Z_{re} و Z_{im} به عنوان مقادیر واقعی و موهومی در نظر گرفته می‌شود.

$$Z = Z_{re} + jZ_{im}; \quad j = \sqrt{-1} \quad 52-1$$

اگر بخش واقعی به عنوان محور X و بخش موهومی به عنوان محور y ترسیم شود منحنی نایکوئست به دست می‌آید که امپدانس به صورت بردار طولی قدر مطلق Z بیان می‌شود و زاویه بین Z و محور y زاویه فاز Φ است.

طول بردار Z به صورت رابطه زیر بیان می‌شود.

$$|Z| = \sqrt{Z_{re}^2 + Z_{im}^2} \quad 53-1$$

و می‌توان نوشت

$$Z_{re} = |Z| \cos \varphi \quad 54-1$$

$$Z_{im} = |Z| \sin \varphi \quad 55-1$$

و می‌توان نوشت

$$Z = |Z| \cos \varphi + j|Z| \sin \varphi = |Z| (\cos \varphi + j \sin \varphi) = |Z| e^{j\varphi} \quad 56-1$$

به طور کلی طیف طیف سنجی امپدانس الکتروشیمیایی یک سل به صورت منحنی نایکوئست و باد بیان می‌شود.

طیف سنجی امپدانس الکتروشیمیایی به صورت منحنی نایکوئست بسیار مشهورتر است زیرا ویژگی‌های مشهود بیشتری را به دست می‌دهد.

امپدانس یک مدار موازی یک نیم دایره است. در فرکانس‌های پایین که $Z_{re} \approx CR$ خیلی کمتر از یک است برابر با R و $Z_{im}=0$ است بنابراین مدار R/C به صورت یک مقاومت عمل می‌کند. در فرکانس‌های به حد کافی بالا که ωCR خیلی بزرگتر از یک است $Z_{im}=1/\omega C$ و $Z_{re}=0$ است و بنابراین در مدار C/R به صورت خازن عمل می‌کند. اگر $WCR=1/Z_{im}$ باشد بیشترین مقدار برابر با $R/2$ را دارد که پیک نیم دایره است. در یک ابرخازن ایده‌آل جریان عبوری از سلول یا جریان شارژ و دشارژ لایه دوگانه ویا جریان فارادیک است. هرچند، فرآیندهای ناخواسته به فراوانی اتفاق می‌افتد و بنابراین مدار معادل یک ابرخازن شامل خازن لایه دوگانه الکتریکی و شبکه خازن می‌باشد که دارای مدار سری معادل (ESR) و ظرفیت لایه دوگانه C_{dl} و مقاومت فارادیک R_{ct} و شبکه خازنی R_{pc} و یک مقاومت موازی R_L می‌باشد. فرآیند افت اهمی R_L می‌باشد.

نکته اینکه در یک سیستم، شبکه خازن موازی با خازن لایه دوگانه است. امپدانس کلی مدار برابر است با

$$Z = ESR + \frac{R_L(a + b\omega C_{PC} R_{ct})}{a^2 + b^2} - j \frac{R_L(b - a\omega C_{PC} R_{ct})}{a^2 + b^2} \quad ۵۷-۱$$

۶-۶ بررسی ابرخازن‌ها در سیستم دوالکترودی برای استفاده عملی

در سیستم سه الکترودی یکی از صفحات خازنی در لایه دوگانه الکتریکی و در محلول تشکیل می‌شود و بنابراین در عمل غیر قابل استفاده است برای رفع این مشکل و بهره گرفتن از ابرخازن‌ها در عمل دو الکترود که هر کدام می‌تواند یک ابرخازن مجزا باشد را روی یکدیگر قرار داده و با یک جداکننده آغشته به الکتروولیت از یکدیگر جدا می‌شوند این حالت مانند وقتی است که دو خازن به طور سری به یکدیگر متصل شده‌اند، با توجه به رابطه ۸-۱ خازن‌ها ظرفیت در این حالت کاهش می‌یابد [۱۳۹-۱۴۱].

$$\frac{1}{C_t} = \frac{1}{C_1} + \frac{1}{C_2}$$

رابطه ۶۰-۱

در این رابطه C_t ظرفیت کل برای سیستم و C_1 و C_2 ظرفیت برای هر کدام از ابرخازن‌ها است.

الکترودهای مورد استفاده در این سیستم می‌توانند مشابه باشند که در این حالت به این سیستم یک سیستم ابرخازنی متقارن^۱ گفته می‌شود و یا اینکه الکترودها غیر مشابه باشند که در این حالت به آن یک سیستم ابرخازنی غیرمتقارن^۲ گفته می‌شود. [۱۴۲ و ۱۴۳].

1- Symmetrical
2- Asymmetrical

مراجع:

- [1] Chen, George Z. "Supercapacitor and supercapattery as emerging electrochemical energy stores." *International Materials Reviews* 62.4 (2017): 173-202.
- [2] Noori, Abolhassan, et al. "Towards establishing standard performance metrics for batteries, supercapacitors and beyond." *Chemical Society Reviews* 48.5 (2019): 1272-1341.
- [3] Gogotsi, Yury, and Patrice Simon. "True performance metrics in electrochemical energy storage." *Science* 334.6058 (2011): 917-918.
- [4] Simon, Patrice, and Yury Gogotsi. "Materials for electrochemical capacitors." *Nanoscience and technology: a collection of reviews from Nature journals*. 2010. 320-329.
- [5] Liu, Chenguang, et al. "Graphene-based supercapacitor with an ultrahigh energy density." *Nano letters* 10.12 (2010): 4863-4868.
- [6] Chen, Huabing, et al. "Precise nanomedicine for intelligent therapy of cancer." *Science China Chemistry* 61.12 (2018): 1503-1552.
- [7] Kim, Brian Kihun, et al. "Electrochemical supercapacitors for energy storage and conversion." *Handbook of Clean Energy Systems* (2015): 1-25.
- [8] Bai, Wenlong, et al. "Preparation of ZnCo₂O₄ nanoflowers on a 3D carbon nanotube/nitrogen-doped graphene film and its electrochemical capacitance." *Journal of Materials Chemistry A* 3.43 (2015): 21891-21898.
- [9] Guan, Li, Linpo Yu, and George Z. Chen. "Capacitive and non-capacitive faradaic charge storage." *Electrochimica Acta* 206 (2016): 464-478.
- [10] Lukatskaya, Maria R., Bruce Dunn, and Yury Gogotsi. "Multidimensional materials and device architectures for future hybrid energy storage." *Nature communications* 7.1 (2016): 1-13.
- [11] Razbani, Omid, and Mohsen Assadi. "Artificial neural network model of a short stack solid oxide fuel cell based on experimental data." *Journal of Power Sources* 246 (2014): 581-586.
- [12] Kanani, Nasser. *The Parthian Battery: Electric Current 2000 Years Ago?; the History of Surface Finishing*. Leuze, 2004.
- [13] Whittingham, M. Stanley. "History, evolution, and future status of energy storage." *Proceedings of the IEEE* 100.Special Centennial Issue (2012): 1518-1534.
- [14] Ginley, David S., and David Cahen, eds. *Fundamentals of materials for energy and environmental sustainability*. Cambridge university press, 2011.
- [15] Ho, Janet, T. Richard Jow, and Steven Boggs. "Historical introduction to capacitor technology." *IEEE Electrical Insulation Magazine* 26.1 (2010): 20-25.
- [16] Both, Jens. "The modern era of aluminum electrolytic capacitors." *IEEE Electrical Insulation Magazine* 31.4 (2015): 24-34.

- [17] Moseley, Patrick T., and Jurgen Garche, eds. *Electrochemical energy storage for renewable sources and grid balancing*. Newnes, 2014.
- [18] Trasatti, Sergio, and Giovanni Buzzanca. "Ruthenium dioxide: a new interesting electrode material. Solid state structure and electrochemical behaviour." *Journal of Electroanalytical Chemistry and Interfacial Electrochemistry* 29.2 (1971): A1-A5.
- [19] Sung, Joo-Hwan, Se-Joon Kim, and Kun-Hong Lee. "Fabrication of microcapacitors using conducting polymer microelectrodes." *Journal of power sources* 124.1 (2003): 343-350.
- [20] N.A.Kyeremateng, T.Brousse and D.Pech, Nat.Nanotechnol., 2017, 12, 7-15.
- [21] Chmiola, John, et al. "Monolithic carbide-derived carbon films for micro-supercapacitors." *Science* 328.5977 (2010): 480-483.
- [22] Pech, David, et al. "Elaboration of a microstructured inkjet-printed carbon electrochemical capacitor." *Journal of Power Sources* 195.4 (2010): 1266-1269.
- [23] Beidaghi, Majid, and Yury Gogotsi. "Capacitive energy storage in micro-scale devices: recent advances in design and fabrication of micro-supercapacitors." *Energy & Environmental Science* 7.3 (2014): 867-884.
- [24] El-Kady, Maher F., et al. "Laser scribing of high-performance and flexible graphene-based electrochemical capacitors." *Science* 335.6074 (2012): 1326-1330.
- [25] El-Kady, Maher F., and Richard B. Kaner. "Scalable fabrication of high-power graphene micro-supercapacitors for flexible and on-chip energy storage." *Nature communications* 4 (2013): 1475.
- [26] Hu, Haibo, Zhibin Pei, and Changhui Ye. "Recent advances in designing and fabrication of planar micro-supercapacitors for on-chip energy storage." *Energy Storage Materials* 1 (2015): 82-102.
- [27] Lu, Xue-Feng, et al. " α -Fe₂O₃@ PANI core–shell nanowire arrays as negative electrodes for asymmetric supercapacitors." *ACS applied materials & interfaces* 7.27 (2015): 14843-14850.
- [28] Dubal, Deepak P., et al. "Hybrid energy storage: the merging of battery and supercapacitor chemistries." *Chemical Society Reviews* 44.7 (2015): 1777-1790.
- [29] Cericola, Dario, and Rüdiger Kötz. "Hybridization of rechargeable batteries and electrochemical capacitors: Principles and limits." *Electrochimica Acta* 72 (2012): 1-17.
- [30] Ghenaatian, H. R., M. F. Mousavi, and M. S. Rahmanifar. "High performance battery–supercapacitor hybrid energy storage system based on self-doped polyaniline nanofibers." *Synthetic metals* 161.17-18 (2011): 2017-2023.
- [31] Hu, Liangbing, et al. "Symmetrical MnO₂–carbon nanotube–textile nanostructures for wearable pseudocapacitors with high mass loading." *ACS nano* 5.11 (2011): 8904-8913.
- [32] Akinwolemiwa, Bamidele, Chuang Peng, and George Z. Chen. "Redox electrolytes in supercapacitors." *Journal of The Electrochemical Society* 162.5 (2015): A5054-A5059.

- [33] Frackowiak, Elzbieta, et al. "Redox-active electrolyte for supercapacitor application." *Faraday discussions* 172 (2014): 179-198.
- [34] Reddy, Thomas B. *Linden's handbook of batteries*. Vol. 4. New York: McGraw-Hill, 2011.
- [35] Yoo, Hyun Deog, et al. "On the challenge of developing advanced technologies for electrochemical energy storage and conversion." *Materials Today* 17.3 (2014): 110-121.
- [36] Karami, H., et al. "Lead-acid bipolar battery assembled with primary chemically formed positive pasted electrode." *Journal of power sources* 164.2 (2007): 896-904.
- [37] Shi, Ye, et al. "Nanostructured conductive polymers for advanced energy storage." *Chemical Society Reviews* 44.19 (2015): 6684-6696.
- [38] Xie, Yu, et al. "Prediction and characterization of MXene nanosheet anodes for non-lithium-ion batteries." *ACS nano* 8.9 (2014): 9606-9615.
- [39] Wang, Yanrong, et al. "Emerging non-lithium ion batteries." *Energy Storage Materials* 4 (2016): 103-129.
- [40] Hudak, Nicholas S. "Chloroaluminate-doped conducting polymers as positive electrodes in rechargeable aluminum batteries." *The Journal of Physical Chemistry C* 118.10 (2014): 5203-5215.
- [41] Karami, Hassan, et al. "New dry and wet Zn-polyaniline bipolar batteries and prediction of voltage and capacity by ANN." *Journal of power sources* 154.1 (2006): 298-307.
- [42] Xiang, Pan, et al. "Metallic borophene polytypes as lightweight anode materials for non-lithium-ion batteries." *Physical Chemistry Chemical Physics* 19.36 (2017): 24945-24954.
- [43] Bisschoff, Wilhelm, Nima Zabihi, and Rupert Gouws. "Development of an energy source management system for a prototype supercapacitor rough terrain mine vehicle."
- [44] Zhang, Sanliang, and Ning Pan. "Supercapacitors performance evaluation." *Advanced Energy Materials* 5.6 (2015): 1401401.
- [45] Zhai, Yunpu, et al. "Carbon materials for chemical capacitive energy storage." *Advanced materials* 23.42 (2011): 4828-4850.
- [46] Gu, W., and G. Yushin. "Wiley Interdiscip. Rev." *Energy Environ* 3 (2014): 424-473.
- [47] Wang, Lisa J., et al. "Flash converted graphene for ultra-high power supercapacitors." *Advanced Energy Materials* 5.18 (2015): 1500786.
- [48] Liu, Yu, and Xinsheng Peng. "Recent advances of supercapacitors based on two-dimensional materials." *Applied Materials Today* 8 (2017): 104-115.
- [49] Dong, Yanfeng, et al. "Graphene: a promising 2D material for electrochemical energy storage." *Science Bulletin* 62.10 (2017): 724-740.
- [50] El-Kady, Maher F., Yuanlong Shao, and Richard B. Kaner. "Graphene for batteries, supercapacitors and beyond." *Nature Reviews Materials* 1.7 (2016): 1-14.

- [51] Shao, Yuanlong, et al. "Graphene-based materials for flexible supercapacitors." *Chemical Society Reviews* 44.11 (2015): 3639-3665.
- [52] Davies, Aaron, and Aiping Yu. "Material advancements in supercapacitors: from activated carbon to carbon nanotube and graphene." *The Canadian Journal of Chemical Engineering* 89.6 (2011): 1342-1357.
- [53] Sun, Leimeng, et al. "Roles of carbon nanotubes in novel energy storage devices." *Carbon* 122 (2017): 462-474.
- [54] Wang, Bin, Chuangang Hu, and Liming Dai. "Functionalized carbon nanotubes and graphene-based materials for energy storage." *Chemical Communications* 52.100 (2016): 14350-14360.
- [55] Zhong, Jiawei, et al. "Recent advances of the nano-hierarchical SAPO-34 in the methanol-to-olefin (MTO) reaction and other applications." *Catalysis Science & Technology* 7.21 (2017): 4905-4923.
- [56] Wang, Xin, et al. "Nitrogen and oxygen dual-doped carbon nanohorn for electrochemical capacitors." *Carbon* 118 (2017): 511-516.
- [57] Lin, Xiao-Qiang, et al. "Nitrogen-doped graphene/carbon nanohorns composite as a high-performance supercapacitor electrode." *Journal of materials science & technology* 33.11 (2017): 1339-1345.
- [58] Zhang, Zhichao, et al. "Single-walled carbon nanohorns for energy applications." *Nanomaterials* 5.4 (2015): 1732-1755.
- [59] Izadi-Najafabadi, Ali, et al. "High-power supercapacitor electrodes from single-walled carbon nanohorn/nanotube composite." *ACS nano* 5.2 (2011): 811-819.
- [60] Reddy, Arava Leela Mohana, et al. "Carbon nanocoils for multi-functional energy applications." *Journal of Materials Chemistry* 21.40 (2011): 16103-16107.
- [61] Choi, Won Ho, Mi Jin Choi, and Jin Ho Bang. "Nitrogen-doped carbon nanocoil array integrated on carbon nanofiber paper for supercapacitor electrodes." *ACS applied materials & interfaces* 7.34 (2015): 19370-19381.
- [62] Zeiger, Marco, et al. "carbon onions for electrochemical energy storage." *Journal of Materials Chemistry A* 4.9 (2016): 3172-3196.
- [63] Pech, David, et al. "Ultrahigh-power micrometre-sized supercapacitors based on onion-like carbon." *Nature nanotechnology* 5.9 (2010): 651-654.
- [64] Zhu, Yuanyuan, et al. "Porous functionalized self-standing carbon fiber paper electrodes for high-performance capacitive energy storage." *ACS applied materials & interfaces* 9.15 (2017): 13173-13180.
- [65] Wang, Kai, et al. "High capacitive performance of hollow activated carbon fibers derived from willow catkins." *Applied Surface Science* 394 (2017): 569-577.
- [66] Su, Ching-Iuan, et al. "Evaluation of activated carbon fiber applied in supercapacitor electrodes." *Fibers and Polymers* 15.8 (2014): 1708-1714.

- [67] Jin, H. Y., et al. "Controllable functionalized carbon fabric for high-performance all-carbon-based supercapacitors." *RSC advances* 4.62 (2014): 33022-33028.
- [68] Kalinathan, Karunakaran, et al. "Anthraquinone modified carbon fabric supercapacitors with improved energy and power densities." *Journal of power sources* 181.1 (2008): 182-185.
- [69] Babel, K., and K. Jurewicz. "KOH activated carbon fabrics as supercapacitor material." *Journal of Physics and Chemistry of Solids* 65.2-3 (2004): 275-280.
- [70] Wang, Gongming, et al. "Solid-state supercapacitor based on activated carbon cloths exhibits excellent rate capability." *Advanced materials* 26.17 (2014): 2676-2682.
- [71] Jiang, Shulan, et al. "Superior electrochemical performance of carbon cloth electrode-based supercapacitors through surface activation and nitrogen doping." *Ionics* 22.10 (2016): 1881-1890.
- [72] Song, Wei-Li, Kuo Song, and Li-Zhen Fan. "A versatile strategy toward binary three-dimensional architectures based on engineering graphene aerogels with porous carbon fabrics for supercapacitors." *ACS applied materials & interfaces* 7.7 (2015): 4257-4264.
- [73] Hong, Jin-Yong, et al. "Chemical modification of graphene aerogels for electrochemical capacitor applications." *Physical Chemistry Chemical Physics* 17.46 (2015): 30946-30962.
- [74] Gao, Peng-Cheng, et al. "Graphene-like carbide derived carbon for high-power supercapacitors." *Nano Energy* 12 (2015): 197-206.
- [75] Arulepp, M., et al. "The advanced carbide-derived carbon based supercapacitor." *Journal of power sources* 162.2 (2006): 1460-1466.
- [76] Rosas, Juana M., et al. "Easy fabrication of superporous zeolite templated carbon electrodes by electrospraying on rigid and flexible substrates." *Journal of Materials Chemistry A* 4.12 (2016): 4610-4618.
- [77] Moon, Jong Seok, et al. "Increasing capacitance of zeolite-templated carbons in electric double layer capacitors." *Journal of The Electrochemical Society* 162.5 (2015): A5070.
- [78] Wang, Yanzhong, et al. "Large-scale synthesis of highly porous carbon nanosheets for supercapacitor electrodes." *Journal of Alloys and Compounds* 677 (2016): 105-111.
- [79] Luo, He-Ming, et al. "Simple synthesis of porous carbon materials for high-performance supercapacitors." *Journal of Applied Electrochemistry* 46.6 (2016): 703-712.
- [80] Zhang, Peng, et al. "ZIF-derived porous carbon: a promising supercapacitor electrode material." *Journal of Materials Chemistry A* 2.32 (2014): 12873-12880.
- [81] Yun, Young Soo, et al. "Hierarchically porous carbon nanosheets from waste coffee grounds for supercapacitors." *ACS applied materials & interfaces* 7.6 (2015): 3684-3690.
- [82] Largeot, Celine, et al. "Relation between the ion size and pore size for an electric double-layer capacitor." *Journal of the American Chemical Society* 130.9 (2008): 2730-2731.

- [83] Chmiola, John, et al. "Desolvation of ions in subnanometer pores and its effect on capacitance and double-layer theory." *Angewandte Chemie International Edition* 47.18 (2008): 3392-3395.
- [84] Su, Xiao-Li, et al. "Superior supercapacitive performance of hollow activated carbon nanomesh with hierarchical structure derived from poplar catkins." *Journal of Power Sources* 362 (2017): 27-38.
- [85] Yao, Fei, Duy Tho Pham, and Young Hee Lee. "Carbon-Based Materials for Lithium-Ion Batteries, Electrochemical Capacitors, and Their Hybrid Devices." *ChemSusChem* 8.14 (2015): 2284-2311.
- [86] Wang, Xuehang, et al. "Enhancing capacitance of supercapacitor with both organic electrolyte and ionic liquid electrolyte on a biomass-derived carbon." *RSC advances* 7.38 (2017): 23859-23865.
- [87] Xu, Yuxi, et al. "Holey graphene frameworks for highly efficient capacitive energy storage." *Nature communications* 5.1 (2014): 1-8.
- [88] Wang, Xuehang, et al. "Geometrically confined favourable ion packing for high gravimetric capacitance in carbon–ionic liquid supercapacitors." *Energy & Environmental Science* 9.1 (2016): 232-239.
- [89] El-Kady, Maher F., et al. "Engineering three-dimensional hybrid supercapacitors and microsupercapacitors for high-performance integrated energy storage." *Proceedings of the National Academy of Sciences* 112.14 (2015): 4233-4238.
- [90] Kumar, Nanjundan Ashok, and Jong-Beom Baek. "Doped graphene supercapacitors." *Nanotechnology* 26.49 (2015): 492001.
- [91] Chen, Li-Feng, et al. "Three-dimensional heteroatom-doped carbon nanofiber networks derived from bacterial cellulose for supercapacitors." *Advanced Functional Materials* 24.32 (2014): 5104-5111.
- [92] Liu, Zheng, et al. "Nitrogen-doped worm-like graphitized hierarchical porous carbon designed for enhancing area-normalized capacitance of electrical double layer supercapacitors." *Carbon* 117 (2017): 163-173.
- [93] González, Ander, et al. "Review on supercapacitors: technologies and materials." *Renewable and Sustainable Energy Reviews* 58 (2016): 1189-1206.
- [94] Wang, Hainan, and Laurent Pilon. "Accurate simulations of electric double layer capacitance of ultramicroelectrodes." *The Journal of Physical Chemistry C* 115.33 (2011): 16711-16719.
- [95] Chmiola, John, et al. "Anomalous increase in carbon capacitance at pore sizes less than 1 nanometer." *science* 313.5794 (2006): 1760-1763.
- [96] Karakaya, Mehmet, et al. "Roll-to-roll production of spray coated N-doped carbon nanotube electrodes for supercapacitors." *Applied Physics Letters* 105.26 (2014): 263103.
- [97] Griffin, John M., et al. "In situ NMR and electrochemical quartz crystal microbalance techniques reveal the structure of the electrical double layer in supercapacitors." *Nature materials* 14.8 (2015): 812-819.

- [98] Choi, Hojin, and Hyeonseok Yoon. "Nanostructured electrode materials for electrochemical capacitor applications." *Nanomaterials* 5.2 (2015): 906-936.
- [99] Huang, Jingsong, et al. "Curvature effects in carbon nanomaterials: Exohedral versus endohedral supercapacitors." *Journal of Materials Research* 25.8 (2010): 1525-1531.
- [100] Sun, Yijing, Dongsheng Chen, and Ziqi Liang. "Two-dimensional MXenes for energy storage and conversion applications." *Materials Today Energy* 5 (2017): 22-36.
- [101] Lukatskaya, Maria R., et al. "Ultra-high-rate pseudocapacitive energy storage in two-dimensional transition metal carbides." *Nature Energy* 2.8 (2017): 17105.
- [102] Zhao, Meng-Qiang, et al. "Flexible MXene/carbon nanotube composite paper with high volumetric capacitance." *Advanced materials* 27.2 (2015): 339-345.
- [103] Wang, Xianfen, et al. "Pseudocapacitance of MXene nanosheets for high-power sodium-ion hybrid capacitors." *Nature communications* 6.1 (2015): 1-6.
- [104] Lukatskaya, Maria R., et al. "Cation intercalation and high volumetric capacitance of two-dimensional titanium carbide." *Science* 341.6153 (2013): 1502-1505.
- [105] Li, Shun-Li, and Qiang Xu. "Metal–organic frameworks as platforms for clean energy." *Energy & Environmental Science* 6.6 (2013): 1656-1683.
- [106] Xia, Wei, et al. "Metal–organic frameworks and their derived nanostructures for electrochemical energy storage and conversion." *Energy & Environmental Science* 8.7 (2015): 1837-1866.
- [107] Wang, Lu, et al. "Metal–organic frameworks for energy storage: Batteries and supercapacitors." *Coordination Chemistry Reviews* 307 (2016): 361-381.
- [108] Bon, Volodymyr. "Metal-organic frameworks for energy-related applications." *Current Opinion in Green and Sustainable Chemistry* 4 (2017): 44-49.
- [109] Choi, Kyung Min, et al. "Supercapacitors of nanocrystalline metal–organic frameworks." *ACS nano* 8.7 (2014): 7451-7457.
- [110] Xu, Guiyin, et al. "Exploring metal organic frameworks for energy storage in batteries and supercapacitors." *Materials today* 20.4 (2017): 191-209.
- [111] Zhao, Meng-Qiang, et al. "Graphene/single-walled carbon nanotube hybrids: one-step catalytic growth and applications for high-rate Li–S batteries." *ACS nano* 6.12 (2012): 10759-10769.
- [112] Shao, Mingfei, et al. "Layered double hydroxides toward electrochemical energy storage and conversion: design, synthesis and applications." *Chemical Communications* 51.88 (2015): 15880-15893.
- [113] Wang, Jun, et al. "Chemical power source based on layered double hydroxides." *Journal of Solid State Electrochemistry* 19.7 (2015): 1933-1948.

- [114] Long, Xia, et al. "Transition metal based layered double hydroxides tailored for energy conversion and storage." *Materials today* 19.4 (2016): 213-226.
- [115] Sarfraz, Mansoor, and Imran Shakir. "Recent advances in layered double hydroxides as electrode materials for high-performance electrochemical energy storage devices." *Journal of Energy Storage* 13 (2017): 103-122.
- [116] Shabangoli, Yasin, et al. "An integrated electrochemical device based on earth-abundant metals for both energy storage and conversion." *Energy Storage Materials* 11 (2018): 282-293.
- [117] Shabangoli, Yasin, et al. "Thionine Functionalized 3D Graphene Aerogel: Combining Simplicity and Efficiency in Fabrication of a Metal-Free Redox Supercapacitor." *Advanced Energy Materials* 8.34 (2018): 1802869.
- [118] Shi, Ruiying, et al. "Redox-Active Organic Sodium Anthraquinone-2-Sulfonate (AQS) Anchored on Reduced Graphene Oxide for High-Performance Supercapacitors." *Advanced Energy Materials* 8.31 (2018): 1802088.
- [119] Wang, Faxing, et al. "Latest advances in supercapacitors: from new electrode materials to novel device designs." *Chemical Society Reviews* 46.22 (2017): 6816-6854.
- [120] Li, Fengfeng, Xiluan Wang, and Runcang Sun. "A metal-free and flexible supercapacitor based on redox-active lignosulfonate functionalized graphene hydrogels." *Journal of Materials Chemistry A* 5.39 (2017): 20643-20650.
- [121] Raza, Waseem, et al. "Recent advancements in supercapacitor technology." *Nano Energy* 52 (2018): 441-473.
- [122] Dmowski, Wojtek, et al. "Local atomic structure and conduction mechanism of nanocrystalline hydrous RuO₂ from X-ray scattering." *The Journal of Physical Chemistry B* 106.49 (2002): 12677-12683.
- [123] Come, Jérémie, et al. "Electrochemical kinetics of nanostructured Nb₂O₅ electrodes." *Journal of The Electrochemical Society* 161.5 (2014): A718.
- [124] Fan, Li-Zhen, and Joachim Maier. "High-performance polypyrrole electrode materials for redox supercapacitors." *Electrochemistry communications* 8.6 (2006): 937-940.
- [125] Bromberg, Lori Ana, et al. "Enhanced adhesion of continuous nanoporous Au layers by thermochemical oxidation of glassy carbon." *Coatings* 4.3 (2014): 416-432.
- [126] Lindström, Henrik, et al. "Li⁺ ion insertion in TiO₂ (anatase). 2. Voltammetry on nanoporous films." *The Journal of Physical Chemistry B* 101.39 (1997): 7717-7722.
- [127] Zhang, Chuanfang, et al. "Synthesis and charge storage properties of hierarchical niobium pentoxide/carbon/niobium carbide (MXene) hybrid materials." *Chemistry of Materials* 28.11 (2016): 3937-3943.

- [128] Bard, Allen J., and Larry R. Faulkner. "Fundamentals and applications." *Electrochemical Methods* 2.482 (2001): 580-632.
- [129] Kou, Tianyi, et al. "Recent advances in chemical methods for activating carbon and metal oxide based electrodes for supercapacitors." *Journal of Materials Chemistry A* 5.33 (2017): 17151-17173.
- [130] Yang, Chongling, et al. "Polymer nanocomposites for energy storage, energy saving, and anticorrosion." *Journal of Materials Chemistry A* 3.29 (2015): 14929-14941.
- [131] Xia, Chuan, et al. "Highly stable supercapacitors with conducting polymer core-shell electrodes for energy storage applications." *Advanced Energy Materials* 5.8 (2015): 1401805.
- [132] Guan, Cao, et al. "Cobalt oxide and N-doped carbon nanosheets derived from a single two-dimensional metal-organic framework precursor and their application in flexible asymmetric supercapacitors." *Nanoscale Horizons* 2.2 (2017): 99-105.
- [133] Li, Xuan, et al. "Facile synthesis of MoS₂/reduced graphene oxide@ polyaniline for high-performance supercapacitors." *ACS applied materials & interfaces* 8.33 (2016): 21373-21380.
- [134] Ding, Jia, et al. "Review of hybrid ion capacitors: from aqueous to lithium to sodium." *Chemical reviews* 118.14 (2018): 6457-6498.
- [135] Dai, Zengxin, et al. "Cell voltage versus electrode potential range in aqueous supercapacitors." *Scientific reports* 5 (2015): 9854.
- [136] Fan, Yang, et al. "Micro-mesoporous carbon spheres derived from carrageenan as electrode material for supercapacitors." *Journal of Power Sources* 268 (2014): 584-590.
- [137] Chae, Jung Hoon, and George Z. Chen. "1.9 V aqueous carbon–carbon supercapacitors with unequal electrode capacitances." *Electrochimica Acta* 86 (2012): 248-254.
- [138] Peng, Chuang, et al. "Unequalisation of electrode capacitances for enhanced energy capacity in asymmetrical supercapacitors." *Energy & Environmental Science* 3.10 (2010): 1499-1502.
- [139] Ye, Kai-Hang, et al. "MnO₂/reduced graphene oxide composite as high-performance electrode for flexible supercapacitors." *Inorganic Chemistry Communications* 30 (2013): 1-4.
- [140] Cross, Andrew, et al. "Enhanced manganese dioxide supercapacitor electrodes produced by electrodeposition." *Journal of Power Sources* 196.18 (2011): 7847-7853.
- [141] Zhang, Zishou, et al. "Highly conductive ethylene–vinyl acetate copolymer/carbon nanotube paper for lightweight and flexible supercapacitors." *Journal of Power Sources* 248 (2014): 1248-1255.
- [142] Wang, Faxing, et al. "Electrode materials for aqueous asymmetric supercapacitors." *Rsc Advances* 3.32 (2013): 13059-13084.
- [143] Hu, Liangbing, et al. "Symmetrical MnO₂–carbon nanotube–textile nanostructures for wearable pseudocapacitors with high mass loading." *ACS nano* 5.11 (2011): 8904-8913.

فصل دوم

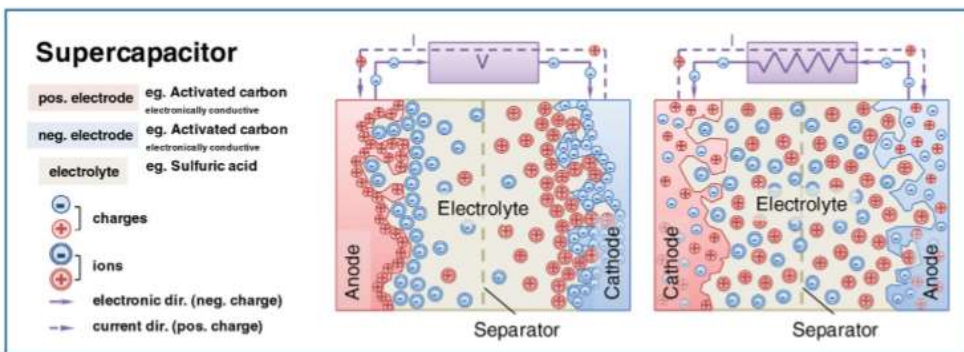
مروری بر مواد الکترودی مورد استفاده در ساخت ابر خازن های

الکتروشیمیایی

۱-۲ مقدمه

یکی از چالش های اساسی قرن حاضر، شناسایی و توسعه دستگاه های ذخیره سازی انرژی مناسب و کارآمد به منظور بهره برداری از پتانسیل های کامل تکنولوژی های مختلف انرژی های تجدیدپذیر است. در پیگیری مداوم برای منابع انرژی پایدار، ابرخازن ها به دلیل ویژگی های برتر خود، مانند دانسیته توان بالا در دانسیته انرژی متوسط و عمر چرخه ای طولانی، در مقایسه با سایر دستگاه های ذخیره سازی شناخته شده در صف مقدم هستند. همچنین ابرخازن ها به عنوان خازن های فوق العاده یا خازن های الکتروشیمیایی شناخته می شوند که دارای مزایای دیگری در مقایسه با باتری ها هستند. مقایسه عملکرد نشان می دهد که دستگاه های ابرخازن نسبت به باتری های تجاری موجود، به طور قابل توجهی، قابلیت ذخیره انرژی پایین تری از خود نشان می دهند. چگالی انرژی سل های ابرخازن تجاری به 10 Wh/kg محدود می شود در حالی که باتری های اسید سرب معمولی به 35 kg/Wh تا 40 kg/Wh رسید ، در حالی که باتری های یون لیتیوم مقادیر بالاتری تا حدود 100 Wh/kg را نشان می دهند. از آنجایی که ابرخازن ها با ویژگی هایی مانند سرعت دشارژ بالا و حداقل نیازهای نگهداری، شناخته می شوند، جدا از برنامه های کاربردی در زمینه الکترونیک نیرو ، سیستم های حمل و نقل در مقیاس بزرگ، ذخیره انرژی در تولید برق متنابض مانند آسیاب های بادی، تکنولوژی های تجدید پذیر خورشیدی و جزر و مدی، برای کاربرد های تنظیم فرکانس نیز مورد تقاضا هستند. همانطور که در فصل قبل اشاره شد، ابرخازن ها به طور متعارف به دو دسته طبقه بندی می شوند که شامل خازن های دوالایه الکتروشیمیایی (EDLC) که غیر فارادیک هستند و شبیه خازن ها (PCs) می باشند که براساس مکانیسم ردوكس الکتروشیمیایی ذخیره سازی بار، فارادیک هستند. سطح مشترک الکتروشیمیایی بین الکترود و الکتروولیت مانند یک خازن عمل می کند و بنابراین هنگام اشاره به پدیده خازن، معمولاً اصطلاح "دو لایه" استفاده می شود. پاسخ سریع سطح مشترک به تغییرات پتانسیل الکترود و ایجاد برگشت پذیری بالا، در EDLC ها استفاده می شود. از طرف دیگر، شبیه خازن ها دستگاه هایی هستند که بر اساس پدیده ذخیره بار الکترود همراه با فرآیندهای ردوكس الکتروشیمیایی فارادیک سطحی بسیار برگشت پذیر هستند. از این رو، ملزمات مواد الکترود برای کاربرد ابرخازن بر اساس مکانیسم های زیربنایی در دسته های مختلف متفاوت است. موادی که برای خازن های

دولایه الکتریکی مورد هدف قرار می گیرند در درجه اول کربن های با مساحت سطح بالایی بوده اند، در حالی که تحقیقات شبیه خازن ها عمدها تحت تأثیر اکسیدهایی مانند روتینیوم و منگنز قرار دارند. یک نمودار شماتیک برای یک EDLC در شکل ۱-۳ نشان داده شده است [۱].



شکل ۱-۲ دیاگرام شماتیک از یک خازن دولایه الکتروشیمیایی که سمت چپ خازن شارژ شده و سمت راست خازن دشارژ شده را نشان می دهد.

اخیراً برای ابرخازن ها، بیشتر الکتروودها از نانو موادی ساخته می شوند که دارای سطح بالا و تخلخل زیاد هستند. از شکل ۱-۲ مشاهده می شود که می توان بارها را در سطح مشترک بین ذرات جامد هادی (ذرات کربن یا اکسید فلز) و الکتروولیت ذخیره و جدا کرد. این سطح مشترک می تواند به عنوان یک خازن با ظرفیت دولایه الکتریکی رفتار کند.

از آنجا که انتظار می رود دستگاه های ابرخازنی از نظر عملکرد انرژی و توان، فاصله بین خازن ها و باتری های معمولی را پر کنند و از نظر تجاری برای کاربردهای در مقیاس بزرگ قابل استفاده باشند، ضروری است که آنها با کاهش همزمان هزینه، چگالی انرژی بیشتری را به نمایش بگذارند. با افزایش ظرفیت الکتروود یا پنجره ولتاژ الکتروولیت می توان چگالی انرژی بیشتری را به دست آورد. مورد اول با استفاده از مواد الکتروود با ظرفیت بالا و دومی با استفاده از الکتروولیت های غیر آبی با پنجره وسیع تر از پایداری الکتروشیمیایی حاصل می شود. این امر، تحقیقات در مورد تعداد زیادی از مواد الکتروود جایگزین از جمله نانوکامپوزیت ها را برای بهبود ظرفیت تا حد زیادی با استفاده از ویژگی های سریعتر انتقال الکترونیکی و یونی سیستم های در مقیاس نانو تحریک کرده است.

همانطور که قبلًاً اشاره شد، مشکلات حل نشده ابرخازن‌ها تا به امروز شامل دانسته انرژی کم، هزینه تولید، ولتاژ پایین سلول و تخلیه خودبخودی زیاد است. یکی از رویکردهای ساده برای غلبه بر مسئله چگالی انرژی کم، تولید مواد الکترود جدید است. ظاهراً، عملکرد الکتروشیمیایی یک ماده الکترود مستقیماً به عواملی از جمله سطح، هدايت الکتریکی، خصوصیات رطوبت پذیری الکترود و نفوذ پذیری محلولهای الکتروولیت متکی است [۲].

ماده الکترود یک جز کلیدی است که عملکرد سلول یک ابرخازن را تعیین می‌کند. همانطور که از کارهای منتشر شده متعدد مشاهده می‌شود، در سالهای گذشته تلاشهای چشمگیری برای افزایش دانسته انرژی ذخیره کننده خازنهای الکتروشیمیایی انجام شده است. در این فصل تلاش‌های انجام شده برای کشف مواد و رویکردهای جدید برای یافتن الکترودهای ابرخازن با تمرکز بر پیشرفت در قابلیت ذخیره سازی انرژی برای کاربردهای عملی ارائه شده است.

۲-۲ مواد الکترودی

ظرفیت و ذخیره بار پارامترهایی هستند که به نوع مواد الکترود مورد استفاده در ابرخازن‌ها متکی هستند. پیشرفت‌هایی در علم مواد صورت گرفته است که منافع زیادی برای نانو ساختارهای ابرخازنی پیشنهاد می‌دهند که شامل ابرخازن‌های دولایه الکترواستاتیکی، شبه خازن‌های الکتروشیمیایی و هیبریدی هستند.

ظرفیت ابرخازن‌های الکتروشیمیایی اساساً به مساحت سطح ویژه مواد الکترودی بستگی دارد. به هر حال ظرفیت اندازه‌گیری شده مواد مختلف به طور خطی با افزایش مساحت سطح ویژه افزایش نمی‌یابد چون به هنگام تماس ماده با یک الکتروولیت، تمام مساحت سطح ویژه به طور الکتروشیمیایی در دسترس نیست. بنابراین ممکن است در تعریف رفتار ظرفیت الکترود، برای مساحت سطح در دسترس الکتروشیمیایی (مساحت سطح مفید)، اصطلاح مساحت فعال الکتروشیمیایی مناسب باشد. اندازه حفره ماده الکترود نقش مهمی را در مساحت سطح فعال الکتروشیمیایی ایفا می‌کند.

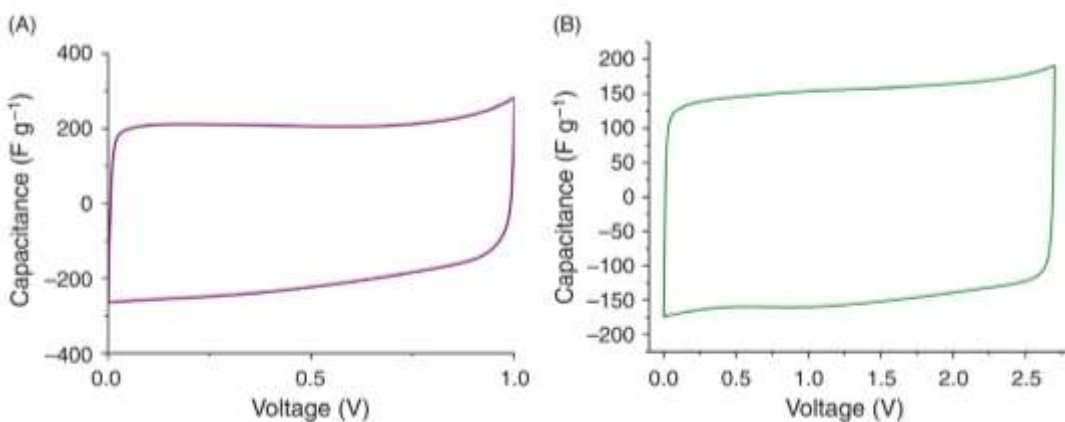
بر طبق تحقیقات لارگوت و همکارانش، اندازه حفره مواد الکترود که منجر به ظرفیت دولایه حداکثر می‌شود به اندازه یون الکتروولیت نزدیکتر است در حالی که هم حفرات کوچکتر و هم حفرات بزرگتر منجر به افت زیادی در

ظرفیت می‌شود [۳]. به هر حال افزایش اندازه حفره می‌تواند فاصله میانگین (d) بین دیواره حفره و مرکز یک یون را افزایش دهد و از این جهت سبب افت ظرفیت در مواد با حفرات بزرگتر شود. البته تخلخل مواد یک پارامتر ساده نیست بلکه هم شامل اندازه حفرات و هم توزیع اندازه حفرات می‌شود. بنابراین ظرفیت الکتروشیمیایی به شدت به مساحت سطح در دسترس الکترود برای الکترولیت وابسته است.

۱-۲-۲ کاربرد مواد کربنی در ساخت ابرخازن‌های الکتروشیمیایی

اشکال مختلف کربن به علت مساحت سطح بالای آن، قیمت پایین، در دسترس پذیری آن و تکنولوژی‌های شناخته شده تولید الکترود، بیشترین میزان استفاده را برای ساخت الکترود ابرخازن‌ها دارند. مکانیسم ذخیره مورد استفاده توسط مواد کربنی از تشکیل دو لایه الکتروشیمیایی در مرز مشترک بین الکترود و الکترولیت ناشی می‌شوند. فاکتورهای کلیدی موثر در عملکرد الکتروشیمیایی ابرخازن عبارتند از مساحت سطح ویژه، توزیع اندازه حفرات، شکل و ساختار حفره، هدایت الکتریکی و گروههای عاملی سطحی [۴-۶] از آنجایی که ظرفیت اساساً به مساحت سطح در دسترس برای یون‌های الکترولیت وابسته است، از میان این فاکتورها، مساحت سطح ویژه و توزیع اندازه حفرات مهمترین فاکتورهای موثر در عملکرد مواد کربنی هستند. در مورد مواد کربنی، مساحت سطح ویژه، قابلیت تجمع بار در سطح مشترک الکترود و الکترولیت را افزایش می‌دهد. برای مواد کربنی در کنار اندازه حفره و مساحت سطح ویژه بالا، خصوصیت عامل دار کردن سطحی نیز یک مشخصه است که نقش مهمی را در بهبود ظرفیت ویژه ایفا می‌کند. نمونه‌هایی از مواد کربنی مورد استفاده برای ساخت الکترود عبارتند از: کربن فعال، آئروژل‌های کربنی، نانولوله‌های کربنی، گرافن و غیره

در این بخش مواد کربنی مختلف به کار رفته برای ساخت ابرخازن‌ها ارائه شده است. همانطور که در شکل ۲-۲ مشاهده می‌شود، مواد کربنی، یک ولتاومگرام چرخه‌ای تقریباً مستطیل شکل را هم در الکترولیت‌های آلی و هم در الکترولیت‌های آبی، نشان می‌دهند [۷].



شکل ۲-۲- ولتاوتمتری چرخه‌ای یک سل EDLC در ۵ mV/S در: A) در الکتروولیت آبی پتاسیم هیدروکسید ۶ مولار و B) الکتروولیت آلی تترا اتیل آمونیوم تترافلوروبورات ۱ مولار

همان طوری که کانوی [۸] پیشنهاد داد، کربن برای ابرخازن‌های نوع دو لایه باید دارای سه خصوصیت کلیدی باشد که عبارتند از: مساحت ویژه بالا به میزان $1000 \text{ m}^2/\text{gr}$ ، هدایت الکتریکی ذرات داخلی و خارجی در ماتریس-های متخلخل و دسترسی خوب الکتروولیت به فضای حفره داخلی مواد کربنی. بنابرین یک راهنمایی اصولی در فرایند انتخاب مواد الکترود ابرخازن برای به دست آوردن یک مساحت سطح در دسترس و بالا با هدایت الکتریکی عالی می-باشد.

مواد کربنی با مساحت سطح بالا اساساً شامل کربن فعال، آئورژل‌های کربنی، نانولوله‌های کربنی (CNTs)، کربن‌های متخلخل قالب گیری شده و نانوفیبرهای کربنی می‌باشند. به هر حال در بیشتر موارد ظرفیت‌های ویژه اندازه‌گیری شده مواد کربنی در ابرخازن‌های واقعی کمتر از چیزی است که در مقالات بیان می‌شود که دارای مقادیری در محدوده $75-175 \text{ F/gr}$ برای الکتروولیت‌های آبی و $40-100 \text{ F/gr}$ برای الکتروولیت‌های آلی می‌باشد.

به طور کلی مواد کربنی با مساحت سطح ویژه بزرگ‌تر، قابلیت بیشتری را برای تجمع بار در سطح مشترک الکترود و الکتروولیت نشان می‌دهند. چندین روش برای افزایش مساحت سطح ویژه بررسی شده‌اند که شامل واکنش‌های گرمایی، واکنش قلیایی، فعال‌سازی با بخار یا دی اکسید کربن و واکنش سطحی پلاسما با آمونیاک به منظور تشکیل موثر میکروپورها و بی‌نظمی روی سطح کربن می‌باشد [۹-۱۹]. تا به امروز، توافق یا درک مشترکی در مورد اثر اندازه حفره بهینه بر عملکرد مواد الکترود کربنی وجود نداشته است. گزارش‌های تحقیقات متعددی ادعا می‌کند

که اندازه حفرات $4/0$ یا 7nm می‌تواند برای الکتروولیت‌های آبی مناسب باشد در حالی که اندازه حفره در حدود 8nm ممکن است برای الکتروولیت‌های آلی بهتر باشد [۱۱ و ۲۰]. به علاوه، یک تطابق بین اندازه حفره و اندازه یون، با دستیابی به یک ظرفیت حداکثر نشان داده شده است [۳ و ۲۱]. عامل دار کردن سطحی نیز به عنوان یک ابزار موثر برای بهبود ظرفیت ویژه مواد کربنی مورد توجه بوده است [۳۲-۳۲]. ثابت شده است هترو اتمها به جذب سطحی یون‌ها کمک می‌کنند و بنابراین آب دوستی یا چربی دوستی مواد کربنی را بهبود می‌بخشند و منجر به افزایش رطوبت‌پذیری و تسهیل انتقال سریع یون الکتروولیت به داخل میکروپورها می‌شوند. علاوه بر این ممکن است واکنش‌های ردوداکس فارادیک را القاء کنند [۳۳] و منجر به افزایش $5-10\%$ در ظرفیت کل شوند. هترو اتمها به طور رایج در یک شبکه کربنی عبارتند از اکسیژن، نیتروژن، بور و گوگرد. از میان این هترو اتمها استفاده از نیتروژن به طور گسترده‌ای در گزارش‌ها آمده است [۳۴، ۳۵، ۳۱، ۲۷].

۱-۱-۲-۲ کربن فعال

کربن فعال، پرمصرف‌ترین ماده فعال به کار رفته برای الکترودهای ابرخازن، به علت مساحت سطح بالای آن و قیمت نسبتاً پایین آن می‌باشد [۳۶ و ۳۷]. کربن فعال از پیش ماده‌های آلی غنی کربنی از طریق فرایند گرمایی تحت اتمسفر بی‌اثر حاصل می‌شود. فرایندی که به کربونیزاسیون معروف است و فعال سازی منجر به تشکیل حفرات می‌شود. فرایند کربونیزاسیون، کربن آمورف را از طریق تبدیل ترموشیمیایی پیش ماده‌ها تولید می‌کند در حالی که فعال سازی منجر به مساحت سطح بالایی می‌شود که از طریق ایجاد یک اکسیداسیون کنترل شده جزئی پیش ماده کربنی توسط فعال سازی شیمیایی یا فیزیکی به دست می‌آید [۳۷]. پیش ماده‌ها از منابع طبیعی مختلفی مانند چوب، پوسته‌های نارگیل، سوخت‌های فسیلی و مشتقهای آنها مانند قیر، زغال سنگ، کک یا از پیش ماده‌های سنتزی مانند پلیمرها به دست می‌آیند [۳۶-۳۸]. فعال سازی فیزیکی در دماهای بالا تحت اتمسفر اکسید کننده (دی اکسید کربن، آب وغیره ...) صورت می‌گیرد [۳۸]، در حالی که فعال سازی شیمیایی روی کربن‌های آمورف قبلًاً مخلوط شده با مواد شیمیایی مانند قلیاهای، کربنات‌ها، کلریدها یا اسیدها ایجاد می‌شود (مانند پتاسیم هیدروکسید، پتاسیم کربنات وغیره). هر فرایند فعال سازی، منجر به تشکیل شبکه متخلخل در توده ذرات کربنی با مساحت سطح ویژه بالا

می‌شود. نانو حفرات براساس اندازه‌شان می‌توانند به سه گروه به نام‌های میکروپورها ($<2\text{nm}$), مزوپورها ($2\text{-}50\text{nm}$) و ماکروپورها ($>50\text{ nm}$) طبقه بندی شوند. اندازه‌گیری دقیق مساحت سطح به شدت به روش محاسبه و شرایط اندازه‌گیری بستگی دارد. مساحت سطح ویژه m^2/gr در برخی مواقع گزارش شده‌اند. اما مساحت سطح قابل استفاده و در دسترس به طور دقیق تا محدوده‌ی m^2/gr 2000 تا 10000 افت می‌کند [۳۶]. در جدول ۱-۳ پیش ماده‌های مختلف و مقادیر مساحت سطح BET مناسب برای کربن‌های فعال مشتق شده از آنها نشان داده شده است.

اکثر وسایل ابرخازن الکتروشیمیایی تجاری، الکترودهای کربن فعال و الکترولیت‌های آلی را به کار می‌برند که ولتاژ

سل

$2/7$ با ظرفیت F/gr $100-120$ و بیش از 60 F/cm^2 را نشان می‌دهد [۳۶].

جدول ۱-۳- مساحت سطح ویژه BET برای پیش ماده‌های کربنی مختلف

Carbon precursor	Activation medium	$S_{\text{BET}} \text{ m}^2 \text{ g}^{-1}$
Furfurol	Steam	1040
Coconut shell	KOH	1660
Eucalyptus wood	KOH	2970
Firewood	Steam	1130
Bamboo	KOH	1290
Cellulose	KOH	2460
Potato starch	KOH	2340
Starch	KOH	1510
Sucrose	CO_2	2100
Beer lees	KOH	3560
Banana fiber	ZnCl_2	1100
Corn grain	KOH	3200
Sugar cane bagasse	ZnCl_2	1790
Apricot shell	NaOH	2335
Sunflower seed shell	KOH	2510
Coffee ground	ZnCl_2	1020
Wheat straw	KOH	2316
Fish scale	—	2270
Cherry stone	KOH	1300
Rice husk	NaOH	1890
Rice husk	KOH	1390

۲-۱-۲ کربن مزوپور

مزوساختارهای منظم با مساحت سطح بالا، به علت تواناییشان برای دستیابی به توان بالا، بدون افت ظرفیت قابل توجه، مورد توجه هستند. میکروپورها مسیرهای خیلی باریکی ارائه می‌دهند که می‌تواند به شدت تحرک یون را کاهش دهد، بنابراین قابلیت توان الکترود کاهش می‌یابد.

از آنجایی که مزوپورها مسیرهای باریکی برای کاهش انتقال یون نیستند، این مسئله می‌تواند ظرفیت را حتی در دانیسته‌های جریان بالا حفظ کند. کربن‌های مزوپور می‌توانند از طریق مسیرهای مختلف فعال‌سازی در حد بالا کربونیزاسیون پیش ماده‌های متشکل از یک جزء ترموموست و یک جزء ناپایدار گرمایی، فعال‌سازی پیش ماده‌های کربنی به کمک کاتالیست با اکسیدهای فلزی یا ترکیبات آلی – فلزی یا کربونیزاسیون آئروژل‌ها تهیه شوند. این روش‌ها، کربن‌های مزوپوری با توزیع اندازه حفره وسیع با مقدار قابل توجهی از ذرات در ابعاد میکرو ارائه می‌دهند. ترکیبات مزوپور همچنین می‌توانند از طریق سنتز با استفاده از قالب‌های سخت و توسط خودآرایی با استفاده از قالب‌های نرم از طریق هم تراکمی و کربونیزاسیون ساخته شوند. دو روش آخر مطلوب هستند چون توزیع حفره و اندازه حفره می‌تواند بهتر کنترل شوند [۴۰].

۳-۱-۲ کربن‌های مشتق شده از کاربید (CDCs)

راههای مرسوم به کار رفته برای سنتز CDCs عبارتند از : کلردار کردن دما بالا [۴۱-۴۲] و تجزیه خلاء [۴۳]. CDCs ها به عنوان گزینه‌های امیدوارکننده ای برای ابرخازن‌ها مورد توجه هستند چون پیش ماده‌های کاربیدی اجازه تنظیم دقیق شبکه‌های متخلخل [۴۴] و کنترل بهتر گروههای عاملی سطحی نسبت به کربن‌های فعال را می-دهند [۴۵].

شبکه‌های متخلخل و CDCs، می‌توانند به علت دستری ب توزیع متنوع اتم‌های کربن در پیش ماده‌های کاربیدی و همچنین با تغییر دمای سنتز مناسب باشند. برای مثال، به هنگام مقایسه سیلکون و تیتانیوم کاربید به دست آمده از کربن‌های تهیه شده با استفاده از دمای سنتز یکسان 1200°C منجر به توزیع اندازه حفره باریک‌تر و

اندازه حفره میانگین کوچکتر SiC-CDC می‌شود [۴۵]. تمایل به افزایش اندازه حفره با افزایش دما مشاهده می-شود که مستقل از پیش ماده مورد استفاده است [۴۶].

در کاربردهای ابرخازن مشاهده شده است که ظرفیت، توسط ساختار CDCs تعیین می‌شود در حالی که قابلیت سرعت به طور اساسی به پیش ماده کربنی بستگی دارد. تیتانیوم CDCs، بالاترین ظرفیت وزنی را با بیش از F/gr ۲۲۰ در پتاسیم هیدروکسید و F/gr ۱۲۰ در الکتروولیت آلی نشان می‌دهد در حالی که Sic-CDCs بالاترین ظرفیت حجمی به میزان F/cm^2 ۱۲۶ در هیدروکسید پتاسیم و F/cm^2 ۷۲ در الکتروولیت آلی نشان می‌دهند [۴۳].

مطالعه جالب دیگری نشان داد که ظرفیت با افزایش دمای سنتز برخلاف افزایش مساحت سطح و حجم حفره کاهش می‌یابد که پیشنهاد می‌دهد که ظرفیت اساساً توسط اندازه حفره تحت تأثیر قرار می‌گیرد. تنها با استفاده از تنظیم دمای سنتز، CDCs می‌تواند برای کاربردهای توان و انرژی بالاتر پذیرفته شود.

۲-۲-۲ نانو ساختارهای کربنی مورد استفاده در ساخت ابرخازن های الکتروشیمیایی دوگانه

پیشرفت‌های اخیر در زمینه علم نانو و نانوتکنولوژی، عرصه جدیدی برای مواد کربنی از طریق تولید نانو مواد کربنی گرافیتی نوین با ابعاد مختلف مانند فولرن بدون بعد (0D)، نانو لوله های کربنی یک بعدی (1D) [۴۷-۵۴] و صفحات گرافن دو بعدی باز کرده است [۵۵-۶۶]. فولرن یک الکترون پذیرنده است و از این جهت به طور گستردۀ برای جداسازی بار در سل‌های خورشیدی استفاده می‌شود. به هر حال به علت مساحت سطح کم آن، سختی و هدایت الکتریکی پایین، این مواد به طور نادر برای کاربردهای ذخیره انرژی در مقایسه با نانو موادهای کربنی دیگر استفاده می‌شوند.

نانولوله‌های کربنی [۶۷-۷۶]، گرافن [۷۷-۱۰۷] و [۶۴]، کربن مزوپور [۱۱۱، ۱۱۰، ۳۸، ۱۶] و هیدریدهای آن‌ها به علت هدایت الکتریکی مناسب آن‌ها، مساحت سطح ویژه بالای آن‌ها، فعال بودن الکتروشیمیایی و سهولت عامل دار

شدن با ساختارهای چندبعدی و چندعاملی با خواص مکانیکی عالی، به عنوان الکترودهای ابرخازن مورد توجه قرار گرفته اند.

همانطور که قبلًا ذکر شد EDLCs انرژی را از طریق جداسازی بار مانند خازن‌های تجاری که منجر به ظرفیت دولایه می‌شود ذخیره می‌کنند. اما برخلاف یک خازن تجاری، یک EDLC شامل دولایه بار مجزا در سطح مشترک الکتروولیت با الکترودهای مثبت و منفی می‌باشد. جداسازی بین دولایه الکتریکی در یک EDLC کوچکتر از یک خازن معمولی است که منجر به چند برابر شدن بزرگی ظرفیت ویژه برای EDLCs می‌شود.

در غیاب هرگونه واکنش شیمیایی، انتقال یون‌ها در محلول الکتروولیت یا الکترون‌ها از طریق الکترودها مسئول ذخیره بار است و از این جهت EDLC می‌تواند در یک مدت زمان کوتاه با دانسیته توان بالا کاملاً شارژ و دشارژ شود. به طور ایده آل EDLCs به مواد الکترود با مساحت سطح ویژه بالا و هدایت الکتریکی عالی نیاز دارند، این مشخصات در نانو لوله‌های کربنی (CNTs) و گرافن یافت می‌شود.

۲-۲-۱ نانولوله‌های کربنی

نانو لوله‌های کربنی (CNTs) هم به شکل خالص هم به صورت ترکیب با مواد الکترود دیگر برای ساخت الکترودهای خازن ایده آل هستند. مساحت سطح ویژه گزارش شده CNTs خالص در حدود $500 \text{ m}^2/\text{g}$ تا $1200 \text{ m}^2/\text{g}$ با ظرفیت ویژه بین $200-660 \text{ F/g}$ می‌باشد [۶۶-۶۹]. با استفاده از نانو لوله‌های کربنی تک دیواره (SWCNTs) به عنوان مواد الکترود به ترتیب ظرفیت ویژه، دانسیته انرژی بیش از 180 F/g ، 20 kW/kg و 7 Wh/kg گزارش شده است [۷۰-۷۱]. از طریق فعال‌سازی دیواره‌ها و یا نوک‌های CNTs، می‌توان مساحت سطح ویژه را افزایش داد. برای مثال پان و همکاران [۷۲] مساحت سطح ویژه نانولوله‌های کربنی تک دیواره را از طریق فعال‌سازی الکتروشیمیایی از $46/8 \text{ m}^2/\text{g}$ به $109/4 \text{ m}^2/\text{g}$ بهبود داده‌اند که منجر به افزایش سه برابری در ظرفیت ویژه می‌شود. برای نانولوله‌های کربنی تک دیواره خالص با مساحت سطح ویژه $1300 \text{ m}^2/\text{g}$ در یک الکتروولیت آلی یک مولار

ET4NBF4/ پروپیلن کربنات (با اعمال ولتاژ ۴ ولت) دانسیته انرژی با بزرگی 93 Wh/kg و دانسیته توان بیشتر از 210 kW/kg گزارش شده است [۷۳].

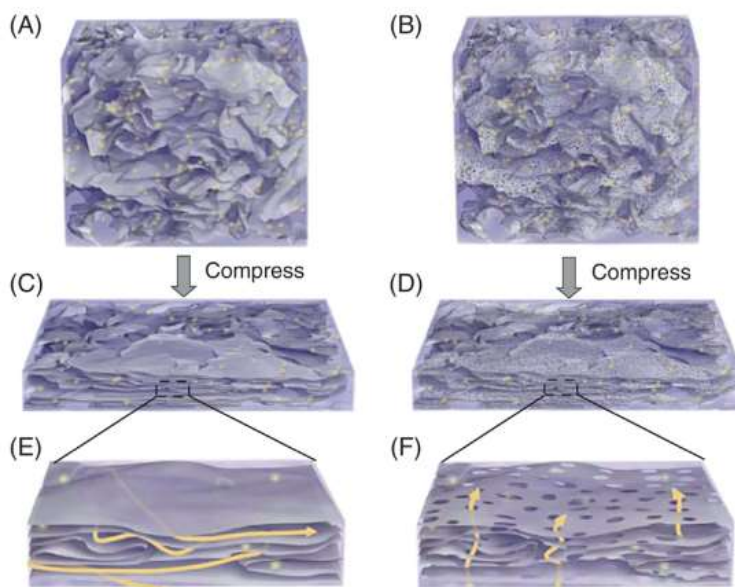
مساحت سطح ذاتی نانو لوله‌های کربنی با استفاده از اندازه قطرهای لوله کنترل می‌شود. مساحت سطح ویژه نanolوله‌های کربنی چند دیواره (MWNTs) با قطر خارجی $10\text{-}20 \text{ nm}$ و قطر داخلی $2\text{-}5 \text{ nm}$ از 128 تا $411 \text{ m}^2/\text{g}$ با افزایش قطرها تغییر کرد و بیشترین ظرفیت ویژه 80 F/g را در الکتروولیت پتاسیم هیدروکسید نشان داد [۷۴]. در بیشتر موارد خازن‌های دولایه الکتریکی، نanolوله‌های کربن خالص را به کار می‌برند که پایداری چرخه‌ای و قابلیت‌های سرعت بالایی را نشان می‌دهند آنها ولتاژگرام‌های چرخه‌ای مستطیلی و پروفایل‌های شارژ و دشارژ گالوانواستاتیک سه ضلعی متقارنی را نشان داده‌اند که نشان دهنده بازده ذخیره بار بالا می‌باشد. در کنار بهبود مساحت سطح ویژه، تلاش‌هایی برای بهبود هدایت الکتریکی و تعداد مکان‌های فعال نanolوله‌های کربنی تلاش‌هایی صورت گرفته است. دوپه کردن هترو اتم، روش موثر و مهمی برای رسیدن به این نیازها نشان داده شده است، برای مثال نanolوله‌های کربن دوپه شده با نیتروژن با استفاده از پلیمریزاسیون در جای مونومرهای آنیلین روی نanolوله‌های کربنی سنتز شد و سنتز با کربونیزاسیون نanolوله‌های کربنی پوشش داده شده با پلی آنیلین (PANI) ادامه یافت [۷۵]. در این مطالعه میزان دوپه کردن نیتروژن با استفاده از تنظیم مقدار آنیلین کنترل شد و منجر به ظرفیت ویژه بالایی به میزان 205 F/g در الکتروولیت پتاسیم هیدروکسید 6 مولار شد. قابل ذکر است $97/1$ درصد ظرفیت ابتدایی بعد از 1000 چرخه حفظ می‌شود.

۲-۲-۲-۲ گرافن

گرافن با داشتن ساختار شبکه کربنی مشابه با نanolوله‌های کربنی، (با همه اتم‌های کربن در معرض سطح صفحات دوبعدی تک اتمی) خواص الکتریکی یکسانی را با نanolوله‌های کربنی اما با مساحت سطح ویژه بالاتر نشان می‌دهد [۶۷]. همچنین صفحات گرافن به عنوان مواد الکتروود در ابرخازن‌های الکترونیکی مطالعه شده‌اند. در دسترس پذیری اکسید گرافن (GO) با استفاده از اکسیداسیون اسیدی گرافیت و سپس کاهش شیمیایی، منجر به تولید ماده مقدار ارزان قیمتی از اکسید گرافن کاهش یافته (rGO) می‌شود که به طور مستقیم می‌تواند به عنوان ماده الکتروودی

استفاده شود. استولر و همکارانش هیدرات هیدرازین را به عنوان عامل کاهنده برای تولید rGO از GO استفاده کردند [۶۴]. rGO به دست آمده ظرفیت ویژه $g F/g$ ۱۳۵ و مساحت سطح ویژه m^2/g ۷۰۵ را نشان داد که پایین تر از مقدار تئوریکی m^2/g ۲۶۳۰ می باشد که احتمالاً به دلیل تجمع rGO می باشد [۶۴].

برای الکترودهای rGO و گرافن متداول یون های الکترولیت فقط می توانند بارها را بین صفحات گرافن انتقال دهند که مسیر انتقال یون طولانی تری با توجه به انتقال از طریق صفحات گرافن حاصل می شود (شکل ۳-۲) برای حل این مسئله، در مطالعه ای صفحات گرافن حفره داری سنتز شد که به یون ها اجازه می دهد از طریق حفرات با یک مسیر انتقال کوتاه تری عبور کنند در حالی که انتقال الکترون موثر هنوز حفظ شده است [۸۴]. همان طور که انتظار می رفت الکترود گرافن سه بعدی حفره ای با ساختار سلسله مراتبی، به ترتیب ظرفیت ویژه حجمی و وزنی بالای F/g ۲۹۸ و F/cm^2 ۲۱۲ را نشان داد. به علاوه دانسیته انرژی ابرخازن کاملاً پک شده مربوطه Wh/kg ۳۵ گزارش شد.



شکل ۳-۲- شمایی از فوم های گرافن و گرافن متخلخل.(A و B): فوم گرافن ماکروپور سه بعدی و B: فوم گرافن متخلخل.(C و D): فیلم های فشرده فوم گرافن(C) و فوم گرافن متخلخل(D). (E و F) نمایی از فیلم های تقویت شده گرافن(E) و گرافن متخلخل(F). فلش ها مسیرهای انتقال یون را نشان می دهند [۱۰۱].

مانند نanolوله‌های کربنی، فعال‌سازی سطحی برای بهبود ظرفیت ویژه الکترودهای گرافن بدون اثر مضر روی هدایت الکتریکی استفاده شده است. رواف و همکارانش، با استفاده از فعال‌سازی GO ورقه شده با پتاسیم هیدروکسید، مساحت سطح ویژه را تا $3100 \text{ m}^2/\text{g}$ افزایش دادند [۸۵] که حتی از مقدار مساحت سطح ویژه پیش بینی شده تئوریکی گرافن تک لایه ($2630 \text{ m}^2/\text{gr}$) بالاتر است و تأیید کننده وجود یک شبکه سه بعدی حاوی حفرات با اندازه $1-10 \text{ nm}$ می‌باشد. همچنین دوپه کردن گرافن با هترو اتم‌ها می‌تواند خواص الکتریکی و الکتروشیمیایی آن را برای کاربردهای ذخیره انرژی بهبود دهد [۸۸]. جون و همکارانش گرافن دوپه شده با نیتروژن را از طریق یک فرایند پلاسمای ساده سنتز کردند [۸۹] و مشخص شد که ظرفیت ویژه 280 F/g را نشان می‌دهد که چهار برابر بزرگتر از گرافن اولیه دوپه نشده مربوطه می‌باشد. این امر به ورود مکان‌های انتقال دهنده بار از طریق دوپه کردن نیتروژن نسبت داده می‌شود که ناشی از مدولاسیون بار و بنابراین هدایت الکتریکی گرافن می‌باشد که منجر به ظرفیت ویژه بالاتر و افزایش توان و دانسیته انرژی به میزان $8 \times 10^5 \text{ Wh/kg}$ و 48 mg/cm^2 می‌شود. گرافن دوپه شده با نیتروژن همچنین از طریق کاهش هیدروترمال GO با پیش ماده‌های دارای نیتروژن سنتز شده است [۹۰] شبکه گرافن دوپه شده با نیتروژن سه بعدی به دست آمده دانسیته $\frac{1}{2} \text{ mg/cm}^2$ با ظرفیت ویژه بالا به میزان 484 F/g در الکترولیت 1 Molar LiTf پرکلرات داشت و ظرفیت 415 F/g را حتی بعد از 1000 چرخه در دانسیته جریان بالای 100 A/g حفظ نمود [۹۰]. به علاوه گرافن دوپه شده با عنصر دیگر مانند بور، فسفر یا دوپه شده با دو اتم مانند نیتروژن و فسفر یا بور و نیتروژن نیز افزایش قابل توجهی در عملکرد ذخیره انرژی نشان داده‌اند [۹۱-۹۲]. ساختارهای سه بعدی خودآرایی شده بر پایه گرافن مانند هیدروژلهای و آئروژلهای، به علت تخلخل بالا، توانایی جذب سطحی عالی و دانسیته پایینشان، بعدها به عنوان مواد الکترود برای ابرخازن‌ها استفاده شده‌اند [۹۳-۹۵].

۳-۲-۲-۳- هیبرید نانوساختارهای کربنی

انتظار می‌رود نانو مواد کربنی با ساختارهای مشخص، اثرات هم افزایی را نسبت به عملکرد الکتروشیمیایی نشان دهند. برای مثال، کربن بلک برای جداسازی صفحات گرافن استفاده شده است تا مواد هیبرید سه بعدی با تجمع کم گرافن تولید کند که منجر به ظرفیت ویژه بالای 10 mv/s در سرعت اسکن 175 F/g در الکترولیت 6 Molar پتاسیم

هیدروکسید می‌شود [۱۲۳]. در کار دیگری، گویهای کربنی مزوپور بین صفحات گرافن و ساختار سه بعدی به دست آمده قرار گرفتند و ظرفیت g/F را در سرعت اسکن 10 mv/s نشان داد [۱۲۴]. همچنین برهم کنش‌های $\pi-\pi$ بین گرافن و نانولوله‌های کربنی می‌تواند هدایت الکتریکی و مقاومت مکانیکی را بهبود بخشد [۱۲۵]. درست مانند گرافن اکسید (GO) برای پخش کردن نانولوله‌های کربنی در حللاها [۱۲۶]، نانولوله‌های کربنی اکسید شده برای تشکیل کامپوزیت‌ها با گرافن استفاده شده‌اند [۱۲۷]. به این منظور یو و دای فیلم‌های هیبریدی از نانولوله‌های کربنی و شبکه به هم پیوسته گرافن با نانوحفرات شناخته شده تولید کردند [۱۲۷] که ظرفیت ویژه g/F را در الکتروولیت سولفوریک اسید M نشان داد و حتی در سرعت اسکن s/V ، یک ولتاکوگرام چرخه‌ای تقریباً مستطیلی شکل را نشان داد.

۲-۲-۳ نانوساختارهای کربنی مورد استفاده در ساخت ابرخازن‌ها

شبه خازن‌ها انرژی را از طریق انتقال بار فارادیک برگشت پذیر ذخیره می‌کنند که شامل واکنش‌های ردوکس الکتروشیمیایی برگشت پذیر و سریع در سطح مشترک بین الکترودها و الکتروولیت می‌باشد. همچنین ظرفیت ویژه و دانسیته انرژی شبه خازن، اغلب بالاتر از یک EDLC می‌باشد. از آنجایی که واکنش‌های ردوکس در سطح الکتروود اتفاق می‌افتد مساحت سطح ویژه بالا و هدایت الکتریکی بالا برای الکترودها در یک شبه خازن ضروری هستند. بنابراین، مواد کربنی شامل نانولوله‌های کربنی، گرافن، کربن مزوپور و هیبریدهای آنها به عنوان بستری برای بارگذاری مواد فعال و یا جمع کننده جریان برای اطمینان از ظرفیت بالا و انتقال بار سریع برای الکترودها در شبه خازن‌ها (PCs) کارآمد استفاده شده‌اند.

۲-۲-۳-۱ نانولوله‌های کربنی

نانولوله‌های کربنی در ابرخازنها یا به شکل عامل دار شده یا به شکل ترکیبی از اجزاء فعال مانند پلیمرهای هادی و اکسیدهای فلزی استفاده شده‌اند. نانولوله‌های کربنی می‌توانند از طریق روش‌های شیمیایی یا الکتروشیمیایی عامل دار شوند. رایج‌ترین روش برای عامل دار کردن نانولوله‌های کربنی، اکسیداسیون اسیدی (مانند مخلوطی از نیتریک اسید و سولفوریک اسید غلیظ شده) برای ایجاد گروههای کربوکسیل سطحی است [۱۲۸].

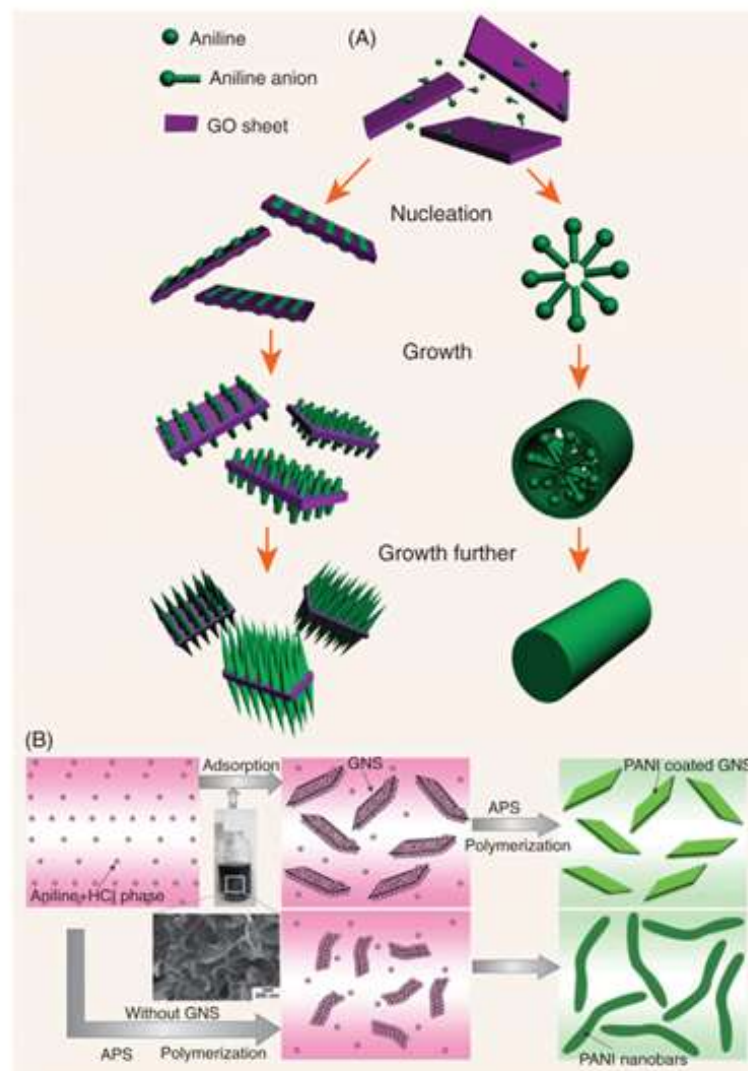
ظرفیت ویژه نanolوله‌های کربنی به علت افزایش آب گریزی الکتروودها در الکتروولیت‌های آبی و معرفی شبه ظرفیت، می‌تواند از طریق اکسیداسیون اسیدی، تا حد ۳/۲ برابر افزایش یابد. همچنین نanolوله‌های کربنی با محلول سدیم هیدروکسید در 80°C و سپس اولتراسیون در محلول سولفوریک اسید/ نیتریک اسید، می‌تواند ظرفیت ویژه را از 28 F/g برای نanolوله‌های کربنی خالص به 85 F/g برای نanolوله‌های کربنی عامل‌دار شده بهبود بخشد. پلیمرهای هادی با فعالیت‌های ردوکس و هدایت‌های الکتریکی خوب، اغلب ظرفیت‌های ویژه بالایی را در حین کامپوزیت شدن با نanolوله‌های کربنی نشان می‌دهند.

پلی آنیلین (PANI) دارای ظرفیت ویژه تنوریکی بالاتری است و فیلم کامپوزیت SWNT/PANI انعطاف‌پذیر که از طریق پلیمریزاسیون الکتروشیمیایی درجا سنتز شده است با ظرفیت ویژه بالای 50 F/g را از خود نشان داده است [۱۲۹]. از آنجایی که PANI در حین فرایند شارژ و دشارژ تغییر رنگ می‌دهد کامپوزیت‌های CNT/PANI برای ابرخازن‌های هوشمند کارآمد ($\text{H}_3\text{PO}_4/\text{PVA}$) با تبدیل رنگی بسیار برگشت-پذیر در حین فرایندهای شارژ و دشارژ برای بررسی وضعیت ذخیره انرژی توسط تغییرات رنگ PANI استفاده شده-اند [۱۳۰].

۲-۳-۲-۲ گرافن

گرافن با یک مساحت سطح ویژه بالا و هدایت الکتریکی زیاد با مواد فعال دیگری مانند پلیمرهای هادی، اکسیدهای فلزی و هیدروکسیدهای فلزی به عنوان الکتروود برای شبه خازن‌ها کامپوزیت شده است [۱۳۱-۱۳۷]. برای مثال کامپوزیت‌های PANI/GO از طریق پلیمریزاسیون در جای آنیلین به پلی آنیلین در GO سنتز شده-اند [۱۳۱]. لازم است خاطرنشان کرد که عملکرد الکتروود PANI/GO به نسبت جرمی GO وابسته است و حداکثر ظرفیت ویژه به مقدار 746 F/g در نسبت جرمی $1:2000$ به دست آمده است. مانند یک الکتروود PANI خالص، الکتروود کامپوزیت PANI/GO، پایداری چرخه‌ای الکتروشیمیایی بسیار پائینی را تنها با حفظ ۲۰٪ ظرفیت پس از ۵۰۰ چرخه نشان داد.

افزایش پایداری چرخه‌ای الکتروشیمیایی با استفاده از افزایش مقدار GO در کامپوزیت PANI/GO بدست می‌آید و ۷۳٪ ظرفیت در نسبت GO: PANI: ۲۳:۱ حفظ می‌شود. با رشد نانوسيم‌های هم راستا به طور عمودی روی بستر GO (شکل ۵-۳) [۱۶۳]، مورفولوژی PANI و نسبت جرمی PANI به GO به خوبی کنترل شد و ظرفیت ویژه بالایی به میزان 555 F/g در سولفوریک اسید ۱ مولار در 0.2 A/g با نرخ حفظ ۹۲٪ ظرفیت بعد از ۲۰۰۰ چرخه در 1 A/g بدست آمد. همچنین یان و همکارانش، یک کامپوزیت گرافن/PANI را با نانوذرات (2nm) به شکل یکنواخت روی پرک‌های گرافن سنتز کردند [۱۳۳] و مشاهده کردند که گرافن نه تنها به عنوان یک ماده پشتیبان برای ایجاد مکان‌های فعال برای هسته زایی PANI عمل می‌کند، بلکه همچنین مسیر انتقال الکترون بهتری فراهم کرد که منجر به ظرفیت ویژه 1046 F/g در پتاسیم هیدروکسید ۶M در سرعت اسکن 1 mV/s دانسیته انرژی 39 Wh/kg و دانسیته توان 70 kW/kg می‌شود. برای بهبود بیشتر عملکرد، صفحات گرافن با مکان‌های هسته‌زایی فعال‌تر از طریق بازکردن CNTS برای تولید نانو روبان‌های گرافن با ظرفیت ویژه 340 F/g و حفظ ۹۰٪ ظرفیت بعد از ۴۲۰۰ چرخه شارژ - شارژ تهیه می‌شوند [۱۳۴]. جالب این است که، ظرفیت ویژه بالاتر 4200 F/g در الکتروولیت پتاسیم هیدروکسید ۱M، به هنگام ورود کبالت به کامپوزیت گرافن و PANI از طریق پلیمریزاسیون آنیلین در حضور کبالت گرافن بدست می‌آید [۱۳۵]. همچنین هیدروژل کامپوزیت پلی آنیلین/ گرافن سه بعدی به صورت یک فیلم مجزا برای تهیه ابرخازن‌های منعطف بدون اتصال دهنده سنتز شد [۱۳۷]، که خواص ذخیره انرژی عالی و همچنین انعطاف پذیری فوق العاده‌ای را برای ابزارهای الکترونیکی قابل حمل، نشان داد.



مانند نانولوله‌های کربنی (CNTs)، اکسیدها یا هیدروکسیدهای فلزی با نانو مواد پایه گرافن برای بهبود شبکه ظرفیت کامپوزیت می‌شوند. برای مثال، کامپوزیت MnO_2/GO -نانو سوزن‌های منگنز دی اکسید از طریق یک مسیر شیمیایی با استفاده از منگنز دی کلرید (MnCl_2) و پتابسیم پرمگنات در مخلوط آب و ایزوپروپیل الکل در حضور RuO_2 سنتز شد. کامپوزیت MnO_2/GO سنتز شده، ظرفیت ویژه 216 F/g با حفظ 84% ظرفیت بعد از ۱۰۰۰ چرخه را نشان داد.

به عنوان یک اکسید فلزی بسیار فعال برای واکنش‌های ردوکس، روتینیوم اکسید (RuO_2) نیز با گرافن به عنوان الکترود در شبه خازن‌ها، کامپوزیت داده است. کامپوزیت گرافن و RuO_2 از طریق یک روش سُل - ژل و سپس با استفاده از پخت مجدد سنتز شد و ظرفیت ویژه 570 F/g را در سولفوریک اسید ۱ مولار با حفظ 97% ظرفیت

بعد از ۱۰۰۰ چرخه نشان داد [۱۳۸]. این روش، به طور موثر تجمع نانوذرات RuO_2 و صفحات گرافن را با استفاده از جداسازی صفحات گرافن با نانوذرات RuO_2 پیوند زده شده، کاهش می‌دهد. دانسیته انرژی بیش از $20/1 \text{ Wh/kg}$ در دانسیته جریان g/A ، حاصل شد، که وقتی دانسیته توان به kg/kW افزوده شد دانسیته انرژی در محدوده $4/3 \text{ Wh/kg}$ باقی ماند.

کبالت اکسید، اکسید فلزی دیگری است که قادر به نشان دادن واکنش‌های ردوکس برگشت‌پذیر و سریع در حین فرآیند شارژ-دشارژ در شبه خازن‌ها می‌باشد. در این راستا، کامپوزیت گرافن و Co_3O_4 از طریق واکنش شیمیایی کبالت نیترات با اوره در سوسپانسیون GO تحت اشعه ماکروویو برای نشان دادن ظرفیت ویژه $243/2 \text{ F/g}$ در پتانسیم هیدروکسید ۱ مولار سنتز شد [۱۳۹]. در کنار اکسیدهای منگنز (Mn) و رتینوم (Ru) و کبالت (Co)، اکسید سایر فلزات چندظرفیتی مانند نیکل، آهن، تیتانیوم و روی نیز به عنوان مواد الکترود دیگر مورد بررسی قرار گرفته‌اند که می‌توانند با گرافن کامپوزیت شوند و عملکرد شبه خازنی را بیشتر بهبود بخشدند [۱۴۰-۱۴۴].

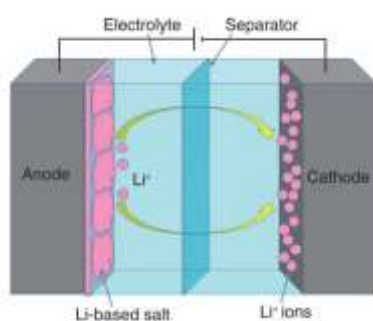
۲-۲-۳-۳ هیبرید نانوساختارهای کربنی

انتظار می‌رود کامپوزیت‌هایی که ممکن است با استفاده از مواد کربنی مختلف تشکیل می‌شوند، اثر هم افزایی نشان دهند به عنوان مثال، نانولوله کربنی و گرافن با PANI از طریق پلیمریزاسیون درجا سنتز شده‌اند [۱۴۵] و کامپوزیت گرافن و PANI/CNT، به طور قابل توجهی، ظرفیت ویژه بالای $10/35 \text{ F/g}$ را در الکتروولیت پتانسیم هیدروکسید ۶ مولار در mv/s نشان داد که این مقدار قابل مقایسه با ظرفیت PANI / گرافن می‌باشد ($10/46 \text{ F/g}$) و از کامپوزیت PANI/CNT خالص (780 F/g) یا PANI (780 F/g) بالاتر است. بعلاوه، ۹۴٪ ظرفیت ابتدایی بعد از ۱۰۰۰ چرخه حفظ می‌شود در حالی که مقدار حفظ ظرفیت برای کامپوزیت‌های گرافن / PANI و PANI/CNT به ترتیب فقط در حدود ۵۲٪ و ۶۷٪ بودند. کامپوزیت‌های سه تایی دیگر مختلفی مانند اکسید فلزی / گرافن، پلیمر هادی / اکسید فلزی / گرافن، کربن میکروپور دوپه شده با نیتروژن / CNT / گرافن، پلیمر هادی / اکسید فلزی / گرافن، کربن میکروپور دوپه شده با N/CNT / نیز به عنوان مواد الکترود برای ابرخازن‌ها بررسی شده‌اند [۱۴۶-۱۴۹]. به طور ویژه، آرایه‌های نانو سیم هیدروکسید کربنات کلرید کبالت (CCCH NWAS) با

طول میانگین ۸mm از طریق یک فرآیند هیدروترمال روی فوم نیکل سنتر می‌شود و ظرفیت ویژه 173 F/g را در پتانسیم هیدروکسید $\text{M}_1\text{O}_{2/5}\text{H}_2\text{O}$ و پایداری چرخه‌ای خوبی برای حفظ $97/3\%$ ظرفیت بعد از ۲۰۰۰ چرخه در دانسیته جریان $7/5\text{ mA/cm}^2$ نشان داد. یک ابرخازن نامتقارن براساس CCCH/NWAS به عنوان الکترود مثبت و کربن فعال به عنوان الکترود منفی، دانسیته انرژی $29/1\text{ wh/kg}$ و دانسیته 100 W/kg با پایداری بسیار زیاد در یک محدوده ولتاژ وسیع در حدود $7-150\text{ mV}$ نشان داد.^[۱۵۰] همچنین، ترکیبی از GO و گرافن خالص با PANI منجر به ظرفیت ویژه $793/7\text{ F/g}$ در سولفوریک اسید M_2S در دانسیته جریان 1 A/g شد.^[۱۵۱] این ابرخازن نامتقارن، دانسیته انرژی $50/2\text{ Wh/kg}$ را در دانسیته توان $2/14\text{ kW/kg}$ نشان داده است و ارتقاء در عملکرد به اثرات هم افزایی هر یک از اجزاء نسبت داده می‌شود.

۴-۲-۲ ابرخازن‌های هیبریدی بر پایه مواد کربنی

ابرخازن‌های هیبریدی (HSCs) برای پر کردن فاصله بین ابرخازن‌های الکتروشیمیایی (EScs) که دارای توان بالا اما انرژی پایین هستند و باتری‌ها که دارای انرژی بالا و اما توان پایین هستند طراحی می‌شوند. ابرخازن‌های هیبریدی عمدتاً حاوی یک الکترود کربنی خازنی بر اساس شبکه خازن و یا شبکه خازنی و یک الکترود لیتیمی می‌باشد.^[۱۵۲-۱۵۳]



شکل ۶-۲- شماتیکی از ابرخازن هیبریدی

در ابرخازن‌های هیبریدی، ترکیبی از واکنش بین لایه‌ای فارادیک روی کاتد و واکنش سطحی غیر فارادیک روی آند، بستری را برای رسیدن به دانسیته‌های توان و انرژی بالا، بدون تغییر دادن پایداری چرخه‌ای و قیمت تمام شده فراهم می‌سازد. مواد پایه کربنی مورد استفاده برای کاتدها در ابرخازن‌های هیبریدی شامل: گرافیت، نانولوله‌های

کربنی، گرافن، کربن فعال، کربن‌های مزوپور سه بعدی و اکسیدهای فلزی مختلف یا کامپوزیت‌های پایه کربن- پلیمر می‌شود [۱۵۶]. کامپوزیت گرافن سه بعدی / منگنز دی اکسید (MnO_2) ظرفیت ویژه حداکثری g/F ۱۱۴۵ را نشان داد که در حدود ۸۳٪ ظرفیت تئوریکی در بارگیری جرمی حدود ۱۳٪ از منگنز دی اکسید می‌باشد [۱۵۷].

۲-۲-۱-۴-۲-۲ ابرخازن‌های قابل انعطاف بر پایه کربن (فیلمی شکل یا فیبری شکل)

ابرخازن‌های قابل پوشش^۱ به شکل فیلم یا به شکل فیبر نازک (پوشش، پارچه / لباس، کاغذ، منسوجات) برای منابع توان پیشرفته مورد توجه قرار گرفته‌اند. نانو مواد کربنی به علت مساحت سطح زیادشان، خواص مکانیکی و الکتریکی عالی و پایداری الکتروشیمیایی زیاد، به عنوان مواد الکترود رضایت بخشی برای ابرخازن‌های منعطف (FSCs) به کار می‌روند. برای مثال، آقای چن و همکارانش، ابرخازن‌های شفاف و منعطفی را براساس فیلم‌های ناهمگن CNT / نانوسیم In_2O_3 تولید کردند و یک افزایش را در ظرفیت ویژه بیش از g/F ۶۴ با افزایش نانوسیم های In_2O_3 (بیش از $7mg/0.07$) پخش شده رو فیلم‌های CNT مشاهده کردند [۱۵۸].

از آنجایی که قیمت فرایند برای ساخت الکترود منعطف مطلوب است، دو و همکارانش یک الکترود هیبرید کارآمد، منعطف و ارزان قیمت را براساس فیلم کامپوزیت CNT و نانولوله منگنز دی اکسید (MnO_2) بدست آمده از طریق روش صاف کردن با خلاء را گزارش دادند [۱۵۹]. به علت مورفولوژی نانولوله یک بعدی طویل، اثرات هم افزایی بین نانولوله‌های شبه خازن MnO_2 و نانولوله‌های کربنی هادی، در ساختار متخلخل سلسله مراتی با بارگذاری جرمی بالای منگنز دی اکسید ($4mg/cm^2$)، الکترودهای MnO_2 -NT/CNT عملکرد الکتروشیمیایی و مکانیکی فوق العاده‌ای را با ظرفیت حجمی cm^3/F ۵/۱ در الکترولیت ژل لیتیم کلرید (LiCl) / پلی وینیل الکل (PVA) با دانسیته انرژی بالای Wh/cm^3 ۰/۴۵ برای تمام حجم ابرخازن نشان داده که در آن با حفظ حدود ۱۰۵٪ ظرفیت ابتدایی بعد از ۶۰۰۰ چرخه به علت اثر خود فعالسازی، مشاهده شد. این ابرخازن‌ها می‌توانند در ابزارهای الکترونیکی قابل پوشیدن به عنوان منابع انرژی منعطف ادغام شود که می‌تواند در ساعتها و دیودهای ساطع کننده نور (LEDs) به کار برود.

علاوه بر این، ابرخازن‌ها همچنین از پلیمرهای هادی یا بدون کامپوزیت شدن با مواد الکترود دیگر (مانند نانولوله‌های کربنی، گرافن) با کامپوزیت شدن ساخته می‌شوند. پلی آنیلین، پلی پیروول و پلی تیوفن به ترتیب دارای ظرفیت‌های ویژه 1284 , 840 و 210 F/g می‌باشد [۱۶۰]. پلی پیروول به علت پایداری محیطی بالای آن، فعالیت ردکس فوق العاده و در دسترس پذیری آسان آن، ماده‌ای است که به عنوان الکترود پلیمر برای ابرخازن قابل انعطاف، بسیار استفاده شده است. خواص الکتروشیمیایی پلی پیروول می‌تواند با استفاده از کامپوزیت شدن با CNTs، گرافن یا کامپوزیت‌ها/هیبریدهای آنها ارتقا یابد. در مطالعه دیگری، فیلم‌های تهیه شده از کامپوزیت پوسته-هسته نانو لوله کربنی - پلی پیروول (CNT-PPy) با رشد دادن نانولوله‌های کربنی به طور مستقیم روی پارچه کربنی به عنوان PPy/CNT-CC اسکلت و سپس الکتروپلیمریزاسیون پلی پیروول روی نانولوله‌های کربنی تهیه شد [۱۶۱]. الکترود ظرفیت وزنی 1038 F/g به ازای جرم فعال پلی پیروول (PPy) و بیش از $486/1$ F/g به ازای جرم فعال کامپوزیت پلی پیروول (PPy)/نانولوله کربنی، با انعطاف پذیری مکانیکی عالی و پایداری چرخه‌ای بیش از 10000 چرخه حاصل شد.

۲-۴-۲-۲ ابرخازن‌های قابل کشسان بر اساس ترکیبات کربنی

ابرخازن‌های منعطف (FSC) پیچ خورده و کشسان برای وسایل الکترونیکی پیشرفته مطلوب هستند که در سنسورهای خودکار پایه پلیمری، دیودهای ساطع کننده نور پلیمری، سل‌های خورشیدی پلیمری و غیره استفاده می‌شوند. در گزارش‌های اخیر روی ابرخازن‌های کشسان، الکترودهای نانولوله کربنی تک دیواره (SWNT) پیچ خورده / پلی دی متیل سیلوکسان (PDMS) طراحی شده، مورد توجه قرار گرفتند، زیرا آنها نیروی کشش بیش از 140% را بدون هیچ تغییری در مقاومت نشان دادند [۱۶۲ و ۱۶۳]. به کارگیری کاغذهای گرافن چروکیده، قیمت و پیچیدگی ساخت الکترودهای کارآمد و کشسان را برای ابرخازن‌ها کاهش داد [۱۶۳ و ۱۶۴]. الکترود پایه کاغذی گرافن چروکیده قابلیت کشسانی بالای بیش از 300% تنش طولی و 800% تنش هوایی را با یک ظرفیت ویژه 196 F/g در الکتروولیت فسفریک اسید-پلی وینیل الکل (H_3PO_4 -PVA) و پایایی بیش از 1000 چرخه کنش/رهاسازی را نشان داد [۱۶۴]. کیم و همکارانش یک ابرخازن کشسان بدون لایه لایه شدن را گزارش داده‌اند که همه لایه‌های

جزئی با یک ماتریکس منفرد متتشکل از یک مایع یونی (۱- اتیل ۳- متیل ایمیدازولیوم بیس (تری فلورومتیل سولفونیل) – ایمید) و یک پلیمر، (پلی (وینیلیدن فلورید هگزالفلورو پروپیلن)، به ترتیب به عنوان یک الکترولیت و لایه تقویت کننده در ابرخازن کشسان تهیه شدند[۱۶۵]. لایه الکترود با استفاده از ترکیب نانولوله‌های کربنی در ماتریکس پلیمر، با همه لایه‌هایی که به طور پیوسته به یک واحد منفرد از طریق انحلال سطح کامپوزیت با استون جوش خوردند، ساخته شد. ولتاژ عملیاتی سل به علت استفاده از الکترولیتهاز ژل بر پایه مایع یونی به بزرگی 3 V می‌باشد. ظرفیت ویژه الکترود و ظرفیت سطحی سل به ترتیب $g/2\text{ F/cm}^2$ و $12/2\text{ F/g}$ بودند.

۲-۴-۳-۲ ابرخازن‌های فوق سریع پایه کربنی برای فیلتر کردن خطوط انتقال AC

از آنجایی که برق AC دارای فرکانس ۵۰ یا ۶۰ هرتز است، فیلتر کردن خطوط AC جریان متناسب با استفاده از ابرخازن‌های فوق سریع برای مصرف برق خانگی به منظور حذف نویزهای فرکانس بالا لازم است. ترکیبی از بارهای مختلف غیرخطی از دستگاه‌های الکترونیکی مختلف در نیازهای خانگی، وسایل الکترونیک قابل حمل، اتومبیل‌ها و تجهیزات پزشکی، اغلب موجب هارمونیک‌های موتیبه بالاتر (بیشتر از ۱۲۰ هرتز) از فرکانس تولیدی اصلی می‌شود [۱۶۶]. به منظور محافظت وسایل الکترونیکی در برابر چنین موجک‌های ولتاژ، ابرخازن‌های الکترولیت آلومینیوم (AECs) برای فیلتر کردن AC استفاده می‌شود [۱۶۹، ۱۶۸، ۳۷]. به هر حال، AECs دارای ظرفیت ویژه پائینی هستند و از این جهت، فضا و حجم زیادی را در مدارهای الکترونیکی اشغال می‌کنند. از این رو، ابرخازن‌ها که، دارای ظرفیت ویژه ۲-۵ برابر بیشتر نسبت به AECs هستند، می‌توانند برای فیلتر کردن خطوط انتقال AC موثر با نیاز به فضا یا حجم بسیار کم در اجزای خازنی استفاده شوند [۱۷۰ و ۱۷۱].

بطور کلی، ابرخازن مانند یک مقاومت در ۱۲۰ هرتز بعد از وارد شدن به خطوط انتقال عمل می‌کنند [۱۶۹]. ثابت زمانی خازن- مقاومت معمولی (RC) برای یک ابرخازن در حدود یک ثانیه است که مربوط به مقاومت سری الکتروشیمیایی و ساختار میکروپور الکترودهای ابرخازن می‌باشد که برای کاربردهای معمولی فیلتر کردن ۱۲۰ هرتز (تقرباً ۸ میلی ثانیه) بسیار طولانی است، که دلالت بر لزوم صاف کردن موجک‌های AC باقیمانده در اکثر وسایل الکترونیک دارای خطوط انتقال می‌باشد [۱۷۱]. این امر عمدتاً به این دلیل است که ساختارهای حفره نامناسب

الکترودهای ابرخازن، مانع از نفوذ یون‌های با سرعت بالا می‌شوند و یا مقاومت زیاد آنها، انتقال بار کارآمد را محدود می‌کند [۱۷۲]. بنابراین، طراحی و ساخت الکترودهای بسیار هادی با ساختارهای نانو-میکرو برای انتقال آسان یون/الکترون، می‌تواند عملکرد صاف کردن خطوط AC را بهبود بخشد. مواد با مساحت سطح زیاد با تخلخل ذاتی کمتر، برای چنین کاربردهایی مطالعه شده‌اند. از میان مواد الکترودی مانند کربن آنیون شکل [۱۷۳]، اکسیدهای فلزی [۱۷۴]، پلیمرها [۱۷۵] و کربن‌های مزوپور [۱۷۰] برای بهبود میزان کارایی برای فیلتر کردن خطوط AC به کار رفته‌اند، مواد پایه گرافن و ساختارهای هیبرید گرافن/نانولوله کربنی، اخیراً ظهرور یافته‌اند تا به علت هدایت الکتریکی فوق العاده آنها و مساحت سطح ویژه بالای آنها، در بین مواد کربنی رایج، نوید بخش باشند [۱۷۶ و ۱۷۷]. همچنین تأیید شده است که گرافن و کامپوزیت‌های کربنی، در فیلتر کردن خطوط AC فوق العاده هستند، اگرچه توانایی ذخیره انرژی هنوز باید بهبود یابد [۱۷۸].

لین و همکارانش، یک میکرو ابرخازن بر پایه لایه گرافن/نانولوله کربنی سه بعدی را روی الکترودهای نیکل ساختند که یک زاویه فاز $81/5^{\circ}$ را در فرکانس 120 هرتز نشان داد. به هر حال، تحقیقات بیشتری برای شناسایی ابرخازن‌هایی که هم توانایی فیلتر کردن خطوط AC و هم توانایی ذخیره بار عالی برای کاربردهای عملی داشته باشند، مورد نیاز است [۱۷۹].

۵-۲ چشم اندازی بر ترکیبات کربنی به عنوان ماده الکترودی ابرخازن‌های الکتروشیمیایی

نانو مواد کربنی شامل نanolوله‌های کربنی یک بعدی، گرافن دو بعدی، کربن مزوپور سه بعدی و کامپوزیت‌های آنها با پلیمرهای هادی یا اکسیدهای فلزی، به طور گسترده به عنوان الکترودها در ابرخازن‌هایی مانند ابرخازن‌های دولایه الکتروشیمیایی (EDLCs)، شبکه خازن‌ها (PCs) و ابرخازن‌های هیبریدی (HSCs) استفاده شده‌اند. به طور کلی، نانو مواد خالص بدون هیچ گروه عاملی به دلیل مساحت سطح ویژه زیاد و هدایت الکتریکی عالی آنها، به عنوان الکترودهای خازن‌های دولایه الکتریکی کربنی مناسب هستند. مزایای خازن‌های دولایه الکتریکی کربنی عبارتند از: نرخ کارایی بالای آن و پایداری چرخه‌ای فوق العاده آن (مثل حفظ $100\%-95\%$ ظرفیت بعد از ۱۰۰۰-۱۰۰۰ چرخه). ظرفیت ویژه برای نانومواد کربنی در EDLC در محدوده $1000-3000$ F/g می‌باشد. برای نانو

مواد کامپوزیت کربنی، ظرفیت ویژه می‌تواند با یک درجه بزرگی به طور کلی بین $1000\text{--}F/g$ افزایش یابد. با کامپوزیت کردن نانومواد کربن با مواد دیگری که دارای خاصیت شبه خازنی (مانند پلیمرهای هادی، اکسیدها یا هیدروکسیدهای فلزی) هستند، دانسیته انرژی می‌تواند بسیار بهبود یابد، اما نرخ کارایی و پایداری چرخه‌ای آنها ممکن است بعد از ۱۰۰۰ چرخه $90\% - 60\%$ کاهش یابد. تلاش‌های متعددی برای بهبود عملکرد الکتروشیمیایی ابرخازن‌های بر پایه نانو مواد کربنی از طریق ارتقاء ظرفیت ویژه، دانسیته انرژی، دانسیته توان، نرخ کارایی و یا پایداری چرخه‌ای آنها صورت گرفته است. مشخص شده است که طراحی و توسعه ساختارهای الکترود سه بعدی پیشرفت و کامپوزیت کردن نانومواد کربنی با مواد فعال دیگر برای ابرخازن‌های پایه کربنی کارآمد موثر باشند، ابرخازن‌های هیبریدی می‌توانند فاصله بین ابرخازن و باطری را از طریق بهبود دانسیته انرژی و توان در یک وسیله الکتروشیمیایی منفرد پر کنند. ابرخازن‌های منعطف، کشسان و حتی شفاف برای نسل بعدی وسایل الکترونیک مورد نیاز هستند. اگرچه، کامپوزیت کردن گرافن و نانو لوله کربنی (CNT) پلیمرهای هادی ثابت شده است که مسیر موثری نسبت به ابرخازن‌ها با انعطاف پذیری و مقاومت تنشی عالی در حالی که عملکرد الکتروشیمیایی آنها حفظ می‌شود اما پلیمرهای هادی، اغلب، خواص الکتریکی ذاتی‌شان را در کامپوزیت‌ها از دست می‌دهند.

همان طور که در بحث‌های قبلی مشاهده شد، پیشرفت چشمگیری در توسعه ابرخازن‌های پایه کربنی شامل ابرخازن‌های دو لایه الکتروشیمیایی، شبه خازن‌ها و ابرخازن‌های هیبریدی به شکل‌های کشسان، منعطف یا قدیمی و حتی شفاف صورت گرفته است.

در مقایسه با باتری‌ها، ابرخازن‌ها، دارای دانسیته توان بالا، زمان شارژ شدن کوتاه، توانایی چرخه شارژ/دشارژ خوب و قابلیت کاربرد در محدوده زمانی وسیع هستند. این مزایا ابرخازن‌ها را برای کاربردهای با پتانسیل‌های مختلف شامل وسایل الکتریکی هیبرید، ابزارهای ذخیره انرژی تجدیدپذیر و وسایل الکترونیک قابل حمل مفید می‌کند. به هر حال، هنوز، چالش‌های برای رسیدن به بهبود بیشتر عملکرد الکترودهای بر پایه کربن وجود دارد. اولاً، کربن به داشتن ظرفیت ویژه کمتر در مقایسه با سایر مواد شبه خازن مانند اکسید فلزی و پلیمرهای هادی شناخته شده می‌باشد. بنابراین مقدار کربن، وجود ناخالصی‌های هترواتم در صورت وجود و بلورینگی یا اتصال یک شبه کربنی در الکترودهای

کامپوزیت باید به خوبی به منظور بدست آوردن عملکرد عالی الکترود در ک شود. ثانیاً، بهبود بیشتر الکتروولیتها و جداکننده‌ها برای ذخیره بار موثر و همچنین نرخ کارایی و پایداری چرخه‌ای زیاد ضروری است، سوماً، ابرخازن‌ها با توانایی فیلتر کردن خطوط AC هنوز باید برای تکنولوژی‌های ابرخازن پیشرفت، توسعه یافته باشند تا بازار را برای کاربردهای عملی مختلف بدست آورند. در پایان، دانسیته توان و انرژی ابرخازن‌ها در حالی که وزن، حجم و قیمت آنها کاهش می‌باید باید بیشتر بهبود یابد.

۲-۶ اکسیدها / هیدروکسیدهای فلزات واسطه

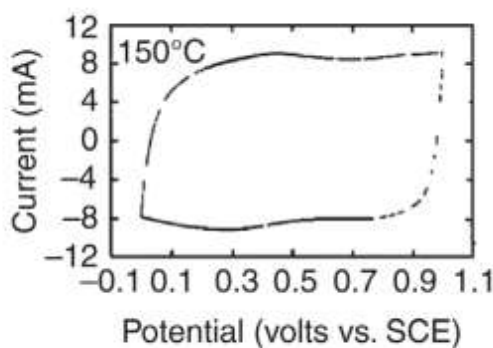
در کنار مواد کربنی، اکسیدها و هیدروکسیدهای فلزی، دو دسته از مواد الکتروفعال مورد استفاده برای ابرخازن‌ها هستند. برخلاف هدایت الکتریکی پایین‌تر آن‌ها در مقایسه با پلیمرهای هادی، اکسیدها و هیدروکسیدهای فلزی، پایداری الکتروشیمیایی بهتری نشان می‌دهند. برای اینکه اکسیدها و هیدروکسیدهای فلزی در شبه ابرخازن‌ها کارآمد استفاده شوند، فلزات مربوطه باید دو یا تعداد بیشتری حالت اکسایش نشان دهن. که از جمله TiO_2 , SnO_2 , RuO_2 , MnO_2 , NiO , V_2O_5 , Fe_2O_3 , CO_3O_4 فلزات واسطه به دلیل ساختار لایه لایه و حالت‌های اکسایش چندگانه برای کاربردهای ابرخازن به طور گسترده مورد بررسی قرار گرفته‌اند. ذاتاً، رفتار الکتروشیمیایی اکسیدها، به علت واکنش‌های شیمیایی سطحی بسیار برگشت‌پذیر از نظر ماهیت شبه خازنی است. اکسیدهای دسته وسیعی از فلزات واسطه برای این منظور کشف شده‌اند. اکسیدهای فلزات واسطه می‌توانند دانسیته انرژی بالاتری را برای ابرخازن‌ها نسبت به مواد کربنی راچ و پایداری الکتروشیمیایی بهتری را نسبت به مواد پلیمری فراهم کنند، به علت این واقعیت که آنها نه تنها انرژی را مانند مواد کربنی ذخیره می‌کنند بلکه همچنین واکنش‌های فارادیک الکتروشیمیایی بین مواد الکترود و یونها، در پنجره پتانسیل مناسب نشان می‌دهند.

الزامات عمومی اکسیدهای فلزی با توجه به کاربردهای ابرخازن عبارتند از: ۱) اکسید، باید رسانای الکترونیکی باشد. ۲) فلز می‌تواند در دو یا چند حالت اکسایش وجود داشته باشد که در یک محدود پیوسته بدون تغییر فاز که شامل تغییرات غیربرگشت‌پذیر ساختار سه بعدی می‌باشد وجود داشته باشد. ۳) پروتون‌ها باید بتوانند آزادانه در

شبکه اکسید نفوذ کرده و خارج شوند، این امر اجازه تبدیل متقابل $\text{O}^{2-} \leftrightarrow \text{OH}^-$ را می‌دهد. تا امروز، اکسیدهای بررسی شده شامل روتنیوم اکسید، منگنز اکسید، کبالت اکسید، نیکل اکسید و وانادیوم اکسید می‌باشد. برای این منظور مسیرهای سنتزی ساده و موثر توسعه یافته‌اند. نانومواد با ساختارهای مختلف تهیه شدند و ظرفیت ویژه و پایداری دستگاه‌ها، به طور قابل توجهی بهبود یافته است.

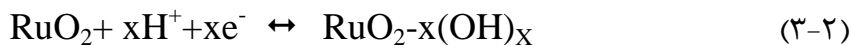
۱-۶-۲ روتنیوم اکسید (RuO_2)

از میان اکسیدهای فلزی واسطه، RuO_2 (به ویژه به علت ظرفیت ویژه بالا در حدود 1000 F/g) پرکاربردترین گزینه مورد مطالعه برای کاربردهای ابرخازن بوده است. علاوه بر این، RuO_2 ، پنجره ولتاژ وسیع، واکنش‌های ردoks بسیار برگشت‌پذیر، هدایت پروتون بالا، پایداری گرمایی خوب، طول عمر چرخه طولانی، هدایت از نوع فلزی و قابلیت سرعت بالا را نشان داده است [۱۸۸-۱۹۲]. در زمانی که RuO_2 به عنوان ماده الکترودی استفاده می‌شود، یک سری فرآیندهای ردoks برگشت‌پذیر اتفاق می‌افتد که منجر به تغییر حالت اکسایش در بین Ru^{+4} , Ru^{+3} و Ru^{+2} می‌شود که در محدوده پتانسیل $1/2V$ قابل دستیابی است [۱۹۳-۳۸]، در جایی که عمدهاً شبه ظرفیت در ظرفیت RuO_2 مشارکت می‌کند (شکل ۱۸-۳). ظرفیت لایه دوتایی فقط در حدود 10% از بار ذخیره شده در الکترودهای RuO_2 مشارکت می‌کند که به طور موازی با شبه ظرفیت کار می‌کند [۱۹۳]. فاکتور اصلی محدود کننده کاربردهای آن، فقط هزینه بالای این ماده است.



شکل ۲-۱۸-۲-ولتاکرام چرخه ای $\text{RuO}_2 \cdot x\text{H}_2\text{O}$

رفتار شبیه خازن روتینیوم اکسید شامل واکنش‌های مختلفی در محلول‌های الکترولیت اسیدی و قلیایی است که به نوبه خود حساسیت‌های مختلفی را نسبت به بلورینگی نشان می‌دهد. در محلول‌های الکترولیت اسیدی، یک انتقال الکترون برگشت‌پذیر سریع جذب الکترون پروتون‌ها روی سطح اتفاق می‌افتد که حالت‌های اکسایش روتینیوم از دو (II) به چهار (IV) تغییر می‌کند [۱۹۴-۱۹۸]:



تغییر X در حین ورود / خروج پروتون در پنجره ولتاژ $1/2$ ولت اتفاق می‌افتد و به دلیل جذب یونی منجر به رفتار خازنی می‌شود [۱۹۸]. ظرفیت‌های ویژه بیشتر از 600 F/g حاصل شده است [۱۹۹]، اما سیستم‌های آبی بر پایه روتینیوم گران هستند و پنجره ولتاژ کار یک ولتی آنها، کاربردهای آنها را به دستگاه‌های الکترونیک کوچک محدود می‌کند [۳۸]. برای کار با پنجره‌های ولتاژ وسیع‌تر، الکترولیت‌های آبی با جایگزین‌های پروتون (مانند یون لیتیوم) توصیه می‌شود [۳۸]. در محلول‌های قلیایی، گزارش شده است که روتینیوم به RuO_4^{2-} و RuO_4 در حین شارژ شدن اکسید می‌شود و در هنگام دشارژ به RuO_2 کاهش می‌یابد [۲۰۱، ۲۰۰].

۲-۶-۲ منگنز دی اکسید (MnO_2) برای شبیه خازن‌ها (PCs)

منگنز دی اکسید به علت قیمت نسبتاً پایین، سمیت کم، اینمنی محیطی و ظرفیت‌های تئوریکی زیاد (بیش از 1300 F/g ، به عنوان یک جایگزین برای روتینیوم اکسید (RuO_2) معروفی شد. از زمان گزارش اولیه آقایان لی و گودناف در سال ۱۹۹۹ [۲۰۲] MnO_x مورد توجه قرار گرفته است و به عنوان یک دسته جایگزین امیدبخش برای کاربردهای ابرخازن در نظر گرفته شده است [۲۰۳-۲۰۶]. ظرفیت اکسیدهای منگنز، عمدتاً از ظرفیت شبیه خازنی ناشی می‌شود که به انتقال‌های ردوكس برگشت‌پذیر شامل تبادل پروتون‌ها و یا کاتیون‌ها با الکترولیت و همچنین انتقالات بین $\text{Mn}^{6+}/\text{Mn}^{4+}$ و $\text{Mn}^{4+}/\text{Mn}^{3+}$ و $\text{Mn}^{3+}/\text{Mn}^{2+}$ داده نموده است [۲۰۹-۲۱۱]. مکانیسم پیشنهاد شده در معادله (۳-۳) بیان شده است.

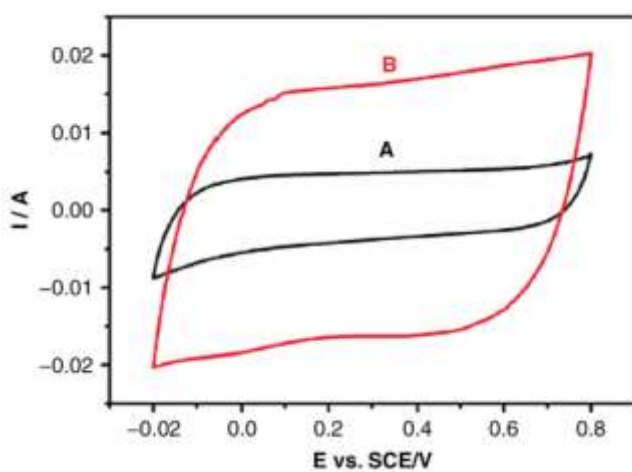
(3-3)



جایی که C^+ ، پروتون‌ها و کاتیون‌های فلزی قلیایی (لیتیم (Li^+)، سدیم (Na^+)، پتاسیم) را در الکتروولیت نشان می‌دهد و $\text{MnO}_{\alpha-\beta}(\text{OC})_{\beta+\delta}$ به ترتیب در حالت‌های اکسایش بالا و پایین می‌باشد. معادله (۳-۳) پیشنهاد می‌دهد که هم پروتون‌ها و هم کاتیون‌های قلیایی در فرآیند ردox درگیر هستند و اینکه ماده MnO_X باید هدایت الکتریکی و یونی بالایی داشته باشند.

با وجود ماهیت ردox مکانیسم ذخیره انرژی، الکترودهای برپایه MnO_x همچنین، می‌توانند منحنی‌های ولتاوتمتری چرخه‌ای مستطیلی شکل معمول را نشان دهند (شکل ۱۹-۳ نمونه‌ای از آن را نشان می‌دهد)، که مشابه با مکانیسم‌های ذخیره انرژی غیر فارادیک می‌باشد [۲۱۲ و ۲۱۳].

برطبق گزارش مقالات [۲۹۱، ۲۱۴، ۲۱۵]، هم خاصیت فیزیکی (مانند مورفولوژی سطحی و میکروساختار) و هم عوامل شیمیایی (والانس و حالت آبدار اکسید)، عملکرد شبه خازنی اکسیدهای منگنز را تحت تأثیر قرار می‌دهد.



شکل ۱۹-۲- ولتاوتمتری چرخه‌ای الکترودهای بر اساس منگنز دی اکسید در الکتروولیت سدیم سولفات یک مولارو در ۵ mV/s سرعت اسکن

مشخص شد که پایداری چرخه اکسیدهای منگنز، عمدتاً توسط میکرو ساختار آنها کنترل می‌شود، در حالی که ظرفیت ویژه آنها، در درجه اول توسط حالت آبدار شیمیابی آنها اداره می‌شود [۲۱۶].

به طور خلاصه، برای دستیابی به دانسیته‌های توان و انرژی بالا برای ابرخازن الکتروشیمیایی (Es)، مواد الکترود بر پایه MnO_x می‌توانند از طریق رسوب دادن MnO_x بر روی مواد کربنی با مساحت‌های سطح زیاد، مزوپورهای بسیار منظم و هدایت الکتریکی بالا اصلاح شوند که سپس می‌توان به ظرفیت‌های ویژه بالا دست یافت. با این حال، باید توجه داشت که ظرفیت ویژه الکترود کامپوزیت را می‌توان با استفاده از فعالیت واکنش فاردایک تقویت کننده‌های هادی به خطر انداخت. اخیراً، سل‌های نامتقارن کوپل شده با الکترودهایی که به طور برگشت‌پذیر در محدوده ولتاژ (پتانسیل) مختلف کار می‌کنند، به عنوان روش امیداور کننده‌ای برای افزایش ولتاژ در الکتروولیت‌های آبی پیشنهاد شده‌اند که منجر به دانسیته انرژی بالا می‌شوند. برای مثال، همان طوری که توسط ژائو (Gao) و همکاران [۲۱۷] گزارش شد، یک ابر خازن الکتروشیمیایی (Es) هیبرید با منگنز دی اکسید (MnO_2) کامپوزیت و کربن فعال به عنوان الکترود مثبت و کربن فعال به عنوان الکترود منفی، ولتاژ عملیاتی را به $2V$ در یک محلول آبی سدیم سولفات افزایش داد. این پنجره ولتاژ عملیاتی می‌تواند به دو بخش مجزا تقسیم شود: یک مقیاس متقارن تقریبی در محدوده صفر تا $1V$ و یک مقیاس نامتقارن از $1V$ تا $2V$.

با بهینه سازی نسبت جرمی بین الکترودهای مثبت و منفی، بهترین عملکرد برای ابر خازن الکتروشیمیایی نامتقارن منگنز دی اکسید/ کربن فعال با $F=2/5$ و $R=2v$ و $V=2v$ (ولتاژ سل) بدست آمد که اجازه می‌دهد حداکثر پتانسیل‌ها برای الکترودها نزدیک به مقادیر پایدار قابل قبولی باشد [۲۱۸].

۳-۶-۲-۱ اکسیدها و هیدروکسیدهای کیالت

۲-۳-۱ اکسید کیالت

اکسید کبالت به دلیل رفتار ردوکس برگشت‌پذیر عالی، مساحت سطح زیاد، هدایت بالا، عملکرد طولانی مدت، قیمت مناسب و پایداری خوب در برابر خوردگی، به عنوان ماده الکتروود جایگزین برای ابرخازن‌های الکتروشیمیایی

(ES) در نظر گرفته شده است. این ماده دارای سمیت محیطی کم و ظرفیت ویژه بالای تئوری به بزرگی 356 F/g می‌باشد. در حین فرآیندهای الکتروشیمیایی هم رفتار شبیه خازنی ($\text{CoO}(\text{OH}) + \text{OH}^- \leftrightarrow \text{CoO}_2 + \text{H}_2\text{O} + \text{e}^-$) در ظرفیت نقش دارند که منجر به مقادیر ظرفیت‌های بالا (356 F/g در تئوری) می‌شود [۲۱۹-۲۲۱]. با این حال، ظرفیت‌های ویژه وسایل واقعی، خیلی کمتر از مقدار تئوریکی است. نقل و انتقال موثر الکترون و نفوذ سریع یون می-تواند منجر به عملکرد بالای ابر خازن‌ها شود. بنابراین تلاش زیادی برای سنتز CO_3O_4 یا نانوساختارهای مناسب به ویژه نانو مواد CO_3O_4 با ساختارهای مزوپور برای بهبود نقل و انتقال الکترون و یون در الکترودها و در سطح مشترک بین الکترود و الکتروولیت در ابر خازن‌ها صورت گرفته است [۲۲۲، ۲۲۳]. برای مثال، CO_3O_4 نانو کریستالی مزوپور با قطر ذره تقریباً 3 nm ، براساس برهمنکنش‌های شیمیایی قوی بین Co^{+} در محلول و گروههای آمینو در قالب پلی آکریل آمید، سنتز شد و ظرفیت 401 F/g را نشان داد [۲۲۴].

MCM- CO_3O_4 میکروگوی‌های مزوپور با مورفولوژی دهانه مانند، با به کارگیری ماده سیلیکای مزوپور به نام ۴۱ به عنوان قالب بدست آمد. این ماده ظرفیت ویژه 102 F/g و حفظ 47% ظرفیت در 500°C تست چرخه مداوم را فراهم کرد [۲۲۵]. مواد CO_3O_4 نانو ذره بسیار ریز با ساختار مزوپور و ماکروپور به هم پیوسته از طریق روش سُل-ژل سنتز شدند و سپس با استفاده از انجماد خشک شدند. ظرفیت ویژه ماده CO_3O_4 در سرعت اسکن 5 mV/s بود و $742/3 \text{ F/g}$ ظرفیت را بعد از 2000°C چرخه حفظ کرد [۲۲۶].

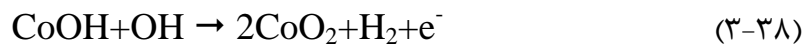
CO_3O_4 مزوپور با مورفولوژی‌های دیگر نیز گزارش شده است. برای مثال، CO_3O_4 لوله‌ای، با استفاده از مسیر سنتز بیومورفیک تهیه شدند [۵۲۷]، نانوصفحات CO_3O_4 و میکروگوی‌های CO_3O_4 با استفاده از یک روش حلal گرمایی به کمک اتانول آمین و فشار اتمسفر تجهیزه حرارتی متوالی تهیه شدند [۲۲۸]. به منظور ساده کردن سنتز و بهبود عملکرد الکتروشیمیایی، CO_3O_4 مزوپور برای تشکیل ساختارهای هیبرید روی برخی مواد پشتیبان رشد داده شد. برای مثال، آرایه‌های نانوصفحه CO_3O_4 مزوپور بسیار نازک با چسبندگی قوی روی فوم نیکل رشد داده شدند که به انتقال سریع یون و الکترون، مساحت سطح الکترو فعال وسیع و پایداری ساختاری خوب منجر می‌شود. در

نتیجه، عملکرد شبیه خازنی عالی با ظرفیت ویژه بسیار بالا در محدوده F/g ۱۴۷۱-۲۷۳۳ و پایداری چرخه‌ای عالی بیش از ۳۰۰۰ چرخه بدست آمد [۲۲۹].

۲-۳-۶- هیدروکسید کبالت

مواد بر پایه $\text{Co}(\text{OH})_2$ ، به علت ساختار لایه بندی شده و فاصله‌های بین لایه‌ای زیاد جذاب هستند و مساحت سطح زیاد و سرعت ورود و خروج سریع یون، امیدوار کننده هستند [۲۶۲-۲۳۰].

همان طور که در معادلات (۳-۳۷) و (۳-۳۸) بیان شده است دو واکنش قابل قبول ممکن است اتفاق بیفتد:



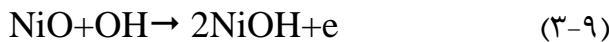
چند گزارش حاکی از به کارگیری مواد بر پایه $\text{CO}(\text{OH})_2$ برای ابر خازن‌های الکتروشیمیایی است. برای مثال، یک فیلم نانوپرک کبالت هیدروکسید با استفاده از رسوب‌دهی الکتریکی گالوانواستاتیک روی یک شبکه از جنس استیل ضدزنگ، ظرفیت زیاد $60.9 F/g$ را نشان داد [۲۳۵]. برای بهبود بیشتر ظرفیت ویژه، برخی اصلاحات در میکروساختار کبالت هیدروکسید انجام شد که منجر به ارتقاء افزایشی در ظرفیت ویژه می‌شود [۲۳۶]. گزارش شده است که مواد بر پایه کبالت هیدروکسید، ظرفیت‌های بیشتری را نسبت به مواد پایه Co_3O_4 نشان می‌دهد. لازم به ذکر است که در بسیاری از موارد که مواد پایه کبالت اکسید در الکترود به کار رفته باشد، می‌توان به ظرفیت بالاتری در مقایسه با روتنيوم اکسید (RuO_2) دست یافت. برای مثال، کبالت هیدروکسید که با استفاده از روش رسوب‌دهی پتانسیو استاتیک تهیه شد، ظرفیت ویژه $843 F/g$ را در پنجره پتانسیل بین صفر و $0.4V$ بدست آورد [۲۳۲]. یکی از چشمگیرترین نتایج توسط زائو و همکاران [۲۳۷] بدست آمد که ظرفیت ویژه $2646 F/g$ را با یک فیلم کبالت هیدروکسید مزوپور منظم رسوب داده شده به روش الکتریکی روی شبکه فوم نیکل بدست آوردند. این ظرفیت ویژه استثنایی به نانوساختار مزوپور منظم اکسیدهای کبالت نسبت داده شد. با این حال، بیشترین انرژی ویژه، در

محدوده‌های پتانسیل پایین قرار دارد [۲۳۸ و ۲۳۹]. بنابراین، افزایش در انرژی ویژه در محدوده پتانسیل بالا می‌تواند کلیدی برای کاربرد عملی آنها در ابرخازن‌های الکتروشیمیایی باشد. به طور خلاصه، الکترودهای ابرخازن الکتروشیمیایی بر پایه Co(OH)_2 ; می‌توانند ظرفیت‌های ویژه بالاتری را در مقایسه با Co_3O_4 ارائه دهنند، اما چنین ظرفیت ویژه بالایی، فقط در محدوده پتانسیل کم قرار دارد و کاربردهای عملی آن را در ابرخازن‌های الکتروشیمیایی محدود می‌کند.

۴-۶-۲ اکسید / هیدروکسید نیکل (NiO/Ni(OH)_2)

۴-۶-۲-۱ نیکل اکسید (NiO)

نیکل اکسید به علت سنتز آسان، ظرفیت ویژه نسبتاً بالا (ظرفیت ویژه تئوری F/g ۳۷۵)، سازگاری با محیط زیست و قیمت کم به عنوان یک کاندید برای ابرخازن‌های الکتروشیمیایی (ES) در الکتروولیت‌های قلیایی در نظر گرفته شده است [۲۴۰-۲۴۴]. واکنش ردوکس نیکل اکسید در الکتروولیت پتانسیم هیدروکسید را می‌توان همان‌طور که در معادله (۳-۹) بیان شده، نشان داد [۲۴۵-۲۴۸].



مشخص شده است که واکنش پذیری سطحی الکتروشیمیایی نیکل اکسید به شدت به تبلور آن وابسته است. در حین سنتز، دمای کلسیناسیون، بطور قابل توجهی بر ساختار بلوری NiO_x ، مقدار x و ظرفیت ویژه تأثیر می‌گذارد. در دمای بالای 250°C ، به یک ظرفیت ویژه حداقل F/g ۶۹۶ می‌توان دست یافت. به هر حال، هنگامی که الکتروود اکسیدهای نیکل که نقل و انتقال یونهای الکتروولیت را محدود می‌کند و منجر به کند شدن فرآیندهای الکتروشیمیایی در ذخیره / تحویل بار می‌شود، اکسیدهای نیکل با یک ساختار سلسله مراتبی متخلخل توسعه یافته‌اند [۲۵۰]. در نتیجه، به علت ساختار متخلخل سلسله مراتبی باز که دستررسی آسان یونها در سطح مشترک الکتروود - الکتروولیت را امکان‌پذیرمی‌سازد، نسبت حفظ ظرفیت نیکل اکسید در سرعت اسکن پتانسیل بالا بهبود می‌یابد. به عنوان مثال،

ニکل اکسید با ساختار مکعبی که از طریق یک فرآیند شیمیایی سنتز شد، حداکثر ظرفیت ویژه F/g ۱۶۷ را نشان داد، در حالی که نیکل اکسید متخلخل [۲۴۷] بدست آمده از طریق یک روش سُل-ژل، ظرفیت ویژه F/g ۲۵۰-۲۰۰ را نشان داد و پس از آنکه در دمای C° ۲۵۰ مجدداً حرارت دید و ظرفیت ویژه آن به F/g ۶۹۶ رسید [۲۴۹].

۲-۴-۶-۲ نیکل هیدروکسید (Ni(OH)_2)

در یکی از اولین مطالعات در این خصوص $\text{Co(OH)}_2-\text{Ni(OH)}_2$ و کامپوزیت $\text{Co(OH)}_2-\text{Ni(OH)}_2$ مورد بررسی قرار گرفت و ظرفیت بیشتری نسبت به NiO حاصل شد [۲۶۳ و ۲۶۴]. هو و همکاران گزارش کردند که یک فیلم آبدار نیکل ترسیب شده به طور الکتروشیمیایی می‌تواند ظرفیت ویژه‌ای به بزرگی F/g ۱۰۰۰ را نشان دهد. در مورد کامپوزیت‌های $\text{Y}/\text{Co(OH)}_2-\text{Ni(OH)}_2$ -زئولیت، ظرفیت ویژه به بزرگی F/g ۱۷۱۰ تخمین زده شد [۲۶۵]. برای یک هیدروکسید دولایه $\text{Co}_{0.41}\text{Ni}_{0.59}$ ، ظرفیت ویژه در A/g ۱۸۰۹ رسید [۲۶۶]. ساختار میکروپور این نوع مواد، باید برای رسیدن به عملکرد بهتر بهینه شود. برای مثال، کونگ و همکارانش [۲۶۷] یک ماده نیکل هیدروکسید با ساختار مزوپور نانوپور کهای به هم پیوسته را گزارش کردند که قادر به تحويل دادن ظرفیت ویژه F/g ۲۰۵۵ در A/g ۱/۶۲۵ می‌باشد.

بعد از وارد کردن کربن مزوپور به داخل نیکل هیدروکسید برای تشکیل یک کامپوزیت نیکل هیدروکسید / کربن مزوپور، مقاومت انتقال بار به شدت کاهش یافت و منجر به ظرفیت ویژه فوق العاده بالا (F/g ۲۵۷۰) در دانستیه جریان 5mA/cm^2 شد [۲۶۸]. بنابراین، از نظر ظرفیت ویژه هم Ni(OH)_2 (نیکل هیدروکسید) و هم Co(OH)_2 باید، مواد رضایت بخشی برای ابر خازن‌های الکتروشیمیایی باشند. اما پنجره پتانسیل این مواد بسیار محدود است [۲۶۳].

به طور خلاصه، به علت قیمت پایین مواد خام و ظرفیت ویژه بالا، کامپوزیت‌های کبال / نیکل، برای کاربردهای ابر خازن الکتروشیمیایی (Es) امیدوار کننده هستند تا زمانی که بتوانند پنجره وسیعی را بدست بیاورند.

(NiCo₂O₄) کبالتیت ۲-۶-۴-۳ نیکل

نیکل اکسید (NiO) و Co₃O₄ به دلیل ظرفیت تئوریکی بالا، پایداری خوب، قیمت پایین، توجه زیادی را در کاربردهای ابرخازن به خود جلب کرده است. با این حال در وسایل ابر خازن واقعی، ظرفیت‌های مشاهده شده، هنوز خیلی کمتر از مقدار تئوریکی است به ویژه در سرعت‌های بالاتر [۲۶۹]. یک ترکیب جدید، به نام نیکل کبالت F/g، توجه محققان را جلب کرده است. در سال ۲۰۱۰، وی و همکاران، ظرفیت ویژه آن را به بزرگی g V ۱۴۰۰ در یک سرعت رفت و برگشتی mv/s ۲۵ در یک محلول سدیم هیدروکسید ۱ مولار در پنجره پتانسیل ۰/۵۲ ۰/۴۰ گزارش نمودند [۲۶۹]. پس از آن، NiCo₂O₄ به طور وسیعی برای شبه خازن‌ها بررسی شده است. دارای فعالیت الکتروشیمیایی خوب و هدایت الکتریکی حداقل دو برابر بزرگتر از NiO و Co₃O₄ می‌باشد [۲۷۰].

هم یون‌های نیکل و هم کبالت در واکنش‌های ردوکس درگیر هستند که بیشتر از اکسیدهای کبالت و نیکل خالص است. ذخیره انرژی با تبدیل برگشت‌پذیر NiCo₂O₄ به نیکل و کبالت هیدروکسیدها و همچنین واکنش ردوکس برگشت‌پذیر NiCO₂O₄ اتفاق می‌افتد. ظرفیت تئوریکی CoOOH+OH⁻↔CoO₂+H₂O+e⁻ شامل دو بخش شبه خازنی و فارادیک شبه باتری، C/g ۱۲۰۳ یا g/F ۲۰۰۵ با فرض پنجره پتانسیل ۰/۶ ولت در الکتروولیت قلیابی آبی می‌باشد [۲۷۱]. تاکنون، NiCo₂O₄ با مورفولوژی و ساختارهای مختلف و ابعاد مختلف، گزارش شده است و عملکردهای الکتروشیمیایی آنها به طور قابل توجهی بررسی شده است. برای مثال، نانوسیم‌های NiCo₂O₄ مزوپور فوق لایه‌ای یک بعدی (1D)، با استفاده از یک استراتژی بدون قالب سنتز شده است. الکتروود نانوسیم مزوپور فوق لایه‌ای، ظرفیت ویژه g/F ۴۰۱ را در A/g ۱ و پایداری چرخه‌ای عالی (فقط تقریباً ۱۰٪ آن پس از ۵۰۰۰ چرخه از -D دست می‌رود) نشان داد [۵۵۲]. نانو ساختار NiCo₂O₄ مزوپور از طریق یک فرآیند حلal گرمایی به کمک گلوکز سنتز شد. اندازه‌گیری‌های الکتروشیمیایی نشان داد که نانوساختار NiCo₂O₄ اسپنیل حرارت دیده در ۳۰۰°C، ظرفیت ویژه حداقل g/F ۵۲۴ را در A/g ۰/۵ و ۴۱۹ در A/g ۱۰ با پایداری چرخه‌ای خوب و تنها حدود ۹٪ کاهش ظرفیت پس از ۲۵۰۰ چرخه نشان داد [۲۷۳].

اسپینل مزوپور با استفاده از یک روش هیدروترمال به کمک پلی وینیل پیروولیدون (PVP) با عملیات NiCo_2O_4 بازپخت بعد از آن سنتز شد. در مقایسه با NiCo_2O_4 گل مانند^۱ معمولی، NiCo_2O_4 با ساختار مزوپور سلسله مراتبی، عملکرد ابرخازنی بهتری نشان داد. ظرفیت ویژه می‌تواند به 1619 F/g در دانسیته جریان g/A ۲۰/ برسد. هنگامی که دانسیته جریان به $10/0 \text{ A/g}$ افزایش یافت، ظرفیت ویژه 571 F/g بدست آمد[۲۷۴].

۵-۶ قلع اکسید

قلع اکسید (SnO_2) به عنوان یک ماده الکترود جایگزین برای ابر خازن‌های الکتروشیمیایی مورد بررسی قرار گرفته است، اگرچه ظرفیت ویژه آن کمتر از سایر اکسیدهای فلزی است. الکترود کامپوزیت SnO_2 با استفاده از غوطه‌ور سازی سُل قلع اکسید در ژلهای مرطوب کننده و رزورسینول – فرم آلدھید یا با استفاده از غوطه‌ور سازی محلول قلع تراکلرید با الکترودهای آئروژل کربن سنتز شد و فقط، ظرفیت ویژه $66-70 \text{ F/g}$ را نشان داد. یک نانوکریستال قلع (SnO_2) دوپه شد با آنتیموان، توسط یک فرآیند سُل – ژل سنتز شد[۲۷۵] و تنها ظرفیت ویژه 16 F/g را در الکترولیت پتاسیم هیدروکسید M^{I} ، حتی در سرعت اسکن پایین 4 mV/s بدست آورد. کامپوزیت قلع اکسید (SnO_2) / روتینیوم اکسید (RuO_2)، توانست ظرفیت ویژه پایین 33 F/g را در سرعت اسکن 50 mv/s بدست آورد[۲۷۶]. با این حال، اکسید قلع (SnO_2) نانوساختار آمورف، با استفاده از رسوب دهی الکتروشیمیایی سنتز شد و مقدار ظرفیت ویژه‌ای به بزرگی 285 F/g را در سرعت اسکن 101 F/g و 10 mv/s در سرعت اسکن 200 mv/s نشان داد[۲۷۷]. علاوه بر این، ظرفیت ویژه کامپوزیت قلع اکسید- آلمینیوم اکسید ($\text{SnO}_2-\text{Al}_2\text{O}_3$)، می‌تواند در محلول سدیم کلراید $1/0 \text{ مولار}$ به 119 F/g برسد که بیشتر از اکسید قلع (SnO_2) است[۲۷۸]. عیوب بزرگ قلع اکسید (SnO_2) ، پتانسیل کوچک آن است، اگرچه ورود آلمینیوم اکسید (Al_2O_3) به قلع اکسید (SnO_2)، می‌تواند پنجره ولتاژ آن را گسترش دهد[۲۷۸].

۶-۶ مواد بر پایه اکسیدهای وانادیوم

مواد بر پایه وانادیوم، به علت ظرفیت و بیژه فوق العاده و طول عمر چرخه طولانی، هدایت الکتریکی و برگشت‌پذیری الکتروشیمیایی خوب، به عنوان یکی از مهمترین مواد فعال برای خازن‌های الکتروشیمیایی با دانسیته انرژی و توان بالا شناخته می‌شوند. انواع مختلف روش‌های سنتز وجود دارند مانند روش هیدروترمال سُل - ژل / حلال گرمایی، روش استفاده از قالب، روش الکتروریسی، رسوب دهی لایه اتمی و روش رسوب دهی الکتریکی که به طور موفقیت آمیزی برای تهیه مواد الکترود بر پایه وانادیوم بکار رفته‌اند. در اینجا، ما یک خلاصه و ارزیابی کلی از پیشرفت اخیر در تحقیقات مواد بر پایه وانادیوم برای خازن‌های الکتروشیمیایی را ارائه می‌دهیم که شامل روش‌های سنتز، عملکردهای الکتروشیمیایی مواد الکترودی می‌باشد.

در جدول تناوبی عناصر، وانادیوم عنصر بیست و سوم است و در موقعیت پنجم فرعی قرار دارد که متعلق به خانواده فرعی $3d$ از عناصر فلزی واسطه است، ساختار لایه الکترون ظرفیت $3d^34s^2$ است که خارجی‌ترین لایه پنج الکترون ظرفیت دارد. پنج الکترون ظرفیت می‌توانند در پیوند شرکت کنند، بنابراین، ظرفیت‌های وانادیوم غنی (+5) +4, +3, +2 است که می‌توانند شبه خازن فوق العاده‌ای را ارائه دهد. از میان بسیاری از ترکیبات تشکیل شده با استفاده از وانادیوم، ظرفیت 5+, پایدارترین است. پایداری 4+ و 2+, ضعیف‌هستند، بنابراین بیشتر ترکیبات مورد مطالعه وانادیوم، VN و VO_X وانادیم برنز هستند. ساختار ماده، هدایت، الکترولیت و جرم بارگذاری ماده روی الکترود، اثر بسیار مهمی در شبه خازن مواد بر پایه وانادیوم دارند. با کنترل ساخت مواد، تشکیل کامپوزیت‌ها و حتی توسعه مواد بر پایه وانادیوم جدید، عملکرد ابر خازن می‌تواند ارتقاء یابد.

وانادیوم اکسید، به عنوان یک اکسید فلز واسطه (+2 تا 5+) بطور گستردگی به عنوان ماده الکترود برای باتری‌های لیتیمی و باتری‌های یون سدیم به کار رفته است [۲۷۹-۲۸۵]. واکنش اکسایش-کاهش روی سطح اتفاق می‌افتد. با این وجود، به علت هدایت الکتریکی ضعیف و پایداری چرخه‌ای وانادیوم اکسید، استفاده از آن به عنوان ماده الکترود

برای خازن الکتروشیمیایی محدود است. در حال حاضر، مطالعات زیادی در زمینه اکسیدهای وانادیوم مانند V_2O_5 , VO_2 , V_2O_3 وغیره وجود دارد [۲۸۶].

۱-۶-۶-۱ وانادیم پنتوکسید

به عنوان یکی از مهمترین نماینده‌های وانادیم اکسید، وانادیم پنتو اکسید (V_2O_5), نقش مهمی را در ذخیره انرژی ایفا می‌کند. لی و همکارانش [۲۸۷] اولین بار وانادیوم پنتوکسید را به عنوان یک ماده الکترود استفاده کردند که می‌تواند برای ابر خازن‌ها به کار رود. آنها روش ذوب- فرونشانی را برای تهییه $V_2O_5nH_2O$ آمورف استفاده کردند که می‌تواند یک الکترود عالی برای یک ابر خازن الکتروشیمیایی فارادیک باشد. ولتاکرامهای چرخه‌ای یک رفتار خازنی بین صفر با ظرفیت در حدود 200 F/g را نشان داد.

عنصر دوپه شده برای تقویت رفتار خازنی ابر خازن‌ها مانند حداکثر دانسیته جریان، برگشت‌پذیری خوب، ظرفیت ذخیره‌سازی خوب یون و پایداری چرخه‌ای، موضوع مورد توجه می‌باشد. علاوه بر این، برای دستیابی به واکنش سریع فاز و یک برای انتقال الکترون در الکترود و انتقال یونی در محلول، الکترودهای عنصر فلزی دوپه شده ترجیح داده می‌شوند. جیلاکشمی و همکاران [۲۸۸]، الکترودهای فیلم نازکی از نیکل دوپه شده با وانادیوم پنتوکسید را با سطوح مختلف دوپه شدن (۱۰٪-۲/۵ وزنی) با استفاده از روش پوشش دهی چرخشی سُل ژل تهییه کردند. دوپه کردن نیکل با $\beta\text{-}V_2O_5$ - منجر به افزایش در نفوذ و خروج یونها شد. فیلم‌های $\beta\text{-}V_2O_5$ با ۵٪ وزنی نیکل، ظرفیت ویژه حداکثر 417 F/g را در سرعت اسکن 5 mV/s با پایداری چرخه‌ای خوب نشان دادند. دوپه کردن Sn^{+4} می‌تواند V_2O_5 را تغییر دهد. وانگ و همکارانش، مواد کاتد V_2O_5 دوپه شده با Sn^{+4} را از طریق میکروساختار و مورفولوژی $2-4 \text{ nm}$ می‌باشد. منحنی‌های متقارن یک روش سُل - ژل تهییه کردند [۲۸۹]. نتایج نشان داد که ماده کاتد اصلاح شده دارای مخلوطی از وانادیم چهار و پنج ظرفیتی می‌باشد. محصول یک ماده مزوپور معمولی با حفرات با قطرهای $2-4 \text{ nm}$ می‌باشد. منحنی‌های متقارن با استفاده از آزمون‌های ولتاکرامی چرخه‌ای که در سرعت‌های اسکن متفاوت (محدوده ولتاژهای مختلف) انجام شد، بدست آمد. به طور ویژه، منحنی ولتاکرامی چرخه‌ای خاصیت مستطیلی واضح تر و خواص ردوكس بهتری را نشان می‌دهد هنگامی که سرعت اسکن 5 mV/s بود. در دانسیته جریان 200 mA/g ، حداکثر انرژی ویژه، توان ویژه و

بازده کولومبی ماده به ترتیب $27/25 \text{ Ah/g}$, $494/87 \text{ wh/kg}$ و 97% بودند. به علت ساختارهای متخلخل آن، وانادیم اکسید دوپه شده با سدیم به طور گستردگی در سیستم‌های ذخیره انرژی استفاده می‌شود خو و همکارانش، به طور موفقیت آمیزی یک شبکه نانو تسمه اکسید وانادیوم دوپه شده با سدیم ($\beta\text{-Na}_{0/33}\text{V}_2\text{O}_5$) با یک ساختار کریستالی با چارچوب سه بعدی از طریق شرایط هیدروترمال ملایم و عملیات حرارتی سنتز کردند [۲۱۱]. ظرفیت ویژه بالا 320 F/g در سرعت اسکن 5 mv/s بدست آمد. دو سری از پیک‌های ردوکس، شناسایی شدند که مربوط به نیمی از اشغال در مکان‌های نفوذ M_2 و M_3 در امتداد تونل در شبکه کریستال $\beta\text{-Na}_{0/33}\text{V}_2\text{O}_5$ می‌باشد. الکترود حاصل قادر بود که دانسیته انرژی بالا 47 wh/kg را در دانسیته توان 5 kw/kg تحويل دهد. پایداری چرخه‌ای عالی، تنها با 34% تخریب ظرفیت ویژه، با نانوتسمه $\beta\text{-Na}_{0/33}\text{V}_2\text{O}_5$ بعد از 4000 چرخه مشاهده شد. چانگ و همکارانش، گزارش کردند که V_2O_5 دوپه شده با سدیم به طور موفقیت‌آمیزی با استفاده از یک روش رسوب دهی آندی در یک محلول آبکاری حاوی NaCH_3COO و VoSO_4 سنتز شدند [۲۹۰]. دوپه کردن سدیم، به طور قابل توجهی ظرفیت اکسید را بهبود بخشد. ظرفیت ویژه بهینه در حدود 180 F/g است.

در سال‌های اخیر، چندین کامپوزیت اکسید مخلوط نظیر CoO-MnO_2 , NiO-MnO_2 , $\text{Fe}_2\text{O}_3/\text{MnO}_2$, برای بهبود عملکرد خازنی مواد از طریق ایجاد اثرات هم افزایی مزاحم در نانوسیم پوسته هسته Ti-V با مقدار وانادیوم تا 18% وزنی تهیه کردند [۲۹۱]. در داخل یک سیستم الکترود، ساخته شدند. یانگ (Yang) و همکاران نانو لوله‌های $\text{V}_2\text{O}_5\text{-TiO}_2$ مخلوط کاملاً منظمی را از طریق آنودیزاپیون خودگردان آلیاژ‌های Ti-V با عنوان یک ماده شبیه خازنی متداول، بطور الکتروشیمیایی و قابل جابجایی است و منجر به ظرفیت ویژه تا آرایه‌های نانوتیوب اکسید بدست آمد، وانادیم بطور الکتروشیمیایی و قابل جابجایی است و منجر به ظرفیت ویژه تا 220 f/g و دانسیته انرژی $19/56 \text{ wh/kg}$ با برگشت پذیری کامل و پایداری طولانی مدت می‌شود. منگنز دی اکسید (MnO_2) به عنوان یک ماده شبیه خازنی متداول، بطور گستردگی مورد مطالعه قرار گرفته است.

سارا واناکومار و همکارانش، نانوساختارهای V_2O_5 پیوند یافته با MnO_2 را تهیه کردند که ظرفیت خازنی ویژه بالایی (450 F/g در $40/5 \text{ A/g}$), قابلیت سرعت خوب نشان داد و پایداری چرخه‌ای بهتری (حفظ 89% ظرفیت پس از

۵۰۰ چرخه) فراهم کرد [۲۹۲]. آنها یک ابر خازن نامتقارن را توسعه دادند که از V_2O_5 پیوند با MnO_2 و کربن فعال (AC) به عنوان الکترودها استفاده کردند و ظرفیت ویژه $61 F/g$ را با دانسیته انرژی $8/5 Wh/kg$ حاصل کرد. مواد کربنی شامل کربن فعال، نانوتیوب‌های کربنی و گرافن، به دلیل هدایت الکترونیکی خوب، مساحت سطح ویژه زیاد و پایداری زیاد، رایج‌ترین بسترهای رسانای مورد استفاده هستند. با این وجود، رشد مستقیم اکسیدهای فلزی / هیدروکسیدهای فلزی روی مواد کربنی دشوار است، زیر سطوح آنها سازگار نیست. برای بهبود سازگاری آنها، عملیات‌های اکسایشی، مواد کربنی ضروری است که می‌تواند گروه‌های حاوی اکسیژن را وارد کند و رشد اکسیدهای فلزی / هیدروکسیدهای فلزی و نقایص ساختاری متعددی را روی سطوح مواد کربنی تسهیل می‌کند. به منظور بهبود هدایت الکتریکی و پایداری چرخه‌ای V_2O_5 ، محققان تلاش کردند که مواد کربنی با هدایت زیاد مانند کربن فعال یا فیبر کربنی، نانوتیوب‌های کربنی، گرافن را به منظور تهیه کامپوزیت‌های بر پایه V_2O_5 به سیستم‌های مواد، وارد کنند [۲۹۳-۲۹۶].

۲-۶-۶ وانادیوم دی اکسید

اگرچه وانادیوم پنتوکسید یکی از گستردگرترین اکسیدهای وانادیوم مورد استفاده در زمینه الکتروشیمی است، اما وانادیم دی اکسید نیز توسط برخی محققان بررسی شده است. تحقیق روی وانادیوم دی اکسید نشان داد که این ماده نیز دارای پتانسیل زیادی در زمینه الکتروشیمی است. به عنوان یک اکسید، وانادیوم دی اکسید دارای خواص فیزیکی و شیمیایی عالی می‌باشد. مشخص شده است که VO_2 ، عملکرد بهتری را در مقایسه با V_2O_5 شناخته شده نشان می‌دهد. این موضوع به دلیل هدایت الکتریکی بیشتر ناشی از ظرفیت مخلوط $V^{3+/5+}$ می‌باشد و پایداری ساختاری، ناشی از افزایش اشتراک لبه می‌باشد و مقاومت حاصل به برش شبکه در طول چرخه مربوط می‌شود. با این وجود، VO_2 ، معمولاً به علت هدایت الکتریکی و پایداری چرخه‌ای ضعیف که منجر به پایداری چرخه‌ای بلند مدت محدود می‌شود، رفتار ظرفیت ویژه بالاتری را در مقایسه با سایر اکسیدهای فلزی واسطه (MnO_2 , NiO , CO_3O_4) تحويل نمی‌دهد. شائو و همکارانش، وانادیوم دی اکسید میوه‌ای شکل ستاره مانند هشت تایی همگن را برای اولین بار توسط یک روش هیدروترمال یک مرحله‌ای تهیه کردند [۲۹۷]. این ترکیب، قابلیت توان بالا ($19 wh/kg$) در توان

ویژه ($\frac{3}{4}$ kw/kg) و پایداری چرخه‌ای خوب برای کاربرد ابر خازنی را نشان داد. مشابه با V_2O_5 ، یک استراتژی برای بهبود خاصیت الکتروشیمیایی VO_2 به عنوان ماده ابر خازن با استفاده از طراحی ساختار ماده ضروری است. پان و همکارانش، یک استراتژی برای کاهش مقاومت VO_2 ، به میزان تقریباً ۳ برابر از واکنش با H_2 گزارش کردند که هدایت آن را برای کاربرد ابر خازن بهبود بخشید [۲۹۸]. ظرفیت ویژه دشارژ $F/g = ۳۰۰$ و دانسیته انرژی ویژه ۱۷ wh/kg در سرعت $A/g = 1$ با پایداری چرخه‌ای طولانی مدت به نمایش گذاشته شد که چهار برابر بیشتر از نمونه‌های واکنش نداده با هیدروژن می‌باشد. روش بهبود VO_2 ، تهیه ماده کامپوزیت براساس کربن است. لیانگ (Liang) و همکارانش یک ماده هیبرید با ساختار هم محور از وانادیوم دی اکسید (VO_2) و کربن نanolوله چند دیواره (MWCNT) را با استفاده از یک روش سُل - ژل ساده به کمک فرآیند خشک کردن با انجام سنتز کردند [۲۹۹].

۲-۶-۳-۶ وانادیوم تری اکسید (V_2O_3)

V_2O_3 یک شبکه سه بعدی وانادیم - وانادیم (V-V) دارد و الکترون‌های سه بعدی وانادیوم منجر به رفتار فلز می‌شوند. ساختارهای تونلی موجود در V_2O_3 ورود و خروجی (نفوذ و خروج یون) را تسهیل می‌سازد. بنابراین، V_2O_3 به طور ویژه به عنوان یک ماده در ابر خازن‌هاست مناسب است. با این حال، V_2O_3 در مقایسه با RuO_2 ، هدایت الکتریکی نسبتاً پایینی دارد که سرعت انتقال بار را در حین فرآیند شارژ و دشارژ کاهش می‌دهد و ظرفیت ویژه آنها را به عنوان مواد الکترود ابر خازن‌ها محدود می‌سازد. به طور چشمگیری، تنها گزارش‌های محدودی در ارتباط با سنتز V^{3+} براساس مواد نانو ساختار و کاربردهای عملیاتی آنها وجود دارد. تهیه نانو مواد V_2O_3 نسبتاً خالص، با یک مقدار معین به علت حساسیت به دما و فشار مشکل است. لیو و همکارانش، نانوساختار یا میکروساختارهای V_2O_3 گل مانند سلسله مراتبی سه بعدی نوین شامل نانو پرک‌های متعدد را از طریق عملیات حلال گرمایی و به دنبال آن عملیات گرمایی مناسب تهیه کردند [۳۰۰].

۷-۲ چشم اندازی بر اکسیدهای فلزی واسطه به عنوان ماده الکترودی ابرخازن های الکتروشیمیایی

امیدوارکننده ترین اکسیدهای فلزات واسطه (NiCo_2O_4 ، Co_3O_4 ، NiO ، SnO_2 ، MnO_2 ، RuO_2) و V_2O_5) برای کاربردهای ابر خازن‌ها انتخاب و مورد بررسی قرار گرفته‌اند. لازم است خاطرنشان کرد که در دو دهه گذشته پیشرفت‌های زیادی صورت گرفته است. ظرفیت ویژه بالا و پایداری عالی نانومواد، مشاهده شده است. روش‌های ساده سنتز که می‌توانند نانومواد اکسید فلزی با مورفولوژی خوب و مناسب برای تولید در مقیاس بزرگ را تولید کنند، یک نگرانی برای توسعه دستگاههای ابر خازنی واقعی هستند. علاوه بر این، باید به طراحی و سنتز مواد کامپوزیتی، مانند اکسیدهای فلز واسطه / فلز و اکسیدهای فلز واسطه / کربن فعال، حتی در ترکیب مایعات یونی با اکسیدهای فلزات واسطه مزوپور توجه کرد. با این کار، می‌توان عملکرد الکتروشیمیایی شبیه خازن مبتنی بر اکسید فلز واسطه را بهبود بخشید که به اثر هم افزایی ترکیبات جدأگانه منجر می‌شود. به خصوص، مواد کامپوزیتی با ساختارهای سه بعدی ممکن است نقل و نقل کارآمدتر و سریعتری را برای یونها و الکترونها فراهم کنند و در نتیجه منجر به عملکرد الکتروشیمیایی بهتر شوند.

مراجع:

- [1] P. Jampani, A. Manivannan, P.N. Kumta, Advancing the supercapacitor materials and technology frontier for improving power quality, *Electrochem. Soc. Interface* 19 (2010) 57–62, doi: 10.1149/2.F07103if.
- [2] B. Rajagopalan, J.S. Chung, Reduced chemically modified graphene oxide for supercapacitor electrode, *Nanoscale Res. Lett.* 9 (1) (2014) 535, doi: 10.1186/1556-276X-9-535.
- [3] C. Largeot, C. Portet, J. Chmiola, P. Taberna, Y. Gogotsi, P. Simon, Relation between the ion size and pore size for an electric double-layer capacitor, *J. Am. Chem. Soc.* 130 (9) (2008) 2730–2731, doi: 10.1021/ja7106178.
- [4] H. Yang, S. Kannappan, A.S. Pandian, J.H. Jang, Y.S. Lee, W. Lu, Rapidly annealed nanoporous graphene materials for electrochemical energy storage, *J. Mater. Chem. A* 5 (2017) 23720–23726, doi: 10.1039/C7TA07733E.
- [5] Z. Bo, Z. Wen, H. Kim, G. Lu, K. Yu, J. Chen, One-step fabrication and capacitive behavior of electrochemical double layer capacitor electrodes using vertically-oriented graphene directly grown on metal, *Carbon* 50 (2012) 4379–4387, doi: 10.1016/j.carbon.2012.05.014.
- [6] A.P. Singh, P.B. Karandikar, N.K. Tiwari, Effect of electrode shape on the parameters of supercapacitor, *IEEE* (2015) 669–673, doi: 10.1109/IIC.2015.7150826.
- [7] A. González, E. Goikolea, J.A. Barrena, R. Mysyk, Review on supercapacitors: technologies and materials, *Renew. Sust. Energ. Rev.* 58 (2016) 1189–1206, doi: 10.1016/j.rser.2015.12.249.
- [8] B.E. Conway, *Electrochemical Supercapacitors*, Kluwer Academic/Plenum Press, New York, (1999).
- [9] E. Frackowiak, S. Delpeux, K. Jurewicz, K. Szostak, D. Cazorla-Amoros, F. Béguin, Enhanced capacitance of carbon nanotubes through chemical activation, *Chem. Phys. Lett.* 361 (2002) 35–41, doi: 10.1016/S0009-2614(02)00684-X.
- [10] E. Raymundo-Pinero, K. Kierzek, J. Machnikowski, F. Beguin, Relationship between the nanoporous texture of activated carbons and their capacitance properties in different electrolytes, *Carbon* 44 (2006) 2498–2507, doi: 10.1016/j.carbon.2006.05.022.
- [11] E. Raymundo-Pinero, D. Cazorla-Amoros, A. Linares-Solano, S. Delpeux, E. Frackowiak, K. Szostak, F. Béguin, High surface area carbon nanotubes prepared by chemical activation, *Carbon* 40 (2002) 1614–1617, doi: 10.1016/S0008-6223(02)00134-3.
- [12] D. Lozano-Castello, M.A. Lillo-Rodenas, D. Cazorla-Amoros, A. Linares-Solano, Preparation of activated carbons from Spanish anthracite: I. Activation by KOH, *Carbon* 39 (2001) 741–749, doi: 10.1016/S0008-6223(00)00185-8.

- [13] K.H. An, W.S. Kim, Y.S. Park, Y.C. Choi, S.M. Lee, D.C. Chung, D.J. Bae, S.C. Lim, Supercapacitors using single-walled carbon nanotube electrodes, *Adv. Mater.* 13 (2001) 497–500, doi: 10.1002/1521-4095(200104)13:73.3.CO;2-8.
- [14] K.H. An, W.S. Kim, Y.S. Park, J.M. Moon, D.J. Bae, S.C. Lim, Y.S. Lee, Y.H. Lee, Electrochemical properties of high-power supercapacitors using single-walled carbon nanotube electrodes, *Adv. Funct. Mater.* 11 (2001) 387–392, doi: 10.1002/1616-3028(200110)11:5<387::AID-ADFM387>3.0.CO;2-G.
- [15] C. Zhou, S. Kumar, C.D. Doyle, J.M. Tour, Functionalized single wall carbon nanotubes treated with pyrrole for electrochemical supercapacitor membranes, *Chem. Mater.* 17 (2005) 1997, doi: 10.1021/cm047882b.
- [16] K. Xia, Q. Gao, J. Jiang, J. Hu, Hierarchical porous carbons with controlled micropores and mesopores for supercapacitor electrode materials, *Carbon* 46 (2008) 1718–1726, doi: 10.1016/j.carbon.2008.07.018.
- [17] K. Jurewicz, K. Babel, A. Zioekowski, H. Wachowska, Capacitance behaviour of the ammonium-doped coal, *J. Phys. Chem. Solids* 65 (2004) 269–273, doi: 10.1016/j.jpcs.2003.10.023.
- [18] M.J. Bleda-Martinez, J.A. Macia-Agullo, D. Lozano-Castello, E. Morallon, D. Cazorla-Amoros, A. Linares-Solano, Role of surface chemistry on electric double layer capacitance of carbon materials, *Carbon* 43 (2005) 2677–2684, doi: 10.1016/j.carbon.2005.05.027.
- [19] Y. Zhu, S. Murali, M.D. Stoller, K.J. Ganesh, W. Cai, P.J. Ferreira, A. Pirkle, R.M. Wallace, K.A. Cychosz, M. Thommes, D. Su, E.A. Stach, R.S. Ruoff, *Sci. Exp.* 332 (2011) 1537–1541. Available from: www.scienceexpress.org/10.1126/science.1200770.
- [20] G. Salitra, A. Soffer, L. Eliad, Y. Cohen, D. Aurbach, Carbon electrodes for double-layer capacitors I. Relations between ion and pore dimensions, *J. Electrochem. Soc.* 147 (2000) 2486–2493, doi: 10.1149/1.1393557.
- [21] C.O. Ania, V. Khomenko, E. Raymundo-Pinero, J.B. Parra, F. Beguin, The large electrochemical capacitance of microporous doped carbon obtained by using a zeolite template, *Adv. Funct. Mater.* 17 (2007) 1828–1836, doi: 10.1002/adfm.200600961.
- [22] E. Frackowiak, Carbon materials for supercapacitor application, *Phys. Chem. Chem. Phys.* 9 (2007) 1774–1785, doi: 10.1039/B618139M.
- [23] F. Regisser, M. Laveoio, D. Champagne, D. Belanger, Randomly oriented graphite electrode. Part 1. Effect of electrochemical pretreatment on the electrochemical behavior and chemical composition of the electrode, *J. Electroanal. Chem.* 415 (1996) 47–54, doi: 10.1016/S0022-0728(96)04636-0.
- [24] A. Momma, X. Lin, T. Osaka, Y. Ushio, Y. Sawada, Electrochemical modification of active carbon fiber electrode and its application to double-layer capacitor, *J. Power Sources* 60 (1996) 249–253, doi: 10.1016/S0378-7753(96)80018-8.

- [25] F. Béguin, K. Szostak, G. Lota, E. Frackowiak, A self-supporting electrode for supercapacitors prepared by one-step pyrolysis of carbon nanotube/polyacrylonitrile blends, *Adv. Mater.* 17 (2005) 2380–2384, doi: 10.1002/adma.200402103.
- [26] D. Hulicova, J. Yamashita, Y. Soneda, H. Hatori, M. Kodama, Supercapacitors prepared from melamine-based carbon, *Chem. Mater.* 17 (2005) 1241–1247, doi:10.1021/cm049337g.
- [27] D. Hulicova, M. Kodama, H. Hatori, Electrochemical performance of nitrogen-enriched carbons in aqueous and non-aqueous supercapacitors, *Chem. Mater.* 18 (2006) 2318–2326, doi: 10.1021/cm060146i.
- [28] G. Lota, B. Grzyb, H. Machnikowska, J. Machnikowski, E. Frackowiak, Effect of nitrogen in carbon electrode on the supercapacitor performance, *Chem. Phys. Lett.* 404 (2005) 53–58, doi: 10.1016/j.cplett.2005.01.074.
- [29] E. Raymundo-Pinero, F. Leroux, F. Béguin, A high-performance carbon for supercapacitors obtained by carbonization of a seaweed biopolymer, *Adv. Mater.* 18 (2006) 1877–1882, doi: 10.1002/adma.200501905.
- [30] E. Frackowiak, G. Lota, J. Machnikowski, K. Kierzek, C. Vix, F. Béguin, Optimisation of supercapacitors using carbons with controlled nanotexture and nitrogen content, *Electrochim. Acta* 51 (2005) 2209–2214, doi: 10.1016/j.electacta.2005.04.080.
- [31] K. Leitner, A. Lerf, M. Winter, J.O. Besenhard, S. Villar-Rodil, F. Suarez-Garcia, A. Martinez-Alonso, J.M.D. Tascon, Nomex-derived activated carbon fibers as electrode materials in carbon based supercapacitors, *J. Power Sources* 153 (2006) 419–423, doi: 10.1016/j.jpowsour.2005.05.078.
- [32] M. Seredych, D. Hulicova-Jurcakova, G.Q. Lu, T.J. Bandosz, Surface functional groups of carbons and the effects of their chemical character, density and accessibility to ions on electrochemical performance, *Carbon* 46 (2008) 1475–1488, doi: 10.1016/j.carbon.2008.06.027.
- [33] R. Kötz, M. Carlen, Principles and applications of electrochemical capacitors, *Electrochim. Acta* 45 (2000) 2483– 2498, doi: 10.1016/S0013-4686(00)00354-6.
- [34] K. Jurewicz, K. Babel, A. Ziolkowski, H. Wachowska, Ammonoxidation of active carbons for improvement of supercapacitor characteristics, *Electrochim. Acta* 48 (2003) 1491–1498, doi: 10.1016/S0013-4686(03) 00035-5.
- [35] D.-W. Wang, F. Li, Z.-G. Chen, G.Q. Lu, H.-M. Cheng, Synthesis and electrochemical property of boron-doped mesoporous carbon in supercapacitor, *Chem. Mater.* 20 (2008) 7195–7200, doi: 10.1021/cm801729y.
- [36] P. Simon, A. Burke, Nanostructured carbons: double-layer capacitance and more, *Electrochem. Soc. Interface* 17 (1) (2008) 38–44.
- [37] L.L. Zhang, X.S. Zhao, Carbon-based materials as supercapacitor electrodes, *Chem. Soc. Rev.* 38 (9) (2009) 2520– 2531, doi: 10.1039/B813846J.

- [38] P. Simon, Y. Gogotsi, Materials for electrochemical capacitors, *Nat. Mater.* 7 (11) (2008) 845–854, doi: 10.1142/9789814287005_0033.
- [40] C. Liang, Z. Li, S. Dai, Mesoporous carbon materials: synthesis and modification, *Angew. Chem. Int. Ed.* 47 (20) (2008) 3696–3717, doi: 10.1002/anie.200702046.
- [41] D.A. Ersoy, M.J. McNallan, Y. Gogotsi, Carbon coatings produced by high temperature chlorination of silicon carbide ceramics, *Mater. Res. Innov.* 5 (2) (2001) 55–62, doi: 10.1007/s100190100136.
- [42] Y.G. Gogotsi, I-D. Jeon, M.J. McNallan, Carbon coatings on silicon carbide by reaction with chlorine containing gases, *J. Mater. Chem.* 7 (9) (1997) 1841–1848, doi: 10.1039/A701126A.
- [43] Z.G. Cambaz, G.N. Yushin, Y. Gogotsi, K.L. Vyshnyakova, L.N. Pereselentseva, Formation of carbide derived carbon on β -silicon carbide whiskers, *J. Am. Ceram. Soc.* 89 (2) (2006) 509–514, doi: 10.1111/j.1551-2916.2005.00780.x.
- [44] Y. Gogotsi, A. Nikitin, H. Ye, W. Zhou, J.E. Fischer, B. Yi, et al. Nanoporous carbide derived carbon with tunable pore size, *Nat. Mater.* 2 (9) (2003) 591–594, doi: 10.1038/nmat957.
- [45] G. Yushin, A. Nikitin, Y. Gogotsi, Carbide derived carbon, in: Y. Gogotsi (Ed.), *Nanomaterials Handbook*, CRC Press, Boca Raton, FL, 2006, pp. 237–280.
- [46] R. Dash, J. Chmiola, G. Yushin, Y. Gogotsi, G. Laudisio, J. Singer, et al. Titanium carbide derived nanoporous carbon for energy related applications, *Carbon* 44 (12) (2006) 2489–2497, doi: 10.1016/j.carbon.2006.04.035.
- [47] A.P. Graham, G.S. Duesberg, W. Hoenlein, et al. How do carbon nanotubes fit into the semiconductor roadmap?, *Appl. Phys. A* 80 (2005) 1141–1151, doi: 10.1007/s00339-004-3151-7.
- [48] B.G. Demczyk, Y.M. Wang, J. Cumings, et al. Direct mechanical measurement of the tensile strength and elastic modulus of multiwalled carbon nanotubes, *Mater. Sci. Eng. A* 334 (2002) 173–178, doi: 10.1016/S0921-5093(01)01807-X.
- [49] T. Ebbesen, H. Lezec, H. Hiura, et al. Electrical conductivity of individual carbon nanotubes, *Nature* 382 (1996) 54–56, doi: 10.1002/adma.201103509.
- [50] Z. Yang, T. Chen, R. He, et al. Aligned carbon nanotube sheets for the electrodes of organic solar cells, *Adv. Mater.* 23 (2011) 5436–5439, doi: 10.1002/adma.201103509.
- [51] E. Pop, D. Mann, Q. Wang, et al. Thermal conductance of an individual single-wall carbon nanotube above room temperature, *Nano Lett.* 6 (2006) 96–100, doi: 10.1021/nl052145f.
- [52] P. Kim, L. Shi, A. Majumdar, et al. Thermal transport measurements of individual multiwalled nanotubes, *Phys. Rev. Lett.* 87 (2001) 215502, doi: 10.1103/PhysRevLett.87.215502.
- [53] T. Chen, Z. Cai, Z. Yang, et al. Nitrogen-doped carbon nanotube composite fiber with a core-sheath structure for novel electrodes, *Adv. Mater.* 23 (2011) 4620–4625, doi: 10.1002/adma.201102200.
- [54] Z. Yang, L. Li, H. Lin, et al. Penetrated and aligned carbon nanotubes for counter electrodes of highly efficient dye-sensitized solar cells, *Chem. Phys. Lett.* 549 (2012) 82–85, doi: 10.1016/j.cplett.2012.08.055.

- [55] K.S. Novoselov, A.K. Geim, S.V. Morozov, et al. Electric field effect in atomically thin carbon films, *Science* 306 (2004) 666–669, doi: 10.1126/science.1102896.
- [56] A.K. Geim, K.S. Novoselov, The rise of graphene, *Nat. Mater.* 6 (2007) 183–191, doi: 10.1038/nmat1849.
- [57] A.A. Balandin, Thermal properties of graphene and nanostructured carbon materials, *Nat. Mater.* 10 (2011) 569–581, doi: 10.1038/nmat3064.
- [58] S. Park, R.S. Ruoff, Chemical methods for the production of graphenes, *Nat. Nano* 4 (2009) 217–224, doi: 10.1038/nnano.2009.58.
- [59] S.L. Candelaria, Y. Shao, W. Zhou, et al. Nanostructured carbon for energy storage and conversion, *Nano Energy* 1 (2012) 195–220, doi: 10.1016/j.nanoen.2011.11.006.
- [60] Y. Zhai, Y. Dou, D. Zhao, et al. Carbon materials for chemical capacitive energy storage, *Adv. Mater.* 23 (2011) 4828–4850, doi: 10.1002/adma.201100984.
- [61] L. Dai, Functionalization of graphene for efficient energy conversion and storage, *ACC Chem. Res.* 15 (2013) 31–42, doi: 10.1021/ar300122m.
- [62] C. Lee, X. Wei, J.W. Kysar, et al. Measurement of the elastic properties and intrinsic strength of monolayer graphene, *Science* 321 (2008) 385–388, doi: 10.1126/science.1157996.
- [63] K.I. Bolotin, K. Sikes, Z. Jiang, et al. Ultrahigh electron mobility in suspended graphene, *Solid State Commun.* 146 (2008) 351–355, doi: 10.1016/j.ssc.2008.02.024.
- [64] M.D. Stoller, S. Park, Y. Zhu, et al. Graphene-based ultracapacitors, *Nano Lett.* 8 (2008) 3498–3502, doi: 10.1021/nl802558y.
- [65] M.D. Stoller, S. Park, Y. Zhu, et al. Graphene-based ultracapacitors, *Nano Lett.* 8 (2008) 3498–3502, doi: 10.1021/nl802558y.
- [66] X. Huang, Z. Yin, S. Wu, et al. Graphene-based materials: synthesis, characterization, properties, and applications, *Small* 7 (2011) 1876–1902, doi: 10.1002/smll.201002009.
- [67] Z. Yang, J. Ren, Z. Zhang, et al. Recent advancement of nanostructured carbon for energy applications, *Chem. Rev.* 115 (2015) 5159–5223, doi: 10.1021/cr5006217.
- [68] X. Bai, X. Hu, S. Zhou, et al. In situ polymerization and characterization of grafted poly (3,4-ethylenedioxothiophene)/multiwalled carbon nanotubes composite with high electrochemical performances, *Electrochim. Acta* 87 (2013) 394–400, doi: 10.1016/j.electacta.2012.09.079.
- [69] M. Yang, B. Cheng, H. Song, et al. Preparation and electrochemical performance of polyaniline-based carbon nanotubes as electrode material for supercapacitor, *Electrochim. Acta* 55 (2010) 7021–7027, doi: 10.1016/j.electacta.2010.06.077.
- [70] M. Hahn, M. Baertschi, O. Barbieri, et al. Interfacial capacitance and electronic conductance of activated carbon double-layer electrodes, *Electrochim. Solid-State Lett.* 7 (2004) A33–A36, doi: 10.1149/1.1635671.

- [71] K.H. An, K.K. Jeon, W.S. Kim, et al. Characterization of supercapacitors using singlewalled carbon nanotube electrodes, *J. Korean Phys. Soc.* 39 (2001) S511–S517.
- [72] H. Pan, C.K. Poh, Y.P. Feng, et al. Supercapacitor electrodes from tubes-in-tube carbon nanostructures, *Chem. Mater.* 19 (2007) 6120–6125, doi: 10.1021/cm071527e.
- [73] A. Izadi-Najafabadi, S. Yasuda, K. Kobashi, et al. Extracting the full potential of single-walled carbon nanotubes as durable supercapacitor electrodes operable at 4 V with high power and energy density, *Adv. Mater.* 22 (2010) E235–E241, doi: 10.1002/adma.200904349.
- [74] E. Frackowiak, K. Metenier, V. Bertagna, et al. Supercapacitor electrodes from multiwalled carbon nanotubes, *Appl. Phys. Lett.* 77 (2000) 2421–2423, doi: 10.1063/1.1290146.
- [75] L.L. Xiang, T. Jing, G. Xin, et al. Preparation and supercapacitor performance of nitrogen-doped carbon nanotubes from polyaniline modification, *Acta Phys. Chim. Sin.* 29 (2013) 111–116.
- [76] D. Gueon, J.H. Moon, Nitrogen-doped carbon nanotube spherical particles for supercapacitor applications: emulsion-assisted compact packing and capacitance enhancement, *ACS Appl. Mater. Interfaces* 7 (2015) 20083–20089, doi: 10.1021/acsami.5b05231.
- [77] L.G. Bulusheva, E.O. Fedorovskaya, A.G. Kurenja, et al. Supercapacitor performance of nitrogen-doped carbon nanotube arrays, *Phys. Status Solidi (b)* 250 (2013) 2586–2591, doi: 10.1002/pssb.201300108.
- [78] Y. Chen, X. Zhang, D. Zhang, et al. High performance supercapacitors based on reduced graphene oxide in aqueous and ionic liquid electrolytes, *Carbon* 49 (2011) 573–580, doi: 10.1016/j.carbon.2010.09.060.
- [79] L. Zhang, G. Shi, Preparation of highly conductive graphene hydrogels for fabricating supercapacitors with high rate capability, *J. Phys. Chem. C* 115 (2011) 17206–17212, doi: 10.1021/jp204036a.
- [80] Y. Jin, S. Huang, M. Zhang, et al. A green and efficient method to produce graphene for electrochemical capacitors from graphene oxide using sodium carbonate as a reducing agent, *Appl. Surf. Sci.* 268 (2011) 541–546, doi: 10.1016/j.apsusc.2013.01.004.
- [81] X. Du, P. Guo, H. Song, et al. Graphene nanosheets as electrode material for electric double-layer capacitors, *Electrochim. Acta* 55 (2010) 4812–4819, doi: 10.1016/j.electacta.2010.03.047.
- [82] W. Lv, D.M. Tang, Y.B. He, et al. Low-temperature exfoliated graphenes: vacuum-promoted exfoliation and electrochemical energy storage, *ACS Nano* 3 (2009) 3730–3736, doi: 10.1021/nn900933u.
- [83] Y. Zhu, S. Murali, M.D. Stoller, et al. Microwave assisted exfoliation and reduction of graphite oxide for ultracapacitors, *Carbon* 48 (2010) 2118–2122, doi: 10.1016/j.carbon.2010.02.001.
- [84] Y. Xu, Z. Lin, X. Zhong, et al. Holey graphene frameworks for highly efficient capacitive energy storage, *Nat. Commun.* 5 (2014) 4554, doi: 10.1038/ncomms5554.
- [85] Y. Zhu, S. Murali, M.D. Stoller, et al. Carbon-based supercapacitors produced by activation of graphene, *Science* 332 (2011) 1537–1541, doi: 10.1126/science.1200770.

- [86] L.L. Zhang, X. Zhao, Stoller M.D., et al. Highly conductive and porous activated reduced graphene oxide films for high-power supercapacitors, *Nano Lett.* 12 (2012) 1806–1812, doi: 10.1021/nl203903z.
- [87] T. Kim, G. Jung, S. Yoo, et al. Activated graphene-based carbons as supercapacitor electrodes with macro- and mesopores, *ACS Nano* 7 (2013) 6899–6905, doi: 10.1021/nn402077v.
- [88] Y. Liu, Y. Shen, L.c Sun, Elemental superdoping of graphene and carbon nanotubes, *Nat. Commun.* 7 (2016) 10921, doi: 10.1038/ncomms10921.
- [89] H.M. Jeong, J.W. Lee, Shin W.H., et al. Nitrogen-doped graphene for high performance ultracapacitors and the importance of nitrogen-doped sites at basal planes, *Nano Lett.* 11 (2011) 2472–2477, doi: 10.1021/nl2009058.
- [90] Y. Zhao, C. Hu, Y. Hu, et al. A versatile, ultralight, nitrogen-doped graphene framework, *Angew. Chem. Int. Ed.* 51 (2012) 11371–11375, doi: 10.1002/anie.201206554.
- [91] J. Han, L.L. Zhang, S. Lee, et al. Generation of B-doped graphene nanoplatelets using a solution process and their supercapacitor applications, *ACS Nano* 7 (2012) 19–26, doi: 10.1021/nn3034309.
- [92] C. Wang, Y. Zhou, L. Sun, et al. N/P-codoped thermally reduced graphene for high-performance supercapacitor applications, *J. Phys. Chem. C* 117 (2013) 14912–14919, doi: 10.1021/jp4015959.
- [93] Q. Ke, J. Wang, Graphene-based materials for supercapacitor electrodes: a review, *J. Mater.* 2 (2016) 37–54, doi: 10.1016/j.jmat.2016.01.001.
- [94] Y. Ma, Y. Chen, Three-dimensional graphene networks: synthesis, properties and applications, *Nat. Sci. Rev.* 2 (2015) 40–53, doi: 10.1093/nsr/nwu072.
- [95] Z. Zhao, Z. Wang, J. Qiu, et al. Three dimensional graphene-based hydrogel/aerogel materials, *Rev. Adv. Mater. Sci.* 36 (2014) 137–151, doi: 10.1039/C3TA10989E.
- [96] Y. Xu, K. Sheng, C. Li, et al. Self-assembled graphene hydrogel via a one-step hydrothermal process, *ACS Nano* 4 (2010) 4324–4330, doi: 10.1021/nn101187z.
- [97] P. Chen, J.J. Yang, S.S. Li, et al. Hydrothermal synthesis of macroscopic nitrogen-doped graphene hydrogels for ultrafast supercapacitor, *Nano Energy* 2 (2013) 249–256, doi: 10.1016/j.nanoen.2012.09.003.
- [98] L.B. Zhang, G.Y. Chen, M.N. Hedhili, et al. Three-dimensional assemblies of graphene prepared by a novel chemical reduction-induced self-assembly method, *Nanoscale* 4 (2012) 7038–7045, doi: 10.1039/C2NR32157B.
- [99] X. Jiang, Y.W. Ma, J.J. Li, et al. Self-assembly of reduced graphene oxide into three-dimensional architecture by divalent ion linkage, *J. Phys. Chem. C* 114 (2010) 22462–22465, doi: 10.1021/jp108081g.
- [100] Y.X. Xu, Q.O. Wu, Y.Q. Sun, et al. Three-dimensional self-assembly of graphene oxide and DNA into multifunctional hydrogels, *ACS Nano* 4 (2010) 7358–7362, doi: 10.1021/nn1027104.
- [101] S.T. Sun, P.Y. Wu, A one-step strategy for thermal- and pH-responsive graphene oxide interpenetrating polymer hydrogel networks, *J. Mater. Chem.* 21 (2011) 4095–4097, doi: 10.1039/C1JM10276A.

- [102] M.A. Worsley, P.J. Pauzauskie, T.Y. Olson, et al. Synthesis of graphene aerogel with high electrical conductivity, *J. Am. Chem. Soc.* 132 (2010) 14067–14069, doi: 10.1021/ja1072299.
- [103] X. Xie, Y.L. Zhou, H.C. Bi, et al. Large-range control of the microstructures and properties of three-dimensional porous graphene, *Sci. Rep.* 3 (2013) 6, doi: 10.1038/srep02117.
- [104] C. Zhu, T. Liu, F. Qian, et al. Supercapacitors based on three-dimensional hierarchical graphene aerogels with periodic macropores, *Nano Lett.* 16 (2016) 3448–3456, doi: 10.1021/acs.nanolett.5b04965.
- [105] S.M. Jung, D.L. Mafra, C.T. Lin, et al. Controlled porous structures of graphene aerogels and their effect on supercapacitor performance, *Nanoscale* 7 (2015) 4386–4393, doi: 10.1039/C4NR07564A.
- [106] (a) X. Chen, R. Paul, L. Dai, Carbon-based supercapacitors for efficient energy storage, *Natl. Sci. Rev.* 4 (2017) 453–489, doi: 10.1093/nsr/nwx009. (b) L. Hao, J. Ning, B. Luo, et al., Structural evolution of 2D microporous covalent triazine-based framework toward the study of high-performance supercapacitors, *J. Am. Chem. Soc.* 137 (2015) 219–225, doi: 10.1021/ja508693y.
- [107] X. Yang, C. Cheng, Y. Wang, et al. Liquid-mediated dense integration of graphene materials for compact capacitive energy storage, *Science* 341 (2013) 534–537, doi: 10.1126/science.1239089.
- [110] Y. Yoon, K. Lee, S. Kwon, et al. Vertical alignments of graphene sheets spatially and densely piled for fast ion diffusion in compact supercapacitors, *ACS Nano* 8 (2014) 4580–4590, doi: 10.1021/nn500150j.
- [111] W. Li, J. Liu, D. Zhao, Mesoporous materials for energy conversion and storage devices, *Nat. Rev. Mater.* 1 (2016) 16023, doi: 10.1038/natrevmats.2016.23.
- [112] X. Cao, B. Zheng, W. Shi, et al. Reduced graphene oxide-wrapped MoO₃ composites prepared by using metal-organic frameworks as precursor for all solid-state flexible supercapacitors, *Adv. Mater.* 27 (2015) 4695–4701, doi: 10.1002/adma.201501310.
- [123] J. Yan, T. Wei, B. Shao, et al. Electrochemical properties of graphene nanosheet/carbon black composites as electrodes for supercapacitors, *Carbon* 48 (2010) 1731–1737, doi: 10.1016/j.carbon.2010.01.014.
- [124] L. Qiu, X. Yang, X. Gou, et al. Dispersing carbon nanotubes with graphene oxide in water and synergistic effects between graphene derivatives, *Chem. Eur. J.* 16 (2010) 10653–10658, doi: 10.1002/chem.201001771.
- [125] Z. Yang, M. Liu, C. Zhang, et al. Carbon nanotubes bridged with graphene nanoribbons and their use in high-efficiency dye-sensitized solar cells, *Angew. Chem. Inter. Ed.* 52 (2013) 3996–3999, doi: 10.1002/anie.201209736.
- [126] Z. Lei, N. Christov, X.S. Zhao, et al. Intercalation of mesoporous carbon spheres between reduced graphene oxide sheets for preparing high-rate supercapacitor electrodes, *Energy Environ. Sci.* 4 (2011) 1866–1873, doi: 10.1039/C1EE01094H.

- [127] D. Yu, L. Dai, Self-assembled graphene/carbon nanotube hybrid films for supercapacitors, *J. Phys. Chem. Lett.* 1 (2010) 467–470, doi: 10.1021/jz9003137.
- [128] V.V.N. Obreja, On the performance of supercapacitors with electrodes based on carbon nanotubes and carbon activated material: a review, *Physica E Low Dimens. Sys. Nanostruct.* 40 (2008) 2596–2605, doi: 10.1016/j.physe.2007.09.044.
- [129] J. Liu, J. Sun, L. Gao, A promising way to enhance the electrochemical behavior of flexible single-walled carbon nanotube/polyaniline composite films, *J. Phys. Chem. C* 114 (2010) 19614–19620, doi: 10.1021/jp1092042.
- [130] X. Chen, H. Lin, P. Chen, et al. Smart, stretchable supercapacitors, *Adv. Mater.* 26 (2014) 4444–4449, doi: 10.1002/adma.201400842.
- [131] H. Wang, Q. Hao, X. Yang, et al. Graphene oxide doped polyaniline for supercapacitors, *Electrochem. Commun.* 11 (2009) 1158–1161, doi: 10.1016/j.elecom.2009.03.036.
- [132] J. Xu, K. Wang, S.Z. Zu, et al. Hierarchical nanocomposites of polyaniline nanowire arrays on graphene oxide sheets with synergistic effect for energy storage, *ACS Nano* 4 (2010) 5019–5026, doi: 10.1021/nn1006539.
- [133] J. Yan, T. Wei, B. Shao, et al. Preparation of a graphene nanosheet/polyaniline composite with high specific capacitance, *Carbon* 48 (2010) 487–493, doi: 10.1016/j.carbon.2009.09.066.
- [134] L. Li, A.R.O. Raji, H. Fei, et al. Nanocomposite of polyaniline nanorods grown on graphene nanoribbons for highly capacitive pseudocapacitors, *ACS Appl. Mater. Inter.* 5 (2013) 6622–6627, doi: 10.1021/am4013165.
- [135] S. Giri, D. Ghosh, C.K. Das, In situ synthesis of cobalt doped polyaniline modified graphene composites for high performance supercapacitor electrode material, *J. Electroanal. Chem.* 697 (2013) 32–45, doi: 10.1016/j.jelechem.2013.01.038.
- [136] Z. Tai, X. Yan, Q. Xue, Three-dimensional graphene/polyaniline composite hydrogel as supercapacitor electrode, *J. Electrochem. Soc.* 159 (2012) A1702–A1709, doi: 10.1149/2.058210jes.
- [137] T. Lee, T. Yun, B. Park, et al. Hybrid multilayer thin film supercapacitor of graphene nanosheets with polyaniline: importance of establishing intimate electronic contact through nanoscale blending, *J. Mater. Chem.* 22 (2012) 21092–21099, doi: 10.1039/C2JM33111J.
- [138] Z.S. Wu, D.W. Wang, W. Ren, et al. Anchoring hydrous RuO₂ on graphene sheets for high-performance electrochemical capacitors, *Adv. Funct. Mater.* 20 (2010) 3595–3602, doi: 10.1002/adfm.201001054.
- [139] J. Yan, T. Wei, W. Qiao, et al. Rapid microwave-assisted synthesis of graphene nanosheet/Co₃O₄ composite for supercapacitors, *Electrochim. Acta* 55 (2010) 6973–6978, doi: 10.1016/j.electacta.2010.06.081.

- [140] J. Yan, Z. Fan, W. Sun, et al. Advanced asymmetric supercapacitors based on Ni(OH)₂/graphene and porous graphene electrodes with high energy density, *Adv. Funct. Mater.* 22 (2012) 2632–2641, doi: 10.1002/adfm.201102839.
- [141] H. Wang, H.S. Casalongue, Y. Liang, et al. Ni(OH)₂ nanoplates grown on graphene as advanced electrochemical pseudocapacitor materials, *J. Am. Chem. Soc.* 132 (2010) 7472–7477, doi: 10.1021/ja102267j.
- [142] K.K. Lee, S. Deng, H. Fan, et al. α-Fe₂O₃ nanotubes-reduced graphene oxide composites as synergistic electrochemical capacitor materials, *Nanoscale* 4 (2012) 2958–2961, doi: 10.1039/C2NR11902A.
- [143] X. Sun, M. Xie, G. Wang, et al. Atomic layer deposition of TiO₂ on graphene for supercapacitors, *J. Electrochem. Soc.* 159 (2012) A364–A369, doi: 10.1149/2.025204jes.
- [144] J. Wang, Z. Gao, Z. Li, et al. Green synthesis of graphene nanosheets/ZnO composites and electrochemical properties, *J. Solid State Chem.* 184 (2011) 1421–1427, doi: 10.1016/j.jssc.2011.03.006.
- [145] J. Yan, T. Wei, Z. Fan, et al. Preparation of graphene nanosheet/carbon nanotube/polyaniline composite as electrode material for supercapacitors, *J. Power Sources* 195 (2010) 3041–3045, doi: 10.1016/j.jpowsour.2009.11.028.
- [146] K.S. Kim, S.J. Park, Synthesis and high electrochemical capacitance of N-doped microporous carbon/carbon nanotubes for supercapacitor, *J. Electroanal. Chem.* 673 (2012) 58–64, doi: 10.1016/j.jelechem.2012.03.011.
- [147] Q. Cheng, J. Tang, N. Shinya, et al. Polyaniline modified graphene and carbon nanotube composite electrode for asymmetric supercapacitors of high energy density, *J. Power Sources* 241 (2013) 423–428, doi: 10.1016/j.jpowsour.2013.04.105.
- [148] Y. Jin, H. Chen, M. Chen, et al. Graphene-patched CNT/MnO₂ nanocomposite papers for the electrode of high-performance flexible asymmetric supercapacitors, *ACS Appl. Mater. Interfaces* 5 (2013) 3408–3416, doi: 10.1021/am400457x.
- [149] G. Wang, Q. Tang, H. Bao, et al. Synthesis of hierarchical sulfonated graphene/MnO₂/polyaniline ternary composite and its improved electrochemical performance, *J. Power Sources* 241 (2013) 231–238, doi: 10.1016/j.jpowsour.2013.04.122.
- [150] D. Wu, T. Xiao, X. Tan, et al. High-performance asymmetric supercapacitors based on cobalt chloride carbonate hydroxide nanowire arrays and activated carbon, *Electrochim. Acta* 198 (2016) 1–9, doi: 10.1016/j.electacta.2016.01.194.
- [151] Y. Zhang, L. Si, B. Zhou, et al. Synthesis of novel graphene oxide/pristine graphene/polyaniline ternary composites and application to supercapacitor, *Chem. Eng. J.* 288 (2016) 689–700, doi: 10.1016/j.cej.2015.12.058.

- [152] L. Wei, G. Yushin, Nanostructured activated carbons from natural precursors for electrical double layer capacitors, *Nano Energy* 1 (4) (2012) 552–565, doi: 10.1016/j.nanoen.2012.05.002.
- [153] X. Zhao, C. Johnston, P.S. Grant, A novel hybrid supercapacitor with a carbon nanotube cathode and an iron oxide/carbon nanotube composite anode, *J. Mater. Chem.* 19 (2009) 8755–8760, doi: 10.1039/B909779A.
- [154] D.P. Dubal, O. Ayyad, V. Ruiz, et al. Hybrid energy storage: the merging of battery and supercapacitor chemistries, *Chem. Soc. Rev.* 44 (2015) 1777–1790, doi: 10.1039/C4CS00266K.
- [155] A. Muzzafar, M.B. Ahamed, K. Deshmukh, J. Thirumalai, A review on recent advances in hybrid supercapacitors: design, fabrication and applications, *Renew. Sust. Energ. Rev.* 101 (2019) 123–145, doi: 10.1016/j.rser.2018.10.026.
- [156] Y. Ma, H. Chang, M. Zhang, et al. Graphene-based materials for lithium-ion hybrid supercapacitors, *Adv. Mater.* 27 (2015) 5296–5308, doi: 10.1002/adma.201501622..
- [157] F. Zhang, T. Zhang, X. Yang, et al. A high-performance supercapacitor-battery hybrid energy storage device based on graphene-enhanced electrode materials with ultrahigh energy density, *Energy Environ. Sci.* 6 (2013) 1623–1632, doi: 10.1039/C3EE40509E.
- [158] P.C. Chen, G. Shen, S. Sukcharoenchoke, et al. Flexible and transparent supercapacitor based on In₂O₃ nanowire/carbon nanotube heterogeneous films, *Appl. Phys. Lett.* 94 (2009) 043113, doi: 10.1063/1.3069277.
- [159] L. Du, P. Yang, X. Yu, et al. Flexible supercapacitors based on carbon nanotube/MnO₂ nanotube hybrid porous films for wearable electronic devices, *J. Mater. Chem. A* 2 (2014) 17561–17567, doi: 10.1039/C4TA04431B.
- [160] T. Chen, L. Dai, Flexible supercapacitors based on carbon nanomaterials, *J. Mater. Chem. A* 2 (2014) 10756–10775, doi: 10.1039/C4TA00567H.
- [161] Y. Yesi, I. Shown, A. Ganguly, et al. Directly-grown hierarchical carbon nanotube@polypyrrole core-shell hybrid for high-performance flexible supercapacitors, *Chem. Sus. Chem.* 9 (2016) 370–378, doi: 10.1002/cssc.201501495.
- [162] C. Yu, C. Masarapu, J. Rong, et al. Stretchable supercapacitors based on buckled single-walled carbon nanotube macrofilms, *Adv. Mater.* 21 (2009) 4793–4797, doi: 10.1002/adma.200901775.
- [163] Z. Niu, H. Dong, B. Zhu, et al. Highly stretchable, integrated supercapacitors based on single-walled carbon nanotube films with continuous reticulate architecture, *Adv. Mater.* 25 (2013) 1058–1064, doi: 10.1002/adma.201204003.
- [164] J. Zang, C. Cao, Y. Feng, et al. Stretchable and high-performance supercapacitors with crumpled graphene papers, *Sci. Rep.* 4 (2014) 6492, doi: 10.1038/srep06492.

- [165] W. Kim, W. Kim, 3 V omni-directionally stretchable one-body supercapacitors based on a single ion-gel matrix and carbon nanotubes, *Nanotechnology* 27 (2016) 225402, doi: 10.1088/0957-4484/27/22/225402.
- [166] A. Dale, C. Brownson, C.E. Banks, Fabricating graphene supercapacitors: highlighting the impact of surfactants and moieties, *Chem. Commun.* 48 (2012) 1425–1427, doi: 10.1039/C1CC11276G.
- [168] A.G. Pandolfo, A.F. Hollenkamp, Carbon properties and their role in supercapacitors, *J. Power Sources* 157 (2006) 11–27, doi: 10.1016/j.jpowsour.2006.02.065.
- [169] J.R. Miller, R.A. Outlaw, B.C. Holloway, Graphene double-layer capacitor with AC line-filtering performance, *Science* 329 (2010) 1637–1639, doi: 10.1126/science.1194372.
- [170] C. Niu, E.K. Sichel, R. Hoch, et al. High power electrochemical capacitors based on carbon nanotube electrodes, *Appl. Phys. Lett.* 70 (1997) 1480–1482, doi: 10.1063/1.118568.
- [171] J. Joseph, A. Paravanno, S.V. Nair, Supercapacitors based on camphor derived meso/macroporous carbon sponge electrodes with ultrafast frequency response for AC line-filtering, *J. Mater. Chem. A* 3 (2015) 14105–14108, doi: 10.1039/C5TA03012A.
- [172] K. Sheng, Y. Sun, C. Li, et al. Ultrahigh-rate supercapacitors based on electrochemically reduced graphene oxide for AC line-filtering, *Sci. Rep.* 2 (2012) 247, doi: 10.1038/srep00247.
- [173] D. Pech, M. Brunet, H. Durou, et al. Ultrahigh-power micrometre-sized supercapacitors based on onion-like carbon, *Nat. Nanotech.* 5 (2010) 651–654, doi: 10.1038/nnano.2010.162.
- [174] X. Lang, A. Hirata, T. Fujita, et al. Nanoporous metal/oxide hybrid electrodes for electrochemical supercapacitors, *Nat. Nanotech.* 6 (2011) 232–236, doi: 10.1038/nnano.2011.13.
- [175] Y. Hou, Y. Cheng, T. Hobson, et al., Design and synthesis of hierarchical MnO₂ nanospheres/carbon nanotubes/conducting polymer ternary composite for high performance electrochemical electrodes, *Nano Lett.* 10 (2010) 2727–2733, doi:10.1021/nl101723g.
- [176] Z.S. Wu, X. Feng, H.M. Cheng, Recent advances in graphene-based planar micro-supercapacitors for on-chip energy storage, *Nat. Sci. Rev.* 1 (2014) 277–292, doi: 10.1093/nsr/nwt003.
- [177] J. Lim, U.N. Maiti, N.Y. Kim, et al. Dopant-specific unzipping of carbon nanotubes for intact crystalline graphene nanostructures, *Nat. Commun.* 7 (2016) 10364, doi: 10.1038/ncomms10364.
- [178] H. Wei, S. Wei, W. Tian, et al. Fabrication of thickness controllable freestanding sandwich-structured hybrid carbon film for high-rate and high-power supercapacitor, *Sci. Rep.* 4 (2014) 7050, doi: 10.1038/srep07050.
- [179] J. Lin, C.G. Zhang, Z. Yan, et al. 3-Dimensional graphene carbon nanotube carpet-based microsupercapacitors with high electrochemical performance, *Nano Lett.* 13 (2013) 72–78, doi: 10.1021/nl3034976.

- [180] J.H. Jang, A. Kato, K. Machida, et al. Supercapacitor performance of hydrous ruthenium oxide electrodes prepared by electrophoretic deposition, *J. Electrochem. Soc.* 153 (2006) A321–A328, doi: 10.1149/1.2138672.
- [181] S. Chen, J. Zhu, Q. Han, et al. Shape-controlled synthesis of one-dimensional MnO₂ via a facile quick-precipitation procedure and its electrochemical properties, *Cryst. Grow. Des.* 9 (2009) 4356–4361, doi: 10.1021/cg900223f.
- [182] C. Yuan, X. Zhang, L. Su, et al. Facile synthesis and self-assembly of hierarchical porous NiO nano/micro spherical superstructures for high performance supercapacitors, *J. Mater. Chem.* 19 (2009) 5772–5777, doi: 10.1039/B902221J.
- [183] N. Nagarajan, H. Humadi, I. Zhitomirsky, Cathodic electrodeposition of MnO_x films for electrochemical supercapacitors, *Electrochim. Acta* 51 (2006) 3039–3045, doi: 10.1016/j.electacta.2005.08.042.
- [184] U.M. Patil, Gurav, K.V. Fulari Vj, et al. Characterization of honeycomb-like “ β -Ni(OH)₂” thin films synthesized by chemical bath deposition method and their supercapacitor application, *J. Power Sources* 188 (2009) 338–342, doi: 10.1016/j.jpowsour.2008.11.136.
- [185] J. Lang, L. Kong, W. Wu, et al. A facile approach to the preparation of loose packed Ni(OH)₂ nanoflake materials for electrochemical capacitors, *J. Solid State Electrochem.* 13 (2009) 333–340, doi: 10.1007/s10008-008-0560-0.
- [186] A.L.M. Reddy, S. Ramaprabhu, Nanocrystalline metal oxides dispersed multiwalled carbon nanotubes as supercapacitor electrodes, *J. Phys. Chem. C* 111 (2007) 7727–7734, doi: 10.1021/jp069006m.
- [187] I. Kim, J. Kim, K. Kim, Electrochemical characterization of electrochemically prepared ruthenium oxide/carbon nanotube electrode for supercapacitor application, *Electrochim. Solid-State Lett.* 8 (2005) A369–A372, doi: 10.1149/1.1925067.
- [188] H. Lee, M.S. Cho, I.H. Kim, J.D. Nam, Y. Lee, RuO_x/polypyrrole nanocomposite electrode for electrochemical capacitors, *Synth. Met.* 160 (9–10) (2010) 1055–1059, doi: 10.1016/j.synthmet.2010.02.026.
- [189] I.-H. Kim, K.-B. Kim, Electrochemical characterization of hydrous ruthenium oxide thin-film electrodes for electrochemical capacitor applications, *J. Electrochem. Soc.* 153 (2) (2006) A383, doi: 10.1149/1.2147406.
- [190] Q.X. Jia, S.G. Song, X.D. Wu, J.H. Cho, S.R. Foltyn, A.T. Findikoglu, et al. Epitaxial growth of highly conductive RuO₂ thin films on (100) Si, *Appl. Phys. Lett.* 68 (8) (1996) 1069, doi: 10.1063/1.115715.
- [191] K. Sakiyama, S. Onishi, K. Ishihara, Deposition and properties of reactively sputtered ruthenium dioxide films, *J. Electrochem. Soc.* 140 (3) (1993) 834–839, doi: 10.1149/1.2056168.

- [192] G. Wang, L. Zhang, J. Zhang, A review of electrode materials for electrochemical supercapacitors, *Chem Soc Rev.* 41 (2) (2012) 797–828, doi: 10.1039/C1CS15060J.
- [193] J.P. Zheng, P.J. Cygan, T.R. Jow, Hydrous ruthenium oxide as an electrode material for electrochemical supercapacitors, *J. Electrochem. Soc.* 142 (1995) 2699–2703, doi: 10.1149/1.2050077.
- [194] C.C. Hu, C.H. Lee, T.C. Wen, Oxygen evolution and hypochlorite production on Ru–Pt binaryoxides, *J. Appl. Electrochem.* 26 (1) (1996) 72–82, doi: 10.1007/BF00248191.
- [195] M. Ramani, B.S. Haran, R.E. White, B.N. Popov, Synthesis and characterization of hydrous ruthenium oxide-carbon supercapacitors, *J. Electrochem. Soc.* 148 (4) (2001) A374, doi: 10.1149/1.1357172.
- [196] S. Ferro, C. Urgeghe, A.D. Battisti, Heterogeneous electron transfer rate constants for $\text{Fe}(\text{H}_2\text{O})^{63+/2+}$ at metal oxide electrodes, *J. Phys. Chem. B* 108 (20) (2004) 6398–6401, doi: 10.1021/jp049921c.
- [197] T. Wen, C. Hu, Hydrogen oxygen evolutions on Ru-Ir binary oxides, *J. Electrochem. Soc.* 139 (8) (1992) 2158–2163, doi: 10.1149/1.2221195.
- [198] C.-Y. Lee, A.M. Bond, Revelation of multiple underlying RuO_2 redox processes associated with pseudocapacitance and electrocatalysis, *Langmuir* 26 (20) (2010) 16155–16162, doi: 10.1021/la102495t.
- [199] J. Zheng, T. Jow, High energy and high power density electrochemical capacitors, *J. Power Sources* 62 (2) (1996) 155–159, doi: 10.1016/S0378-7753(96)02424-X.
- [200] N.-L. Wu, S.-L. Kuo, M.-H. Lee, Preparation and optimization of RuO_2 impregnated SnO_2 xerogel supercapacitor, *J. Power Sources* 104 (2002) 62–65, doi: 10.1016/S0378-7753(01)00873-4.
- [201] Y. Su, F. Wu, L. Bao, Z. Yang, RuO_2 /activated carbon composites as a positive electrode in an alkaline electrochemical capacitor, *New Carbon Mater.* 22 (1) (2007) 53–57, doi: 10.1016/S1872-5805(07)60007-9.
- [202] H. Lee, J. Goodenough, Supercapacitor behavior with KCl electrolyte, *J. Solid State Chem.* 144 (1999) 220–223, doi: 10.1006/jssc.1998.8128.
- [203] S.E. Chun, S.I. Pyunand, G.J. Lee, A study on mechanism of charging/discharging at amorphous manganese oxide electrode in 0.1M Na_2SO_4 solution, *Electrochim. Acta* 51 (2006) 6479–6486, doi: 10.1016/j.electacta.2006.04.034.
- [204] L. Li, Z.Y. Qin, L.F. Wang, H.J. Liu, M.F. Zhu, Anchoring alpha-manganese oxide nanocrystallites on multi-walled carbon nanotubes as electrode materials for supercapacitor, *J. Nanopart. Res.* 12 (2010) 2349–2353, doi: 10.1007/s11051-010-9980-8.
- [205] J.K. Chang, Y.L. Chen, W.T. Tsai, Effect of heat treatment on material characteristics and pseudo-capacitive properties of manganese oxide prepared by anodic deposition, *J. Power Sources* 135 (2004) 344–353, doi: 10.1016/j.jpowsour.2004.03.076.

- [206] V. Subramanian, H. Zhu, B. Wei, Alcohol-assisted room temperature synthesis of different nanostructured manganese oxides and their pseudocapacitance properties in neutral electrolyte, *Chem. Phys. Lett.* 453 (2008) 242–249, doi: 10.1016/j.cplett.2008.01.042.
- [207] C.C. Hu, T.W. Tsou, Ideal capacitive behavior of hydrous manganese oxide prepared by anodic deposition, *Electrochim. Commun.* 4 (2002) 105–109, doi: 10.1016/S1388-2481(01)00285-5.
- [208] B. Messaoudi, S. Joiret, M. Keddam, H. Takenouti, Anodic behaviour of manganese in alkaline medium, *Electrochim. Acta* 46 (2001) 2487–2498, doi: 10.1016/S0013-4686(01)00449-2.
- [209] S.C. Pang, M.A. Anderson, Novel electrode materials for electrochemical capacitors: part II. Material characterization of sol-gel-derived and electrodeposited manganese dioxide thin films, *J. Mater. Res.* 15 (2000) 2096–2106, doi: 10.1557/JMR.2000.0302.
- [210] E. Raymundo-Pinero, V. Khomenko, E. Frackowiak, F. Beguin, Performance of manganese oxide/CNTs composites as electrode materials for electrochemical capacitors, *J. Electrochem. Soc.* 152 (2005) A229–A235, doi: 10.1149/1.1834913.
- [211] C. Ye, Z.M. Lin, S.Z. Hui, Electrochemical and capacitance properties of rod-shaped MnO₂ for supercapacitor, *J. Electrochem. Soc.* 152 (2005) A1272–A1278, doi: 10.1149/1.1904912.
- [212] E. Machefaux, T. Brousse, D. Belanger, D. Guyomard, Supercapacitor behavior of new substituted manganese dioxides, *J. Power Sources* 165 (2007) 651–655, doi: 10.1016/j.jpowsour.2006.10.060.
- [213] M. Nakayama, T. Kanaya, R. Inoue, Anodic deposition of layered manganese oxide into a colloidal crystal template for electrochemical supercapacitor, *Electrochim. Commun.* 9 (2007) 1154–1158, doi: 10.1016/j.elecom.2007.01.021.
- [214] D.A. McKeown, P.L. Hagans, L.P.L. Carette, A.E. Russell, K.E. Swider, D.R. Rolison, Structure of hydrous ruthenium oxides: implications for charge storage, *J. Phys. Chem. B* 103 (1999) 4825–4832, doi: 10.1021/jp990096n.
- [215] H. Kim, B.N. Popov, Synthesis and characterization of MnO₂-based mixed oxides as supercapacitors, *J. Electrochem. Soc.* 150 (2003) D56–D62, doi: 10.1149/1.1541675.
- [216] J.K. Chang, C.H. Huang, M.T. Lee, W.T. Tsai, M.J. Deng, I.W. Sun, Physicochemical factors that affect the pseudocapacitance and cyclic stability of Mn oxide electrodes, *Electrochim. Acta* 54 (2009) 3278–3284, doi: 10.1016/j.electacta.2008.12.042.
- [217] P.C. Gao, A.H. Lu, W.C. Li, Dual functions of activated carbon in a positive electrode for MnO₂-based hybrid supercapacitor, *J. Power Sources* 196 (2011) 4095–4101, doi: 10.1016/j.jpowsour.2010.12.056.
- [218] L. Demarconnay, E. Raymundo-Piñero, F. Béguin, Adjustment of electrodes potential window in an asymmetric carbon/MnO₂ supercapacitor, *J. Power Sources* 196 (2011) 580–586, doi: 10.1016/j.jpowsour.2010.06.013.

- [219] P.J. Kulesza, S. Zamponi, M.A. Malik, M. Berrettoni, A. Wolkiewicz, R. Marassi, Spectroelectrochemical characterization of cobalt hexacyanoferrate films in potassium salt electrolyte, *Electrochim. Acta* 43 (1998) 919–923, doi: 10.1016/S0013-4686(97)00212-0.
- [220] C.Z. Yuan, L. Yang, L.R. Hou, L.F. Shen, F. Zhang, D.K. Li, X.G. Zhang, Large-scale Co₃O₄ nanoparticles growing on nickel sheets via a one-step strategy and their ultra-highly reversible redox reaction toward supercapacitors, *J. Mater. Chem.* 21 (2011) 18183–18185, doi: 10.1039/C1JM14173B.
- [221] K.K. Lee, W.S. Chin, C.H. Sow, Cobalt-based compounds and composites as electrode materials for high-performance electrochemical capacitors, *J. Mater. Chem. A* 2 (2014) 17212–17248, doi: 10.1039/C4TA02074J.
- [222] Y.H. Xiao, A.Q. Zhang, S.J. Liu, J.H. Zhao, S.M. Fang, D.Z. Jia, F. Li, Free-standing and porous hierarchical nanoarchitectures constructed with cobalt cobaltite nanowalls for supercapacitors with high specific capacitances, *J. Power Sources* 219 (2012) 140–146, doi: 10.1016/j.jpowsour.2012.07.030.
- [223] J.H. Zhong, A.L. Wang, G.R. Li, J.W. Wang, Y.N. Ou, Y.X. Tong, Co₃O₄/Ni(OH)₂ composite mesoporous nanosheet networks as a promising electrode for supercapacitor applications, *J. Mater. Chem.* 22 (2012) 5656–5665, doi: 10.1039/C2JM15863A.
- [224] L. Cao, M. Lu, H.L. Li, Preparation of mesoporous nanocrystalline Co₃O₄ and its applicability of porosity to the formation of electrochemical capacitance, *J. Electrochem. Soc.* 152 (2005) A871–A875, doi: 10.1149/1.1883354.
- [225] L. Wang, X.H. Liu, X. Wang, X.J. Yang, L.D. Lu, Preparation and electrochemical properties of mesoporous Co₃O₄ crater-like microspheres as supercapacitor electrode materials, *Curr. Appl. Phys.* 10 (2010) 1422–1426, doi: 10.1016/j.cap.2010.05.007.
- [226] X. Wang, A. Sumboja, E. Khoo, C.Y. Yan, P. Lee, Cryogel synthesis of hierarchical interconnected macro-/mesoporous Co₃O₄ with superb electrochemical energy storage, *J. Phys. Chem. C* 116 (2012) 4930–4935, doi: 10.1021/jp211339t.
- [227] D.L. Yan, H. Zhang, L. Chen, G.S. Zhu, S.C. Li, H.R. Xu, A.B. Yu, Biomorphic synthesis of mesoporous Co₃O₄ microtubules and their pseudocapacitive performance, *ACS Appl. Mater. Interfaces* 6 (2014) 15632–15637, doi: 10.1021/am5044449.
- [228] S. Xiong, C. Yuan, X. Zhang, B. Xi, Y. Qian, Controllable synthesis of mesoporous Co₃O₄ nanostructures with tunable morphology for application in supercapacitors, *Chem. Eur. J.* 15 (2009) 5320–5326, doi: 10.1002/chem.200802671.
- [229] C. Yuan, L. Yang, L. Hou, L. Shen, X. Zhang, X. Wen, D. Lou, Growth of ultrathin mesoporous Co₃O₄ nanosheet arrays on Ni foam for high-performance electrochemical capacitors, *Energy Environ. Sci.* 5 (2012) 7883–7887, doi: 10.1039/C2EE21745G.

- [230] J. Zhi, S. Deng, Y.X. Zhang, Y.F. Wang, A.G. Hu, Embedding Co₃O₄ nanoparticles in SBA-15 supported carbon nanomembrane for advanced supercapacitor materials, *J. Mater. Chem. A* 1 (2013) 3171–3176, doi: 10.1039/C2TA01253G.
- [231] N. Padmanathan, S. Selladurai, K.M. Razeeb, Ultra-fast rate capability of a symmetric supercapacitor with a hierarchical Co₃O₄ nanowire/nanoflower hybrid structure in nonaqueous electrolyte, *RSC Adv.* 5 (2015) 12700–12709, doi: 10.1039/C4RA13327G.
- [232] V. Gupta, T. Kusahara, H. Toyama, S. Gupta, N. Miura, Potentiostatically deposited nanostructured α-Co(OH)₂: a high performance electrode material for redox-capacitors, *Electrochem. Commun.* 9 (2007) 2315–2319, doi: 10.1016/j.elecom.2007.06.041.
- [233] R.S. Jayashree, P.V. Kamath, Electrochemical synthesis of α-cobalt hydroxide, *J. Mater. Chem.* 9 (1999) 961–963, doi: 10.1039/A807000H.
- [234] V. Gupta, S. Gupta, N. Miura, Al-substituted α-cobalt hydroxide synthesized by potentiostatic deposition method as an electrode material for redox-supercapacitors, *J. Power Sources* 177 (2008) 685–689, doi: 10.1016/j.jpowsour.2007.10.091.
- [235] L. Cao, F. Xu, Y.Y. Liang, H.L. Li, Preparation of the novel nanocomposite Co(OH)₂/ultra-stable Y-zeolite and its application as a supercapacitor with high energy density, *Adv. Mater.* 16 (2004) 1853–1857, doi: 10.1002/adma.200400183.
- [236] D.A. Wruck, M. Rubin, Structure and electronic properties of electrochromic NiO films, *J. Electrochem. Soc.* 140 (1993) 1097–1104, doi: 10.1149/1.2056205.
- [237] F. Fuselba, P. Gouérec, D. Villers, D. Bélanger, Electrochemical characterization of polyaniline in nonaqueous electrolyte and its evaluation as electrode material for electrochemical supercapacitors, *J. Electrochem. Soc.* 148 (2001) A1–A6, doi: 10.1149/1.1339036.
- [238] P.K. Rajendra, N. Munichandraiah, Fabrication and evaluation of 450 F electrochemical redox supercapacitors using inexpensive and high-performance, polyaniline coated, stainless-steel electrodes, *J. Power Sources* 112 (2002) 443–451, doi: 10.1016/S0378-7753(02)00419-6.
- [239] W.J. Zhou, M.W. Xu, D.D. Zhao, C.L. Xu, H.L. Li, Electrodeposition and characterization of ordered mesoporous cobalt hydroxide films on different substrates for supercapacitors, *Microporous Mesoporous Mater.* 117 (2009) 55–60, doi: 10.1016/j.micromeso.2008.06.004.
- [240] V. Gupta, N. Miura, Potentiostatically deposited nanostructured α-Co(OH)₂: a high performance electrode material for redox-capacitors, *Electrochem. Commun.* 9 (2007) 2315–2319, doi: 10.1016/j.elecom.2007.06.041.
- [241] P.K. Nayak, N. Munichandraiah, Cobalt hydroxide as a capacitor material: tuning its potential window, *J. Electrochem. Soc.* 155 (2008) A855–A861, doi: 10.1149/1.2977976.
- [242] E.B. Castro, S.G. Real, L.F.D. Pinheiro, Electrochemical characterization of porous nickel-cobalt oxide electrodes, *Int. J. Hydrogen Energy* 29 (2004) 255–261, doi: 10.1016/S0360-3199(03)00133-2.

- [243] M.S. Wu, Y.A. Huang, J.J. Jow, W.D. Yang, C.Y. Hsieh, H.M. Tsai, Anodically potentiostatic deposition of flaky nickel oxide nanostructures and their electrochemical performances, *Int. J. Hydrogen Energy* 33 (2008) 2921– 2926, doi: 10.1016/j.ijhydene.2008.04.012.
- [244] V. Gupta, T. Kawaguchi, N. Miura, Synthesis and electrochemical behavior of nanostructured cauliflower-shape Co–Ni/Co–Ni oxides composites, *Mater. Res. Bull.* 44 (2009) 202–206, doi: 10.1016/j.materresbull.2008.04.020.
- [245] R.S. Jayashree, P.V. Kamth, Suppression of the $\alpha \rightarrow \beta$ -nickel hydroxide transformation in concentrated alkali: role of dissolved cations, *J. Electrochem. Appl.* 31 (2001) 1315–1320, doi: 10.1023/A:1013876006707.
- [246] K.W. Nam, K.H. Kim, E.S. Lee, W.S. Yoon, X.Q. Yang, K.B. Kim, Pseudocapacitive properties of electrochemically prepared nickel oxides on 3-dimensional carbon nanotube film substrates, *J. Power Sources* 182 (2008) 642–652, doi: 10.1016/j.jpowsour.2008.03.090.
- [247] Y.G. Wang, Y.Y. Xia, Electrochemical capacitance characterization of NiO with ordered mesoporous structure synthesized by template SBA-15, *Electrochim. Acta* 51 (2006) 3223–3227, doi: 10.1016/j.electacta.2005.09.013.
- [248] H. Li, Y. Li, R. Wang, R. Cao, Synthesis and electrochemical capacitor performance of mesostructured nickel oxide/carbon composites by a co-casting method, *J. Alloys Compd.* 481 (2009) 100–105, doi: 10.1016/j.jallcom.2009.03.058.
- [249] K.C. Liu, M.A. Anderson, Porous nickel oxide/nickel films for electrochemical capacitors, *J. Electrochem. Soc.* 143 (1996) 124–130, doi: 10.1149/1.1836396.
- [250] U.M. Patil, R.R. Salunkhe, K.V. Gurav, C.D. Lokhande, Chemically deposited nanocrystalline NiO thin films for supercapacitor application, *Appl. Surf. Sci.* 255 (2008) 2603–2607, doi: 10.1016/j.apsusc.2008.07.192.
- [251] J. Cheng, G.P. Cao, Y.S. Yang, Characterization of sol–gel-derived NiO_x xerogels as supercapacitors, *J. Power Sources* 159 (2006) 734–741, doi: 10.1016/j.jpowsour.2005.07.095.
- [252] D.W. Wang, F. Li, H.M. Cheng, Hierarchical porous nickel oxide and carbon as electrode materials for asymmetric supercapacitor, *J. Power Sources* 185 (2008) 1563–1568, doi: 10.1016/j.jpowsour.2008.08.032.
- [253] D.D. Zhao, S.J. Bao, W.J. Zhou, H.L. Li, Preparation of hexagonal nanoporous nickel hydroxide film and its application for electrochemical capacitor, *Electrochem. Commun.* 9 (2007) 869–874, doi: 10.1016/j.elecom.2006.11.030.
- [254] M.S. Wu, Y.A. Huang, C.H. Yang, J.J. Jow, Electrodeposition of nanoporous nickel oxide film for electrochemical capacitors, *Int. J. Hydrogen Energy* 32 (2007) 4153–4159, doi: 10.1016/j.ijhydene.2007.06.001.

- [255] Z. Fan, J. Chen, K. Cui, F. Sun, Y. Xu, Y. Kuang, Preparation and capacitive properties of cobalt–nickel oxides/ carbon nanotube composites, *Electrochim. Acta* 52 (2007) 2959–2965, doi: 10.1016/j.electacta.2006.09.029.
- [256] J. Lee, K. Liang, K. An, Y. Lee, Nickel oxide/carbon nanotubes nanocomposite for electrochemical capacitance, *Synth. Met.* 150 (2005) 153–157, doi: 10.1016/j.synthmet.2005.01.016.
- [257] K.W. Nam, E.S. Lee, J.H. Kim, Y.H. Lee, K.B. Kim, Synthesis and electrochemical investigations of Ni_{1-x}O thin films and Ni_{1-x}O on three-dimensional carbon substrates for electrochemical capacitors, *J. Electrochem. Soc.* 152 (2005) A2123–A2129, doi: 10.1149/1.2039647.
- [258] T.N. Ramesh, P.V. Kamath, C. Shivakumara, Correlation of structural disorder with the reversible discharge capacity of nickel hydroxide electrode, *J. Electrochem. Soc.* 152 (2005) A806–A810, doi: 10.1149/1.1865852.
- [259] X. Zhang, W. Shi, J. Zhu, W. Zhao, J. Ma, S. Mhaisalkar, T.L. Maria, Y. Yang, H. Zhang, H.H. Hng, Q. Yan, Synthesis of porous NiO nanocrystals with controllable surface area and their application as supercapacitor electrodes, *Nano Res.* 3 (2010) 643–652, doi: 10.1007/s12274-010-0024-6.
- [260] J.W. Lang, L.B. Kong, W.J. Wu, Y.C. Luo, L. Kang, Facile approach to prepare loose-packed NiO nano-flakes materials for supercapacitors, *Chem. Commun.* (2008) 4213–4215, doi: 10.1039/B800264A.
- [261] Y. Ren, L. Gao, From three-dimensional flower-like $\alpha\text{-Ni(OH)}_2$ nanostructures to hierarchical porous NiO nanoflowers: microwave-assisted fabrication and supercapacitor properties, *J. Am. Ceram. Soc.* 93 (2010) 3560–3564, doi: 10.1111/j.1551-2916.2010.04090.x.
- [262] C. Yuan, X. Zhang, L. Su, B. Gao, L. Shen, Facile synthesis and self-assembly of hierarchical porous NiO nano/ micro spherical superstructures for high performance supercapacitors, *J. Mater. Chem.* 19 (2009) 5772–5777, doi: 10.1039/B902221J.
- [263] J. Zhu, J. Jiang, J. Liu, R. Ding, H. Ding, Y. Feng, G. Wei, X. Huang, Direct synthesis of porous NiO nanowall arrays on conductive substrates for supercapacitor application, *J. Solid State Chem.* 184 (2011) 578–583, doi: 10.1016/j.jssc.2011.01.019.
- [264] C.Y. Cao, W. Guo, Z.M. Cui, W.G. Song, W. Cai, Microwave-assisted gas/liquid interfacial synthesis of flowerlike NiO hollow nanosphere precursors and their application as supercapacitor electrodes, *J. Mater. Chem.* 21 (2011) 3204–3209, doi: 10.1039/C0JM03749D.
- [265] Y. Hu, Y.V. Tolmachev, D.A. Scherson, Rotating ring-disk studies of oxidized nickel hydrous oxide: oxygen evolution and pseudocapacitance, *J. Electroanal. Chem.* 468 (1999) 64–69, doi: 10.1016/S0022-0728(99)00029-7.
- [266] J.-W. Lang, L.B. Kong, W.J. Wu, M. Liu, Y.C. Luo, L. Kang, A facile approach to the preparation of loose-packed Ni(OH)_2 nanoflake materials for electrochemical capacitors, *J. Solid State Electrochem.* 13 (2009) 333, doi: 10.1007/s10008-008-0560-0.

- [267] Y.Y. Liang, S.J. Bao, H.L. Li, Nanocrystalline nickel cobalt hydroxides/ultrastable Y zeolite composite for electrochemical capacitors, *J. Solid State Electrochem.* 11 (2007) 571–576, doi: 10.1007/s10008-006-0197-9.
- [268] Z.A. Hu, Y.L. Xie, Y.X. Wang, H.Y. Wu, Y.Y. Yang, Z.Y. Zhang, Synthesis and electrochemical characterization of mesoporous $\text{Co}_x\text{Ni}_{1-x}$ layered double hydroxides as electrode materials for supercapacitors, *Electrochim. Acta* 54 (2009) 2737–2741, doi: 10.1016/j.electacta.2008.11.035.
- [269] J. Zhang, L.B. Kong, J.J. Cai, H. Li, Y.C. Luo, L. Kang, Hierarchically porous nickel hydroxide/mesoporous carbon composite materials for electrochemical capacitors, *Microporous Mesoporous Mater.* 132 (2010) 154–162, doi: 10.1016/j.micromeso.2010.02.013.
- [270] K.B. Xu, R.J. Zou, W.Y. Li, Y.F. Xue, G.S. Song, Q. Liu, X.J. Liu, J.Q. Hu, Self-assembling hybrid $\text{NiO}/\text{Co}_3\text{O}_4$ ultrathin and mesoporous nanosheets into flower-like architectures for pseudocapacitance, *J. Mater. Chem. A* 1 (2013) 9107–9113, doi: 10.1039/C3TA11099K.
- [271] T.Y. Wei, C.H. Chen, H.C. Chien, S.Y. Lu, C.C. Hu, A cost-effective supercapacitor material of ultrahigh specific capacitances: spinel nickel cobaltite aerogels from an epoxide-driven sol-gel process, *Adv. Mater.* 22 (2010) 347–351, doi: 10.1002/adma.200902175.
- [272] Z.B. Wu, Y.R. Zhu, X.B. Ji, NiCo_2O_4 -based materials for electrochemical supercapacitors, *J. Mater. Chem. A* 2 (2014) 14759–14772, doi: 10.1039/C4TA02390K.
- [273] J. Du, G. Zhou, H.M. Zhang, C. Cheng, J.M. Ma, W.F. Wei, L.B. Chen, T.H. Wang, Ultrathin porous NiCo_2O_4 nanosheet arrays on flexible carbon fabric for high-performance supercapacitors, *ACS Appl. Mater. Interfaces* 5 (2013) 7405–7409, doi: 10.1021/am4017335.
- [274] C.Z. Yuan, J.Y. Li, L.R. Hou, L. Yang, L.F. Shen, X.G. Zhang, Facile template-free synthesis of ultralayered mesoporous nickel cobaltite nanowires towards high-performance electrochemical capacitors, *J. Mater. Chem.* 22 (2012) 16084–16090, doi: 10.1039/C2JM32351F.
- [275] N. Padmanathan, S. Selladurai, Solvothermal synthesis of mesoporous NiCo_2O_4 spinel oxide nanostructure for high-performance electrochemical capacitor electrode, *Ionics* 19 (2013) 1535–1544, doi: 10.1007/s11581-013-0907-0.
- [276] Y.F. Zhang, M.Z. Ma, J. Yang, H.Q. Su, W. Huang, X.C. Dong, Selective synthesis of hierarchical mesoporous spinel NiCo_2O_4 for high-performance supercapacitors, *Nanoscale* 6 (2014) 4303–4308, doi: 10.1039/C3NR06564B.
- [277] N.L. Wu, Nanocrystalline oxide supercapacitors, *Mater. Chem. Phys.* 75 (2002) 6–11, doi: 10.1016/S0254-0584(02)00022-6.
- [278] S.L. Kuo, N.L. Wu, Composite supercapacitor containing tin oxide and electroplated ruthenium oxide, *Electrochem. Solid-State Lett.* 6 (2003) A85–A87, doi: 10.1149/1.1563872.

- [279] K.R. Prasad, N. Miura, Electrochemical synthesis and characterization of nanostructured tin oxide for electrochemical redox supercapacitors, *Electrochim. Commun.* 6 (2004) 849–852, doi: 10.1016/j.elecom.2004.06.009.
- [280] M. Jayalakshmi, N. Venugopal, K.P. Raja, M.M. Rao, Nano SnO₂–Al₂O₃ mixed oxide and SnO₂–Al₂O₃–carbon composite oxides as new and novel electrodes for supercapacitor applications, *J. Power Sources* 158 (2006) 1538–1543, doi: 10.1016/j.jpowsour.2005.10.091.
- [281] L. Mai, L. Xu, C. Han, X. Xu, Y. Luo, S. Zhao, Y. Zhao, Electrospun ultralong hierarchical vanadium oxide nanowires with high performance for lithium ion batteries, *Nano Lett.* 10 (2010) 4750–4755, doi: 10.1021/nl103343w.
- [282] D. Chao, X. Xia, J. Liu, Z. Fan, C.F. Ng, J. Lin, H. Zhang, Z.X. Shen, H.J. Fan, A V₂O₅/conductive-polymer core/ shell nanobelt array on three-dimensional graphite foam: a high-rate, ultrastable, and freestanding cathode for lithium-ion batteries, *Adv. Mater.* 26 (2014) 5794–5800, doi: 10.1002/adma.201400719.
- [283] D. Chao, C. Zhu, X. Xia, J. Liu, X. Zhang, J. Wang, P. Liang, J. Lin, H. Zhang, Z.X. Shen, H.J. Fan, Graphene quantum dots coated VO₂ arrays for highly durable electrodes for Li and Na ion batteries, *Nano Lett.* 15 (2015) 565–573, doi: 10.1021/nl504038s.
- [284] Q. An, Q. Wei, P. Zhang, J. Sheng, K.M. Hercule, F. Lv, Q. Wang, X. Wei, L. Mai, Three-dimensional interconnected vanadium pentoxide nanonetwork cathode for high-rate long-life lithium batteries, *Small* 11 (2015) 2654–2660, doi: 10.1002/smll.201403358.
- [285] R. Sun, Q. Wei, Q. Li, W. Luo, Q. An, J. Sheng, D. Wang, W. Chen, L. Mai, Vanadium sulfide on reduced graphene oxide layer as a promising anode for sodium ion battery, *ACS Appl. Mater. Interfaces* 7 (2015) 20902–20908, doi: 10.1021/acsami.5b06385.
- [286] Q. Wei, S. Tan, X. Liu, M. Yan, F. Wang, Q. Li, Q. An, R. Sun, K. Zhao, H. Wu, L. Mai, Novel polygonal vanadium oxide nanoscrolls as stable cathode for lithium storage, *Adv. Funct. Mater.* 25 (2015) 1773–1779, doi: 10.1002/adfm.201404311.
- [287] Q. Wei, Z. Jiang, S. Tan, Q. Li, L. Huang, M. Yan, L. Zhou, Q. An, L. Mai, Electrospun ultralong hierarchical vanadium oxide nanowires with high performance for lithium ion batteries, *Nano Lett.* 10 (2010) 4750–4755, doi: 10.1021/nl103343w.
- [288] C. Wu, F. Feng, Y. Xie, Design of vanadium oxide structures with controllable electrical properties for energy applications, *Chem. Soc. Rev.* 42 (2013) 5157–5183, doi: 10.1039/C3CS35508J.
- [289] H.Y. Lee, J.B. Goodenough, Ideal supercapacitor behavior of amorphous V₂O₅·nH₂O in potassium chloride (KCl) aqueous solution, *J. Solid State Chem.* 148 (1999) 81–84, doi: 10.1006/jssc.1999.8367.
- [290] K. Jeyalakshmi, S. Vijayakumar, K.K. Purushothaman, G. Muralidharan, Nanostructured nickel doped β -V₂O₅ thin films for supercapacitor applications, *Mater. Res. Bull.* 48 (2013) 2578–2582, doi: 10.1016/j.materresbull.2013.03.007.

- [291] H. Wang, Z. Tang, J. Li, Study on the capacitance performance of Sn⁴⁺-doped V₂O₅, *J. Solid State Electrochem.* 14 (2010) 1525–1531, doi:10.1007/s10008-009-0964-5.
- [292] C. Lai, C. Lin, S. Lee, H. Li, J. Chang, M. Deng, Nanostructured Na-doped vanadium oxide synthesized using an anodic deposition technique for supercapacitor applications, *J. Alloys Compd.* 536S (2012) S428–S431, doi: 10.1016/j.jallcom.2011.12.038.
- [293] M.T. Lee, J.K. Chang, W.T. Tsai, Effects of iron addition on material characteristics and pseudo-capacitive behavior of Mn-oxide electrodes, *J. Electrochem. Soc.* 154 (2007) A875–A881, doi: 10.1149/1.2755880.
- [294] B. Saravanakumar, K. Purushothamanb, G. Muralidharan, MnO₂ grafted V₂O₅ nanostructures: formation mechanism, morphology and supercapacitive features, *CrystEngComm* 16 (2014) 10711–10720, doi: 10.1039/C4CE01476F.
- [295] T. Kudo, Y. Ikeda, T. Watanabe, M. Hibino, M. Miyayama, H. Abe, K. Kajita, Amorphous V₂O₅/carbon composites as electrochemical supercapacitor electrodes, *Solid State Ion.* 152 (2002) 833–841, doi: 10.1016/S0167-2738(02)00383-1.
- [296] T. Watanabe, Y. Ikeda, T. Ono, M. Hibino, M. Hosoda, K. Sakai, T. Kudo, Characterization of vanadium oxide sol as a starting material for high rate intercalation cathodes, *Solid State Ion.* 151 (2002) 313–320, doi: 10.1016/S0167-2738(02)00729-4.
- [297] L. Li, S. Peng, H. Wu, L. Yu, S. Madhavi, X.W. Lou, A flexible quasi-solid-state asymmetric electrochemical capacitor based on hierarchical porous V₂O₅ nanosheets on carbon nanofibers, *Adv. Energy Mater.* 5 (2015) 1500753, doi: 10.1002/aenm.201500753.
- [298] B. Wang, K. Konstantinov, D. Wexler, H. Liu, G. Wang, Synthesis of nanosized vanadium pentoxide/carbon composites by spray pyrolysis for electrochemical capacitor application, *Electrochim. Acta* 54 (2009) 1420–1425, doi: 10.1016/j.electacta.2008.09.028.
- [299] J. Shao, X. Li, Q. Qu, H. Zheng, One-step hydrothermal synthesis of hexangular starfruit-like vanadium oxide for high power aqueous supercapacitors, *J. Power Sources* 219 (2012) 253–257, doi:10.1016/j.jpowsour.2012.07.045.
- [300] X. Pan, Y. Zhao, G. Ren, Z. Fan, Highly conductive VO₂ treated with hydrogen for supercapacitors, *Chem. Commun.* 49 (2013) 3943–3945, doi: 10.1039/C3CC00044C.
- [301] L. Liang, H. Liu, W. Yang, Fabrication of VO₂(B) hybrid with multiwalled carbon nanotubes to form a coaxial structure and its electrochemical capacitance performance, *J. Alloys Compd.* 559 (2013) 167–173, doi: 10.1016/j.jallcom.2013.01.111.
- [302] H. Liu, Y. Wang, H. Li, W. Yang, H. Zhou, Flowerlike vanadium sesquioxide: solvothermal preparation and electrochemical properties, *ChemPhysChem* 111 (2010) 3273–3280, doi: 10.1002/cphc.201000436.

فصل سوم

کاربرد مواد الکتروولیتی در ابرخازن های الکتروشیمیایی

۱- مقدمه

الکتروولیت یکی از اجزای سازنده و تأثیرگذار در تنظیم عملکرد هر دستگاه انرژی الکتروشیمیایی است. افزایش دانسیته انرژی ابرخازن های الکتروشیمیایی که تا محدوده 10 Wh Kg^{-1} برای خازن های لایه دوگانه الکتریکی و 5 Wh Kg^{-1} برای شبکه خازن ها و خازن های هیبریدی ضروری می باشد. در سال های اخیر، تلاش های گسترش این دانسیته برای افزایش دانسیته انرژی ابرخازن ها و گسترش دامنه کاربرد آنها انجام شده است [۲]. از آنجایی که دانسیته انرژی (E) در ابرخازن ها متناسب با ظرفیت (C) و مجدور ولتاژ (V) می باشد ($E = 1/2 CV^2$)، افزایش ظرفیت و ولتاژ سلول باعث افزایش مستقیم دانسیته انرژی می شود. این مسئله می تواند با استفاده از مواد الکتروودی پیشرفت به با ظرفیت بالا، الکتروولیت هایی (نمک الکتروولیت + حلal) با پنجره های پتانسیلی وسیع تر و سیستم های یکپارچه یا ساختارهای پیشرفت سلول با ساختاری بهینه انجام شود. در سال های اخیر تلاش های زیادی در این زمینه انجام شده است که خلاصه ای از این کار ها به شرح زیر می باشد:

(۱) افزایش ظرفیت خازنی الکترودهای بر پایه کربن با ترکیب ساختارهای جدید کربنی با مساحت سطح ویژه بالا [۳].

(۲) توسعه شبکه خازن ها بر اساس مواد شبکه خازنی، مانند اکسیدهای فلزی و پلیمرهای رسانا با ظرفیت ویژه بالا [۴].

(۳) افزایش ولتاژ سلول از طریق ساخت و توسعه الکتروولیت های جدید

(۴) بررسی ابرخازن ها بر اساس مفاهیم و ساختارهای جدید، مانند خازن های هیبریدی یا نامتقارن (به عنوان مثال، خازن های یون لیتیوم)

با این حال، در طول توسعه الکتروولیت های پیشرفت به برای هر دستگاه الکتروشیمیایی، ضروری است که تعامل و سازگاری احتمالی آنها با مواد الکتروودی و سایر اجزای الکتروود در نظر گرفته شود.

همانطور که قبلا در مورد معادله $E = 1/2 CV^2$ اشاره شد، با توجه به توسعه الکتروولیت ها در ابرخازن ها و در نتیجه گسترش پنجره پتانسیلی محلول الکتروولیت (افزایش ولتاژ)، دانسیته انرژی به طور موثری افزایش پیدا می کند.

همانطور که در این معادله مشخص است، ولتاژ سلول (با توجه به مجازور ولتاژ در فرمول) می‌تواند از اهمیت بالاتری نسبت به ظرفیت الکترود برخوردار باشد و جهت دستیابی به دانسیته انرژی کارآمدتر مورد بررسی قرار گیرد. با توجه به این موضوع، توسعه الکتروولیت‌های جدید با پنجره‌های پتانسیلی گستردگی در مقایسه با مواد جدید الکترودی از اهمیت بالاتری برخوردار می‌باشند. به عنوان مثال، ابر خازن‌های مبتنی بر الکتروولیت‌های آبی، معمولاً پنجره پتانسیل عملیاتی در حدود ۱-۳ را دارا می‌باشند، در حالی که الکتروولیت‌های آلی و مایع‌های یونی به ترتیب دارای پنجره‌های پتانسیلی ۲.۷-۲.۵ و ۴-۳.۵ ولت می‌باشند. همچنین، برهمکنش‌ها بین نمک الکتروولیت و حلال نیز در ایجاد سایر خواص مهم مانند دانسیته توان، مقاومت درونی، عملکرد سرعت، دامنه عملکرد دمایی، بازده چرخه‌ای، طول عمر، تخلیه خودبخودی و سمیت نقش اساسی دارد.

جدول ۳-۱- تاثیر پارامترهای مختلف الکتروولیت بر روی عملکرد ابرخازن‌ها [۵]

Capacitance	ESR	Energy density	Power density	Thermal Stability	Cycle life
Ion size	Ionic conductivity	Concentration	Ionic conductivity	Boiling point	Stability
Matching between ion size and pore size	Ionic mobility	Electrochemical stability	Potential window	Freezing point	Ion-electrode material interaction
	Viscosity		Ion-electrode material interaction	Salt solubility	

علاوه بر اهمیت پنجره پتانسیلی الکتروولیت، تعامل بین الکتروولیت و مواد الکترودی نیز نقش موثری در عملکرد ابرخازن‌ها دارد. به عنوان مثال، تطابق بین اندازه یون‌های الکتروولیت و اندازه منافذ ماده الکترودی کربنی، تأثیر زیادی بر روی ظرفیت ویژه قابل دسترس دارد. هدایت یونی الکتروولیت‌ها، نقش مهمی در مقاومت داخلی ابرخازن‌ها خصوصاً در الکتروولیت‌های آلی و مایعات یونی دارد. ویسکوزیته، نقطه جوش و نقطه انجماد الکتروولیت‌ها نیز مستقیماً می‌توانند بر پایداری حرارتی و در نتیجه دامنه عملکرد ابرخازن‌ها تأثیر گذار باشند. همانطور که مشاهده شده است، از بین رفتن و کاهش عملکرد ابرخازن‌ها نیز به تجزیه الکتروشیمیایی الکتروولیت‌ها مربوط می‌شود.

در مورد تحولات الکترولیت‌ها در ابرخازن‌ها، طیف وسیعی از الکترولیت‌ها، مانند الکترولیت‌های آبی، الکترولیت‌های آلی، الکترولیت‌های مایعات یونی، الکترولیت‌های نوع اکسیداسیون-احیاء و الکترولیت‌های جامد یا نیمه جامد مورد بررسی قرار گرفته و در چند دهه گذشته پیشرفت چشمگیری داشته‌اند. به عنوان مثال، گزارش شده است که پنجره پتانسیل عملکردی ابرخازن‌های مبتنی بر الکترولیت‌های آبی با استفاده از الکترولیت‌های آبی خنثی تا حد ۲ ولت قابل افزایش است. اخیراً، طیف گسترده‌ای از الکترولیت‌های آلی جدید با پنجره‌های پتانسیلی گسترده‌تر و سمیت کمتر در مقایسه با الکترولیت‌های آلی تجاری برای ابرخازن‌ها ایجاد شده است. تحقیقات در زمینه الکترولیت‌های جامد یا نیمه جامد منجر به اختراع ابرخازن‌های حالت انعطاف پذیر یا حالت جامد شده است که برخلاف، ابرخازن‌های مبتنی بر الکترولیت مایع هیچ مشکل نشستی از خود نشان ندادند.

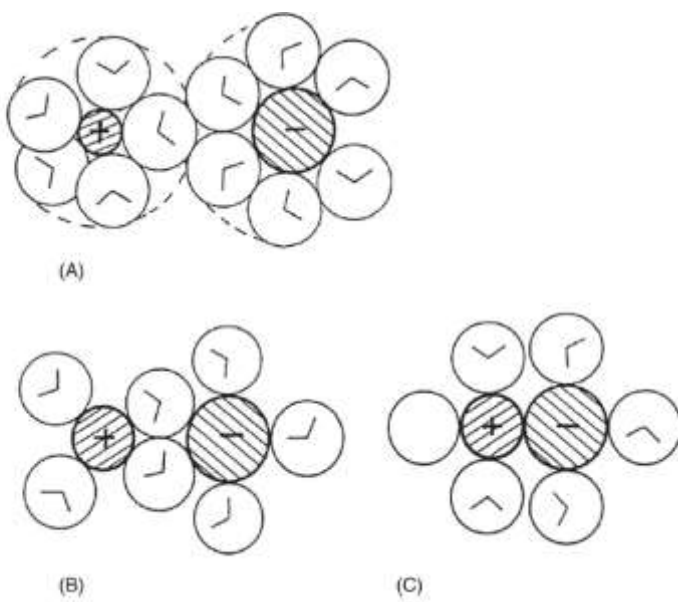
همچنین از ویژگی‌های یک الکترولیک ایده آل می‌توان به: ۱- پنجره پتانسیلی گسترده ۲- هدایت یونی بالا ۳- پایداری شیمیایی و الکتروشیمیایی بالا ۴- بی اثر بودن شیمیایی و الکتروشیمیایی زیاد نسبت به اجزای ابرخازن‌ها (مانند الکترودها، جمع کننده‌های جریان و بسته بندی و غیره). ۵- محدوده دمای عملیاتی گسترده ۶- مطابقت خوب با مواد الکترودی ۷- نوسان و اشتعال کم ۸- سازگاری با محیط زیست و ۹- کم هزینه بودن اشاره کرد. به طور کلی هر الکترولیت مزايا و محدودیت‌های خاص خود را دارد و به ندرت می‌توان الکترولیتی یافت که تمام این نیازها را برآورده سازد.

۲-۳ مواد و ترکیبات الکترولیت مورد استفاده در ابرخازن‌های الکتروشیمیایی

الکترولیت که از نمک الکترولیت + حلal تشکیل شده است، یکی از اجزای اصلی ابرخازن‌ها به حساب می‌آید که هدایت یونی را فراهم می‌کند و بنابراین جریان بار در هر سل الکترود را تسهیل می‌نماید. الکترولیت نه تنها نقش اساسی در شکل گیری خازن‌های لایه دوگانه الکتریکی و روند اکسایش-کاهش برگشت پذیر برای ذخیره بار (در شبه خازن‌ها) را دارا می‌باشد، بلکه عملکرد ابرخازن را نیز تعیین می‌کند (شکل ۳-۱).

نقش الکتروولیت‌ها در عملکرد ابرخازن‌ها

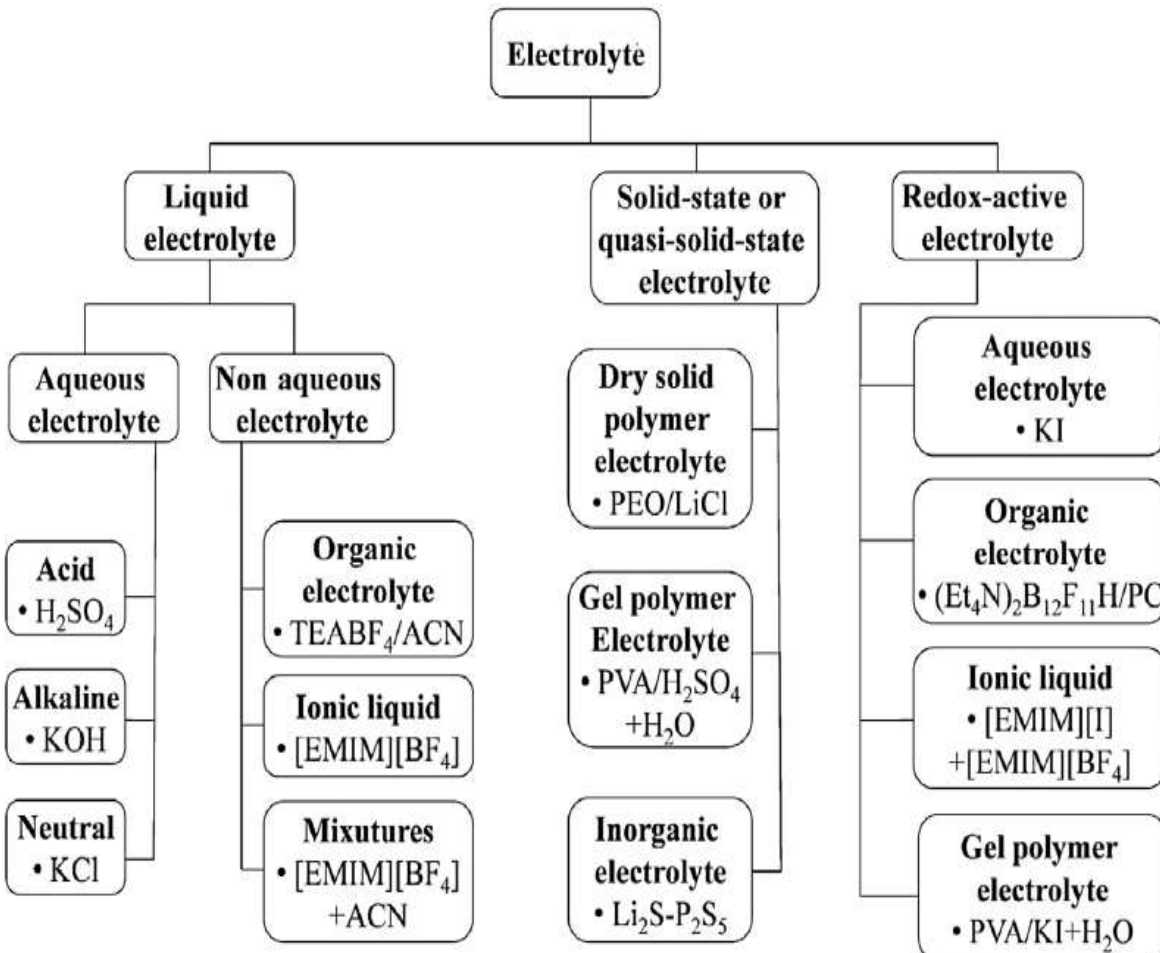
خصوصیات سیستم محلول- الکتروولیت (حلال + املاح نمک) که برای خازن‌های الکتروشیمیایی استفاده می‌شود، از سه طریق بر رفتار الکتریکی آن‌ها تأثیر می‌گذارد: در ابتدا، بر هدایت الکتروولیت در دستگاه و مقاومت سری معادل^۱ آن و بنابراین قابلیت آن برای خروجی برق تأثیر می‌گذارد. مورد دوم از طریق جذب آنیون از الکتروولیت می‌باشد که تا حدی بر ظرفیت خازنی دو لایه خاص، به ویژه در پتانسیل‌های مثبت به بار بالقوه صفر ماده الکترود کربن تأثیر می‌گذارد. مورد سوم از طریق خصوصیات دی الکتریکی حلال که مقدار ظرفیت دو لایه خالص و وابستگی آن به پتانسیل الکترود و همچنین میزان یونیزاسیون یا جفت شدن یون نمک املاح را تعیین می‌کند، که بر هدایت تأثیر می‌گذارد. دو عامل اصلی درگیر در هدایت عبارتند از: ۱) غلظت بارهای آزاد، کاتیون‌ها و آنیون‌ها و یک نمک یا املاح محلول اسیدی (۲) تحرکات یونی یا سهم هدایت در هر یون از یون‌های جدا شده املاح الکتروولیت.



شکل ۳-۱ ا نوع جفت یون‌های موجود در محلول و سطح الکتروولیت را نشان می‌دهد^[۶]

در حال حاضر، در ساخت بیشتر ابرخازن‌های تجاری، از الکتروولیت‌های آلی با ولتاژ سلول ۲.۵-۲.۸ ولت استفاده می‌شود. بیشتر ابرخازن‌های مبتنی بر الکتروولیت‌های آلی از استونیتریل (ACN) و پروپیلن کربنات (PC) به عنوان حلال استفاده می‌نمایند. ماهیت الکتروولیت‌ها شامل: ۱- نوع و اندازه یون ۲- غلظت یون و حلال ۳- برهمکنش بین

یون و حلال ۴- برهمکنش بین الکتروولیت و مواد الکتروودی ۵- پنجره پتانسیلی در ظرفیت، چگالی انرژی/توان و عمر چرخه تاثیر دارند. به عنوان مثال، پایداری الکتروشیمیایی پنجره پتانسیلی^۱ (ESPW) الکتروولیت به طور مستقیم ولتاژ عملیاتی سلول ابرخازن را اندازه گیری می نماید، که از طریق آن هر دو دانسیته انرژی و توان تحت تأثیر قرار می گیرند. مقاومت سری یک ابرخازن با هدایت یونی الکتروولیت ارتباط مستقیم دارد و تأثیر قابل توجهی بر دانسیته توان دارد. علاوه بر این، برهمکنش بین یون و حلال و برهم کنش بین الکتروولیت و ماده الکتروودی می تواند بر طول عمر و تخلیه خود به خودی ابرخازن تأثیر بگذارد. در چند سال اخیر انواع مختلفی از الکتروولیتها مورد مطالعه قرار گرفته اند که در ادامه این الکتروولیتها به طور کامل مورد بحث قرار می گیرند. همانطور که در شماتیک ۲-۳ نشان داده شده است، این الکتروولیتها به طور گستردگی ای به عنوان الکتروولیتهای مایع و الکتروولیتهای حالت جامد /شبه حالت جامد طبقه بندی می شوند. به طور کلی، الکتروولیتهای مایع را سه دسته آبی، آلی و مایعات یونی تشکیل می دهند، در حالی که الکتروولیتهای حالت جامد یا نیمه جامد را می توان به الکتروولیتهای آلی و غیر آلی تقسیم کرد. هر الکتروولیت مزايا و معایب خاص خود را دارد. به عنوان مثال، الکتروولیتهای آبی، دارای هدایت و ظرفیت بالایی می باشند، اما ولتاژ کار آنها توسط ولتاژ تجزیه مولکولهای آب محدود می شود. اگرچه الکتروولیتهای آلی و مایعات یونی در ولتاژهای بالاتر دارای کارایی مناسب می باشند، اما به طور معمول دارای هدایت یونی کمتری هستند. الکتروولیتهای حالت جامد ممکن است از مسائل مربوط به نشت الکتروولیتهای مایع جلوگیری کنند، اما از هدایت کم نیز رنج می برند. برای غلبه بر معایب الکتروولیتها، تلاش های زیادی برای کشف مواد جدید الکتروولیتی در راستای بهبود عملکرد کلی ابرخازنها انجام شده است. در این زمینه، در ارتباط با توسعه مواد الکتروولیتی رویکردهای مختلفی از جمله: (۱) توسعه الکتروولیتهای جدید با عملکرد موثر برای دستیابی به یک پنجره پتانسیلی گستردگر، هدایت و ویسکوزیته یونی بالاتر، دامنه دمایی گستردگر و... ۲- کشف اثرات مطلوب الکتروولیتها بر عملکرد ابرخازنها، مانند ظرفیت، دانسیته انرژی و توان، پایداری حرارتی و فرآيند تخلیه خودبخودی. (۳) ایجاد یک درک اساسی از اثر الکتروولیت بر عملکرد ابرخازنها از طریق مدل سازی، شبیه سازی و آزمایش های پیشرفته انجام شده است.



شکل ۳-۲ طبقه بندی الکتروولیت های مورد استفاده در ابر خازن های الکتروشیمیایی

۱-۲-۳ الکتروولیت های آبی

از نظر دانسیته انرژی، الکتروولیت های آبی به دلیل محدود بودن پنجره پتانسیلی، استفاده بسیار پایینی در ابرخازن های تجاری دارند و این دلیل اصلی برای انتخاب الکتروولیت های آلی برای ابرخازن های تجاری می باشد. با این حال، الکتروولیت های آبی به طور گستردگی در تحقیق و توسعه مورد بررسی قرار گرفته اند، به عنوان مثال، تقریباً ۸۰ درصد از مقالات منتشر شده از الکتروولیت های آبی برای ابرخازن ها استفاده می کنند [۷]. این امر عمدتاً به دلیل ارزان بودن الکتروولیت های آبی و همچنین در صورت عدم وجود شرایط خاص، به راحتی می توان از آن ها در آزمایشگاه

استفاده کرد. به طور معمول، الکترولیت های آبی هدایت بالایی از خود نشان می دهند (به عنوان مثال، 0.8 S cm^{-1})

برای اسید سولفوریک ۱ مولار در ۲۵ درجه سانتیگراد)، که حداقل یک مرتبه بزرگتر از الکترولیت های آبی و مایعات یونی است [۸]. این امر برای کاهش مقاومت سری و ترویج انتقال بهتر انرژی مفید است. به طور کلی، معیارهای انتخاب الکترولیت های آبی اساساً بر اساس اندازه کاتیون ها و آنیون های آزاد و تحرک یون ها می باشد (جدول ۲-۳)، که نه تنها بر هدایت یونی بلکه بر مقدار ظرفیت ویژه نیز تأثیر می گذارد. علاوه بر این، پایداری الکترو شیمیایی پنجره پتانسیلی و میزان خورندگی الکترولیت نیز باید در نظر گرفته شود. به طور کلی، الکترولیت های آبی را می توان به محلول های اسیدی، قلیایی و خنثی تقسیم کرد که در آنها اسید سولفوریک، پتانسیم هیدروکسید و سدیم سولفات از اصلی ترین محلول ها به به حساب می آیند. همان طور که پیشتر عنوان شد، پایداری الکتروشیمیایی پنجره پتانسیلی نسبتاً محدود الکترولیت های آبی، از معیاب اصلی این الکترودها به حساب می آید که با تجزیه آب محدود می شود. به عنوان مثال، تجزیه آب و ایجاد هیدروژن در پتانسیل الکترود منفی حدود ۰ ولت نسبت به الکترود مرجع SHE رخ می دهد، و تجزیه آب و ایجاد اکسیژن در پتانسیل الکترود مثبت حدود ۱.۲۳ ولت می باشد که ابرخازن حاصل یک ولتاژ سلول در حدود ۱.۲۳ ولت را دارا می باشد. رهاسازی گاز به طور بالقوه باعث پارگی سلول های ابرخازن و همچنین باعث تهدید کردن ایمنی و کاهش عملکرد آن نیز می شود. در جدول ۲-۳، عملکرد ابرخازن های معمولی مبتنی بر الکترولیت های آبی ذکر شده است.

جدول ۲-۳ اندازه یون‌های آزاد و هیدراته، و مقادیر هدایت یونی.

Ion	Bare ion size (Å)	Hydrated ion size (Å)	Ionic conductivity (S cm ² mol ⁻¹)
H ⁺	1.15	2.80	350.1
Li ⁺	0.60	3.82	38.69
Na ⁺	0.95	3.58	50.11
K ⁺	1.33	3.31	73.5
NH ₄ ⁺	1.48	3.31	73.7
Mg ²⁺	0.72	4.28	106.12
Ca ²⁺	1.00	4.12	119
Ba ²⁺	1.35	4.04	127.8
Cl ⁻	1.81	3.32	76.31
NO ₃ ⁻	2.64	3.35	71.42
SO ₄ ²⁻	2.90	3.79	160.0
OH ⁻	1.76	3.00	198
ClO ₄ ²⁻	2.92	3.38	67.3
PO ₄ ³⁻	2.23	3.39	207
CO ₃ ²⁻	2.66	3.94	138.6

همچنین در این جدول عملکرد الکترولیت‌های آبی در ابرخازن‌ها ذکر شده است. همانطور که مشخص است، بدون در نظر گرفتن ماده الکترودی، ولتاژ سلول برای الکترولیت‌های اسیدی و قلیایی در حدود ۱.۳ ولت می‌باشد. همچنین، بالاترین ولتاژ سلول گزارش شده برای الکترولیت‌های خنثی در حدود ۲.۲ ولت می‌باشد.

جدول ۳-۳ ابر خازن‌های مبتنی بر الکترولیت‌های آبی و عملکرد آن‌ها.

Aqueous electrolyte/concentration (M)	Electrode materials	Specific capacitance (F g^{-1})	Cell voltage (V)	Energy density (Wh kg^{-1})	Power density (W kg^{-1})	Temperature (°C)
<i>Strong acid electrolyte</i>						
$\text{H}_2\text{SO}_4/2$	MMPGC	105 at 4 mV s^{-1}	0.8	4	20	RT
$\text{H}_2\text{SO}_4/1$	AC fibers	280 at 0.5 A g^{-1}	0.9	-	-	RT
$\text{H}_2\text{SO}_4/1$	GQD/3DG composite	268 at 1.25 A g^{-1}	0.8	-	-	RT
$\text{H}_2\text{SO}_4/1$	Microporous carbon	-100 at 0.2 A g^{-1}	1	-3.8	-100	RT
$\text{H}_2\text{SO}_4/2$	3D heteroatom doped carbon fiber	204.9 at 1 A g^{-1}	1	7.76	-100	RT
$\text{H}_2\text{SO}_4/1$	P-enriched carbon	220 at 1 A g^{-1}	1.3	16.3	33	-
$\text{H}_2\text{SO}_4/1$	ANS-rGO	375 at 1.3 A g^{-1}	2.0	213	1328	RT
$\text{H}_2\text{SO}_4/0.5$	RuO ₂ -graphene	479 at 0.25 A g^{-1}	1.2	20.28	600	-
$\text{H}_2\text{SO}_4/1$	PANI-grafted rGO	1045.51 at 0.2 A g^{-1}	0.8	8.3	60 000	-
$\text{H}_2\text{SO}_4/0.5$	PPy thin films	510 at 0.25 mA cm^{-2}	1	133	758	-
$\text{H}_2\text{SO}_4/1$	Graphene/mPANI	749 at 0.5 A g^{-1}	0.7	11.3	106.7	-
$\text{H}_2\text{SO}_4/1$	N and O containing hierarchical porous frameworks	428.1 at 0.5 A g^{-1}	0.8	37.4	197	-
<i>Strong alkaline electrolyte</i>						
KOH/6	3D FHPC	294 at 2 mV s^{-1}	1	-	-	-
KOH/6	Highly porous graphene planes	303 at 0.5 A g^{-1}	1	6.5	-50	-
KOH/6	p-CNTn/CGBs	202 at 0.325 A g^{-1}	0.9	4.9	150	RT
KOH/2	Sub-3 nm Co ₃ O ₄ nanofilms	1400 at 1 A g^{-1}	0.47	-	-	RT
KOH/2	Porous NiCo ₂ O ₄ nanotubes	1347.6 at 1 A g^{-1}	0.41	38.5	205	-
LiOH/1	MnO ₂ nano-flower	363 at 2 mV s^{-1}	0.6	-	-	-

Aqueous electrolyte/concentration (M)	Electrode materials	Specific capacitance (F g^{-1})	Cell voltage (V)	Energy density (Wh kg^{-1})	Power density (W kg^{-1})	Temperature ($^{\circ}\text{C}$)
<i>Neutral electrolyte</i>						
$\text{Na}_2\text{SO}_4/1$	3D FHPC	-	1.8	15.9	317.5	-
$\text{NaNO}_3/1$	AC	116 at 2 mV s^{-1}	1.6	-	-	RT
$\text{Na}_2\text{SO}_4/0.5$	Microporous carbon	~ 60 at 0.2 A g^{-1}	1.8	-7	-40	-
$\text{NaNO}_3\text{-EG}/4$	AC	22.3 at 2 mV s^{-1} (0°C)	2	14-16 (RT)	-500	0-60
$\text{Na}_2\text{SO}_4/0.5$	Sea weed carbon	123 at 0.2 A g^{-1}	1.6	10.8	-	-
$\text{Na}_2\text{SO}_4/0.5$	AC	135 at 0.2 A g^{-1}	1.6	-10	-	-
$\text{KCl}/1$	MnCl_2 -doped PANI/SWCNT	546 at 0.5 A g^{-1}	1.6	194.13	-550	RT
$\text{Li}_2\text{SO}_4/1$	AC	180 at 0.2 A g^{-1}	2.2	-	-	-
$\text{Na}_2\text{SO}_4/1$	Mesoporous MnO_2	278.8 at 1 mV s^{-1}	1	-28.4	-70	RT
$\text{Li}_2\text{SO}_4/1$	Mesoporous MnO_2	284.24 at 1 mV s^{-1}	1	-28.8	-70	RT
$\text{K}_2\text{SO}_4/0.65$	Mesoporous MnO_2	224.88 at 1 mV s^{-1}	1	-24.1 (0.5 M K_2SO_4)	-70	RT
$\text{Na}_2\text{SO}_4/1$	Ordered mesoporous C/ Fe_2O_3 NP	235 at 0.5 A g^{-1}	1	-	-	RT
$\text{Na}_2\text{SO}_4/0.5$	MnO_2/CNF	551 at 2 mV s^{-1} (75°C)	0.85	-	0-75	
$\text{Na}_2\text{SO}_4/1$	Hydrous RuO_2	52.66 at 0.625 A g^{-1}	1.6	500	-	
$\text{Na}_2\text{SO}_4/1$	CNFs radially grown graphene sheets	-	1.8	450	-	

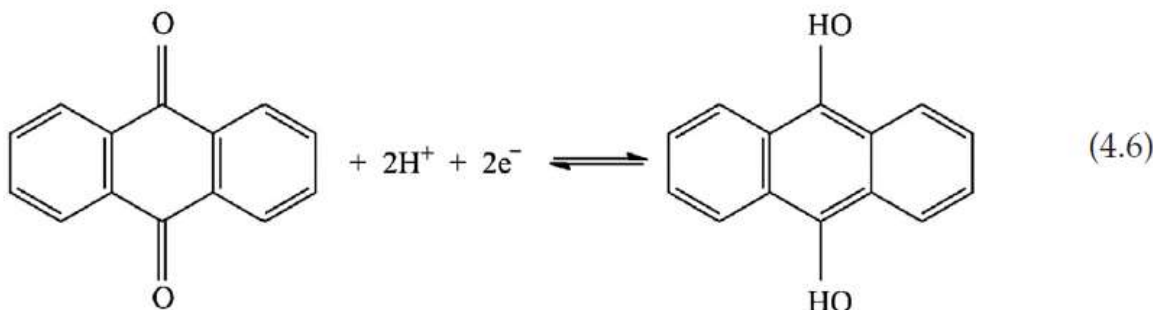
۱-۲-۳ کاربرد اسیدهای قوی در الکتروولیت‌های آبی

همانطور که در جدول ۳-۳ ذکر شده است، استفاده از الکتروولیت‌های اسیدی در ابرخازن‌ها دارای اهمیت بیشتری می‌باشد. در میان الکتروولیت‌های اسیدی مختلف، اسید سولفوریک به عنوان یک اسید قوی و همچنین دارا بودن هدایت یونی بالا، باعث استفاده آن به عنوان الکتروولیت شده است (دارای هدایت الکتریکی S cm^{-1} $0.8 \cdot 10^{-8}$). برای اسید سولفوریک ۱ مولار در ۲۵ درجه سانتیگراد، از آنجا که هدایت یونی به شدت به غلظت اسید سولفوریک وابسته می‌باشد، مطالعات گسترده‌ای برای یافتن غلظت بهینه برای دستیابی به حداکثر هدایت یونی الکتروولیت‌های اسید سولفوریک در دماهای خاص انجام شده است. به طور کلی، با افزایش و کاهش غلظت الکتروولیت، هدایت یونی کاهش می‌یابد. از آنجا که حداکثر هدایت یونی در الکتروولیت اسید سولفوریک با غلظت ۱ مولار (در ۲۵ درجه سانتی گراد) حاصل می‌شود، در بیشتر مطالعات از الکتروولیت ۱ مولار اسید سولفوریک استفاده (به ویژه در ابرخازن‌های پایه کربنی) می‌شود.

بسیاری از مطالعات نشان می دهد که ظرفیت ویژه خازن‌های دو لایه الکتریکی در الکتروولیت‌های اسیدی بیشتر از الکتروولیت‌های خنثی می باشد [۹-۱۲]. همچنین، مشخص شده است که با افزایش رسانایی الکتروولیت، ظرفیت ویژه نیز افزایش می یابد. دلیل این موضوع به تحرکات یونی که ارتباط نزدیکی با هدایت الکتروولیت دارد بر میگردد. برای خازن‌های دو لایه الکتریکی در الکتروولیت اسیدی قوی، مانند اسید سولفوریک، ظرفیت‌های ویژه گزارش شده در مقالات منتشر شده در چند سال گذشته عمدتاً در محدوده $100-300\text{ F g}^{-1}$ است که به طور کلی بالاتر از الکتروولیت‌های آلی می باشند. همانطور که بحث شد، خازن‌های دو لایه الکتریکی مبتنی بر الکتروولیت اسید سولفوریک در مقایسه با ظرفیت‌های مبتنی بر الکتروولیت‌های آلی، در حالی که از مواد الکتروودی مشابه استفاده می کنند، ظرفیت‌های ویژه بالاتری دارند. این ممکن است نشان دهنده برهمکنش‌های مختلف ناشی از الکتروولیت‌های مختلف با مواد الکتروودی باشد.

با توجه به دانسیته انرژی پایین خازن‌های دو لایه الکتریکی، تلاش گسترده‌ای برای افزایش مقدار دانسیته انرژی در انواع دیگر ابرخازن‌ها، مانند شبه خازن‌ها انجام شده است. برای مواد الکتروودی بر پایه کربن، ظرفیت ویژه در الکتروولیت آبی اسید سولفوریک همچنین علاوه بر ظرفیت لایه دو گانه الکتریکی، شامل برخی از کمک‌های شبه خازنی نیز می باشد. این امر به واکنش‌های اکسیداسیون-احیاء سریع در گروه‌های عاملی سطحی، مانند گروه‌های اکسیژن بر روی کربن نسبت داده شده است. با وارد کردن هترواتم‌هایی مانند اکسیژن [۱۳]، نیتروژن [۱۴] و فسفر یا برخی از گروه‌های عاملی سطح کربن (به عنوان مثال، آنتراکینون [۱۶]) می توان ظرفیت شبه خازن‌ها را ارتقاء داد. همچنین، ماهیت الکتروولیت تأثیر زیادی بر خصوصیات شبه خازنی مواد بر پایه کربن دارد زیرا عامل دار کردن سطح در الکتروولیت‌های مختلف رفتار متفاوتی دارد. به عنوان مثال، ویژگی‌های نوع کینون سطح می توانند در حضور الکتروولیت‌های آبی اسیدی (به عنوان مثال، اسید سولفوریک) اثرات شبه خازنی را نشان دهند زیرا پروتون‌ها در فرآیندهای اکسایش-کاهش درگیر می شوند، همانطور که در شکل نشان داده شده است. در الکتروولیت‌های قلیایی، این اثر به سختی مشاهده شده است. بنابراین، به نظر می رسد ایجاد گروه‌های عاملی مناسب بر روی مواد الکتروودی پایه کربنی و همچنین استفاده از الکتروولیت‌های مناسب، باعث بهبود عملکرد ابرخازن‌ها می شود. با این حال، به

دلیل تخریب مواد الکترولیت‌های آبی، عمر چرخه خازن‌های کاذب معمولاً کمتر از خازن‌های لایه دوگانه الکتریکی است.



شكل ۳-۳

با این حال، عمر چرخه ای شبیه خازن‌ها با توجه به تخریب مواد الکترودی عامل دار شده در الکترولیت‌های آبی پایین‌تر از خازن‌های دو لایه الکتریکی می‌باشد. در مقابل، عمر چرخه ای ابرخازن‌ها در الکترولیت‌های آلی به طور قابل توجهی بیشتر از الکترولیت‌های آبی می‌باشد. دلیل این موضوع جداسازی بار الکترواستاتیک در الکترولیت‌های آلی می‌باشد [۱۷]. عامل دار کردن سطح کربن با استفاده از گروه‌های عاملی مختلف (به عنوان مثال گروه‌های فسفر)، باعث بهبود پایداری مواد الکترودی در الکترولیت‌های آبی حتی در ولتاژ‌های بالاتر می‌شود.

برای افزایش دانسیته انرژی ابرخازن‌های مبتنی بر الکترولیت‌های آبی، سعی در تولید خازن‌های هیبریدی برای افزایش ولتاژ سلول آن‌ها شده است. همانطور که قبلًا بحث شد، هنگامی که یک ابرخازن متقارن با دو الکترود مشابه در الکترولیت‌های آبی (به عنوان مثال، اسید سولفوریک یا پتاسیم هیدروکسید) استفاده شود، حداکثر ولتاژ سلول توسط واکنش‌های رهاسازی گاز محدود می‌شود. با این حال، اگر از ابرخازن‌های با پیکربندی‌های نامتقارن (مواد آند و کاتد متفاوت باشد) استفاده شود، ابرخازن‌های حاصل می‌توانند حتی در الکترولیت‌های آبی پنجره پتانسیل کار گستردۀ تری داشته باشند [۱۸]. ترکیبی از دو الکترود مختلف در یک ابرخازن می‌تواند به طور مکمل در پنجره‌های پتانسیلی جداگانه کار کند و منجر به ولتاژ کار بالاتر در الکترولیت‌های آبی شود.

۲-۱-۲-۳ الکتروولیت‌های قلیایی قوی

با توجه به داده‌های جدول ۳-۳، می‌توان استنباط کرد که الکتروولیت‌های قلیایی یک کلاس از الکتروولیت‌های آبی می‌باشند که به طور گسترش در ابرخازن‌ها استفاده می‌شوند. برخلاف موادی که در الکتروولیت‌های اسیدی قوی وجود دارد، برخی از مواد فلزی مقرن به صرفه مانند نیکل می‌توانند به عنوان جمع کننده‌های فلزی ابرخازن استفاده شوند. با توجه به بررسی عملکرد مواد الکتروولیتی مختلف قلیایی نظیر سدیم هیدروکسید و لیتیم هیدروکسید و پتاسیم هیدروکسید به دلیل هدایت یونی بالاتر از (بیشترین مقدار $S \text{ cm}^{-1}$ ۶.۰ برای محلول ۶ مولار در ۲۵ درجه سانتیگراد) به عنوان ماده الکتروولیتی خوب و موثر در بیشتر موارد استفاده شده است. این الکتروولیت‌های قلیایی را می‌توان برای خازن‌های دوگانه الکتریکی کربنی، شبه خازن‌ها [به عنوان مثال، Ni(OH)_2 و Co_3O_4] و ابرخازن‌های ترکیبی استفاده کرد. همچنین از این الکتروولیت‌ها می‌توان برای خازن‌های دو لایه الکتریکی بر پایه کربن، شبه خازن-ها و ابرخازن‌های هیبریدی استفاده نمود.

در تحقیقات انجام شده، مقادیری که برای ظرفیت و دانسیته انرژی خالص خازن دوگانه الکتریکی گزارش شده است مشابه با الکتروولیت اسید سولفوریک می‌باشد. به طور کلی، در گزارشات اعلام شده، میزان ظرفیت ویژه و دانسیته انرژی در هردو الکتروولیت آبی پتاسیم هیدروکسید و اسید سولفوریک مشابه یکدیگر می‌باشند. علاوه بر تلاش برای استفاده از الکتروولیت‌های اسیدی قوی برای ابرخازن‌ها، تلاش قابل توجهی نیز برای بهبود دانسیته انرژی ابرخازن‌ها با استفاده از الکتروولیت‌های قلیائی از طریق افزایش ظرفیت و یا گسترش پنجره ولتاژ انجام شده است. این تحولات را می‌توان به طور خلاصه به شرح زیر عنوان کرد: (۱) افزایش ظرفیت مواد الکتروودی بر پایه کربن از طریق معرفی یک شبه خازن جدید (۲) توسعه دادن به مواد شبه خازنی با ظرفیت ویژه بالا (۳) اکتشاف مواد کامپوزیتی که مواد پایه کربنی و شبه خازن‌ها را ترکیب می‌کند. و (۴) افزایش پنجره ولتاژ کار الکتروولیت‌های قلیائی از طریق طراحی ابرخازن‌های نامتقارن.

همانطور که گفته شد، ظرفیت مواد الکتروودی بر پایه کربن از گروه‌های عاملی سطح کربن حاصل می‌شود، که مربوط به برهم کنش‌های فارادیک بین یون‌ها در الکتروولیت و گروه‌های عاملی سطح کربن می‌باشند. در این راستا،

مطالعات نشان داد که الکتروولیت پتاسیم هیدروکسید برای مواد الکتروودی کربن اصلاح شده با گروههای عاملی نیتروژن مفید است و نشان می دهد که ظرفیت شبه خازنی به شدت به ماهیت الکتروولیت ها وابسته است (به عنوان مثال، نوع و pH₁₉ و pH₂₀). وانگ و همکاران [۲۱] گزارش دادند که همزمان با اصلاح کردن سطح کربن های متخلخل با فسفر و نیتروژن می توان ظرفیت ویژه بالاتر، پنجره پتانسیل گسترده تر و ثبات بیشتر در مقایسه با مواد کربنی اصلاح نشده، و در نتیجه بهبود عملکرد ابرخازن ها را ایجاد کرد. همچنین ثابت شده است که برهم کنش بین یون ها در الکتروولیت ها و مواد الکتروودی نقش مهمی در رفتار شبه خازنی این مواد دارد.

با توجه به مطالعات انجام شده، برای بهبود دانسیته انرژی، مجموعه ای از سیستم های نامتقارن مبتنی بر الکتروولیت های قلیایی با پنجره های پتانسیلی گسترده ساخته شده است. به طور کلی، برای ابرخازن های نامتقارن، ساختار الکتروودهای مثبت با الکتروودهای منفی متفاوت می باشد. الکترود مثبت یک نوع از باتری می باشد که در آن بار از طریق واکنش های فارادیک ذخیره می شود و الکترود منفی یک کربن است که در آن، شارژ در درجه اول توسط خازن های دو لایه الکتریکی ذخیره می شود. ولتاژ های سلولی این ابرخازن های نامتقارن به طور موثر در الکتروولیت پتاسیم هیدروکسید افزایش می یابد.

۳-۱-۲-۳ الکتروولیت های خنثی

علاوه بر الکتروولیت های اسیدی و قلیایی، الکتروولیت های خنثی نیز به طور گسترده ای برای ابرخازن ها مورد مطالعه و بررسی قرار گرفته اند، که در جدول ۳-۳ مشاهده می شود. دلیل استفاده از این الکتروولیت ها، دلایلی نظیر پنجره های پتانسیلی بزرگتر، خوردگی کمتر و ایمنی بیشتر می باشد. نمک های رسانای معمول در الکتروولیت های خنثی شامل یون های Li⁺ (به عنوان مثال LiClO₄, Li₂SO₄, LiCl), Na⁺ (به عنوان مثال, NaCl) و Mg²⁺ (NaNO₃ و K⁺, KNO₃, KCl و Na₂SO₄) می باشد. این الکتروولیت های خنثی بیشتر در شبه خازن ها و ابرخازن های ترکیبی استفاده می شوند. اگرچه در برخی مطالعات از آن ها در خازن های دولایه الکتریکی نیز استفاده شده است.

مطالعات نشان می دهد که ظرفیت‌های ویژه خازن‌های دو لایه الکتریکی با الکتروولیت خنثی کمتر از الکتروولیت اسید سولفوریک یا الکتروولیت پتاسیم هیدروکسید می باشد. با توجه به رسانایی یونی پایین‌تر، مقاومت سری معادل ابرخازن‌های ساخته شده از الکتروولیت‌های خنثی به طور کلی کمتر از ابرخازن‌های می باشد که از الکتروولیت‌های اسید سولفوریک یا پتاسیم هیدروکسید استفاده می کنند. با این حال، ابرخازن‌های بر پایه کربن با الکتروولیت‌های خنثی می توانند ولتاژهای عملیاتی بیشتری را به دلیل افزایش پنجره پتانسیل پایدار الکتروولیت در مقایسه با الکتروولیت‌های آبی اسیدی و قلیایی ارائه دهند. از آنجا که یک الکتروولیت خنثی در مقایسه با الکتروولیت‌های اسیدی و قلیایی غلظت H^+ و OH^- کمتری دارد، می توان انتظار پتانسیل بالقوه بالاتری را برای واکنش‌های تشکیل هیدروژن و اکسیژن داشت که نشان دهنده افزایش پنجره‌های پتانسیل پایدار الکتروولیت است. ابرخازن‌های مبتنی بر ماده فعال کربنی که از الکتروولیت‌های خنثی استفاده می کنند، از نظر زیست محیطی جزو امیدوار کننده ترین کاندیداها محسوب می شوند.

۲-۲-۳ الکتروولیت‌های آلی

اگرچه مطالعات گسترده‌ای بر روی الکتروولیت‌های آبی مبتنی بر ابرخازن‌ها در تحقیقات دانشگاهی در حال انجام می باشد، اما ابرخازن‌های مبتنی بر الکتروولیت‌های آلی به دلیل عمکرد بالقوه پنجره پتانسیلی آن‌ها که معمولاً در محدوده ۲.۵-۲.۸ ولت می باشد، در حال حاضر در بازار تجاری کاربرد زیادی دارند. افزایش عملکرد ولتاژ سلول می تواند بهبود قابل توجهی در دانسیته انرژی و توان ایجاد کند. علاوه بر این، استفاده از الکتروولیت‌های آلی امکان استفاده از مواد ارزان‌تر (به عنوان مثال آلمینیوم) را برای جمع کننده‌های جریان فراهم می کند. الکتروولیت‌های آلی معمول برای خازن‌های دو لایه الکتریکی تجاری از نمک‌های رسانایی آلی [به عنوان مثال، تترآتیل آمونیوم تترا فلوروبورات (TEABF₄) محلول در حلول استونیتریل یا پلی کربنات] تشکیل شده است. با این حال، موارد دیگری نیز وجود دارد که باید هنگام استفاده از الکتروولیت‌های آلی برای ابرخازن‌ها مورد توجه قرار گیرند. در مقایسه ابرخازن‌های مبتنی بر الکتروولیت‌های آبی، ابرخازن‌های مبتنی بر الکتروولیت‌های آلی معمولاً دارای هزینه بالاتر، ظرفیت ویژه کمتر، رسانایی پایین‌تر و نگرانی‌های ایمنی مربوط به اشتعال پذیری، نوسانات و سمیت بالاتر می باشند.

علاوه بر این، الکتروولیت‌های آلی به فرآیندهای تصفیه و مونتاژ پیچیده در یک محیط کاملاً کنترل شده برای از بین بردن هرگونه ناخالصی باقیمانده مانند آب که می‌تواند منجر به تخریب عملکرد و مسائل جدی مانند از بین رفتن خود به خودی شارژ شود نیاز دارد.

ترکیب عمومی، خصوصیات و عملکرد ابرخازن‌ها در الکتروولیت‌های آلی

الکتروولیت‌های آلی برای ابرخازن‌ها به طور معمول شامل هدایت نمک‌های محلول در حلال‌های آلی می‌باشد. در جدول ۴-۳ برخی نمک‌ها و حلال‌های متداول برای الکتروولیت‌های آلی همراه با اختصارات آن‌ها برای درک راحت ارائه شده است. ماهیت نمک‌ها و حلال‌ها، مانند اندازه یون، اثر متقابل یون حلال، هدایت، گرانروی و پنجره‌های پتانسیلی پایدار الکتروولیت‌ها، تأثیرات عمیقی بر عملکرد ابرخازن‌های مبتنی بر الکتروولیت‌های آلی دارد که در ادامه در مورد این موارد بحث خواهد شد. در این زمینه، بیشتر مطالعات مربوط به الکتروولیت‌های آلی بر خازن‌های دو لایه الکتریکی متمرکز شده است. در سال‌های اخیر، با پیشرفت در زمینه تولید مواد الکتروودی و الکتروولیت‌های جدید، تحقیقات در مورد الکتروولیت‌های آلی برای شبیه خازن‌ها و ابرخازن‌های هیبریدی نیز مورد توجه زیادی قرار گرفته است.

جدول ۳-۴- ابر خازن‌های مبتنی بر الکتروولیت‌های آلی و عملکرد آن‌ها

Electrolyte/concentration (M)	Electrode materials	Specific capacitance (F g ⁻¹)	Cell voltage (V)	Energy density (Wh kg ⁻¹)	Power density (W kg ⁻¹)	Temperature (°C)
<i>Carbon-based symmetric ESs</i>						
1 M TEABF ₄ /ACN	Highly porous interconnected C nanosheets	~120-150 at 1 mV s ⁻¹	2.7	25	25,000-27,000	-
1 M TEABF ₄ /PC	Graphene-CNT composites	110 at 1 A g ⁻¹	3	34.3	400	-
1 M TEABF ₄ /HFP	AC	110 at 1 mV s ⁻¹	-	-	-	-
0.7 M TEABF ₄ /ADN	AC	25 at 20 mV s ⁻¹	3.75	-28	-	RT
1.6 M TEA-ODFB/PC	AC	21.4 at 1 A g ⁻¹	2.5	-28 (20°C)	-1000	-40 to 60
1 M TEMABF ₄ / (PC-PS 95:5)	Microporous TiC-CDC	100 at 10 mV s ⁻¹ (60°C)	2.7	-25-27	-1000	-45 to 60
1 M SBPBF ₄ /ACN	Carbon (from Batscap)	109	2.3	-	-	-30 to 60
1.5 M SBPBF ₄ /PC	AC	122 at 0.1 A g ⁻¹	3.5	52	-	RT
1 M LiPF ₆ /(EC-DEC 1:1)	Heteroatom doped porous carbon flakes	126 at 1 A g ⁻¹	3	29	2243	RT
1 M NaPF ₆ /(EC-DMC-PC-EA 1:1:1:0.5)	Microporous carbide-derived carbon	120 at 1 mV s ⁻¹	3.4	-40	-90	-40 to 60
<i>Pseudocapacitive electrode material-based symmetric ESs</i>						
1 M LiPF ₆ /(EC-DEC 1:1)	Nanoporous Co ₃ O ₄ -graphene composites	424.2 at 1 A g ⁻¹	-	-	-	RT
1 M LiClO ₄ /PC	MoO ₃ nanosheets	540 at 0.1 mV s ⁻¹	-	-	-	-
0.5 M Bu ₄ N-BF ₄ /ACN	Heterostructured poly(3,6-dithien2-yl-9H-carbazol-9-yl acetic acid)/TiO ₂ nanoparticles	462.88 at 2.5 mA cm ⁻²	1.2	89.98	-	RT
0.5 M LiClO ₄ /PC	PANI/graphite	-420 at 50 mV s ⁻¹	1	-	-	RT

Electrolyte/concentration (M)	Electrode materials	Specific capacitance (F g ⁻¹)	Cell voltage (V)	Energy density (Wh kg ⁻¹)	Power density (W kg ⁻¹)	Temperature (°C)
Asymmetric ESSs						
1 M SBPB ₆ /PC	Non-porous activated mesophase C microbeads//AC	-	3.5	-47	-100	-
1.5 M TEM-ABF ₆ /PC	Non-porous activated mesophase C microbeads//graphitized C	-	4	-60	-30	RT
1 M LiPF ₆ /EC-DMC (1:1)	Commercial AC (MSP-20)//mesoporous Nb ₂ O ₅ -C nano-composite	-	3.5	74	-100	-
1 M LiPF ₆ /EC-DEC-DMC (1:1:1)	Fe ₂ O ₃ -graphene	-	3	147	150	RT
1 M LiPF ₆ /EC-DMC (1:1)	Porous graphitic carbon//Li ₄ Ti ₅ O ₁₂	-	3	-55	-110	-
1 M LiTFSI/ACN	MnO ₂ nanorods-rGO//V ₂ O ₅ NWs-rGO	36.9	2	15.4	436.5	RT

همانطور که در جدول ۴-۳ مشخص است، برای ابرخازن‌های بر پایه کربن، ظرفیت‌های ویژه به دست آمده در الکترولیت‌های آلی به طور معمول کمتر از الکترولیت‌های آبی است. به طور کلی، الکترولیت‌های آلی دارای اندازه یون‌های حل شده بزرگ‌تر و ثابت‌های دی الکتریک کمتری می‌باشند، که منجر به کاهش مقادیر ظرفیت خازن دوالیه الکتریکی می‌شود. علاوه بر این، سهم ظرفیت شبه خازنی مواد الکترودی مبتنی بر کربن در الکترولیت‌های آلی، مانند TEABF₄ / Ceric ammonium nitrate (CAN) ، کم یا قابل چشم پوشی می‌باشد. با در نظر گرفتن ماهیت ویژگی‌های سطح کربن این مسئله را می‌توان درک کرد. به عنوان مثال، سهم شبه خازنی کربن‌های اصلاح شده به مشارکت پروتون نیاز دارد، اما این امر در الکترولیت‌های آلی آپرتویک مطلوب نیست، بنابراین منجر به ظرفیت ویژه پایین می‌شود. همانطور که قبل ذکر شد، ظرفیت ویژه خازن‌های دوالیه الکتریکی نه تنها به سطح ویژه بلکه به اندازه منافذ و توزیع اندازه منافذ مواد کربنی هم بستگی دارد. در دسترس بودن منافذ با خصوصیات یک الکترولیت آلی، از جمله اندازه گونه‌های کاتیون و آنیون و برهمکنش‌های یون حل ارتباط نزدیک دارد. وجود منافذ با اندازه

ذرات بسیار کوچک در یک ماده کربنی ممکن است سطح ویژه را افزایش دهد، اما همچنین می‌تواند دسترسی یون‌های الکتروولیت را محدود کند. به خصوص یون‌های آلی بزرگتر نمی‌توانند به راحتی به منافذ کوچک دسترسی پیدا کنند و در نتیجه بر روی ظرفیت ویژه تأثیر منفی می‌گذارند. بنابراین تطابق اندازه منافذ مواد کربنی با اندازه یون‌های الکتروولیت از مهم‌ترین عوامل برای به دست آوردن حداکثر ظرفیت ویژه می‌باشد. در این راستا، تلاش‌های قابل توجهی برای درک رابطه بین اندازه یون و رفتار خازنی کربن‌ها با توزیع‌های مختلف اندازه منافذ اختصاص داده شده است و سپس مطابقت بین اندازه منافذ و اندازه یون الکتروولیت بهینه شده است. علاوه بر این، هر دو اندازه یون‌های حلال پوشی شده و یون‌های آزاد (تخلیه شده) نیز باید در نظر گرفته شوند. علاوه بر ظرفیت ویژه، سایر خصوصیات مانند مقاومت سری معادل، میزان شارژ / دشارژ و دانسیته توان هنگام بهینه سازی ساختارهای منافذ و طراحی الکتروولیتها، نیز باید در نظر گرفته شوند. در جدول ۳-۵ الکتروولیت‌های آلی مورد استفاده و ساختار شیمیایی و خواص فیزیکی-شیمیایی آن‌ها را ارائه نموده است.

جدول ۳-۵ الکتروولیت‌های آلی مورد استفاده در الکتروولیت‌ها و ساختار شیمیایی و خواص فیزیکی-شیمیایی

Electrolyte	σ (mS cm^{-1})	$E_{\text{red}}/\text{V, SCE}$	$E_{\text{red}}/\text{V, SCE}$
BF_4^-	10.94	-3.00	3.60
BF_4^-	9.67	-3.00	3.60
BF_4^-	8.78	-3.00	3.60

همانطور که توسط جیانگ و همکاران بحث شد، مدل سازی نظری و شبیه سازی لایه دوگانه الکتریکی در الکتروولیت‌های آلی مورد توجه بیشتری قرار گرفته است، که ممکن است راهنمای مفیدی برای طراحی خازن‌های دو لایه الکتریکی کربنی باشد. این رویکردهای نظری با استفاده از شبیه سازی دینامیک مولکولی^۱، محاسبات تئوری

1- Molecular dynamic

تابعی تراکم^۱ و شبیه سازی مونت کارلو^۲، بینشی در مورد حل شدن یون‌ها در حلال‌های آلی [۲۲]، ساختار و ظرفیت لایه دوگانه الکتریکی، اثر اندازه منافذ کربن [۲۳] و مورفولوژی آن‌ها [۲۴] اطلاعات دقیقی را در اختیار ما قرار می‌دهد. در این راستا، روش‌های مختلف آنالیز ساختاری، مانند طیف سنجی رزونانس مغناطیسی هسته ای (NMR)، میکرو تعادل بلور کوارتز (QCM)، طیف سنجی درجا رامان و پراکندگی نوترون با زاویه کوچک (SANS) نیز برای آنالیز عملکرد استفاده شده است. با کمک این روش‌های تحلیلی، درک اساسی از پویایی یون در طی فرآیند شارژ و تخلیه شارژ، ساختارهای یونی الکترولیت/الکترود، جذب مجدد یون و اثر اندازه منافذ صورت گرفته است. پنجره پتانسیل الکترولیت آلی یک ویژگی نسبتاً مهم است که عملکرد ولتاژ سلول ابرخازن و متعاقباً چگالی انرژی و توان را تعیین می‌کند. پنجره پتانسیلی را می‌توان از طریق روش‌های تجربی [۲۵] و نظری [۲۶] بدست آورد. لازم به ذکر است که برای تحقیقات بنیادی، اندازه گیری‌های آزمایشی برای تعیین پنجره پتانسیل به طور معمول بر روی الکترود پلاتین یا الکترود کربن شیشه‌ای انجام می‌شود که کاملاً متفاوت از الکترودهای واقعی (به عنوان مثال، کربن‌های متخلخل) در خازن‌های دولایه الکتریکی کربنی هستند. پنجره های ولتاژ خازن‌های دولایه الکتریکی کربنی بدست آمده معمولاً کمتر از آن‌هایی هستند که روی الکترود پلاتین یا الکترود کربن شیشه ای بدست می‌آیند. تخریب الکترولیت‌های آلی مربوط به خازن‌های دولایه الکتریکی کربنی نیز موارد مهمی هستند که باید مورد توجه قرار گیرند. تخریب الکترولیت‌ها عمدتاً به دلایل زیر می‌باشد: (۱) ولتاژ سلول با محدوده گسترده می‌تواند اکسیداسیون مواد الکترودی را تسريع کند. هنگامی که ولتاژ سلول بالاتر از مقادیر معمول ۲.۵-۲.۸ ولت، (مثلاً بالاتر از ۳ ولت باشد) ممکن است اکسیداسیون مواد الکترود رخ دهد. این می‌تواند منجر به ایجاد گاز به دلیل تجزیه الکترولیت و اکسیداسیون الکتروشیمیایی کربن شود. (۲) برهمنکنش یون الکترولیت [۲۸] یا واکنش الکتروشیمیایی الکترولیت‌های آلی [۲۹] نیز می‌تواند باعث تخریب عملکرد ابرخازن شود و (۳) شرایط کار سخت (به عنوان مثال، دمای کار بالا و ولتاژ کار) ممکن است باعث تخریب عملکرد ابرخازن شود. بنابراین، درک مکانیسم‌های تخریب برای توسعه ابرخازن‌ها با پنجره‌های ولتاژ گسترده‌تر مفید خواهد بود.

2- Density functional theory

3- Monte Carlo

علاوه بر خازن‌های دولایه الکتریکی کربنی، از الکتروولیت‌های آلی برای شبه خازن‌ها با رفتار شبه خازنی مانند اکسیدهای فلزی و مواد کامپوزیتی نیز استفاده می‌شود. برای تسهیل برهمکنش/جای گیری یون، بیشتر الکتروولیت‌های آلی مورد استفاده برای شبه خازن‌ها به دلیل کوچکتر بودن اندازه بار یون حاوی یون‌های لیتیم هستند. همانطور که گزارش شده است، LiClO_4 [۳۰] و LiPF_6 [۳۱] نمک‌های معمولی مورد استفاده در این الکتروولیت‌های آلی بودند. حلال‌های آلی معمولی مورد استفاده در تحقیقات پروپیلن کربنات (PC)، استونیتریل (AC) یا محلوطی از حلال‌های مختلف مانند اتیل کربنات/دی‌اتیل کربنات، اتیلن کربنات/دی‌متیل کربنات، اتیلن کربنات/اتیل متیل کربنات، اتیلن کربنات-دی‌متیل کربنات-اتیل متیل کربنات و اتیل کربنات-دی‌متیل کربنات-دی‌اتیل کربنات بودند.

به منظور افزایش دانسیته انرژی، از ابرخازن‌های نامتقارن با الکتروولیت‌های آلی استفاده می‌شود. از مطالعات مهم در مورد ابرخازن‌های نامتقارن با الکتروولیت‌های آلی می‌توان به بررسی‌های آقای آماتوچی و همکاران اشاره کرد: [۳۲] که در آن مقداری ابرخازن نامتقارن مبتنی بر الکتروولیت آلی، مانند (گرافیت // کربن فعال)، (کربن // TiO_2)، (کربن // V_2O_5)، (کربن // $\text{Li}_4\text{Ti}_5\text{O}_{12}$) و (کربن // پلیمر هادی) ساخته شده اند. با توجه به ولتاژهای عملیاتی بزرگتر (به طور کلی ۴-۳ ولت) به دست آمده در الکتروولیت‌های آلی، این ابرخازن‌های نامتقارن قادر به ارائه دانسیته انرژی بسیار بالاتری که در حدود 30 W/kg از ابرخازن‌های نامتقارن پایه آبی متناظر بیشتر می‌باشد.

۱-۲-۲-۳ حلال‌های آلی

حلال جز بسیار مهمی از الکتروولیت‌ها در ابرخازن‌ها به حساب می‌آید که در دستیابی به عملکرد بالا نقشی اساسی دارد. برای یک حلال آلی ایده آل، باید چندین معیار از جمله توانایی حلالیت خوب برای یک نمک رسانا، پنجره پتانسیلی بالا، گرانزوی کم در محدوده دمایی کار و همچنین ایمنی (به عنوان مثال، غیر قابل اشتعال و غیر سمی بودن) را برآورده کند.

الزمات اصلی برای محلول‌های غیر آبی مناسب:

- ۱- پنجره ولتاژ مناسب از پایداری الکتروشیمیایی (به عنوان مثال، ولتاژ تجزیه محلول مورد نظر)، که باید کمی بزرگتر از محدوده عملیاتی مورد نظر دستگاه خازن باشد تا مشکلات ناشی از بار اضافی را به حداقل برساند. همچنین، علاوه بر دامنه کلی ولتاژ عملیاتی، محدودیت‌های پتانسیل مثبت (آندی) و منفی (کاتدی) پایداری محلول نسبت به برخی از پتانسیل‌های الکترود مرجع در همان محلول است.
- ۲- حداقل ویسکوزیته حلال (یا محلول) به منظور به حداکثر رساندن تحرکات یونی و هدایت.
- ۳- حداکثر حلایت نمک املاح برای به حداکثر رساندن هدایت.
- ۴- حداقل ایجاد زوج یون‌ها در غلظت نمک املاح، برای به حداکثر رساندن هدایت.
- ۵- قدرت مطلوب دی الکتریک برای به حداکثر رساندن حلایت نمک و به حداقل رساندن ایجاد زوج یون. این نیاز همچنین حلایت یونهای نمک محلول را اندازه گیری می‌کند.
- عوامل دیگر شامل شاعع یونی نمک املاح و مقدار بارهای آنها است که اغلب، نقاط قوت حلایت و جفت شدن یون یا درجات تفکیک نمک محلول را تعیین می‌کند.
- خلاصه‌ای از خصوصیات گفته شده در جدول ۶-۳ آورده شده است.

جدول ۶-۳ خلاصه عوامل تعیین کننده خصوصیات محلول الکتروولیت

Ion/salt properties	Solvent/solution properties
Ionic radius	Dielectric permittivity of the solvent
Ionic charge	Donicity or electron acceptor numbers
Ionic solvation energy	Solvent viscosity
Ion pairing	Solvent dielectric relaxation times
Solubility of the solute salt	Mixture properties of solvents Melting point of solvent or solution Temperature coefficients of viscosity and dielectric permittivity
Temperature coefficients of ion pairing and solubility	Solvent vapor pressure, as a function of temperature
Thermodynamics of the solvent	Electrochemical stability range Liquid phase temperature range (difference between boiling and freezing points)

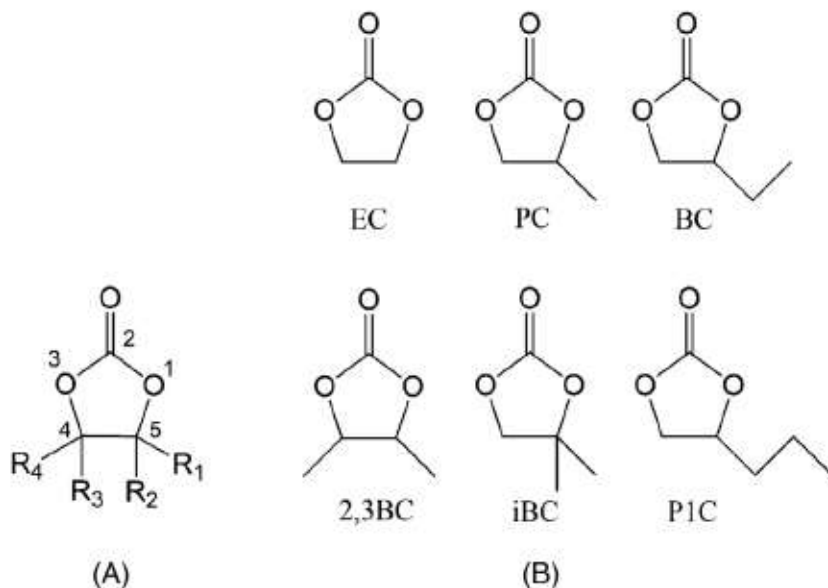
همه این عوامل در تعیین دو مقدار اصلی که هدایت خاص را در غلظت معین تعیین می‌کنند دخیل هستند، یعنی: (۱) تحرک یون‌های جدا شده و (۲) غلظت حامل‌های بار آزاد، کاتیونها و آنیونها در غلظت تجربی نمک. عامل

دیگری که بهینه سازی خصوصیات محلول را برای خازن های الکتروشیمیایی تعیین می کند، ضریب دما برای هدایت خاص می باشد.

همانطور که قبلاً عنوان شد، استونیتریل (ACN) و پروپیلن کربنات (PC) به عنوان حلال آلی، بیشترین استفاده را در خازن های دولایه الکتریکی کربنی دارا می باشند. در مقایسه با پروپیلن کربنات، استونیتریل دارای گرانروی کم، نقطه ذوب پایین تر و ثابت دی الکتریک بالاتر است. به طور معمول، الکتروولیت های مبتنی بر استونیتریل در مقایسه با الکتروولیت های مبتنی بر پروپیلن کربنات، رسانایی بالاتری دارند، که حتی در دمای پایین نیز می توانند مقاومت سری معادل پایین تر و قدرت عملکرد بالاتر خازن های دولایه الکتریکی کربنی حاصل را ایجاد کنند. با این حال می توان از نقطه اشتعال کم و سمیت استونیتریل به عنوان دو اشکال عمدۀ نام برد. به همین دلیل، استفاده استونیتریل در ابرخازن ها به دلیل سمیت زیاد، در ژاپن ممنوع می باشد. همانطور که گفته شد، پروپیلن کربنات دارای نقطه اشتعال بالاتر و ایمنی بالاتر نسبت به استونیتریل می باشد که همین موارد باعث شده تا علاقه برای کار کردن با پروپیلن کربنات به عنوان الکتروولیت افزایش یابد. بعلاوه، همانطور که قبلاً بحث شد، ولتاژهای عملکردی سلول خازن های دولایه الکتریکی کربنی مبتنی بر استونیتریل و پروپیلن کربنات به ۲.۵-۲.۸ ولت محدود شده و افزایش بیشتر ولتاژهای کاری و در نتیجه افزایش دانسیته انرژی بسیار مطلوب خواهد بود. در این موضوع، تلاش های گستره ای برای تولید الکتروولیت های آلی دیگر برای خازن های دولایه الکتریکی کربنی با عملکرد بالا در دهه گذشته اختصاص یافته است.

در مورد حلال آلی منفرد، چندین مطالعه بر روی (g-بوتیرون استون) GBL و عملکرد الکتروولیت مرتبط با آن در ابرخازن ها انجام شده است. به عنوان مثال گزارش شده است که الکتروولیت مبتنی بر GBL از ثبات اکسیداسیون بالاتری نسبت به الکتروولیت مبتنی بر پروپیلن کربنات برخوردار می باشد (هر دو با 65°C مolar TEABF₄). همچنین مشاهده شد که گرانروی و هدایت یونی پایین تر الکتروولیت مبتنی بر GBL می تواند منجر به قدرت عملکرد پایین تری در مقایسه با الکتروولیت مبتنی بر استونیتریل شود. بر اساس این مطالعه، بوتیلن کربنات (BC) ثبات اکسیداسیون بهتری نسبت به پروپیلن کربنات از خود نشان داد، چیبا و همکاران فرض کردند که جانشین

آلکیل در موقعیت چهارم و یا پنجم بر روی حلقه های ۵ عضوی کربناتها (شکل ۳-۴) ممکن است قادر به افزایش مقاومت در برابر اکسید شدن باشد [۳۳].



شکل ۳-۴ ساختار کربناتهای حلقوی (A) و کربناتهای حلقوی (B)

همچنین گزارش شد که جایگزینی پیوندهای C-H توسط C-F در مولکول حلال به طور قابل توجهی منجر به ثبات شیمیایی و الکتروشیمیایی بالاتر می شود. به عنوان مثال، یک حلال بسیار فلئوئوره شده، یعنی یک ۱،۱،۳،۳-هگزا فلئوئورو پروپان ۲-ال غیر قابل اشتعال (HFIP) که توسط فرانک و همکاران مطالعه شد [۳۴] نشان دارد که به دلیل پایداری بیشتر الکتروشیمیایی، الکتروولیت مبتنی بر HFIP برای الکترودهای کربن فعال تقریباً تا ۲ ولت پایدار باشد، در حالی که الکتروولیت مبتنی بر استونیتریل در ولتاژ پایین تر از ۱.۴ ولت کاملاً تخریب شده بود. با این حال، HFIP دارای یک محدوده حالت مایع کوچک از ۳-۵۹ درجه سانتیگراد می باشد که باریک تر از استونیتریل و پروپیلن کربنات است، بنابراین کاربرد آن را در یک محدوده دمایی گستردگی محدود می کند. سوزوکی و همکاران [۳۵] فلئوراستونیتریل (FAN) را به عنوان یک حلال جایگزین برای خازن های دولایه الکتریکی استفاده نمودند. هدایت یونی یک الکتروولیت ۱ مولار TEABF₄ / FAN کمتر از محلول ۱ مولار TEABF₄ / ACN می باشد، در حالی که بسیار بالاتر از محلول ۱ مولار TEABF₄ / PC می باشد. الزامات برای افزایش بیشتر عملکرد ولتاژ EDLC های مبتنی بر الکتروولیت، باعث توسعه سایر سیستم های حلال های

جدید مانند حلال های سولفونات ها شده است. به عنوان مثال، گزارش شده است که الکتروولیت های مبتنی بر سولفولان (SL) - و دی متیل سولفید (DMS) عملکرد ولتاژ بالاتری نسبت به الکتروولیت های پایه کربنات دارند. با این حال، به دلیل نقطه ذوب و گرانزوی حلال های سولفولان (۲۸.۵ درجه سانتی گراد در مقایسه با پروپیلن کربنات ۴۹ درجه سانتیگراد) و استونیتریل (۴۵ درجه سانتیگراد)، کاربرد عملی آنها محدود می شود. در تلاش برای کاهش نقطه ذوب و گرانزوی الکتروولیت های مبتنی بر سولفولان، چیبا و همکاران. [۳۶] هشت نوع مختلف سولفون خطی با وزن مولکولی نسبتاً کم را کشف کردند. آن ها دریافتند که با تغییر ساختار مولکولی SL حلقوی به یک ساختار خطی، می توان نقطه ذوب و ویسکوزیته را به طور قابل توجهی کاهش داد. EDLC ها با SBPBF4 / اتیل ایزوپروپیل سولفون (EiPS) عملکرد ولتاژ بالاتری (۳.۷-۳.۳ ولت) را نشان دادند که منجر به افزایش حدود ۲ برابر تراکم انرژی ویژه در مقایسه با الکتروولیت های مبتنی بر پروپیلن کربنات می شود. برای رفع محدودیت الکتروولیت های مبتنی بر استونیتریل، مانند نقطه اشتعال کم و پایداری الکتروشیمیایی نسبتاً کم، آدیپونیتریل (ADN) نیز به عنوان یک حلال احتمالی برای EDLC ها مورد بررسی قرار گرفت. برانت و همکاران [۳۷] از TEABF4 / ADN / EDLC ها بدست آمد. با این حال، محدودیت حلالیت کم نمک های معمول رسانا، ولت برای EDLC های مبتنی بر ADN استفاده کردند. به دلیل گستره بزرگ پنجره پتانسیل بالغ بر ۰.۷۵ مولار) به عنوان الکتروولیت برای EDLC ها استفاده کردند. به دلیل کمتری یونی کمتری نسبت به الکتروولیت های مبتنی بر استونیتریل مانند TEABF4 در حلال ADN منجر به هدایت یونی کمتری نسبت به الکتروولیت های مبتنی بر استونیتریل شده است. همانطور که از این بحث استنباط می شود، تاکنون هیچ حلال ایده آلی وجود نداشته که بتواند از نظر ویسکوزیته، رسانایی، پایداری حرارتی و همچنین عملکرد کلی ابرخازن، جایگزین حلال های تجاری مورد استفاده (به عنوان مثال استونیتریل) شود.

حلال های مخلوط برای الکتروولیت ها

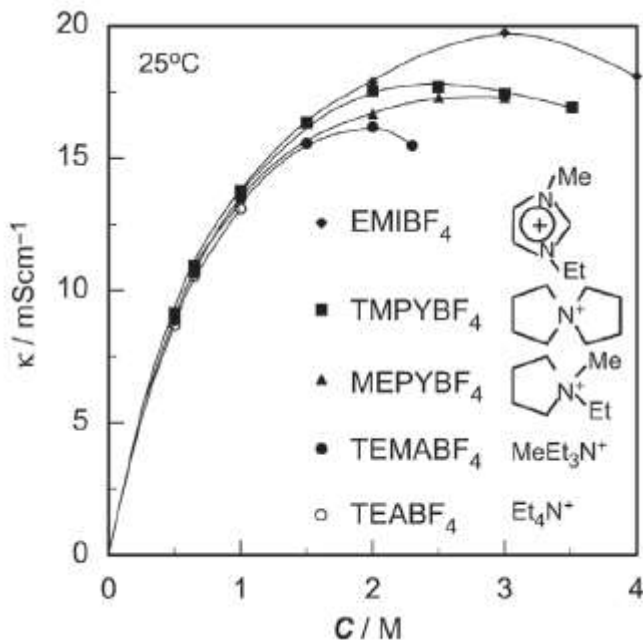
همانطور که گفته شد، گرچه پروپیلن کربنات به عنوان یک گزینه امیدوار کننده نسبت به استونیتریل در نظر گرفته شده است، اما در مقایسه با الکتروولیتهای مبتنی بر استونیتریل از هدایت، گرانزوی و ثبات حرارتی ضعیف تری برخوردار می باشد. اخیراً تعدادی از مطالعات بر روی تولید مخلوط حلال مبتنی بر پروپیلن کربنات، برای بهبود

عملکرد ویسکوزیته و هدایت یونی، مانند تری متیلن کربنات، اتیلن کربنات و فلورو اتیلن کربنات متمرکز شده اند. در مطالعات انجام شده، کربنات ها و سولفیت ها به عنوان مواد افروزنی و یا حلال کمکی در جفت شدن حلال های بر پایه پروپیلن کربنات مورد استفاده قرار گرفته اند. افزودن دی اتیل استیل بسترونل یا پلی استایرن به حلال پروپیلن کربنات می تواند به طور محسوسی هم ویسکوزیته و هم هدایت الکتروولیت ها را تغییر دهد و بر ظرفیت، ثابت بودن زمان و چگالی انرژی یا توان ابرخازن های به دست آمده تأثیر مثبت بگذارد.

تأثیر هدایت نمک بر عملکرد ابرخازن ها

نمک رسانای محلول در یک حلال آلی، برای تشکیل یک الکتروولیت آلی می تواند حامل های بار (به عنوان مثال، کاتیون ها و آనیون ها) را برای عملکرد ابرخازن ها فراهم کند. در این راستا، غلظت و تحرک یون باید نقش مهمی در هدایت یونی الکتروولیت داشته باشد. نمک های رسانا نیز تأثیر عمیقی بر پنجره پتانسیلی، پایداری حرارتی الکتروولیت های آلی و همچنین ظرفیت ابرخازن دارند. هنگام انتخاب یا تولید نمک های مناسب برای حلال های خاص، عوامل مختلفی از جمله حلالیت، هدایت، پایداری، ایمنی و هزینه باید در نظر گرفته شود. با توجه به خواص و عملکرد خوب تتراتیل آمونیوم تترا فلوروبورات، در حال حاضر این نمک به طور گسترده ای در ابرخازن های تجاری استفاده می شود. علاوه بر TEABF_4 ، بسیاری از نمک های دیگر نیز با هدف بهبود بیشتر یک یا چند ویژگی از الکتروولیت ها مورد مطالعه یا توسعه قرار گرفته اند: (۱) حلالیت (۲) هدایت (۳) پایداری و (۴) عملکرد دما. در مورد حلالیت، غلظت یون (غلظت نمک) در الکتروولیت نه تنها بر هدایت یونی تأثیر می گذارد بلکه بر حداکثر چگالی انرژی قابل دستیابی به ابرخازن های مرتبط با آن نیز تأثیر می گذارد. شکل ۴.۱۰ مثالی را نشان می دهد که مقادیر بهینه غلظت یون برای دستیابی به حداکثر هدایت یونی الکتروولیت ها وجود دارد. همچنین می توان دریافت که TEABF_4 در پروپیلن کربنات دارای حلالیت محدود (حداکثر ۱ مولار) است در حالی که سایر نمک ها حلالیت بالاتر از ۲ مولار را نشان می دهند. از آنجا که ابرخازن ها برای بسیاری از کاربردها به طور کلی در دامنه دمایی گسترده کار می کنند (به عنوان مثال از ۳۰ تا ۷۰ درجه سانتیگراد)، حلالیت نمک در دمای پایین مسئله مهمی می باشد. رسانایی الکتروولیت

به عوامل مختلفی از جمله غلظت نمک، درجه تفکیک نمک محلول برای تأمین حامل های بار آزاد (کاتیون ها و آنیون ها)، تحرک یون های جدا شده و انواع حلال ها (همانطور که قبلا ذکر شد) وابسته است.



شکل ۳-۷ هدایت یونی به عنوان تابعی از غلظت تترافلوروبورات آمونیوم چهارتایی در پروپیلن کربنات.

در ابرخازن ها، چندین الکترولیت آبی دارای درجه تفکیک بالا نزدیک به ۱ هستند، در حالی که الکترولیت های آلی رایج دارای کمتری می باشند. بنابراین، حلایت نمک در حللهای آلی به طور معمول کم است، در نتیجه منجر به هدایت یونی کم الکترولیت های آلی و مقاومت سری بالا در مقایسه با الکترولیت های آبی می شود. در واقع، ساختار نمک های آلی (به عنوان مثال، نمک های متقارن یا نامتقارن، و اندازه یونی کاتیون و آنیون) نیز می تواند بر درجه تفکیک و تحرک یونی تأثیر بگذارد، بنابراین نقش مهمی در تأثیر هدایت الکترولیت ها دارد. یو و همکاران Rسانایی برخی نمک های رایج در حللهای مختلف از جمله PC, GBL, DMF و CAN را بررسی کردند. در مورد کاتیون ها، هدایت به ترتیب زیر کاهش می یابد: $\text{TEA}^+ > \text{Pr4N}^+ > \text{Bu4N}^+ > \text{Li}^+$, در حالی که برای آنیون ها، Rسانایی به ترتیب زیر کاهش می یابد: $\text{BF4}^- > \text{PF4}^- > \text{ClO}_4^- > \text{CF}_3\text{SO}_3^-$. Rسانایی نمک نیز نقش مهمی در پنجره پتانسیلی پایدار الکترولیت های آلی دارد. به عنوان مثال، ژو و همکاران دریافتند که پنجره پتانسیلی پایدار های کاتیون های مختلف در یک الکترود AC از این ترتیب پیروی می

کنند: $\text{Pr}_3\text{MeN}^+ > \text{Et}_4\text{N}^+ > \text{Bu}_3\text{MeN}^+ > \text{Et}_3\text{MeN}^+ > \text{iPr}_2\text{MeEtN}^+ > \text{Me}_3\text{EtN}^+ > \text{Bu}_3\text{MeP}^+$

$\text{BF}_4^- > \text{PF}_6^- >$ در حالی که آنیون ها در یک الکترود کربنی شیشه ای از این ترتیب پیروی می کنند: ~ Et_3MeP (حلال: $\text{Tf} \sim \text{Im}$)، از آنجا که نمک های مختلف حاوی انواع مختلفی از کاتیون ها و آنیون ها با اندازه های مختلف یون های آزاد و محلول هستند، تطبیق بین اندازه منافذ مواد الکترود بر پایه کربن و یون های الکتروولیت برای دستیابی به عملکرد بالای ابرخازن ضروری می باشد.

برای تحقق یک تطبیق کامل، حذف یا تحریف جزئی پوسته حلال یون باید در نظر گرفته شود که اندازه منافذ به اندازه بار یون نزدیک باشد. تحقیقات نشان می دهد که چنین مطابقتی تأثیر زیادی در ظرفیت و عملکرد قدرت خازن های دولایه الکتریکی کربنی دارد. کوه و همکاران چندین نمک از جمله TEMABF_4 , TEABF_4 , تری متیل پروپیلامونیم (TMPABF_4) و دی اتیل دی متیل آمونیم (DEDMABF_4) برای بررسی تأثیر اندازه یونی نمک های مختلف بر ظرفیت ویژه خازن های دولایه الکتریکی کربنی استفاده کردند. این نمک ها دارای طول های مختلف زنجیره های هیدروکربن و در نتیجه اندازه های مختلف کاتیونی هستند. در این تحقیق مشاهده شد که ظرفیت ویژه EDLC می تواند با کاهش اندازه کاتیون نمکهای آمونیوم چهارتایی افزایش یابد. همچنین، مشخص شد که حالت شارژ شده یون ها بر ظرفیت یا چگالی انرژی خازن های دولایه الکتریکی کربنی تأثیر دارد. با استفاده از ابرخازن نامتقارن، یوکویاما و همکاران مشاهده کردند که ظرفیت می تواند به شدت تحت تأثیر نوع آنیون قرار گیرد و ترتیب نمک ها به این صورت مشخص شد: $\text{PC}-\text{TEA}-\text{ClO}_4^- > \text{BF}_4^- > \text{PF}_6^-$ (همه دارای کاتیون های TEA و حلال EMC می باشند). در میان آنیون های بررسی شده، استنباط شده است که PF_6^- پایدارترین آنیون بوده و به ظرفیت بیشتر کمک می کند.

۳-۲-۳ الکتروولیت های مایعات یونی

۱-۳-۲-۳ ترکیب عمومی، خصوصیات و عملکرد ابرخازن های الکتروولیت های مایع یونی

مایعات یونی، به عنوان نمک های ذوب شده در دمای پایین یا دمای اتاق شناخته می شوند و به طور کلی به آن نمکی که فقط از یون ها (کاتیون ها و آنیون ها) با نقاط ذوب زیر 100°C درجه سانتیگراد تشکیل می شوند گفته می

شود. یک مایع یونی معمولاً از یک کاتیون آلی نامتقارن بزرگ و یک آنیون غیر آلی یا آلی تشکیل شده است و این ترکیب خاص از کاتیون ها و آنیون های خاص به نقطه ذوب کم کم می کند. با توجه به ساختارها و خواص منحصر به فرد، مایعات یونی به عنوان الکتروولیت جایگزین برای ابرخازن ها بسیار مورد توجه قرار گرفته اند. به طور معمول، مایعات یونی دارای چندین مزیت بالقوه از جمله پایداری حرارتی، پایداری شیمیایی و الکتروشیمیایی بالا، نوسانات ناچیز و غیر قابل اشتعال هستند (بسته به ترکیب کاتیون ها و آنیون ها). علاوه بر این، خواص فیزیکی و شیمیایی مایعات یونی به دلیل تنوع بسیار زیاد ترکیب کاتیون ها و آنیون ها بسیار قابل تنظیم است. از این نظر، مایعات یونی نیز به عنوان "حلال طراح" در نظر گرفته می شوند. این خاصیت مایعات یونی برای الکتروولیت های ابرخازن ها بسیار جذاب می باشد زیرا ترکیبات الکتروولیت را می توان بهینه سازی کرد تا نیازهای خاصی از عملکرد ابرخازن ها مانند ولتاژ عملیاتی سلول، دامنه بالای دمای کار، مقاومت سری معادل (مربوط به هدایت یونی) و غیره را برآورده کند. بر اساس ترکیبات، مایعات یونی می توانند اساساً در انواع آپروتیک، پروتئیک و زوئیتریونیک طبقه بندی شوند. مایعات یونی ذکر شده مورد استفاده در ابرخازن ها تاکنون فقط قسمت بسیار کمی از خانواده بزرگ مایعات یونی را نشان داده اند. در تحقیقات منتشر شده، مایعات یونی استفاده شده برای ابرخازن ها معمولاً بر اساس ایمیدازونیوم، پیرولیدینیم، آمونیوم، سولفونیوم، کاتیونهای فسفونیوم و غیره است. آنیون های معمولی مایعات یونی شامل تترافلوروبورات (BF_4^-)، هگزافلوروفسفات (PF_6^-)، بیس (تری فلورو متان سولفونیل) ایمید (TFSI)، بیس (فلورسولفونیل) ایمید (FSI) و دیسیانامید (DCA) می شود. به طور کلی، مایعات یونی مبتنی بر ایمیدازولیوم می توانند هدایت یونی بالاتری را فراهم کنند در حالی که مایعات یونی مبتنی بر پیرولیدینیم دارای پنجره پتانسیل پایدار بزرگتر هستند. همانطور که قبل ذکر شد، ولتاژهای سلول عملیاتی الکتروولیت های آلی تجاری (به عنوان مثال، استونیتریل و پروپیلن کربنات) بر اساس خازن های دوالیه الکتریکی کربنی به طور کلی به ۲.۸-۲.۵ ولت محدود می شوند و افزایش ولتاژ سلول بیش از این حد باعث تجزیه جدی الکتروشیمیایی حللهای آلی می شود. با این حال، بسیاری از مطالعات با استفاده از الکتروولیت های بر پایه مایعات یونی می توانند ولتاژهای عملیاتی سلول بالای ۳ ولت را ایجاد کنند. علاوه بر این، حللهای آلی مورد استفاده تجاری (به عنوان مثال، استونیتریل) به دلیل ماهیت فرار و

قابل اشتعال آن‌ها به خصوص هنگامی که در دمای بالا استفاده می‌شوند، با مشکلات ایمنی روبرو می‌باشند. در این راستا استفاده از مایعات یونی بدون حلال، ممکن است در حل مشکلات ایمنی مرتبط با حلال‌های آلی امکان‌پذیر نماید و ابرخازن‌های مبتنی بر مایعات یونی را برای کاربردهای دماهای بالا مطلوب کنند. متأسفانه، در بسیاری از مایعات یونی اشکالات اساسی از جمله، گرانروی زیاد، هدایت یونی کم و هزینه زیاد وجود دارد که می‌تواند کاربرد عملی آنها را در سیستم ابرخازن‌ها محدود کند. حتی برای الکتروولیت $[EMIM][BF_4]$ ، که از هدایت یونی نسبتاً بالایی در بین مایعات یونی معمولی برخوردار است، رسانایی آن (۱۴ میلی متر در ۱ سانتی متر در ۲۵ درجه سانتیگراد) هنوز بسیار پایین تر از $TEABF_4/ACN$ (۵۹.۹ میلی متر در ۱ سانتی متر در ۲۵ درجه سانتیگراد) می‌باشد. علاوه بر این، ویسکوزیته‌های مایعات یونی، مانند $[BMIM][BF_4]$ و $[EMIM][BF_4]$ به ترتیب Cp ۴۱ و Cp ۲۱۹ هستند که بسیار بالاتر از الکتروولیت‌آلی می‌باشند (به عنوان مثال 0.3 Cp برای الکتروولیت‌آلی استونیتریل).

علاوه بر این، مقادیر ظرفیت ابرخازن‌های لایه دوگانه کربنی مبتنی بر الکتروولیت مایعات یونی اغلب کمتر از مقادیر مبتنی بر الکتروولیت‌آلی و آبی به ویژه در نرخ اسکن بالا یا نرخ شارژ / تخلیه شارژ زیاد است که احتمالاً به دلیل ویسکوزیته بالای مایعات یونی می‌باشد. برای بهبود عملکرد ابرخازن‌های مبتنی بر مایعات یونی، بهینه‌سازی ترکیب مایعات یونی و طراحی سلول به دو صورت آزمایشی و نظری انجام شده است، تا دیدگاه اساسی در مورد رفتار الکتروشیمیایی، ساختار و رفتار خازنی مربوط به اکتروشیمیایی دو لایه الکتروشیمیایی (EDL) در رابطه با مایعات یونی/الکترود را حاصل نماید. در این راستا، همانطور که توسط مطالعات قابل توجهی انجام شده است. این بررسی‌ها در مورد ساختار و ظرفیت EDL، عوامل تأثیرگذار بر EDL، اثرات مورفولوژی الکترود کربن و اندازه منافذ بر ساختار EDL، ظرفیت و تحرک یون‌های مایعات بحث کرده‌اند. جالب اینجاست که برخی از کاتیونهای مایعات یونی بررسی شده برای ابرخازن‌ها دارای ساختاری مشابه با سورفاکtantها هستند. اینکه این کاتیون‌ها تمایل به تجمع در مایعات یونی مانند سورفاکtant‌ها را دارند یا خیر یک مسئله مهم است زیرا این امر می‌تواند بر روی تحرک یونی و هدایت یونی تأثیر بگذارد. به منظور درک مکانیسم دقیق تجزیه الکتروشیمیایی مایعات یونی بیش از پنجره پتانسیل با

استفاده از تکنیک های ابزاری، مانند روش طیف سنجی مادون قرمز، الکتروشیمیایی درجا و XPS درجا انجام شده است. فعالیت های تحقیقاتی در این زمینه را می توان به طور خلاصه به شرح زیر خلاصه کرد: (۱) درک اساسی ساختار EDL و ظرفیت در مایعات یونی (۲) توسعه مایعات یونی برای مواد الکترودی شبکه خازنی بر پایه ابرخازن ها با قابلیت بهبود ذخیره سازی (۳) بهبود خواص مایعات یونی، مانند هدایت یونی، ویسکوزیته و پنجره پتانسیل، با اصلاح کاتیونها یا آنیونها و یا هر دو (۴) با استفاده از مخلوط مایعات یونی یا استفاده از حلالهای آلی برای بهبود عملکرد کلی الکتروولیتها بر پایه مایعات یونی.

۲-۳-۲-۳ مایعات یونی بدون حلال

همانطور که قبلًا عنوان شد، چالش عمدۀ در ایجاد مایعات یونی برای خازن های دولایه الکتریکی کربنی، طراحی یا انتخاب مایع یونی با هدایت یونی بالا، ESPW بزرگ و دامنه دمای عملیاتی گستردۀ است. اگرچه الکتروولیت [EMIM] [BF₄] به دلیل هدایت نسبتاً زیاد برای خازن های دولایه الکتریکی کربنی به طور گستردۀ مورد بررسی قرار گرفته است، اما به نظر می رسد محدودیت پنجره پتانسیل محدود آن و نقطه ذوب نسبتاً بالا (۱۵ درجه سانتیگراد) در مقایسه با سایر مایعات یونی باشد. برای غلبه بر این محدودیت ها، تلاش های قابل توجهی برای توسعه سایر مایعات یونی جایگزین مبتنی بر خواص قابل تنظیم آن ها اختصاص یافته است تا ساختار آنیون یا کاتیون یا هر دو و همچنین خود ترکیب مایع یونی را تغییر دهد.

مایعات یونی آپروتیک

با توجه به اینکه مایعات یونی مبتنی بر ۱- اتیل-۳- متیل میدازولیوم [EMIM]، سان و همکاران عملکرد EDLC های مبتنی بر کربن اکتیو را با الکتروولیت های [EMIM] [SCN] مایعات یونی (SCN = تیوسیانات)، که هم ویسکوزیته پایین تر و هم هدایت یونی بالاتری در مقایسه با [EMIM] [BF₄] مایعات یونی داشتند، بررسی EMIM] [FSI] (FSI: bis (fluorosulfonyl)) کردند. هاندا و همکاران دریافتند که هدایت یونی مایع یونی با الکتروولیت آلی imide TEMABF₄/PC قابل مقایسه است و EDLC حاصل از این الکتروولیت های مایعات یونی [EMIM] [FSI] نشان دهنده قابلیت سرعت خوب مشابه با الکتروولیت آلی TEMABF₄/PC می باشد.

پندی و همکاران نشان دادند که ۱-اتیل-۳-متیل ایمیدازولیوم تتراسیانوبورات ($[EMIM][TCB] IL (TCB)$) می‌تواند یک الکتروولیت برای EDLC های مبتنی بر کربن اکتیو باشد زیرا دارای هدایت یونی بالا (تراسیانوبورات) می‌تواند یک الکتروولیت برای EDLC های مبتنی بر کربن اکتیو باشد زیرا دارای هدایت یونی بالا (1.3 Scm^{-1} ~ $20 - 22 \text{ cp}$) در درجه سانتیگراد) و گرانزوی کم ($\sim 22 \text{ cm}^2$) می‌باشد. شی و همکاران عملکرد EDLC های مبتنی بر گرافن را با یک سری مایعات یونی متشکل از $[EMIM]^+$ کاتیون و آنیون های مختلف از $[EMIM][DCA]$ ، $[EMIM][BF_4^-]$ ، OAc^- ، $EtSO_4^-$ ، DCA^- ، NTf_2^- ، BF_4^- جمله مایع یونی بالاترین ظرفیت ویژه، قابلیت سرعت و همچنین کمترین مقاومت را به دلیل ویسکوزیته پایین، اندازه یون و وزن مولکولی در بین مایعات یونی بررسی شده نشان دادند. با این حال EDLC مبتنی بر مایع یونی $[EMIM][BF_4^-]$ ، دارای پنجره بسیار کوچکتر (۲.۳ ولت) بودند که بسیار باریک تر از مایعات یونی $[DCA]$ مبتنی بر EDLC ها (~ ۴ ولت) بودند. علاوه بر تغییر آنیون الکتروولیت‌های $[EMIM]$ مبتنی بر مایعات یونی، تلاش‌های دیگری برای بهبود خواص (به عنوان مثال، $ESPW$ و هدایت یونی) پیشنهاد شده است. به عنوان مثال، کنگ و همکاران گزارش دادند که افزودن مقادیر اندک نانولوله های کربنی تک جداره (به عنوان مثال ۰.۱ و ۰.۵ درصد وزنی) به الکتروولیت $[EMIM][BF_4^-]$ می‌تواند هدایت یونی الکتروولیت را افزایش دهد. ظرفیت ویژه، دانسیته انرژی و پایداری چرخه ای EDLC ها با الکتروولیت $IL-CNT$ اضافه شده همه بهبود یافته است. برخی مطالعات نشان داد که افزودن نمک لیتیم به الکتروولیت مایع یونی می‌تواند حد بالقوه کاتدی را برای افزایش پایداری کاتدی منفی تغییر دهد [۳۸، ۳۹]. به عنوان مثال، بتینی و همکاران [۴۰] دریافتند که از بین چهار مایع یونی $BMIM][NTf_2]$ ، $[C_{12}MIM][NTf_2]$ ، $[EMIM][NTf_2]$ and 1-butyl-1-methylpyrrolidinium () می‌تواند بالاترین ظرفیت $[BMIM][NTf_2]$ می‌تواند برای $bis(trifluoromethylsulfonyl)imide ([BPyrr][NTf_2]$ ویژه 75 F g^{-1} را نشان دهد. تصور می‌شد که این ظرفیت ویژه بالا مربوط به کوتاهترین زنجیره آلکیل مایع یونی باشد. مایعات یونی با کاتیون های دیگر (به عنوان مثال، بر پایه پیرولیدینیم، پایداری دمایی ابرخازن ها بر روی نانومواد کربنی عاملدار شده یا مواد کربنی در مایعات یونی مبتنی بر آمونیوم [پایه سولفونیوم] نیز به طور گستردۀ ای به عنوان الکتروولیت برای EDLCs مورد مطالعه قرار گرفته است. رنی و همکاران [۴۱] مایعات یونی را با انواع

مختلف کاتیون‌ها بررسی کردند (شکل ۴.۱۶). مشخص شد که ورود یک پیوند اتر به زنجیره جانبی آلکیل کاتیونی می‌تواند به طور موثر ظرفیت ویژه را افزایش دهد و ESR را در ابرخازن مورد مطالعه کاهش دهد. محققان این امر را به وارد شدن یک منطقه الکترون منفی کوچک در ساختار کاتیون از طریق پیوند اتر نسبت دادند. همچنین، آنیون-های مایعات یونی نیز در خصوصیات آبگریز و یا آب دوستی نقش مهمی دارند. مشخص شد که آبگریزی به ترتیب زیر افزایش می‌یابد: CH_3CO_2^- (استات)، NO_3^- (نیترات) $>$ PF_6^- $>$ Tf^- $>$ BF_4^- . علاوه بر این، FSI مقدار کمی آب در مایعات یونی اغلب برای ESPW مضر است. بنابراین، آنیون‌های آبگریز مانند TFSI و FSI بیشتر برای استفاده در ابرخازن‌ها مورد توجه قرار گرفته‌اند.

مایعات یونی پروتیک

مایعات یونی پروتیک به طور معمول علاقه محدودی را به عنوان الکتروولیت برای ابرخازن‌ها جلب نموده‌اند. مایعات یونی پروتیک شامل پیرولیدینیم نیترات (PyNO₃) [۴۲]، تری اتیل آمونیم بیس (تری فلوئورومتیل‌سوفونیل) ایمید $[\text{Et}_3\text{NH}][\text{TFSI}]$ ، پیرولیدینیم بیس (تری فلوئورومتانسولفونیل) ایمید $[\text{P}_6]$ و دی ایزوپروپیل-اتیل-آمونیوم بیس (تری فلوئورومتانسولفونیل) ایمید [DIPEA] هستند. با این وجود، مایعات یونی پروتیک می‌توانند دارای مزایایی از جمله سنتز آسان تر و ارزان تر در مقایسه با مایعات یونی آپروتیک باشند.

مایعات یونی مخلوط

همانطور که قبلاً ذکر شد، مایعات یونی که معمولاً مورد مطالعه قرار می‌گیرند دارای نقاط ذوب بالاتر از ۰ درجه سانتیگراد می‌باشند که استفاده از آنها به عنوان الکتروولیت برای کاربردهای دمای پایین جلوگیری می‌کند. به منظور گسترش دامنه دمای عملیاتی به دمای پایین تر به طور قابل توجهی زیر ۰ درجه سانتیگراد، استراتژی مخلوطی نمودن مایعات یونی بررسی شده است.

۴-۲-۳ الکتروولیت‌های ژل‌های پلیمری

همانطور که قبلاً ذکر شد، الکتروولیت‌های ژل پلیمری به دلیل قابلیت هدایت یونی بالا، در حال حاضر بیشترین الکتروولیتهای مورد مطالعه برای ابرخازن‌های حالت جامد هستند. یک GPE معمولاً از یک ماتریس پلیمری (پلیمر

میزبان) و یک الکترولیت مایع (به عنوان مثال، الکترولیت آبی، حلال آبی حاوی نمک رسانا و مایع یونی) تشکیل شده است. در مورد پلیمر میزبان، ماتریس های مختلف پلیمری برای تهیه GPE ها از جمله پلی وینیل الکل (PVA)، پلی اکریلیک اسید (PAA)، پلی اکریلات پتاسیم (PAAK)، پلی اتیل اکسید (PEO)، پلی (متیل متاکریلات) (PMMA)، پلی (اتر اتر کتون) (PEEK)، پلی (آکریلونیتریل)-بلاک-پلی (اتیلن گلیکول) - بلوک پلی (آکریلونیتریل) (PVDF-HFP) و پلی (وینیلیدین فلوراکسید-هگزافلوروپروپیلن) (PAN-b-PEG-b-PAN) مورد بررسی قرار گرفته است. هنگامی که آب به عنوان ژل کننده استفاده می شود، GPE حاصل از آن الکترولیت پلیمری هیدروژل نیز نامیده می شود، که دارای نوعی شبکه پلیمری سه بعدی است که می تواند آب را در ماتریس های پلیمر به طور عمدی از طریق کشش سطحی به دام بیندازد. علاوه بر آب، حللهای آبی مانند PC، EC و DMF یا مخلوط آنها (به عنوان مثال PC-EC [۴۳] و PC-ECDMC) نیز دارند معمولاً به عنوان نرم کننده در GPE استفاده می شود. هنگامی که آب به عنوان نرم کننده (پلاستیک کننده) استفاده می شود، GPE حاصل از آن الکترولیت پلیمری هیدروژل نیز نامیده می شود که دارای نوعی شبکه پلیمری سه بعدی است که می تواند آب را در ماتریس های پلیمر به طور عمدی از طریق کشش سطحی به دام بیندازد.

۱-۴-۲-۳ الکترولیت های پلیمری هیدروژل

پلی (وینیل الکل) (PVA)، به عنوان یک پلیمر خطی، بیشترین بررسی ماتریس پلیمری را تا به امروز در میان انواع مختلف پلیمرهای میزبان برای الکترولیت های هیدروژل داشته است. این عدتا به دلیل سهولت در تهیه، آب دوستی بالا، خواص خوب تشکیل فیلم، غیر سمی بودن و هزینه کم می باشد. PVA به طور کلی با محلول های آبی مختلف، مانند اسید قوی (به عنوان مثال H₂SO₄ و H₃PO₄)، قلیایی قوی (به عنوان مثال KOH) و الکترولیت های خنثی (به عنوان مثال LiCl) مخلوط شده و هیدروژل تشکیل می دهد.

۱-۴-۲-۳ الکترولیت های پلیمری هیدروژل برای الکترودهای پایه کربن

هنگامی که GPE ها به عنوان الکترولیت ES استفاده می شوند، دستیابی به طراحی مناسب رابط الکترود / الکترولیت برای عملکرد بالا اجتناب ناپذیر است. مطالعات نشان می دهد که ابرخازن های مبتنی بر GPE به دلیل

محدود بودن میزان انتشار یون یا مقاومت سطحی زیاد در رابط الکترود / الکتروولیت، می توانند از قابلیت های ضعیف رنج ببرند. همچنین کامپگن و همکاران [۴۴] دریافتند که ضخامت لایه الکترود نقش مهمی در دستیابی به ظرفیت بالای PVA / H₃PO₃ مبتنی بر ابرخازن ها دارد. در یک الکتروولیت آبی اسید سولفوریک ۱ مولار ، ظرفیت با افزایش ضخامت لایه الکترود به صورت خطی افزایش می یابد، در حالی که هنگام استفاده از هیدروژل / PVA H₃PO₃ به عنوان الکتروولیت، می توان مقدار ظرفیت اشباع را مشاهده کرد. به طور معمول، تطابق بین رابط الکترود / الکتروولیت هیدروژل، ماده الکترود و الکتروولیت هیدروژل برای دستیابی به عملکرد ابرخازن بسیار مهم است. با توجه به این موارد، مواد الکترودی با ساختارهای مختلف، مانند نانولوله های کربنی رشد یافته بر روی لباس های کربنی [۴۵] ، لباس های کربن فعال [۴۶] ، شبکه های گرافن سه بعدی [۴۷]، روبان های گرافن متخلخل [۴۸] و آئروژل های کربن متخلخل گرافن [۴۹] با استفاده از PVA بر پایه الکتروولیت های هیدروژل مطالعه شده است. مشاهده شده است که این ساختارهای پیشرفته کربنی می توانند نفوذ یک الکتروولیت هیدروژل به الکترود متخلخل را تسهیل کنند، که منجر به بهبود عملکرد ابرخازن و استفاده زیاد از مواد الکترود فعال می شود. نوع محلول های آبی در الکتروولیت هیدروژل نیز به دلیل متفاوت بودن آنها تأثیر قابل توجهی بر عملکرد ابرخازن دارد. نوع محلول های آبی در الکتروولیت هیدروژل نیز به دلیل هدایت های مختلف یونی، پایداری حرارتی و محیطی، تأثیر قابل توجهی بر عملکرد ابرخازن دارد. چن و همکاران [۵۰] شش هیدروژل مختلف مبتنی بر PVA را با استفاده از الکتروولیت های مختلف مانند NaOH، KCl و NaCl برای ابرخازن های مبتنی بر گرافن آماده کردند. بر اساس اندازه گیری های الکتروشیمیایی، آنها دریافتند که الکتروولیت هیدروژل PVA / H₃PO₄ بهترین عملکرد خازنی را در میان تمام هیدروژل های مبتنی بر PVA نشان داده است. با توجه به تأثیر دما، الکتروولیتهای مبتنی بر PVA معمولاً در دمای بالا دچار مشکلات سیالیت می شوند. برای بهبود عملکرد مربوط به دما، فی و همکاران یک هیدروژل پیوندی PVA / H₂SO₄ به عنوان الکتروولیت تهیه کرده و ابرخازن ساخته شده با حفظ ۷۸/۳ درصد ظرفیت ویژه اولیه پس از ۱۰۰۰ چرخه در دمای بالای ۷۰ درجه سانتیگراد، پایداری چرخه ای خوبی را از خود به نمایش گذاشتند. به طور مشابه ، مواد افزودنی یا پرکننده های مختلف مانند TiO₂ [۵۱]، Sb₂O₃ [۵۲]

جمهاد
دانشگاهی
پژوهشکده
توسعه صنایع شیمیایی

جمهوری اسلامی ایران

۵۳]، گرافن اکسید (GO) [۵۴] و هیدروکسی اتیل سلولز [۵۵] نیز برای بهبود کارایی هیدروژل های مبتنی بر PVA استفاده شده است.

مراجع:

- [1] K. Naoi, S. Ishimoto, J.I. Miyamoto, W. Naoi, Second generation ‘nanohybrid supercapacitor’: evolution of capacitive energy storage devices, *Energy Environ. Sci.* 5 (2012) 9363–9373, doi: 10.1039/C2EE21675B.
- [2] M. Lu, F. Beguin, E. Frackowiak, *Supercapacitors: Materials, Systems and Applications*, John Wiley & Sons, Weinheim, (2013).
- [3] Y. Gogotsi, P. Simon, True performance metrics in electrochemical energy storage, *Science* 334 (2011) 917–918, doi: 10.1126/science.1213003.
- [4] V. Augustyn, P. Simon, B. Dunn, Pseudocapacitive oxide materials for high-rate electrochemical energy storage, *Energy Environ. Sci.* 7 (2014) 1597–1614, doi: 10.1039/c3ee44164d.
- [5] C. Zhong, Y. Deng, W. Hu, J. Qiao, L. Zhang, J. Zhang, A review of electrolyte materials and compositions for electrochemical supercapacitors, *Chem. Soc. Rev.* 44 (2015) 7484–7539, doi: 10.1039/C5CS00303B.
- [6] B.E. Conway, *Electrochemical Supercapacitors: Scientific Fundamentals and Technological Applications*, Kluwer Academic/ Plenum, New York, (1999).
- [7] C. Zhong, Y. Deng, W. Hu, J. Qiao, L. Zhang, J. Zhang, A review of electrolyte materials and compositions for electrochemical supercapacitors, *Chem. Soc. Rev.* 44 (2015) 7484–7539, doi: 10.1039/C5CS00303B.
- [8] M. Galiński, A. Lewandowski, I. Stepniak, Ionic liquids as electrolytes, *Electrochim. Acta* 51 (2006) 5567–5580, doi: 10.1016/j.electacta.2006.03.016.
- [9] D. Jimenez-Cordero, F. Heras, M.A. Gilarranz, E. Raymundo-Pinero, Grape seed carbons for studying the influence of texture on supercapacitor behaviour in aqueous electrolytes, *Carbon* 71 (2014) 127–138, doi: 10.1016/j.carbon.2014.01.021.
- [10] K. Torchala, K. Kierzek, J. Machnikowski, Capacitance behavior of KOH activated mesocarbon microbeads in different aqueous electrolytes, *Electrochim. Acta* 86 (2012) 260–267, doi: 10.1016/j.electacta.2012.07.062.
- [11] H. Wu, X. Wang, L. Jiang, C. Wu, Q. Zhao, X. Liu, B. Huand, L. Yi, The effects of electrolyte on the supercapacitive performance of activated calcium carbide-derived carbon, *J. Power Sources* 226 (2013) 202–209, doi: 10.1016/j.jpowsour.2012.11.014.
- [12] X. Zhang, X. Wang, L. Jiang, H. Wu, C. Wu, J. Su, Effect of aqueous electrolytes on the electrochemical behaviors of supercapacitors based on hierarchically porous carbons, *J. Power Sources* 216 (2012) 290–296, doi: 10.1016/j.jpowsour.2012.05.090.

- [13] H. Oda, A. Yamashita, S. Minoura, M. Okamoto, T. Morimoto, Modification of the oxygen-containing functional group on activated carbon fiber in electrodes of an electric double-layer capacitor, *J. Power Sources* 158 (2006) 1510–1516, doi: 10.1016/j.jpowsour.2005.10.061.
- [14] X.D. Yan, Y.H. Yu, X.P. Yang, Effects of electrolytes on the capacitive behavior of nitrogen/phosphorus codoped nonporous carbon nanofibers: an insight into the role of phosphorus groups, *RSC Adv.* 4 (2014) 24986–24990, doi: 10.1039/C4RA02299H.
- [15] D. Hulicova, M. Kodama, H. Hatori, Electrochemical performance of nitrogen-enriched carbons in aqueous and non-aqueous supercapacitors, *Chem. Mater.* 18 (2006) 2318–2326, doi: 10.1021/cm060146i.
- [16] G. Pognon, T. Brousse, L. Demarconnay, D. Belanger, Performance and stability of electrochemical capacitor based on anthraquinone modified activated carbon, *J. Power Sources* 196 (2011) 4117–4122, doi: 10.1016/j.jpowsour.2010.09.097.
- [17] V. Ruiz, C. Blanco, M. Granda, R. Santamaria, Enhanced life-cycle supercapacitors by thermal treatment of mesophase-derived activated carbons, *Electrochim. Acta* 54 (2008) 305–310, doi: 10.1016/j.electacta.2008.07.079.
- [18] J.W. Long, D. Belanger, T. Brousse, W. Sugimoto, M.B. Sassin, O. Crosnier, Asymmetric electrochemical capacitors-stretching the limits of aqueous electrolytes, *MRS Bull.* 36 (2011) 513–522, doi: 10.1557/mrs.2011.137.
- [19] J.W. Lang, X.B. Yan, W.W. Liu, R.T. Wang, Q.J. Xue, Influence of nitric acid modification of ordered mesoporous carbon materials on their capacitive performances in different aqueous electrolytes, *J. Power Sources* 204 (2012) 220–229, doi: 10.1016/j.jpowsour.2011.12.044.
- [20] D.W. Wang, F. Li, L.C. Yin, X. Lu, Z.G. Chen, I.R. Gentle, G.Q. Lu, H.M. Cheng, Nitrogen-doped carbon monolith for alkaline supercapacitors and understanding nitrogen-induced redox transitions, *Chem. Eur. J.* 18 (2012) 5345–5351, doi: 10.1002/chem.201102806.
- [21] C.L. Wang, L. Sun, Y. Zhou, P. Wan, X. Zhang, J.S. Qiu, P/N co-doped microporous carbons from H₃PO₄-doped polyaniline by in situ activation for supercapacitors, *Carbon* 59 (2013) 537–546, doi: 10.1016/j.carbon.2013.03.052.
- [22] A. Takana, T. Iiyama, T. Ohba, S. Ozeki, K. Urita, T. Fujimori, H. Kanoh, K. Kaneko, Effect of a quaternary ammonium salt on propylene carbonate structure in slit-shape carbon nanopores, *Am. Chem. J. Soc.* 132 (2010) 2112–2173, doi: 10.1021/ja9087874.
- [23] D.E. Jiang, Z. Jin, D. Henderson, J. Wu, Solvent effect on the pore-size dependence of an organic electrolyte supercapacitor, *J. Phys. Chem. Lett.* 3 (2012) 1727–1731, doi: 10.1021/jz3004624.
- [24] L. Yang, B.H. Fishbine, A. Migliori, L.R. Pratt, Molecular simulation of electric double-layer capacitors based on carbon nanotube forests, *J. Am. Chem. Soc.* 131 (2009) 12373–12376, doi: 10.1021/ja9044554.

- [25] M. Ue, K. Ida, S. Mori, Electrochemical properties of organic liquid electrolytes based on quaternary onium salts for electrical double-layer capacitors, *J. Electrochem. Soc.* 141 (1994) 2989–2996, doi: 10.1149/1.2059270.
- [26] H. Maeshima, H. Moriwake, A. Kuwabara, C.A.J. Fisher, Quantitative evaluation of electrochemical potential windows of electrolytes for electric double-layer capacitors using ab initio calculations, *J. Electrochem. Soc.* 157 (2010) A696–A701, doi: 10.1149/1.3368694.
- [27] H. Maeshima, H. Moriwake, A. Kuwabara, C.A.J. Fisher, I. Tanaka, An improved method for quantitatively predicting the electrochemical stabilities of organic liquid electrolytes using ab initio calculations, *J. Electrochem. Soc.* 161 (2014) G7–G14, doi: 10.1149/2.069403jes.
- [28] L.J. Hardwick, M. Hahn, P. Ruch, M. Holzapfel, W. Scheifele, H. Buqa, F. Krumeich, P. Novak, R. Kotz, An in situ Raman study of the intercalation of supercapacitor-type electrolyte into microcrystalline graphite, *Electrochim. Acta* 52 (2006) 675–680, doi: 10.1016/j.electacta.2006.05.053.
- [29] Y.A.S. Ishimoto, M. Shinya, K. Naoia, Degradation responses of activated-carbon-based edlcs for higher voltage operation and their factors, *J. Electrochem. Soc.* 156 (2009) A563–A571, doi: 10.1149/1.3126423.
- [30] D. Hanlon, C. Backes, T.M. Higgins, M. Hughes, A. O'Neill, P. King, N. McEvoy, G.S. Duesberg, B.M. Sanchez, H. Pettersson, V. Nicolosi, J.N. Coleman, Production of molybdenum trioxide nanosheets by liquid exfoliation and their application in high-performance supercapacitors, *Chem. Mater.* 26 (2014) 1751–1763, doi: 10.1021/cm500271u.
- [31] E. Lim, H. Kim, C. Jo, J. Chun, K. Ku, S. Kim, H.I. Lee, I.S. Nam, S. Yoon, K. Kang, J. Lee, Advanced hybrid supercapacitor based on a mesoporous niobium pentoxide/carbon as high-performance anode, *ACS Nano* 8 (2014) 8968–8978, doi: 10.1021/nn501972w.
- [32] G.G. Amatucci, F. Badway, A. Du Pasquier, T. Zheng, An asymmetric hybrid nonaqueous energy storage cell, *J. Electrochem. Soc.* 148 (2001) A930, doi: 10.1149/1.1383553.
- [33] K. Chiba, T. Ueda, Y. Yamaguchi, Y. Oki, F. Saiki, K. Naoi, Electrolyte systems for high withstand voltage and durability II. Alkylated cyclic carbonates for electric double-layer capacitors, *J. Electrochem. Soc.* 158 (2011) A1320–A1327, doi: 10.1149/2.038112jes.
- [34] R. Francke, D. Cericola, R. Kotz, D. Weingarth, S.R. Waldvogel, Novel electrolytes for electrochemical double layer capacitors based on 1,1,1,3,3,3-hexafluoropropan-2-ol, *Electrochim. Acta* 62 (2012) 372–380, doi: 10.1016/j.electacta.2011.12.050.
- [35] K. Suzuki, M. Shin-Ya, Y. Ono, T. Matsumoto, N. Nanbu, M. Takehara, M. Ue, Y. Sasaki, Physical and electrochemical properties of fluoroacetonitrile and its application to electric double-layer capacitors, *Electrochemistry* 75 (2007) 611–614

- [36] K. Chiba, T. Ueda, Y. Yamaguchi, Y. Oki, F. Shimodate, K. Naoi, Electrolyte systems for high withstand voltage and durability I. Linear sulfones for electric double-layer capacitors, *J. Electrochem. Soc.* 158 (2011) A872– A882, doi: 10.1149/1.3593001.
- [37] A. Brandt, P. Isken, A. Lex-Balducci, A. Balducci, Adiponitrile-based electrochemical double layer capacitor, *J. Power Sources* 204 (2012) 213–219, doi: 10.1016/j.jpowsour.2011.12.025
- [38] I. Murayama, N. Yoshimoto, M. Egashira, M. Morita, Y. Kobayashi, M. Ishikawa, *Electrochemistry* 73 (2005) 600–602.
- [39] H. Matsumoto, H. Kageyama, Y. Miyazaki, *Electrochemistry* 71 (2003) 1058–1060.
- [40] K.R. Seddon, A. Stark, M.J. Torres, Influence of chloride, water, and organic solvents on the physical properties of ionic liquids, *Pure Appl. Chem.* 72 (2000) 2275–2287, doi: 10.1351/pac200072122275
- [41] A.J.R. Rennie, N. Sanchez-Ramirez, R.M. Torresi, P.J. Hall, Ether-bond-containing ionic liquids as supercapacitor electrolytes, *J. Phys. Chem. Lett.* 4 (2013) 2970–2974, doi: 10.1021/jz4016553.
- [42] L. Demarconnay, E.G. Calvo, L. Timperman, M. Anouti, D. Lemordant, E. Raymundo-Pinero, A. Arenillas, J.A. Menendez, F. Beguin, Optimizing the performance of supercapacitors based on carbon electrodes and protic ionic liquids as electrolytes, *Electrochim. Acta* 108 (2013) 361–368, doi: 10.1016/j.electacta.2013.07.001.
- [43] Y.N. Sudhakar, M. Selvakumar, D.K. Bhat, LiClO₄-doped plasticized chitosan and poly(ethylene glycol) blend as biodegradable polymer electrolyte for supercapacitors, *Ionics* 19 (2013) 277–285, doi: 10.1007/s11581-012-0745-5.
- [44] M. Kaempgen, C.K. Chan, J. Ma, Y. Cui, G. Gruner, Printable thin film supercapacitors using single-walled carbon nanotubes, *Nano Lett.* 9 (2009) 1872–1876, doi: 10.1021/nl8038579.
- [45] C. Zhou, J.P. Liu, Carbon nanotube network film directly grown on carbon cloth for high-performance solidstate flexible supercapacitors, *Nanotechnology* 25 (2014) 035402, doi: 10.1088/0957-4484/25/3/035402.
- [46] G.M. Wang, H.Y. Wang, X.H. Lu, Y.C. Ling, M.H. Yu, T. Zhai, Y.X. Tong, Y. Li, Solid-state supercapacitor based on activated carbon cloths exhibits excellent rate capability, *Adv. Mater.* 26 (2014) 2676–2682, doi: 10.1002/adma.201304756.
- [47] Y. Xu, Z. Lin, X. Huang, Y. Wang, Y. Huang, X. Duan, Functionalized graphene hydrogel-based high-performance supercapacitors, *Adv. Mater.* 25 (2013) 5779–5784, doi: 10.1002/adma.201301928.
- [48] G. Huang, C. Hou, Y. Shao, B. Zhu, B. Jia, H. Wang, Q. Zhang, Y. Li, High-performance all-solid-state yarn supercapacitors based on porous graphene ribbons, *Nano Energy* 12 (2015) 26–32, doi: 10.1016/j.nanoen.2014.11.056.
- [49] H.F. Ju, W.L. Song, L.Z. Fan, Rational design of graphene/porous carbon aerogels for high-performance flexible all-solid-state supercapacitors, *J. Mater. Chem. A* 2 (2014) 10895–10903, doi: 10.1039/C4TA00538D.

- [50] Q. Chen, X.M. Li, X.B. Zang, Y.C. Cao, Y.J. He, P.X. Li, K.L. Wang, J.Q. Wei, D.H. Wu, H.W. Zhu, Effect of different gel electrolytes on graphene-based solid-state supercapacitors, *RSC Adv.* 4 (2014) 36253–36256, doi: 10.1039/C4RA05553E.
- [51] H. Gao, K. Lian, Effect of SiO₂ on Silicotungstic Acid-H₃PO₄-poly(vinyl alcohol) Electrolyte for Electrochemical Supercapacitors, *J. Electrochem. Soc.* 160 (2013) A505–A510, doi: 10.1149/2.053303jes.
- [52] C.S. Lim, K.H. Teoh, C.W. Liew, S. Ramesh, Capacitive behavior studies on electrical double layer capacitor using poly (vinyl alcohol)-lithium perchlorate based polymer electrolyte incorporated with TiO₂, *Mater. Chem. Phys.* 143 (2014) 661–667, doi: 10.1016/j.matchemphys.2013.09.051.
- [53] C.S. Lim, K.H. Teoh, C.W. Liew, S. Ramesh, Electric double layer capacitor based on activated carbon electrode and biodegradable composite polymer electrolyte, *Ionics* 20 (2014) 251–258, doi: 10.1007/s11581-013-0982-2.
- [54] Y.F. Huang, P.F. Wu, M.Q. Zhang, W.H. Ruan, E.P. Giannelis, Boron cross-linked graphene oxide/polyvinyl alcohol nanocomposite gel electrolyte for flexible solid-state electric double layer capacitor with high performance, *Electrochim. Acta* 132 (2014) 103–111, doi: 10.1016/j.electacta.2014.03.151.
- [55] M. Rosi, F. Iskandar, M. Abdullah, Khairurrijal, Hydrogel-polymer electrolytes based on polyvinyl alcohol and hydroxyethylcellulose for supercapacitor applications, *Int. J. Electrochem. Sci.* 9 (2014) 4251–4256.

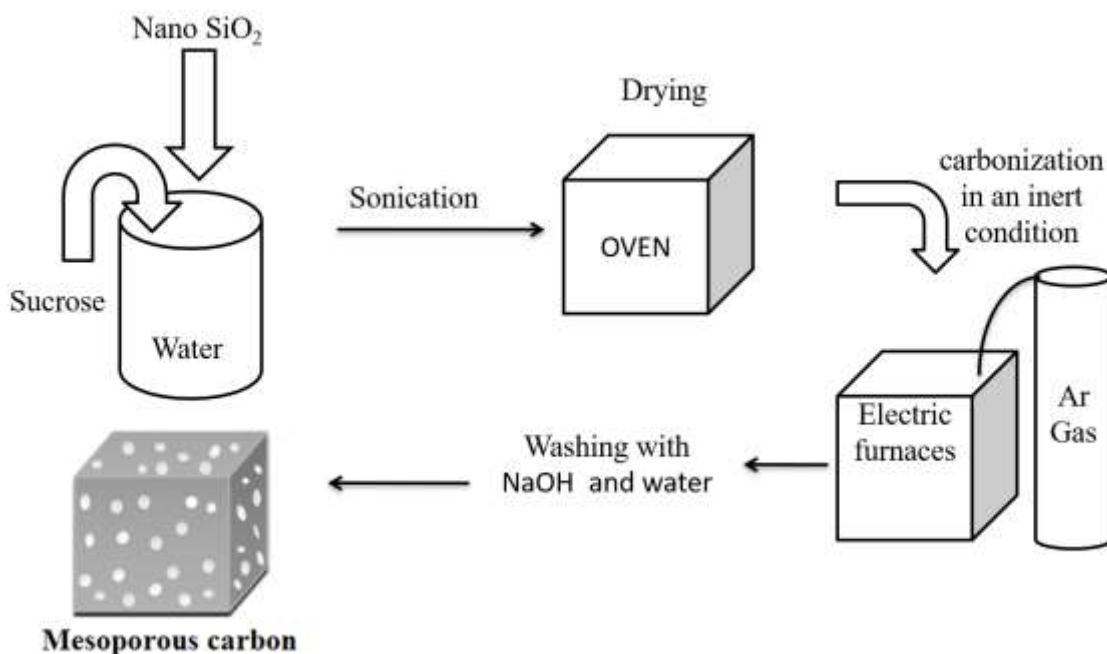
فصل چهارم

سنتر ماده نانو متخلخل کربنی برای کاربرد در ساخت ابر خازن الکتروشیمیایی

۴-۱ - مقدمه

همانطور که در فصل‌های ۱ و ۲ اشاره شد مواد کربنی با مساحت سطح بالا از مهمترین مواد الکتروودی برای استفاده در ساخت ابر خازن‌های شیمیایی می‌باشند. در این فصل بهینه‌سازی سنتز ماده کربنی نانومتلخلخل با مساحت سطح بالا و عملکرد آن به عنوان ماده الکتروودی در ساخت ابر خازن الکتروشیمیایی مورد بررسی قرار می‌گیرد.

شکل ۱-۴ یک شماتیکی از فرایند سنتز را نشان می‌دهد. که در آن، از ساکارز به عنوان پیش ماده کربنی و از نانو ذرات تجارتی سیلیکا به عنوان قالب سخت استفاده شده است. به منظور اقتصادی شدن فرایند سنتز از مواد ارزان قیمت در دسترس (ساکارز و نانو ذرات سیلیکا) استفاده شد. عوامل مهم در فرایند سنتز که در خواص خازنی ماده کربنی تأثیرگذار هستند شامل مقادیر ساکارز سیلیکا و دمای کربونیزاسیون می‌باشد.



شکل ۱-۴ شماتیکی از فرایند سنتز ماده نانو حفره کربنی

وجود قالب سیلیکاتی، باعث تشکیل حفرات نانومتری می‌باشد و پیش بینی می‌شود با افزایش مقدار این نانو ذرات مساحت سطح ماده کربنی افزایش یابد. همچنین دمای کربونیزاسیون نیز در هدایت الکتریکی ماده کربنی و در نتیجه خواص خازنی ماده به دست آمده تأثیرگذار می‌باشد. برای بهینه‌سازی خواص خازنی ماده نانو متخلخل کربنی مواد

مختلف با مقادیر متفاوت ساکارز و نانو ذرات سیلیکا سنتز شد و همچنین کربونیزاسیون در دماهای متفاوتی انجام گرفت. جزئیات روش سنتز در بخش آزمایشگاهی و نتایج حاصل در بخش‌های بعدی مورد بحث قرار گرفته است.

۴-۲- بخش تجربی

در این بخش ابتدا روش آزمایشگاهی سنتز و بهینه سازی ویژگی‌های خازنی ماده نانومتلخلخل کربنی شرح داده می‌شود. همچنین روش‌ها و دستگاه‌های مورد نیاز برای تعیین ساختار و همچنین بررسی رفتار ابرخازنی ماده نانو متخلخل کربنی اشاره می‌شود.

۴-۳- مواد مورد استفاده

گرید تجاری نانوسیلیکا با درجه خلوص تجاری (AEROSIL-R 974) که متوسط اندازه ذرات آن ۱۵ نانومتر و مساحت سطح آن ۱۷۰ متر مربع بود از شرکت evonik تهیه شد. استیلن سیاه با اندازه ذرات ۵۰ میکرومتر از شرکت سیگما-آلدریچ تهیه شد. ساکارز، سدیم سولفات، پتاسیم هیدروکسید، تترا اتیلن تترافلورو بورات و استونیتریل از شرکت مرک خریداری شد.

۴-۴- سنتز نمونه‌های کربنی

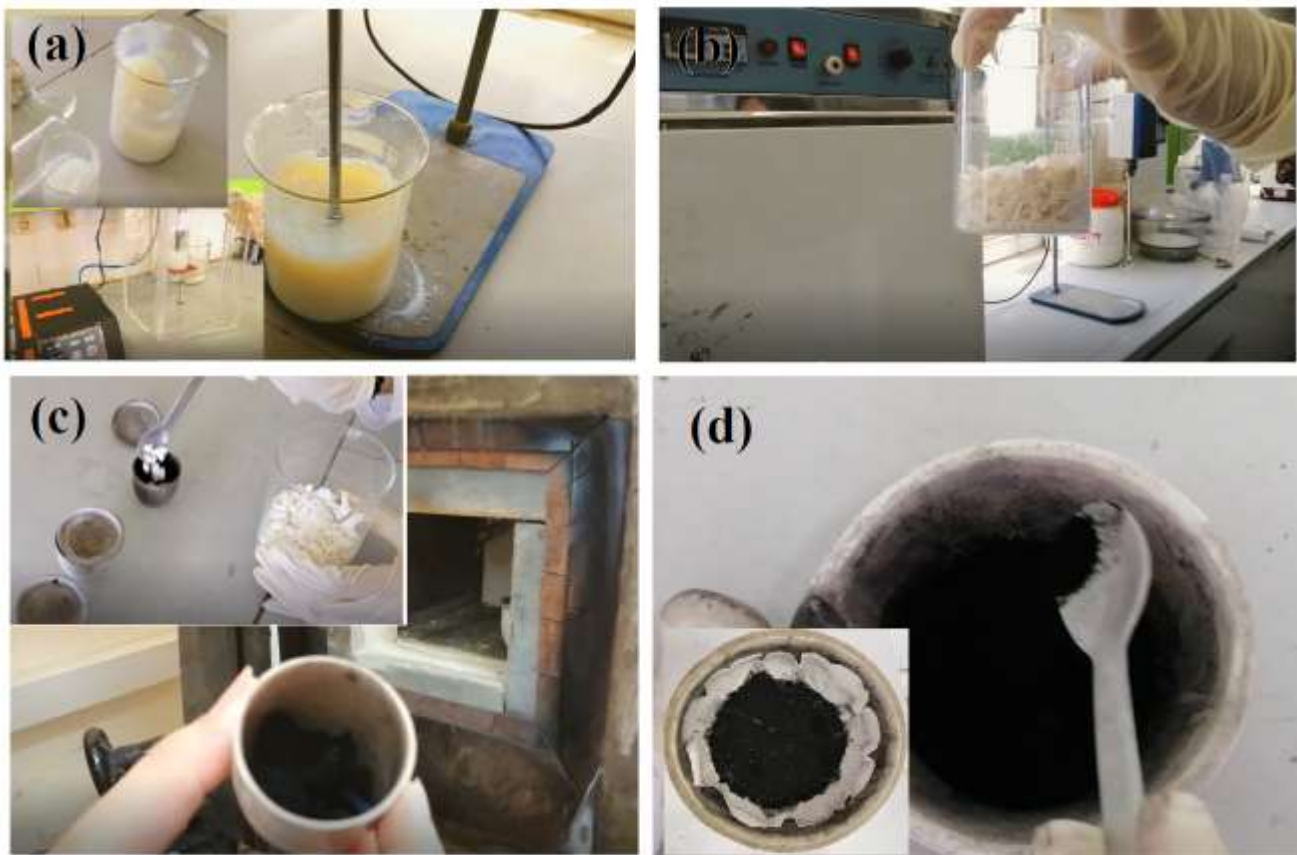
همانطور که پیش‌تر اشاره شد، ماده نانو متخلخل کربنی با استفاده از مواد اصلی ارزان قیمت ساکارز به عنوان پیش ماده کربنی و نانو سیلیکا به عنوان قالب سخت تهیه شد. برای به دست آوردن ماده کربنی با رفتار بهینه ابرخازنی، مقدار ساکارز مورد استفاده و دمای کربونیزاسیون مورد بررسی قرار گرفتند. برای این منظور ۲۸ نمونه کربنی در شرایط مختلف سنتز شدند و جدول ۱-۴ مقادیر مورد استفاده در فرایند سنتز را برای این نمونه‌ها نشان می‌دهد.

جدول ۱-۴ مشخصات مواد سنتز شده و شرایط سنتز

نام ماده کربنی	مقدار ساکارز (گرم)	مقدار نانوسیلیکا (گرم)	نسبت وزنی ساکارز/نانو سیلیکا	دماهی کربونیزاسیون (سانتی گراد)	نام ماده کربنی	مقدار ساکارز (گرم)	مقدار نانوسیلیکا (گرم)	نسبت وزنی ساکارز/نانو سیلیکا	دماهی کربونیزاسیون (سانتی گراد)
MC-1-700	8	45	0.18	700	MC-1-900	8	45	0.18	900
MC-2-700	12	45	0.27	700	MC-2-900	12	45	0.27	900
MC-3-700	16	45	0.36	700	MC-3-900	16	45	0.36	900
MC-4-700	20	45	0.44	700	MC-4-900	20	45	0.44	900
MC-5-700	25	45	0.56	700	MC-5-900	25	45	0.56	900
MC-6-700	30	45	0.67	700	MC-6-900	30	45	0.67	900
MC-7-700	40	45	0.89	700	MC-7-900	40	45	0.89	900
MC-1-800	8	45	0.18	800	MC-1-1000	8	45	0.18	1000
MC-2-800	12	45	0.27	800	MC-2-1000	12	45	0.27	1000
MC-3-800	16	45	0.36	800	MC-3-1000	16	45	0.36	1000
MC-4-800	20	45	0.44	800	MC-4-1000	20	45	0.44	1000
MC-5-800	25	45	0.56	800	MC-5-1000	25	45	0.56	1000
MC-6-800	30	45	0.67	800	MC-6-1000	30	45	0.67	1000
MC-7-800	40	45	0.89	800	MC-7-1000	40	45	0.89	1000

به طور کلی در یک فرایند سنتز، ساکارز مورد استفاده در ۳۵۰ میلی لیتر آب مقطر حل شد و سپس ۴۵ گرم نانوسیلیکا به محلول حاصل اضافه گردید. سوسپانسیون به دست آمده برای ۳۰ دقیقه تحت امواج فراصوت قرار گرفت تا محلول سوسپانسیون کاملاً یکنواخت شود (شکل ۴-۲-a). مخلوط به دست آمده در طول شب در دماهی ۸۰ درجه خشک و در دماهی ۱۴۰ درجه پیش کربونیزه شد (شکل ۴-۲-b). ماده جامد به دست آمده برای ۱۲۰ دقیقه در دماهای مورد نظر (۷۰۰، ۸۰۰، ۹۰۰ و ۱۰۰۰) درجه سلسیوس تحت گاز آرگون با جريان ۵ لیتر بر دقیقه کربونیزه شد (شکل ۴-۲-c). محصول به دست آمده توسط محلول سود سوزآور یک مولار در دماهی ۸۰ درجه برای حذف قالب نانوسیلیکا شست و شو داده شد و در نهايٰت مواد پودري با فيلتراسيون و شستشو با مقدار زياد آب تا خنيٰ شدن محلول زير صافی، حاصل شد. در انتهٰها با خشک کردن پودر روی کاغذ صافی در آون خلاء در دماهی ۱۰۰ درجه

سلسیوس، مواد نانو متخلخل کربنی تهیه شد (شکل ۴-۲-d). نامگذاری نمونه ها با توجه به شرایط سنتز مطابق جدول ۱-۴ انجام گرفت.

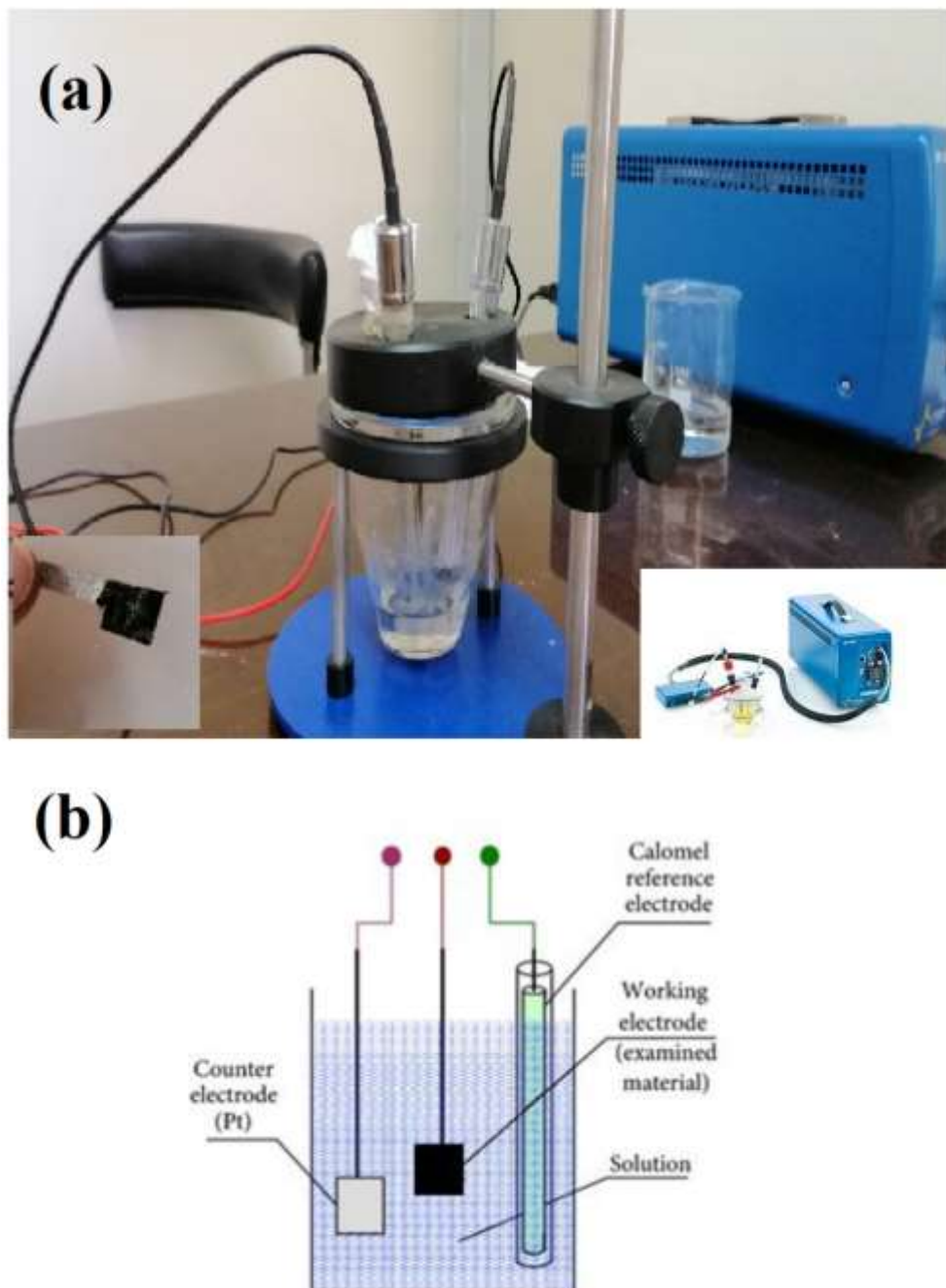


شکل ۴-۲ مراحل سنتز نمونه های کربنی (a) تهیه سوسپانسیون مواد اولیه، (b) خشک کردن و پیش کربونیزاسیون، (c) کربونیزاسیون تحت جو نیتروژن (d) شستشو و حذف قالب سیلیکاتی

۴-۲-۳ مطالعات الکتروشیمیایی

اندازه‌گیری‌های الکتروشیمیایی از طریق دستگاه پتانسیو استات/ گالوانو استات Biologic ساخته کشور فرانسه انجام شد (شکل ۴-۳-a). تمامی آزمایش‌ها در دمای آزمایشگاه و در سیستم سه الکترودی انجام شدند (شکل ۴-۳-b). برای ساخت الکترود برای سیستم سه الکترودی در محلول الکترولیت مورد نظر از فوم نیکل به عنوان بستر جمع کننده جریان استفاده شد. برای تهیه الکترود مورد مطالعه، ماده کربنی مورد نظر به همراه استیلن بلک و ماده چسباننده با نام پلی تترافلوئورو اتیلین را با نسبت ۷۰:۲۵:۵ در درون N-Mتیل پیرولیدن ریخته و توسط امواج التراسونیک برای ۳۰ دقیقه همگن می‌شود و سپس در هاون چینی ساییده می‌شود تا یک خمیر یکنواخت حاصل

شود. ماده به دست آمده بر روی بستر فوم نیکل قرار داده می‌شود و سپس در دمای ۸۰ درجه سانتی گراد در درون آون خلاء خشک می‌شود. با توزین مجدد الکترود ساخته شده و تفریق آن از وزن اولیه الکترود، جرم ماده الکترودی برای اعمال در محاسبات ظرفیت خازنی به دست می‌آید.



شکل ۳-۴ (a) دستگاه پتانسیو استات / گالوانو استات و الکترود کار مورد استفاده برای مطالعات الکتروشیمیایی و (b) شماتیک سیستم ۳ الکترودی برای مطالعات الکتروشیمیایی

۴-۲-۴ مشخصه یابی فیزیکوشیمیایی

آزمایش‌های جذب و واجذب نیتروژن با به کارگیری دستگاه Belsorp، BELMAX ساخت کشور ژاپن در دمای ۷۷ درجه کلوبین صورت گرفت. لازم به ذکر است که قبل از انجام این آزمایش، نمونه‌ها در دمای ۴۷۳ درجه کلوبین به مدت ۱۲ ساعت تخلیه گازی شدند. مساحت سطح به دست آمده توسط روش جذب و واجذب نیتروژن و توزیع اندازه حفرات از طریق شاخه جذبی منحنی جذب- واجذب نیتروژن با به کارگیری روش BJJ تعیین شد [۱]. فرآیند کربنی شدن در کوره اکسایتون ساخت کشور ایران تحت جریان ۵ لیتر بر دقیقه از گاز نیتروژن صورت گرفت.

۴-۳ بحث و نتایج

۴-۳-۱ مطالعات الکتروشیمیایی

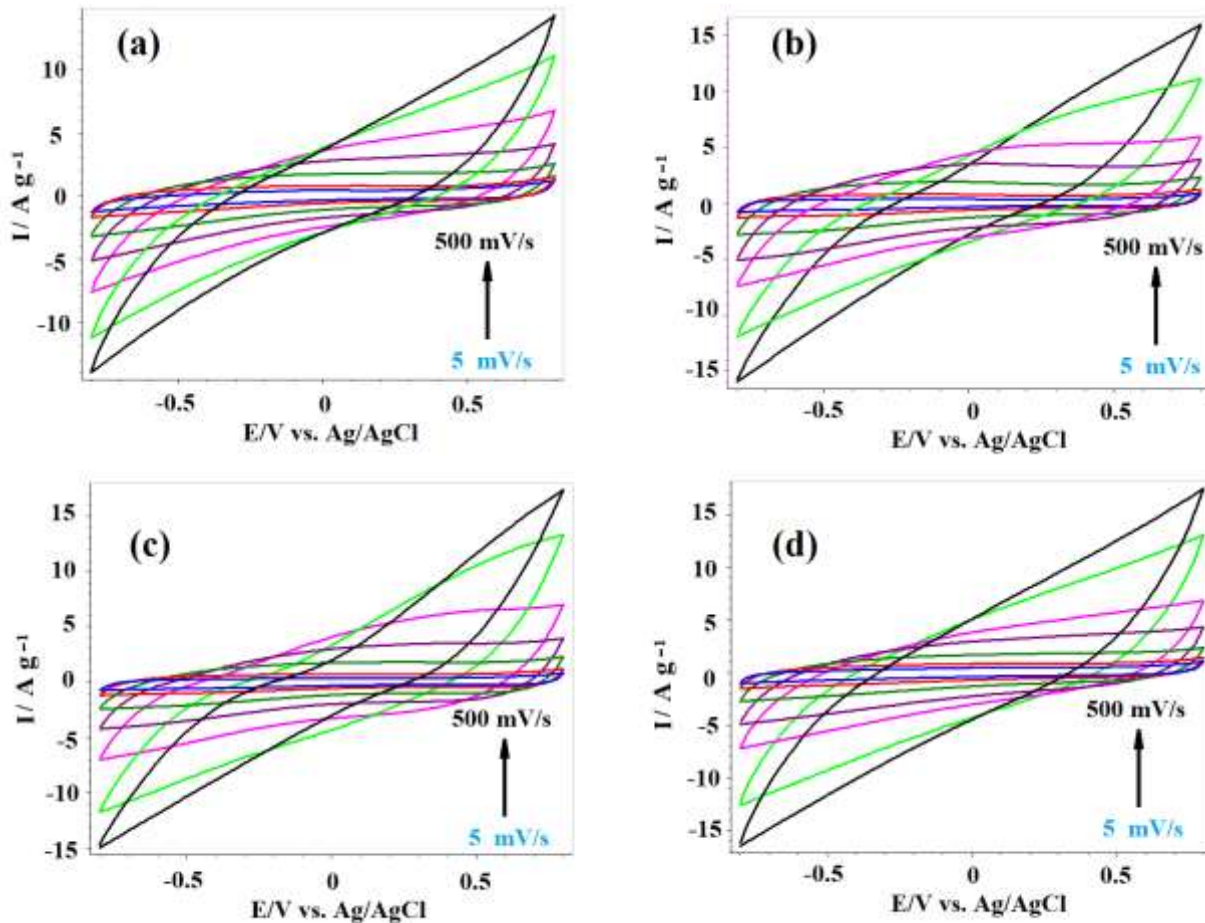
رفتار ابر خازنی هر یک از نمونه‌های کربنی سنتز شده در الکتروولیت‌های آبی و آلی مورد بررسی قرار گرفت. برای این منظور ۲ الکتروولیت سدیم سولفات و پتاسیم هیدروکسید به عنوان الکتروولیت‌های آبی و الکتروولیت تترا اتیل آمونیوم تترا فلورو بورات (TEA.BF₄) در حلal استونیتریل به عنوان الکتروولیت آلی انتخاب شدند. این الکتروولیت‌ها مهمترین و پر مصرف ترین الکتروولیت‌های موجود در این زمینه می‌باشند که در اکثر مطالعات مواد ابرخازنی مورد استفاده قرار گرفته اند [۲-۲۰].

همچنین قابل ذکر است برای بررسی رفتار خازنی هر کدام از مواد از روش‌های ولتامتری چرخه‌ای و شارژ/دشارژ استفاده شد. در روش ولتامتری چرخه‌ای سرعت روبش پتانسیل در محدوده ۵۰۰-۵ mV/s انتخاب شد و همچنین در روش شارژ/دشارژ میزان چگالی جریان اعمالی در محدوده ۰/۵-۱۰ A/g قرار گرفت.

۴-۳-۱-۱ الکتروولیت آبی سدیم سولفات

• ولتامتری چرخه‌ای

با استفاده از روش ولتامتری چرخه‌ای رفتار خازنی نمونه‌های کربنی سنتز شده مورد اشاره در جدول ۴-۱-۱ در سرعت‌های روبش ۵۰۰-۵ mV/s مورد بررسی قرار گرفتند. شکل ۴-۴ منحنی‌های حاصل از ولتامتری چرخه‌ای را برای ماده‌های MC-700-1، MC-800-1، MC-900-1 و MC-1000-1 نشان می‌دهد.



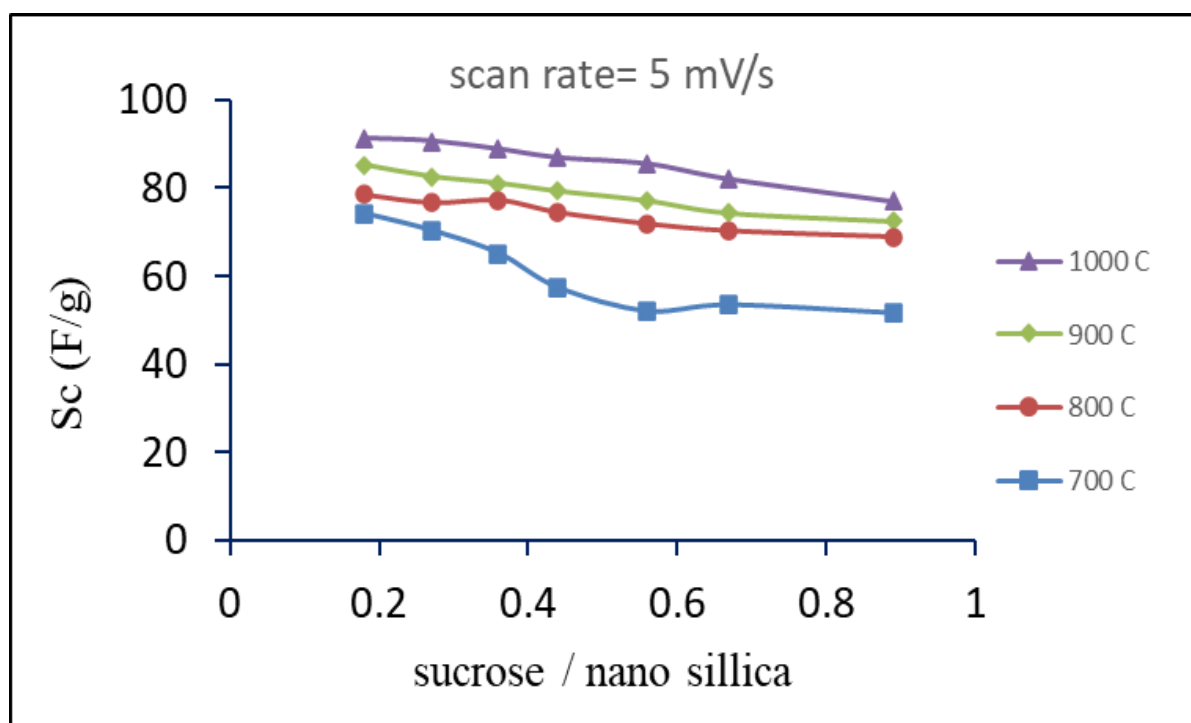
شکل ۴-۴ نمودار های حاصل در ولتامتری چرخه ای در سیستم سه الکترودی برای ماده های (a) MC-800-1 (b) MC-700-1 (c) MC-1000-1 و (d) MC-900-1 در الکترولیت آبی سدیم سولفات ۱ مولار

ظرفیت خازنی ویژه برای هر یک از مواد سنتری در سرعت های روش مورد اشاره با استفاده از فرمول ۱-۴ مورد محاسبه قرار گرفت.

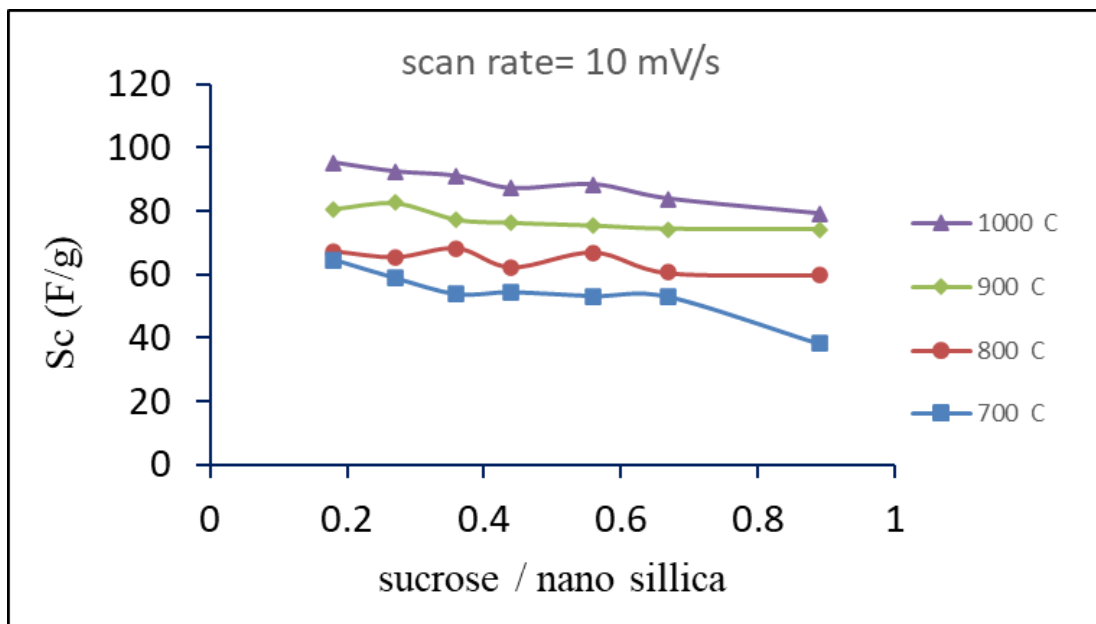
$$C_s = \frac{\int I dv}{v \times m \times \Delta V} \quad (4-1)$$

که در آن C_s ظرفیت خازنی ویژه، I جریان حاصل در روش ولتامتری چرخه ای، v سرعت روش پتانسیل، m مقدار ماده کربنی نشانده شده در سطح الکترود و ΔV پنجره پتانسیل می باشد.

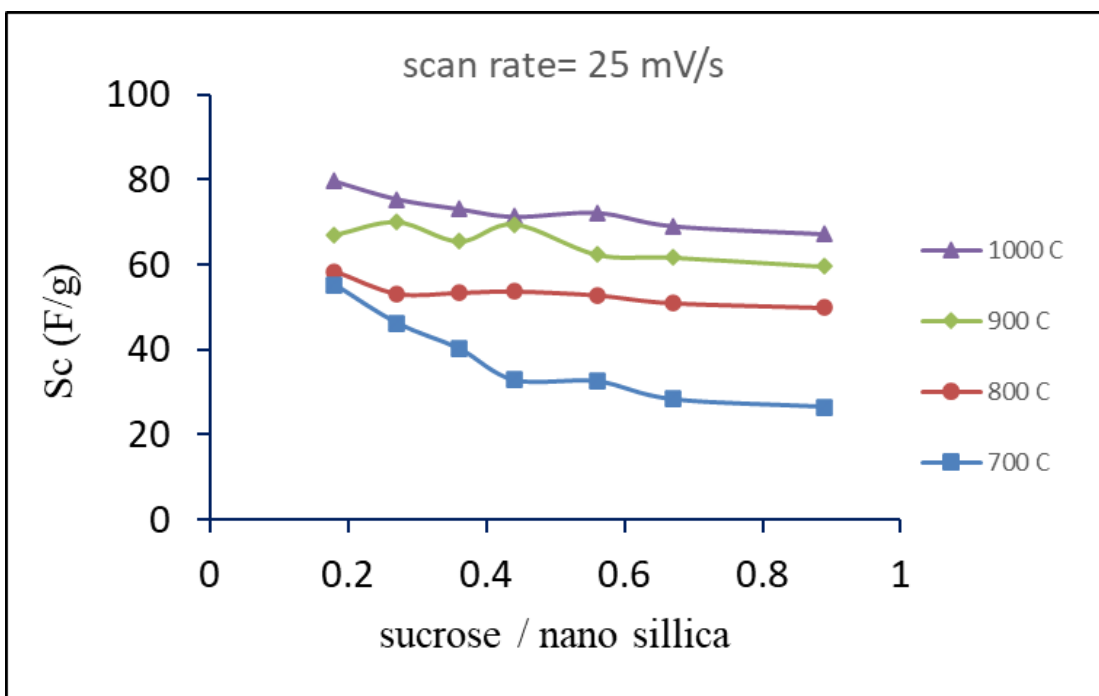
معمولًاً با افزایش سرعت روش ظرفیت خازنی کاهش می‌یابد. برای بیان این حالت از قابلیت سرعت استفاده می‌شود که بیانگر میزان حفظ ظرفیت خازنی در سرعت‌های بالاتر روش می‌باشد. نتایج حاصل برای ظرفیت خازنی ویژه هر کدام از مواد و سرعت روش‌های مورد نظر در جدول ۴-۲ ارائه شده است. همچنین در این جدول میزان افت ظرفیت ویژه که با افزایش سرعت روش اتفاق می‌افتد (قابلیت سرعت) نیز ارائه شده است. برای مقایسه بهتر اثر دمای کربونیزاسیون و میزان ساکارز مورد استفاده در ظرفیت خازنی نتایج حاصل در سرعت‌های روش مختلف در نمودارهای جداگانه (شکل ۴-۵ تا شکل ۱۱-۴) ارائه شده‌اند.



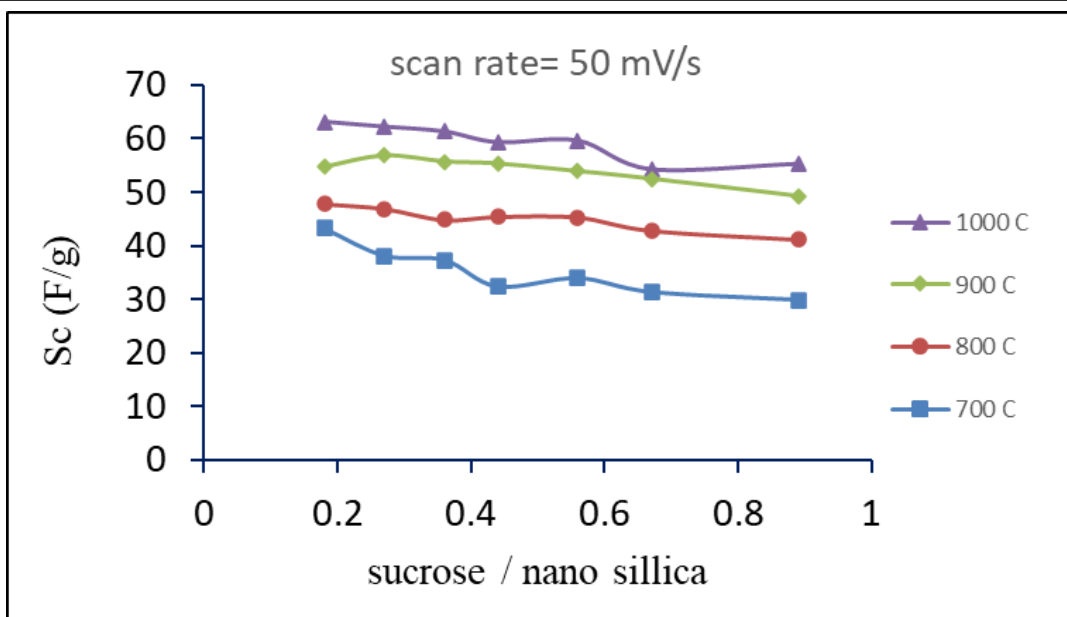
شکل ۴-۵ ظرفیت خازنی ویژه حاصل شده در الکتروولیت آبی سدیم سولفات برای ماده‌های سنتزی در روش ولتاوتمتری چرخه‌ای با سیستم سه الکترودی با سرعت روش ۵ mV/s



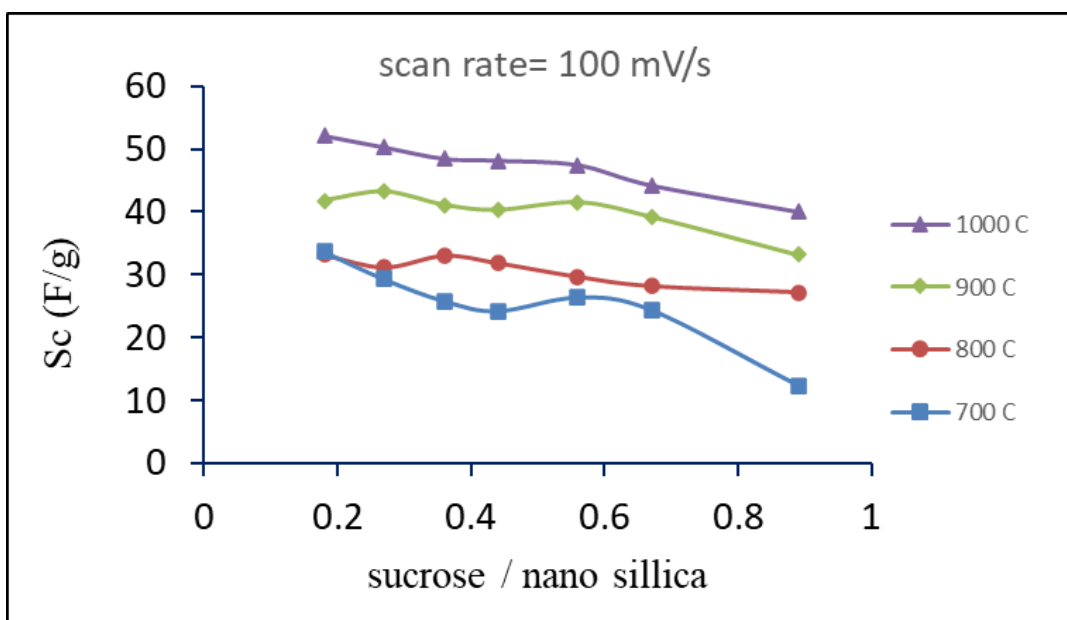
شکل ۶-۴ ظرفیت خازنی ویژه حاصل شده در الکتروولیت آبی سدیم سولفات برای ماده های سنتزی در روش ولتاوتمتری چرخه ای با سیستم سه الکترودی با سرعت روبش 10 mV/s



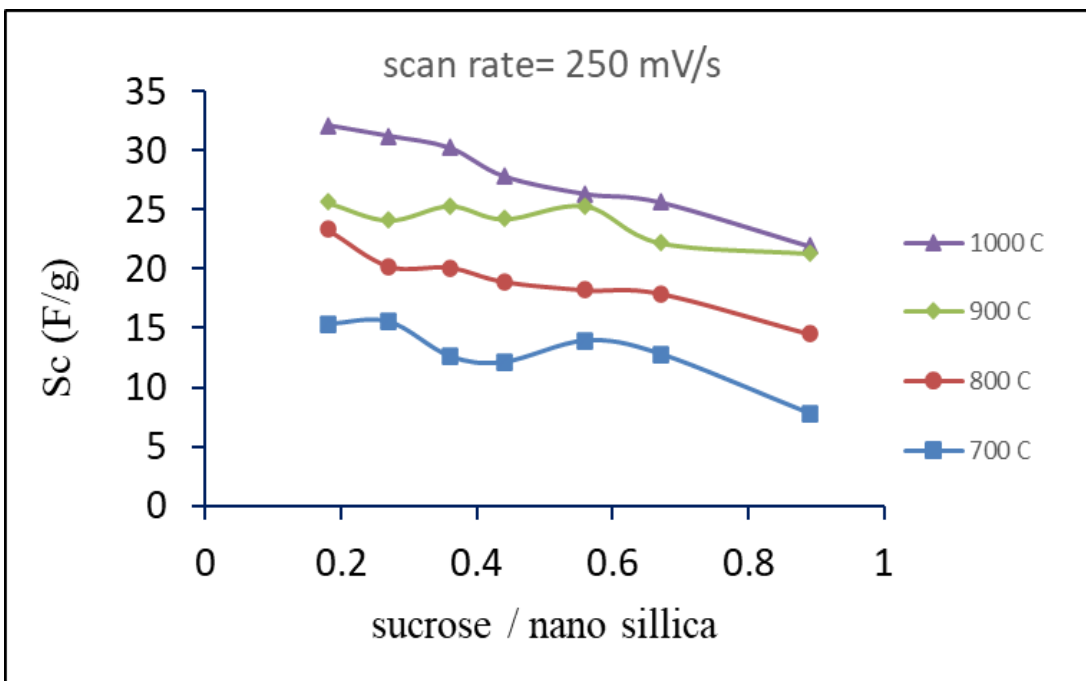
شکل ۷-۴ ظرفیت خازنی ویژه حاصل شده در الکتروولیت آبی سدیم سولفات برای ماده های سنتزی در روش ولتاوتمتری چرخه ای با سیستم سه الکترودی با سرعت روبش 25 mV/s



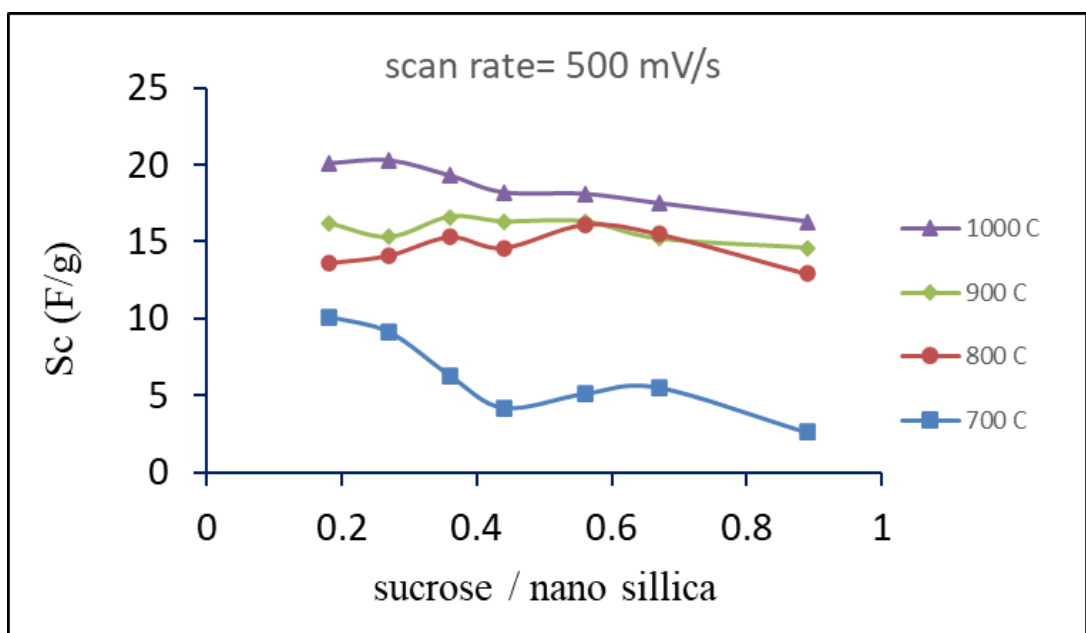
شکل ۴-۸ ظرفیت خازنی ویژه حاصل شده در الکتروولیت آبی سدیم سولفات برای ماده های سنتزی در روش ولتاوتمتری چرخه ای با سیستم سه الکتروودی با سرعت روبش 50 mV/s



شکل ۴-۹ ظرفیت خازنی ویژه حاصل شده در الکتروولیت آبی سدیم سولفات برای ماده های سنتزی در روش ولتاوتمتری چرخه ای با سیستم سه الکتروودی با سرعت روبش 100 mV/s



شکل ۱۰-۴ ظرفیت خازنی ویژه حاصل شده در الکتروولیت آبی سدیم سولفات برای ماده های سنتزی در روش ولتامتری چرخه ای با سیستم سه الکترودی با سرعت روبش 250 mV/s



شکل ۱۱-۴ ظرفیت خازنی ویژه حاصل شده در الکتروولیت آبی سدیم سولفات برای ماده های سنتزی در روش ولتامتری چرخه ای با سیستم سه الکترودی با سرعت روبش 500 mV/s

جدول ۴-۲ ظرفیت خازنی ویژه محاسبه شده برای ماده های مختلف سنتز شده در ولتاویری چرخه ای در سیستم سه الکترودی با الکترولیت آبی سدیم سولفات در سرعتهای روش $5-500 \text{ mV/s}$ و قابلیت سرعت حاصل شده برای هر ماده

Na_2SO_4	5mV/s	10 mV/s	25 mV/s	50 mV/s	100 mV/s	250 mV/s	500 mV/s	Rate capability (%)
MC.700-1	74.1	64.6	55.2	43.2	33.7	15.3	10.1	13.6
MC.700-2	70.3	58.8	46.2	38.1	29.3	15.5	9.1	12.9
MC.700-3	65.1	53.8	40.2	37.3	25.8	12.6	6.3	9.7
MC.700-4	57.3	54.4	32.8	32.3	24.2	12.1	4.2	7.3
MC.700-5	52	53.2	32.5	33.9	26.4	13.9	5.1	9.8
MC.700-6	53.4	52.9	28.3	31.3	24.4	12.8	5.5	10.3
MC.700-7	51.6	38.2	26.5	29.8	12.3	7.8	2.6	5.0
MC.800-1	78.5	67.3	58.3	47.8	33.2	23.3	13.6	17.3
MC.800-2	76.7	65.5	53.1	46.9	31.2	20.2	14.1	18.4
MC.800-3	77.3	68.2	53.3	44.8	33.1	20.1	15.3	19.8
MC.800-4	74.5	62.4	53.6	45.4	31.9	18.9	14.6	19.6
MC.800-5	71.9	66.9	52.7	45.3	29.7	18.2	16.1	22.4
MC.800-6	70.3	60.6	50.9	42.8	28.2	17.9	15.5	22.0
MC.800-7	68.9	59.9	49.8	41.1	27.2	14.5	12.9	18.7
MC.900-1	85.2	80.7	66.9	54.7	41.8	25.6	16.2	19.0
MC.900-2	82.6	82.6	69.9	56.8	43.2	24.1	15.3	18.5
MC.900-3	81.1	77.2	65.4	55.7	41.1	25.3	16.6	20.5
MC.900-4	79.3	76.2	69.4	55.3	40.3	24.2	16.3	20.6
MC.900-5	77.1	75.3	62.3	53.9	41.5	25.3	16.3	21.1
MC.900-6	74.3	74.3	61.6	52.5	39.2	22.2	15.2	20.5
MC.900-7	72.4	74.2	59.5	49.3	33.2	21.3	14.6	20.2
MC.1000-1	91.2	95.3	79.6	63.1	52.1	32.1	20.1	22.0
MC.1000-2	90.6	92.5	75.4	62.2	50.3	31.2	20.3	22.4
MC.1000-3	88.8	91.1	73.1	61.3	48.5	30.2	19.3	21.7
MC.1000-4	86.9	87.2	71.3	59.3	48.2	27.8	18.2	20.9
MC.1000-5	85.5	88.4	72.2	59.6	47.5	26.3	18.1	21.2
MC.1000-6	82.1	83.9	69.1	54.3	44.3	25.6	17.5	21.3
MC.1000-7	77.1	79.2	67.2	55.3	40.1	21.9	16.3	21.1

همانطور که قبلًا در جدول ۱-۴ اشاره شد تفاوت اصلی در شرایط سنتزی نمونهها مقدار ساکارز و دمای کربونیزاسیون مورد استفاده در فرایند سنتز می‌باشد. در این نمودارها ظرفیت خازنی ویژه در دماهای مختلف با همیگر قابل مقایسه می‌باشند و همزمان اثر مقدار ساکارز نیز قابل مشاهده است. روندی که در این نمودارها به

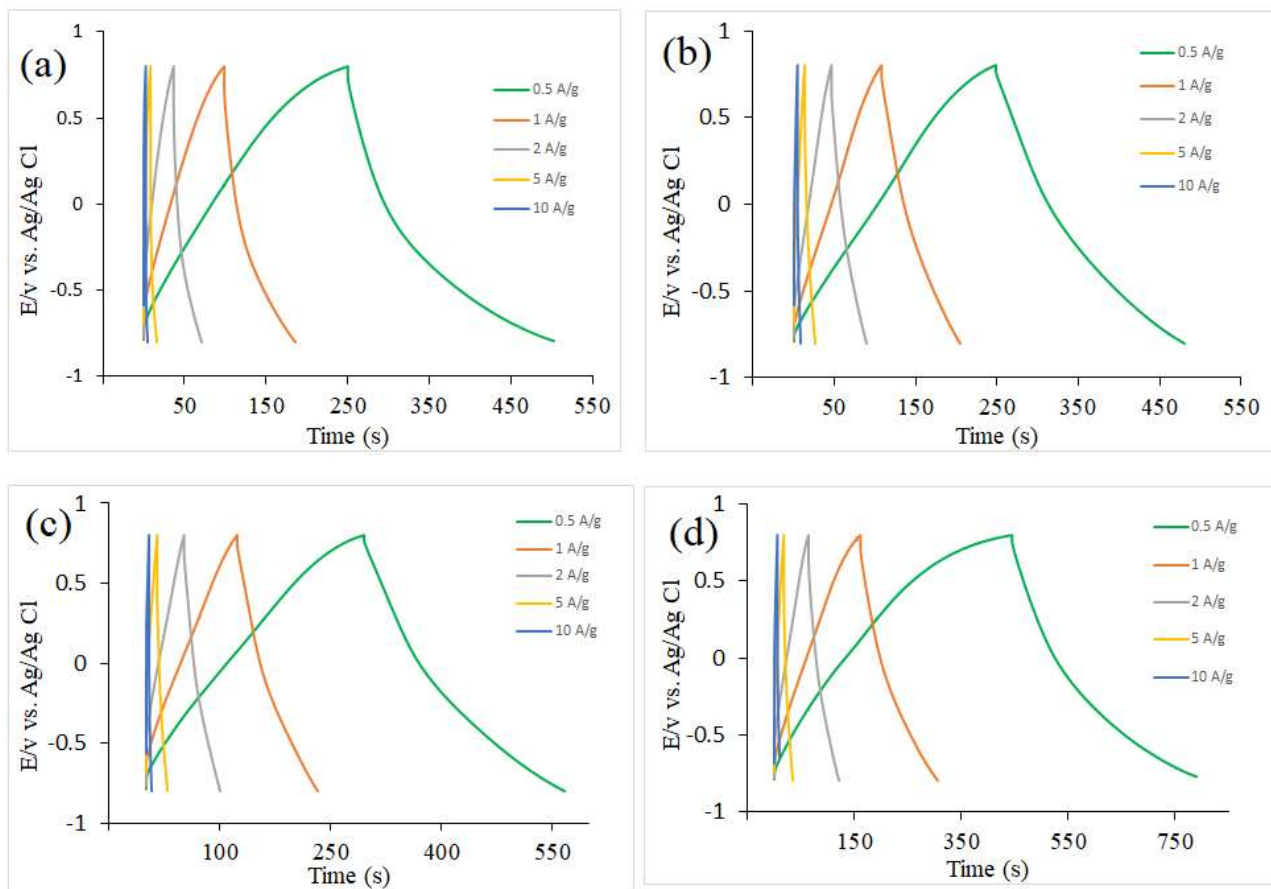
وضوح قابل مشاهده است افزایش ظرفیت خازنی همزمان با افزایش دمای کربونیزاسیون می‌باشد. با افزایش دمای کربونیزاسیون از ۷۰۰ تا ۱۰۰۰ سانتی گراد ظرفیت خازنی افزایش محسوسی دارد. همچنین این افزایش در سرعت-های روبش بالاتر محسوس‌تر می‌باشد. قابل ذکر است مطابق با جدول ۴-۲، اعداد بزرگتری برای قابلیت سرعت مواد سنتز شده در دمای کربونیزاسیون بالاتر حاصل شده است که نشان می‌دهد با افزایش‌های دمای سنتز، قابلیت سرعت افزایش پیدا می‌کند که از لحاظ کاربردی نمودن ماده کربنی برای استفاده در سرعت‌های شارژ/دشارژ بالاتر حائز اهمیت می‌باشد.

همچنین با افزایش مقدار ساکارز در نمونه‌های سنتزی نوساناتی به شکل کاهش در مقدار ظرفیت خازنی ویژه اتفاق افتاده است. همانطور که قبلًا اشاره شد و قابل پیش‌بینی بود با افزایش نسبت ساکارز به نانوسیلیکا احتمالاً تخلخل نمونه‌های سنتزی کاهش داشته باشد که در نهایت موجب کاهش ظرفیت خازنی شود با این حال این کاهش خیلی چشمگیر نبوده و کمترین ظرفیت خازنی در نمونه‌های با کمترین سیلیکا (MC-700-7، MC-800-7 و MC-900-7) حاصل شده است.

قابل ذکر است با افزایش مقدار ساکارز مورد استفاده در فرایند سنتز مقدار ماده کربنی حاصل شده نیز افزایش داشته است که در اقتصادی بودن فرایند تأثیر بسیار مهمی دارد. با توجه به موارد گفته شده به نظر می‌رسد در الکتروولیت سدیم سولفات و با روش ولتاوی چرخه‌ای ماده‌های کربنی با نسبت ساکارز به نانو سیلیکا معادل ۳۶-۰.۵۶ که در سنتزهای شماره ۳-۵ در هر دما بهینه‌ترین ظرفیت خازنی را دارا می‌باشند.

• روش شارژ/دشارژ

رفتار شارژ و دشارژ نمونه‌های کربنی سنتز شده در سیستم ۳ الکتروولیت سدیم سولفات ۱ مولار بررسی شد. فرایند شارژ/دشارژ برای الکترودهای ساخته شده در چگالی جریان مختلف $g/A \cdot 10^{-5}$ مورد مطالعه قرار گرفت. شکل ۴-۱۲ به طور نمونه نمودارهای شارژ و دشارژ برای ماده‌های MC-MC-800-5، MC-700-5، MC-900-5 و MC-1000-5 نشان می‌دهد.



شکل ۴-۱۲ منحنی های حاصل در روش شارژ/دشارژ در سیستم سه الکترودی برای ماده های (a) MC-800- (b) MC-700-5 و (c) MC-1000-5 و (d) MC-900-5 ظرفیت خازنی با استفاده از رابطه ۲-۴ محاسبه شد.

(۴-۲)

$C_s = \frac{I \times \Delta t}{\Delta V \times m}$ که در آن C_s ظرفیت خازنی ویژه، I جریان ثابت اعمال شده در فرایند شارژ، Δt زمان دشارژ، m مقدار ماده کربنی نشانده شده در سطح الکترود و ΔV پنجره پتانسیل می باشد.

همانند روش ولتامتری چرخه‌ای، در روش شارژ/ دشارژ نیز نتایج حاصل در هر دانسیته شارژ/ دشارژ در جدول ۴

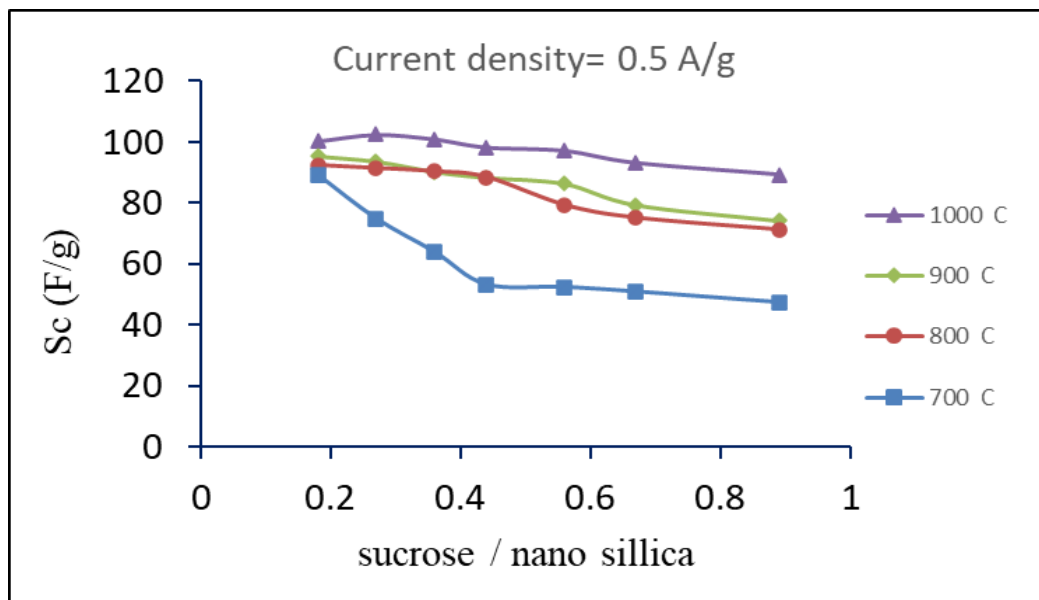
۳ ارائه شده است. همچنین اثر میزان دمای کربونیزاسیون و نسبت ساکارز به نانوذرات سیلیکا در ظرفیت خازنی ویژه

در چگالی جریان اعمال شده در شکل های ۱۳-۴، ۱۴-۴، ۱۵-۴ و ۱۶-۴ و ۱۷-۴ قابل مشاهده است.

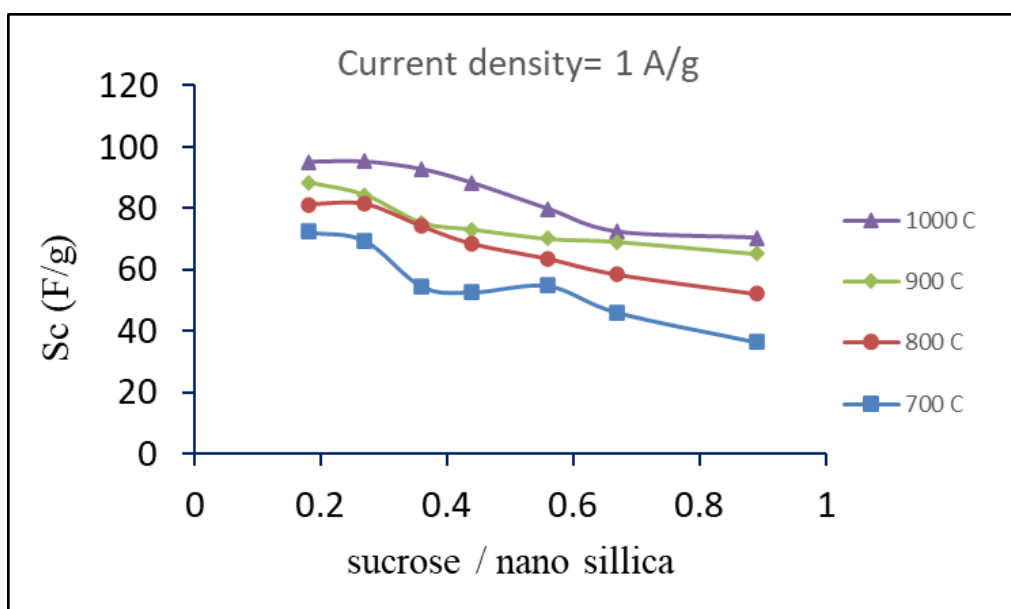
جدول ۳-۴ ظرفیت خازنی ویژه محاسبه شده برای ماده های مختلف سنتز شده در شارژ/ دشارژ در سیستم سه الکترودی با

الکتروولیت آبی سدیم سولفات با دانسیته جریان 10 A/g و قابلیت سرعت حاصل شده برای هر ماده

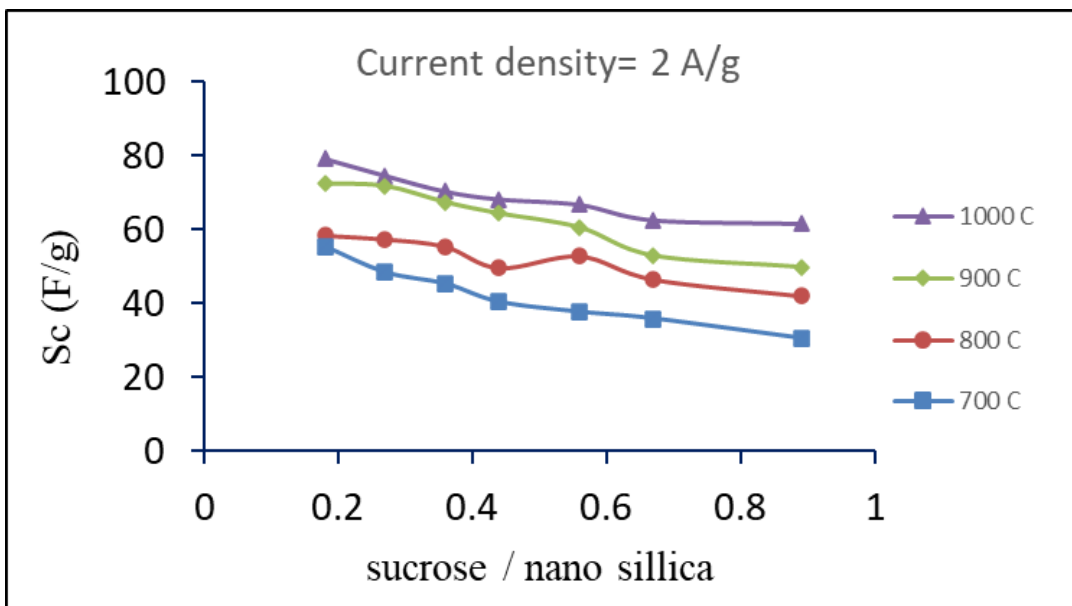
Na_2SO_4	0.5 A/g	1 A/g	2 A/g	5 A/g	10 A/g	Rate Capability (%)
MC.700-1	89.2	72.3	55.3	33.4	9.5	10.6
MC.700-2	74.8	69.5	48.3	31.6	6.4	8.5
MC.700-3	63.83	54.6	45.2	30.7	5.6	8.8
MC.700-4	53.1	52.7	40.3	25.6	4.2	7.9
MC.700-5	52.3	54.76	37.6	23.8	4.4	8.4
MC.700-6	50.8	46.1	35.8	17.3	2.79	5.5
MC.700-7	47.3	36.4	30.5	11	1.31	2.8
MC.800-1	92.3	81.2	58.3	38.2	12.3	13.3
MC.800-2	91.3	81.3	57.3	34.4	10.7	11.7
MC.800-3	90.3	74.1	55.3	33	13.2	14.6
MC.800-4	88.4	68.4	49.52	33.1	11.5	13.0
MC.800-5	79.3	63.5	52.7	31.5	12.2	15.4
MC.800-6	75.1	58.4	46.4	30.27	9.3	12.4
MC.800-7	71.2	52.1	41.9	27.97	8.6	12.1
MC.900-1	95.3	88.3	72.3	44.2	18.2	19.1
MC.900-2	93.6	84.3	71.68	46.4	17.3	18.5
MC.900-3	90.2	75.3	67.3	44.7	15.3	17.0
MC.900-4	88.3	73.1	64.3	42.8	13.3	15.1
MC.900-5	86.3	70.1	60.5	40.8	11.3	13.1
MC.900-6	79.3	69.1	52.9	37.9	10.3	13.0
MC.900-7	74.1	65.2	49.8	32.8	9.2	12.4
MC.1000-1	100.3	95.2	79.2	51.3	21.6	21.5
MC.1000-2	102.5	95.3	74.6	50.3	20.3	19.8
MC.1000-3	101	92.8	70.3	49.6	19.6	19.4
MC.1000-4	98.3	88.3	68.2	45.3	19.8	20.1
MC.1000-5	97.2	79.8	66.7	42.3	17.9	18.4
MC.1000-6	93.2	72.3	62.5	39.3	15.6	16.7
MC.1000-7	89.3	70.3	61.5	34.3	12.9	14.4



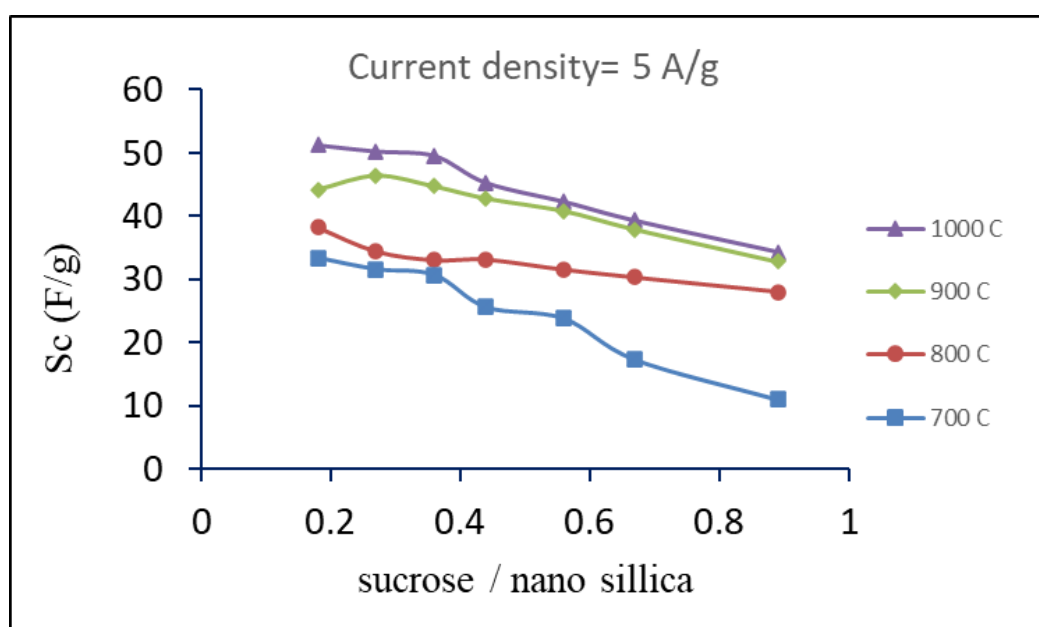
شکل ۴- ۱۳ ظرفیت خازنی ویژه محاسبه شده برای مواد سنتزی با روش شارژ/دشارژ با دانسیته جریان 0.5 A/g در سیستم سه الکترودی با الکتروولیت سدیم سولفات



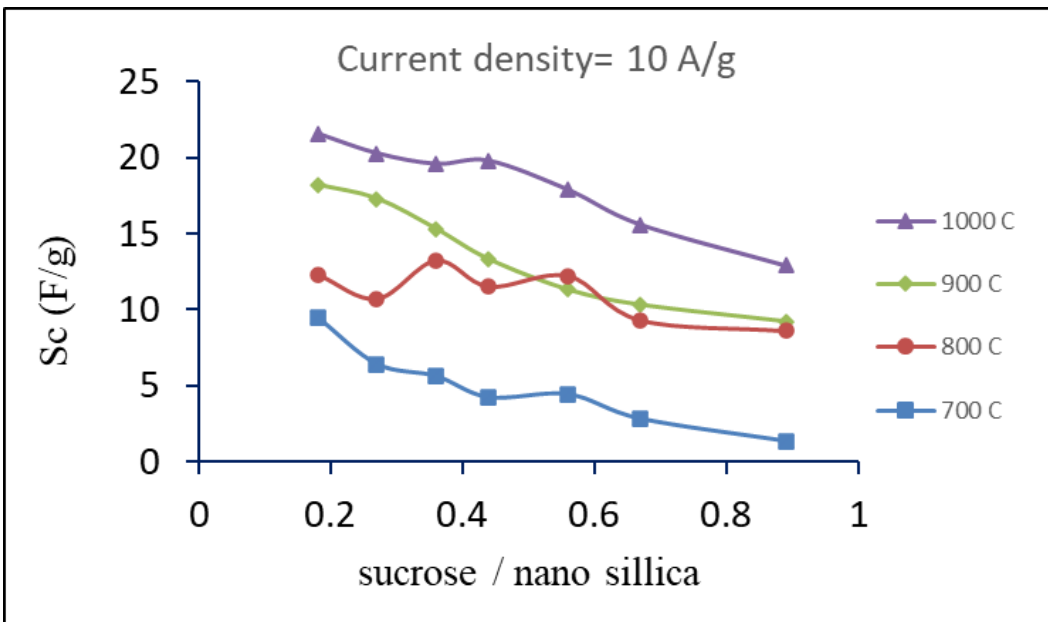
شکل ۴- ۱۴ ظرفیت خازنی ویژه محاسبه شده برای مواد سنتزی با روش شارژ/دشارژ با دانسیته جریان 1 A/g در سیستم سه الکترودی با الکتروولیت سدیم سولفات



شکل ۴- ۱۵- ظرفیت خازنی ویژه محاسبه شده برای مواد سنتزی با روش شارژ/دشارژ با دانسیته جریان 2 A/g در سیستم سه الکتروودی با الکتروولیت سدیم سولفات



شکل ۴- ۱۶- ظرفیت خازنی ویژه محاسبه شده برای مواد سنتزی با روش شارژ/دشارژ با دانسیته جریان 5 A/g در سیستم سه الکتروودی با الکتروولیت سدیم سولفات



شکل ۴- ۱۷- ظرفیت خازنی ویژه محاسبه شده برای مواد سنتزی با روش شارژ/دشارژ با دانسیته جریان 10 A/g در سیستم سه الکتروولیت سدیم سولفات

همانطور که در همه این نمودارها مشخص است با افزایش نسبت ساکارز به نانو سیلیکا در فرایند سنتز، مقدار ظرفیت خازنی تا حدودی کاهش یافته است که این نتیجه در روش ولتاوتری چرخه‌ای نیز مشاهده شد. البته قابل ذکر است که میزان کاهش خیلی شدید نیست و کمترین میزان ظرفیت خازنی در نمونه‌های با کمترین میزان نانو سیلیکا (MC-700-7, MC-800-7, MC-900-7, MC-1000-7) مشاهده شد. با این حال نمونه‌های ۳-۵ در هر سری دمایی را می‌توان به عنوان نمونه بهینه در آن سری دمایی در نظر گرفت.

با بررسی اثر دمای کربونیزاسیون می‌توان دریافت که با افزایش دمای کربونیزاسیون مقدار ظرفیت خازنی ویژه در هر سری دمایی نسبت به سری متناظر آن با دمای کربونیزاسیون پایین‌تر افزایش داشته است. به طوری که نمونه‌های تهیه شده در دماهای 1000°C در مقایسه با سایر نمونه‌ها ظرفیت بالاتری داشته‌اند.

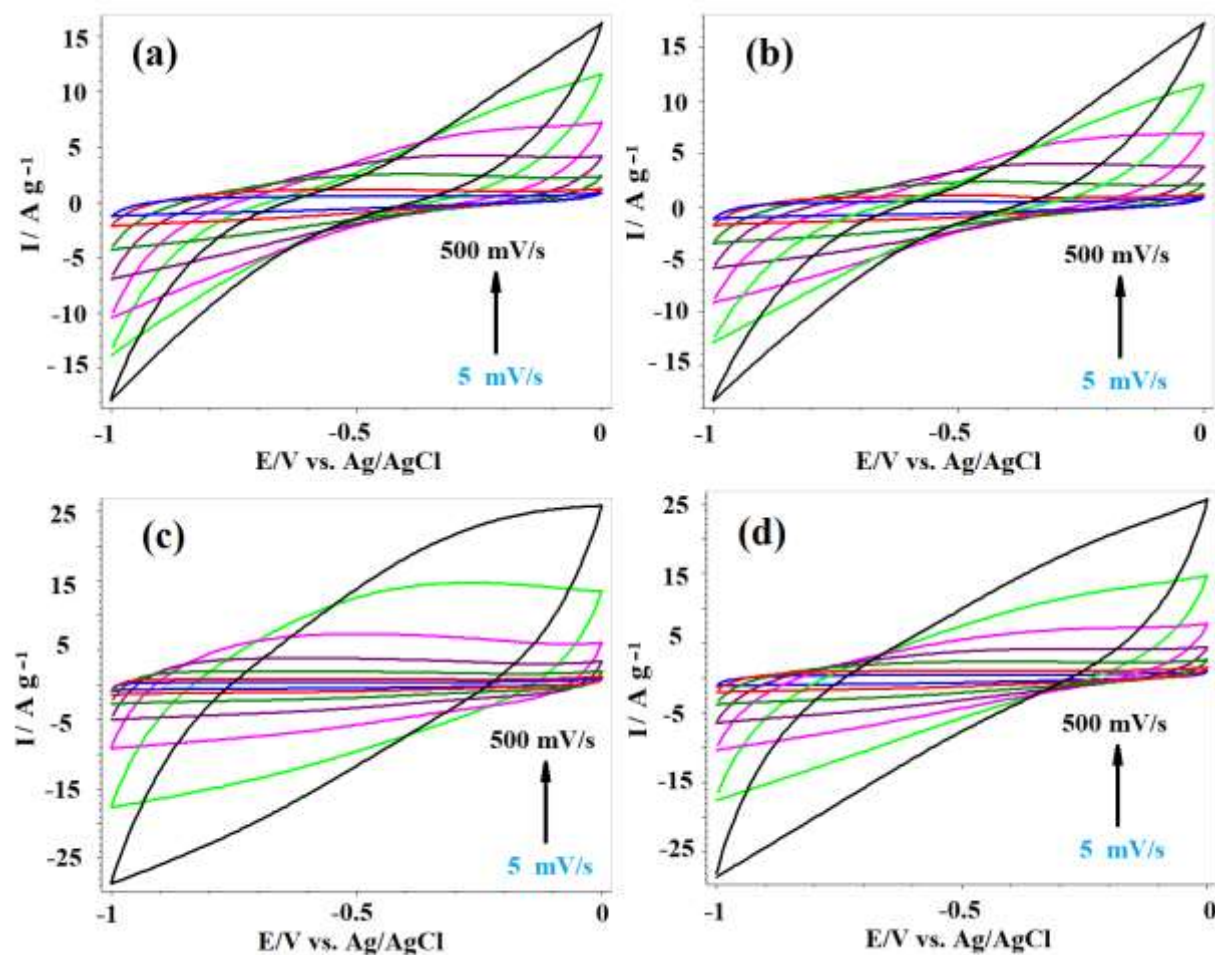
همچنین قابل ذکر است که تفاوت نمونه‌های سنتز شده در دماهای بالاتر در مقایسه با نمونه‌های سایر دماها به طور ملموسی با افزایش دانسیته جریان شارژ/دشارژ افزایش یافته است. در مجموع می‌توان اشاره کرد با استفاده از الکتروولیت سدیم سولفات ۱ مولار در سیستم ۳ الکتروولیت و با استفاده از روش شارژ/دشارژ می‌توان نتیجه گرفت که

دماه کربونیزاسیون 1000°C و نسبت‌های ساکارز / نانو ذرات سیلیکا در محدوده $56/0-36/0$ مناسبترین نتایج را حاصل می‌کنند.

۴-۳-۲- الکتروولیت آبی پتانسیم هیدروکسید

- ولتامتری چرخه‌ای

رفتار ولتامتری چرخه‌ای نمونه‌های سنتز شده در الکتروولیت آبی پتانسیم هیدروکسید با غلظت ۶ مولار در سیستم الکترودی مورد بررسی قرار گرفت. این روش در سرعت‌های روش $500-5 \text{ mV/s}$ اجرا شد. شکل ۱۸-۴ منحنی‌های حاصل را برای ماده‌های MC-700-3، MC-800-3، MC-900-3 و MC-1000-3 نشان می‌دهد. همانطور که در این نمودارها مشخص شده‌اند پنجره پتانسیل در محدود $-2V-0/2V$ - $0/0V$ نسبت به الکترود مرجع Ag/AgCl می‌باشد. ظرفیت خازنی ویژه برای هر یک از مواد کربنی سنتز شده در هر سرعت روش و با بهره گیری معادله (۱-۴) محاسبه شد. مقادیر ظرفیت خازنی ویژه و قابلیت سرعت در هر کدام از الکترودها در جدول ۴-۴ ارائه شده است.



شکل ۱۸-۴ نمودار های حاصل در ولتاوتمتری چرخه ای در سیستم سه الکترودی برای ماده های (a) MC-800-3 (b) MC-700-3 (c) MC-1000-3 و (d) MC-900-3 در الکترولیت آبی پتانسیم هیدروکسید ۶ مولار

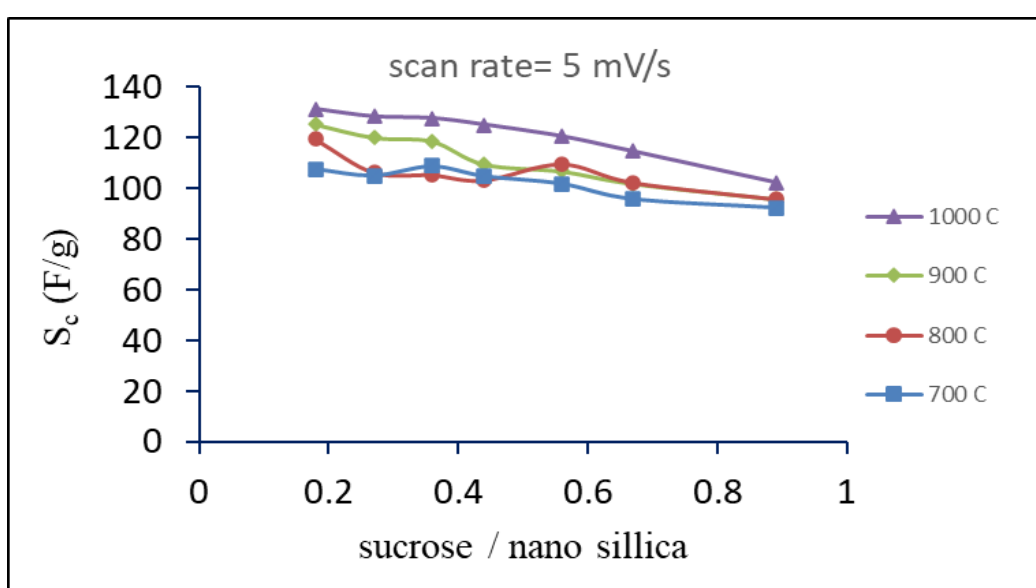
جدول ۴-۴ ظرفیت خازنی ویژه محاسبه شده برای ماده های مختلف سنتز شده در ولتاویری چرخه ای در سیستم سه الکترودی با

الکتروولیت آبی پتاسیم هیدروکسید در سرعتهای روش ۵-۵۰۰ mV/s و قابلیت سرعت حاصل شده برای هر ماده

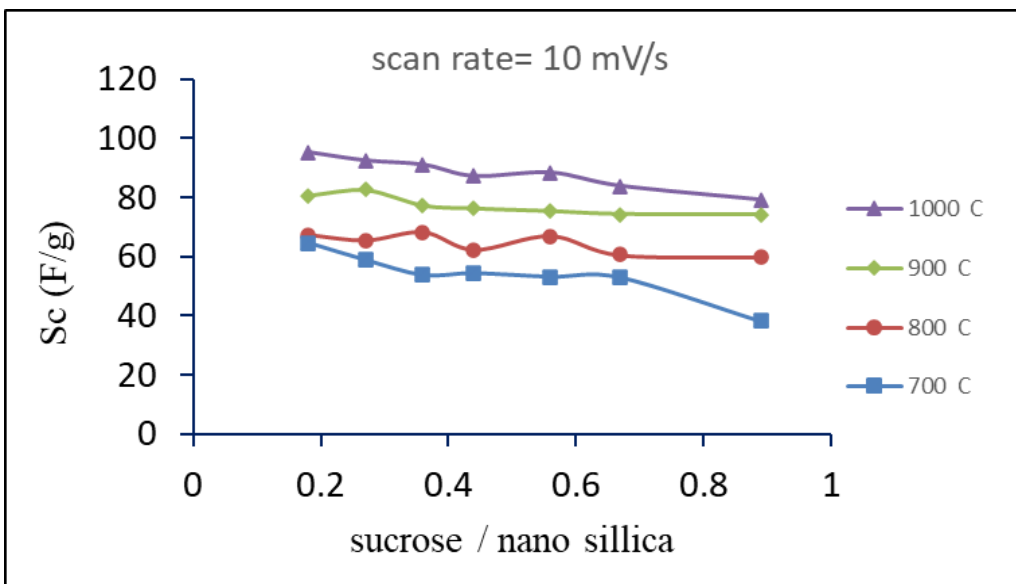
KOH	5 mV/s	10 mV/s	25 mV/s	50 mV/s	100 mV/s	250 mV/s	500 mV/s	Rate capability (%)
MC.700-1	107.7	91.6	63.7	55.4	38.2	20.1	14.5	13.5
MC.700-2	105.1	88.2	61.8	50.3	33.2	17.2	12.6	12.0
MC.700-3	108.8	88.3	62.3	47.3	30.5	15.4	12.9	11.9
MC.700-4	104.9	78.8	57.8	48.3	27.9	14.6	10.3	9.8
MC.700-5	101.8	81.3	55.1	47.1	28.3	12.8	9.1	8.9
MC.700-6	95.7	79.6	52.3	44.6	21.6	10.6	8.4	8.8
MC.700-7	92.2	76.3	46.3	40.6	17.3	10.3	7.7	8.4
MC.800-1	119.5	103.1	72.92	58.3	41.2	27.3	16.3	13.6
MC.800-2	106.3	99.6	70.3	55.1	38.9	26.4	15.3	14.4
MC.800-3	105.3	98.6	70.1	54.7	39.1	24.3	14.6	13.9
MC.800-4	103.2	95.3	71.6	53.4	40.4	22.3	12.8	12.4
MC.800-5	109.6	89.8	70.2	50.2	40	21.9	10.9	9.9
MC.800-6	102.3	83.6	67.8	46.9	35.3	20.9	9.9	9.7
MC.800-7	95.7	81.8	62.3	44.7	32.8	18.9	9.3	9.7
MC.900-1	125.3	112.2	92.3	71.3	50.3	34.8	20.9	16.7
MC.900-2	120.1	107.8	92.8	70.5	49.3	32.9	18.5	15.4
MC.900-3	118.6	101.6	91.3	72.6	45.8	30.9	17.6	14.8
MC.900-4	109.5	100.4	88.5	72.9	43.3	28.9	15.5	14.2
MC.900-5	106.7	98.8	82.7	70.6	42.6	27.5	14.3	13.4
MC.900-6	101.8	97.3	80.1	68.5	38.7	24.3	14.6	14.3
MC.900-7	95.65	88.4	75.3	65.4	36.5	22.9	12.1	12.7
MC.1000-1	131.2	119.3	101.2	75.3	56.3	38.3	23.1	17.6
MC.1000-2	128.3	116.4	100.3	74.2	52.3	37.2	20.8	16.2
MC.1000-3	127.6	115.2	100.1	70.6	50.8	34.5	19.9	15.6
MC.1000-4	125.1	111.3	99.7	71.3	50.9	32.6	19.4	15.5
MC.1000-5	120.5	111.6	99.2	69.3	48.3	30.8	18.2	15.1
MC.1000-6	114.6	110.3	95.3	67.4	45.8	28.6	17.9	15.6
MC.1000-7	102.4	107.9	93.4	62.9	41.2	26.6	17.1	16.7

نمودارهای مقایسه‌ای ظرفیت خازنی ویژه برای الکتروولیت پتاسیم هیدروکسید در سرعتهای روش ۵، ۱۰، ۲۵ و ۵۰ mV/s به ترتیب در شکل‌های ۴-۱۹، ۴-۲۰، ۴-۲۱، ۴-۲۲، ۴-۲۳، ۴-۲۰، ۴-۲۴ و ۴-۲۵ آورده شده است. در این نمودارها ظرفیت خازنی ویژه مرتبط به مجموعه سنتزهای انجام شده، در هر دمای کربونیزاسیون به شکل یک سری مجزا با همیگر مقایسه شده‌اند. همانطور که در شکل ۴-۱۹ قابل مشاهده است. در سرعت روش

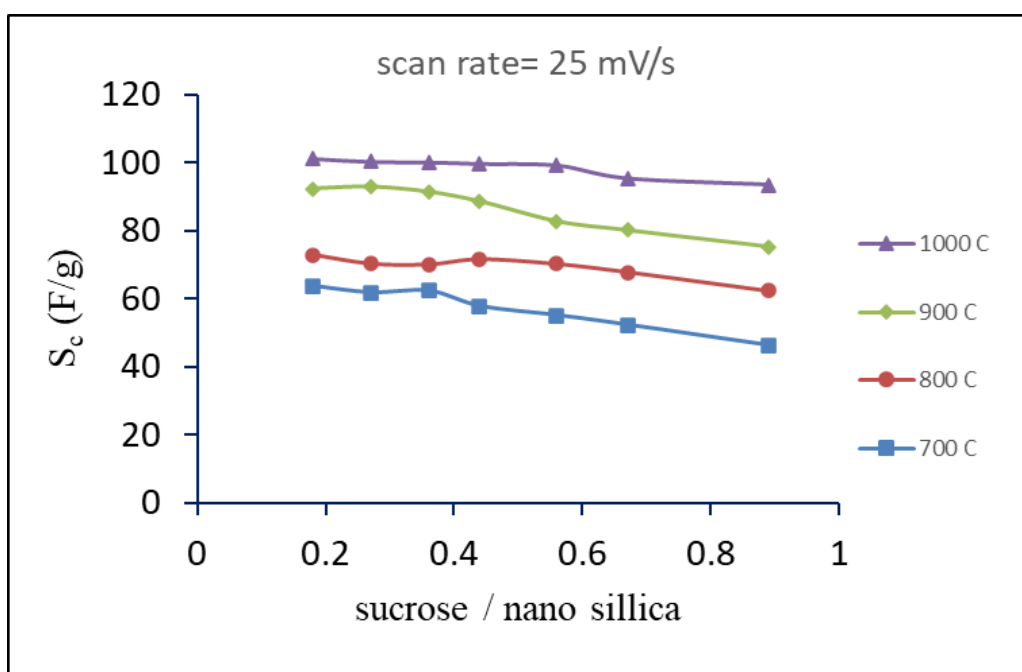
MC ۵ با افزایش مقدار ساکارز ظرفیت خازنی تا اندازه‌ای افت نموده است به طوریکه به طور مثال ماده-MC-700-1 ظرفیت خازنی 107 F/g را دارد ولی ماده-7 MC-700 که در دمای مشابه کربونیزه شده است و فقط مقدار ساکارز افزایش یافته است ظرفیت خازنی 92 F/g کاهش یافته است. هم‌مان با مقایسه مواد سنتزی با نسبت مشابه ساکارز/ نانو ذرات سیلیکا و دمای متفاوت کربونیزاسیون مشخص می‌شود که ظرفیت خازنی در مواد با دمای کربونیزاسیون بالاتر، بیشتر می‌باشد به طور مثال ظرفیت خازنی ماده-3 MC-1000 127 F/g حاصل شد ولی برای ماده-3 MC-700 ظرفیت خازنی 109 F/g محاسبه شده است. همچنین با مقایسه شکل‌های ارائه شده مشخص می‌شود با افزایش سرعت روش پتانسیل تفاوت بیشتری در ظرفیت خازنی مواد سنتز شده در دماهای مختلف ایجاد شده است و مواد سنتز شده با دمای کربونیزواسیون بالاتر به شکل محسوسی ارجح‌تر می‌باشند.



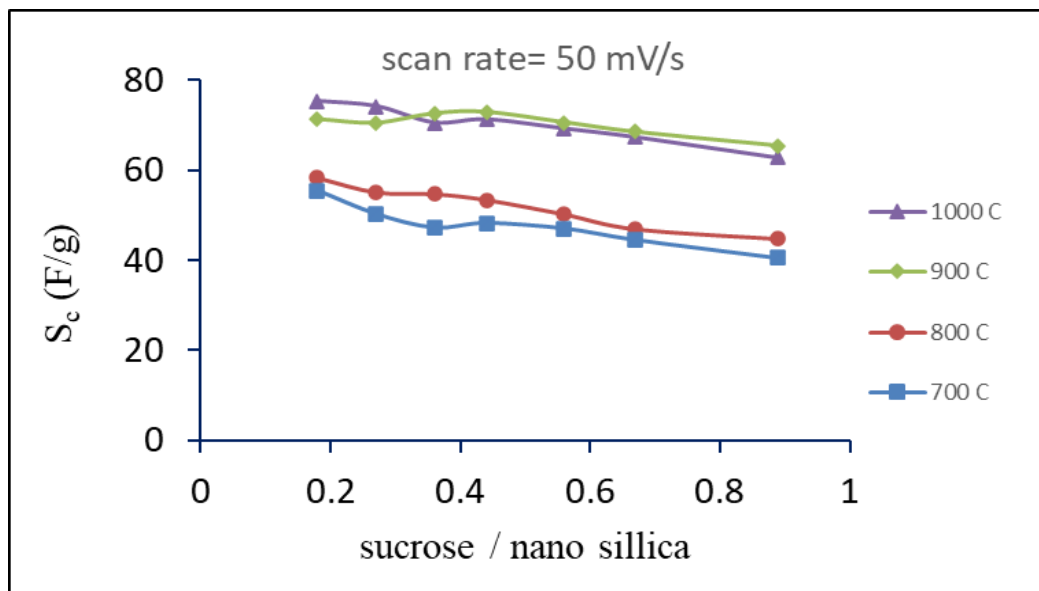
شکل ۴ ظرفیت خازنی ویژه حاصل شده در الکتروولیت آبی پتاسیم هیدروکسید برای ماده‌های سنتزی در روش ولتاومتری چرخه ای با سیستم سه الکتروودی با سرعت روش 5 mV/s



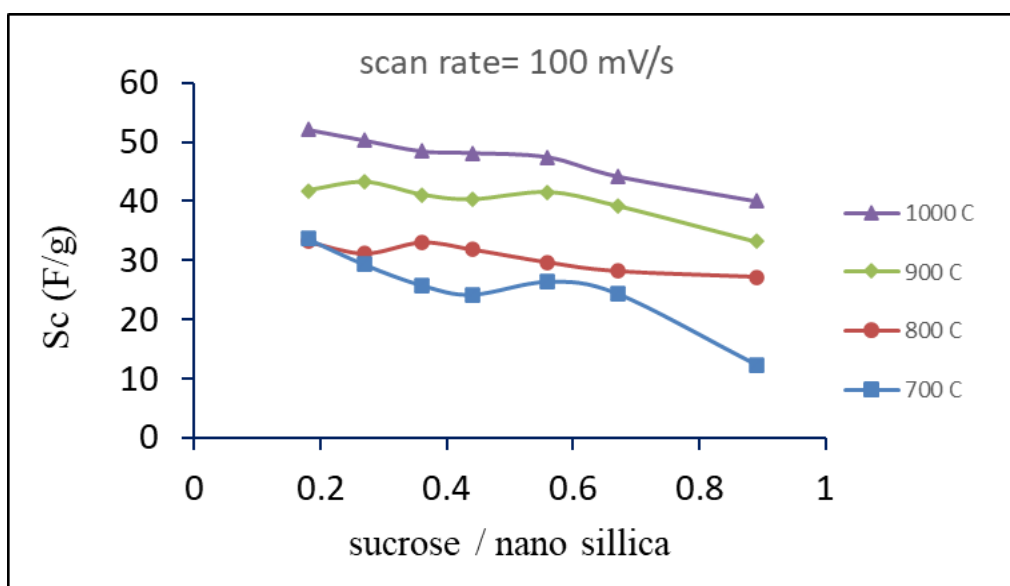
شکل ۲۰-۴ ظرفیت خازنی ویژه حاصل شده در الکترولیت آبی سدیم سولفات برای ماده های سنتزی در روش ولتاوی چرخه ای با سیستم سه الکترودی با سرعت روش 10 mV/s



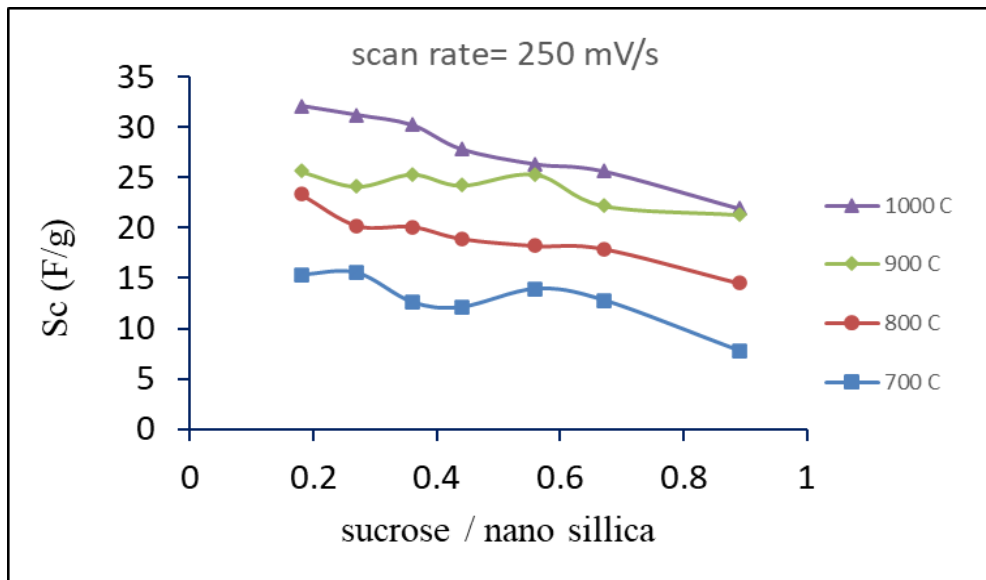
شکل ۲۱-۴ ظرفیت خازنی ویژه حاصل شده در الکترولیت آبی سدیم سولفات برای ماده های سنتزی در روش ولتاوی چرخه ای با سیستم سه الکترودی با سرعت روش 25 mV/s



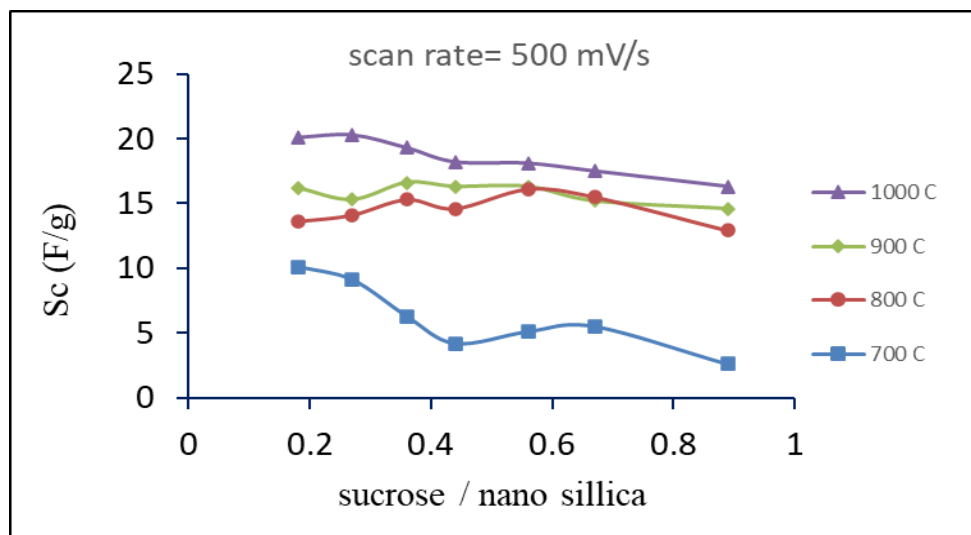
شکل ۲۲-۴ ظرفیت خازنی ویژه حاصل شده در الکتروولیت آبی سدیم سولفات برای ماده های سنتزی در روش ولتاوتمتری چرخه ای با سیستم سه الکترودی با سرعت روبش 50 mV/s



شکل ۲۳-۴ ظرفیت خازنی ویژه حاصل شده در الکتروولیت آبی سدیم سولفات برای ماده های سنتزی در روش ولتاوتمتری چرخه ای با سیستم سه الکترودی با سرعت روبش 100 mV/s



شکل ۲۴-۴ ظرفیت خازنی ویژه حاصل شده در الکتروولیت آبی سدیم سولفات برای ماده های سنتزی در روش ولتاویری چرخه ای با سیستم سه الکترودی با سرعت روبش 250 mV/s

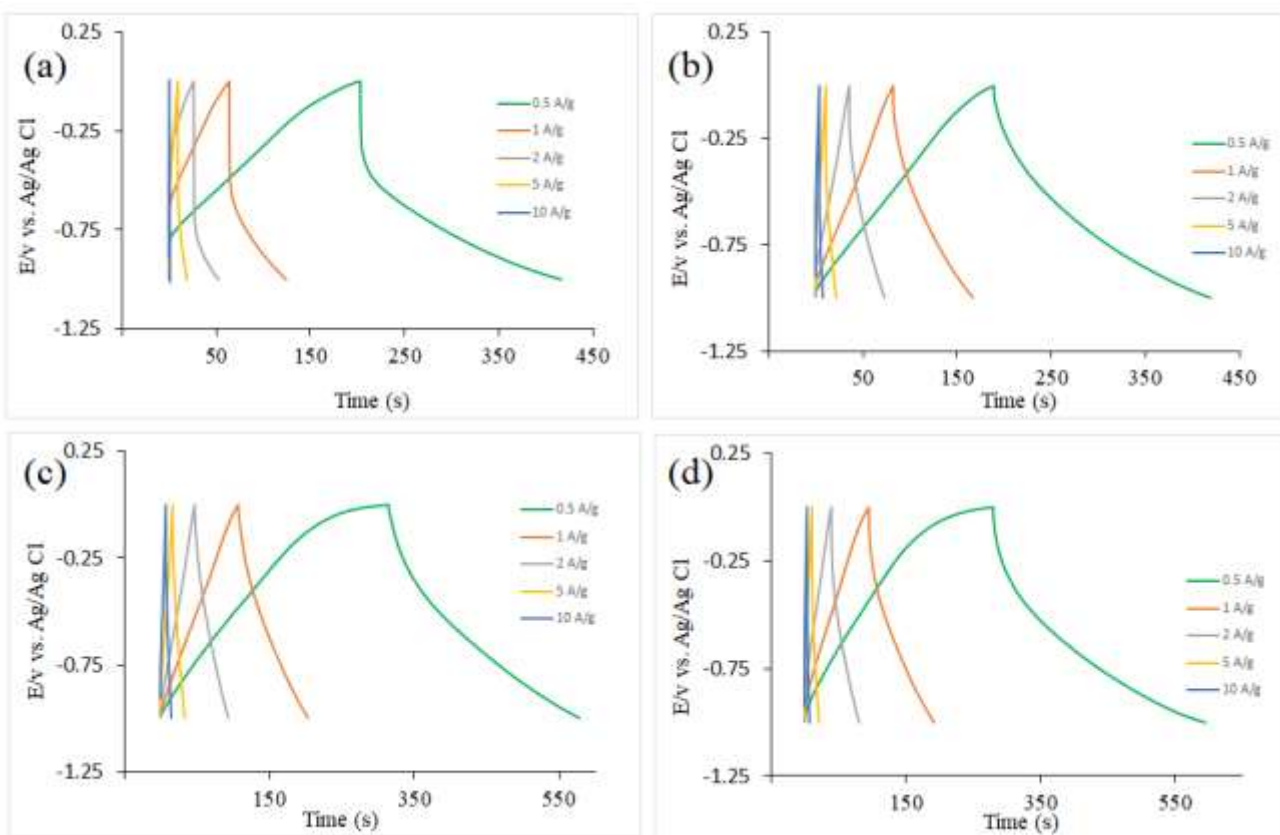


شکل ۲۵-۴ ظرفیت خازنی ویژه حاصل شده در الکتروولیت آبی سدیم سولفات برای ماده های سنتزی در روش ولتاویری چرخه ای با سیستم سه الکترودی با سرعت روبش 500 mV/s

در مجموع با توجه به نتایج حاصل شده می توان اشاره کرد که سنتزهای با دمای کربونیزاسیون بالاتر ظرفیت خازنی مناسب‌تری ارائه می دهند و همچنین با توجه به اقتصادی تر بودن سنتزهای با شماره بالاتر (MC-1000-7) نسبت به (MC-1000-1) و نتایج حاصل از ظرفیت خازنی، می توان نسبت های $0.36-0.56$ ساکارز / نانو سیلیکا را که در سنتزهای شماره ۳-۵ حاصل شده‌اند را به عنوان مواد با عملکرد مناسب در این الکتروولیت در نظر گرفت.

• روش شارژ و دشارژ

ظرفیت خازنی ویژه مواد کربنی سنتز شده در سیستم ۳ الکتروودی و در حضور الکتروولیت پتابسیم هیدروکسید با روش شارژ/دشارژ نیز مورد بررسی قرار گرفت. رفتار شارژ/دشارژ الکتروودهای ساخته شده در دانسیته‌های جریان MC-900-4، MC-800-4، MC-700-4، ۰/۱۰-۵ A/g و ۴-۲۶ پروفایل‌های شارژ و دشارژ مواد A/g مطالعه شد. شکل ۲۶-۴ را به طور نمونه نشان می‌دهد.



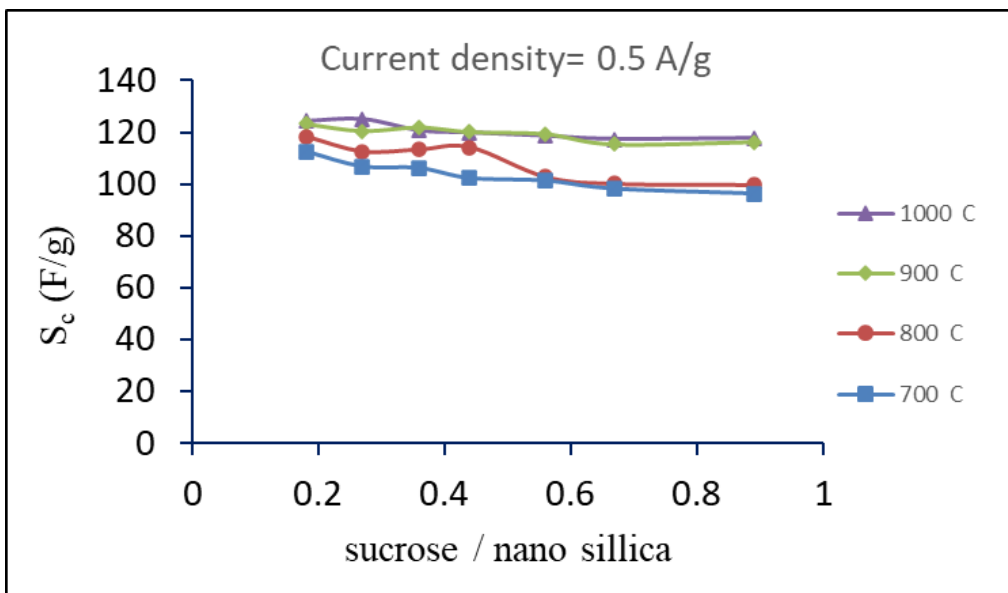
شکل ۲۶-۴ منحنی های حاصل در روش شارژ/دشارژ در سیستم سه الکتروودی برای ماده های (a) MC-800- (b) MC-700-4 (c) MC-900-4 و (d) MC-1000-4 در محلول آبی ۶ مولار پتابسیم هیدروکسید

همانطور که در این شکل‌ها مشخص است پروفایل شارژ و دشارژ هر کدام از مواد مورد اشاره در هر یک از دانسیته‌های جریان به شکل مثلثی می‌باشد که انحراف خیلی محسوس از یک مثلث ایده‌آل ندارد که نشان دهنده رفتار ایده‌آل یک ابر خازن لایه دو گاز الکتریکی برای مواد سنتز شده می‌باشد. همچنین نتایج حاصل دانسیته جریان شارژ/دشارژ به شکل جداگانه در شکل‌های ۳۱-۴، ۲۹-۴، ۲۸-۴، ۳۰-۴، ۲۷-۴ ارائه شده است که به ترتیب مربوط

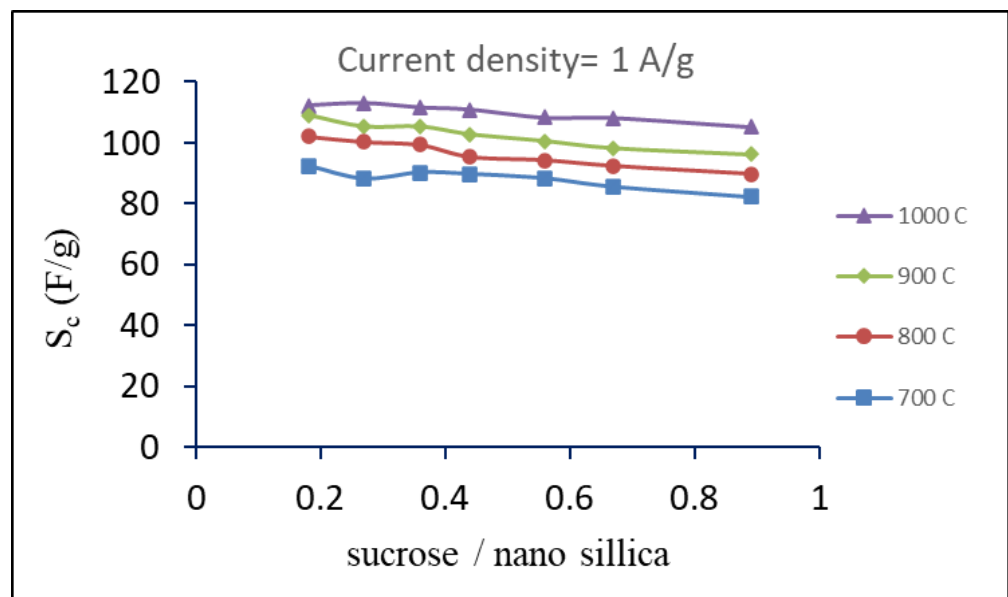
به دانسیته جریان A/g ۰/۵، $1 A/g$ ، $2 A/g$ ، $5 A/g$ و $10 A/g$ می‌باشند. مقدار ظرفیت خازنی ویژه و قابلیت سرعت در هر چگالی جریان با بهره‌گیری از معادله ۲-۴ محاسبه شد که نتایج حاصل در جدول ۴-۵ ارائه شده است.

جدول ۴-۵ ظرفیت خازنی ویژه محاسبه شده برای ماده‌های مختلف سنتز شده در شارژ/دشارژ در سیستم سه الکترودی با الکترولیت آبی پتاسیم هیدروکسید با دانسیته جریان A/g ۰.۵-۱۰ و قابلیت سرعت حاصل شده برای هر ماده

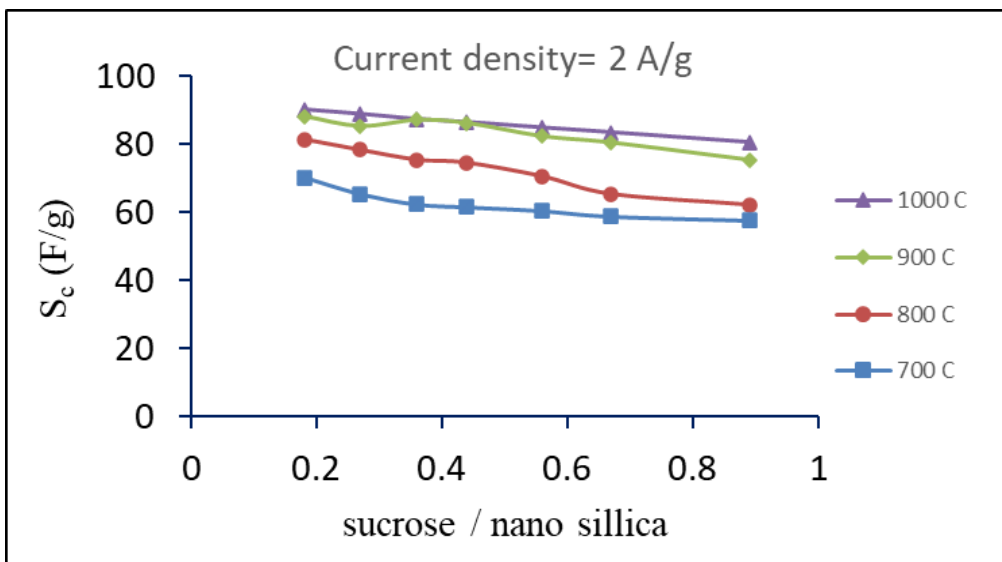
KOH	0.5 A/g	1 A/g	2 A/g	5 A/g	10 A/g	Rate Capability (%)
MC.700-1	112.6	92.3	70.2	35.2	17.5	15.5
MC.700-2	106.8	88.2	65.3	30.2	14.2	13.3
MC.700-3	106.2	90.2	62.3	32.1	12.6	11.9
MC.700-4	102.3	89.7	61.5	32.3	14.3	14.0
MC.700-5	101.3	88.3	60.4	33.1	14.6	14.4
MC.700-6	98.2	85.6	58.8	28.2	10.7	10.9
MC.700-7	96.3	82.3	57.6	25.4	12.3	12.8
MC.800-1	118.3	102.1	81.4	40.2	19.9	16.8
MC.800-2	112.6	100.3	78.3	41.2	19.8	17.6
MC.800-3	113.3	99.3	75.4	40.2	18.5	16.3
MC.800-4	114.2	95.3	74.5	39.3	18.2	15.9
MC.800-5	102.9	94.2	70.5	37.5	17.9	17.4
MC.800-6	100.2	92.3	65.3	35.6	15.6	15.6
MC.800-7	99.8	89.6	62.1	34.6	14.5	14.5
MC.900-1	123.2	109	88.3	46.3	25.3	20.5
MC.900-2	120.5	105.3	85.4	44.2	21.3	17.7
MC.900-3	121.9	105.3	87.2	42.1	21.3	17.5
MC.900-4	120.1	102.8	86.3	39.8	20.6	17.2
MC.900-5	119.3	100.6	82.4	38.1	21.3	17.9
MC.900-6	115.3	98.3	80.5	37.2	21.3	18.5
MC.900-7	116.2	96.2	75.4	36.7	19.6	16.9
MC.1000-1	124.3	112.3	90.2	48.9	28.2	22.7
MC.1000-2	125.1	113	88.9	48.7	27.6	22.1
MC.1000-3	120.6	111.6	87.4	48.2	26.9	22.3
MC.1000-4	119.8	110.9	86.5	46.5	25.4	21.2
MC.1000-5	118.5	108.3	84.9	44.2	25.4	21.4
MC.1000-6	117.3	108.2	83.5	40.5	25.3	21.6
MC.1000-7	117.6	105.3	80.6	40.2	25.1	21.3



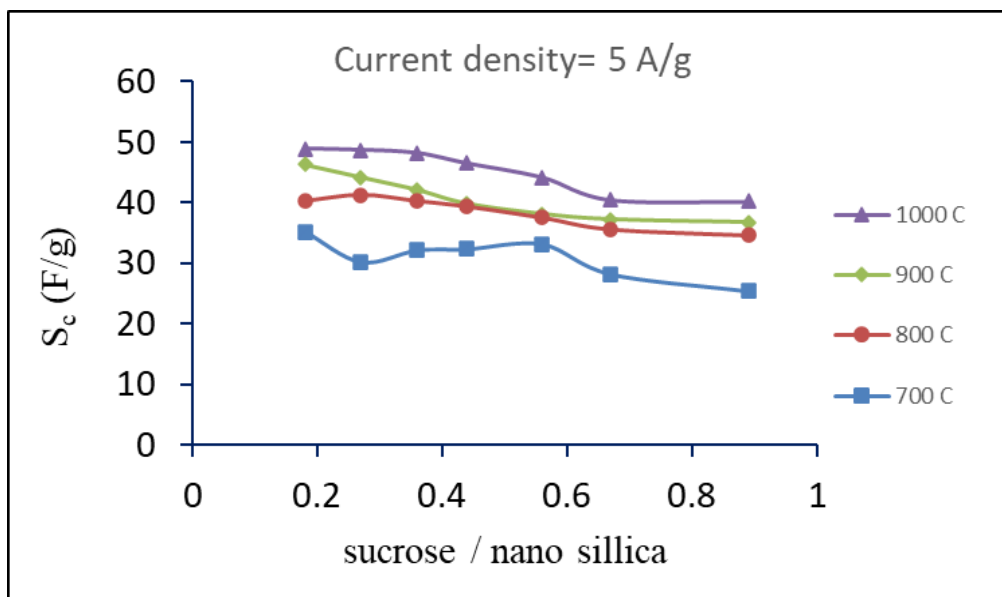
شکل ۴-۲۷ ظرفیت خازنی ویژه محاسبه شده برای مواد سنتزی با روش شارژ/دشارژ با دانسیته جریان ۰.۵ A/g در سیستم سه الکترودی با الکتروولیت پتاسیم هیدروکسید



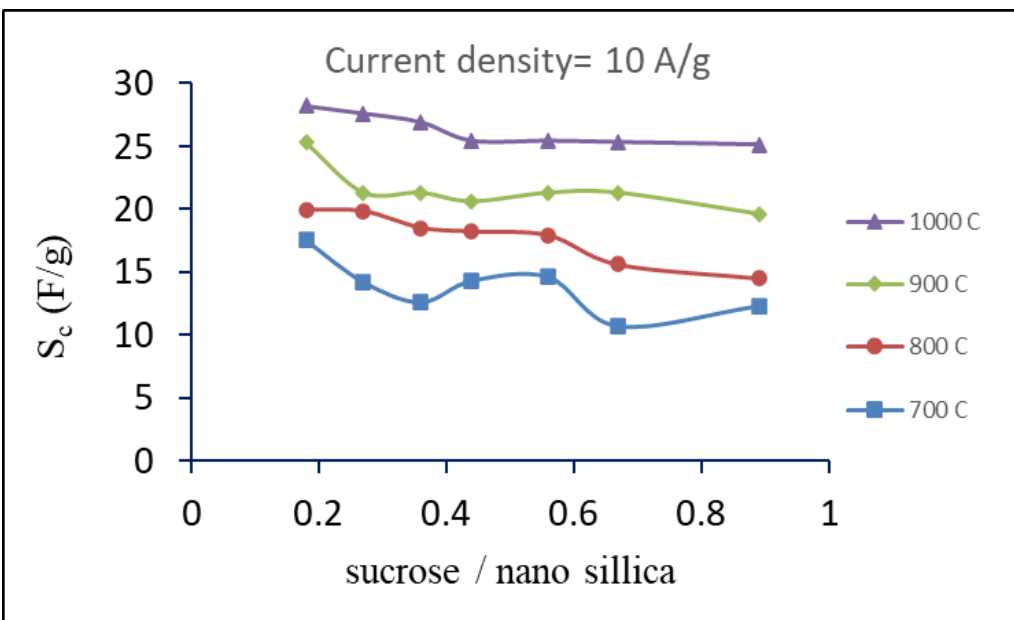
شکل ۴-۲۸ ظرفیت خازنی ویژه محاسبه شده برای مواد سنتزی با روش شارژ/دشارژ با دانسیته جریان ۱ A/g در سیستم سه الکترودی با الکتروولیت پتاسیم هیدروکسید



شکل ۴-۲۹- ظرفیت خازنی ویژه محاسبه شده برای مواد سنتزی با روش شارژ/دشارژ با دانسیته جریان 2 A/g در سیستم سه الکترودی با الکتروولیت پتانسیم هیدروکسید



شکل ۴-۳۰- ظرفیت خازنی ویژه محاسبه شده برای مواد سنتزی با روش شارژ/دشارژ با دانسیته جریان 5 A/g در سیستم سه الکترودی با الکتروولیت پتانسیم هیدروکسید



شکل ۴- ۳۱- ظرفیت خازنی ویژه محاسبه شده برای مواد سنتزی با روش شارژ/دشارژ با دانسیته جریان 10 A/g در سیستم سه الکترودی با الکتروولیت پتاسیم هیدروکسید

در هر نمودار اثر دمای کربونیزاسیون و نسبت ساکارز به نانو ذرات سیلیکا در ظرفیت خازنی ویژه قابل مشاهده می‌باشد. همانطور که در همه شکل‌ها قابل مشاهده است با افزایش مقدار ساکارز ظرفیت خازنی تا حدودی کاهش یافته است به طور مثال در دانسیته شارژ/دشارژ 1 A/g ماده MC-800-1 ظرفیت در حدود 102 F/g را ارائه نموده است در حالیکه ماده MC-800-7 ظرفیت در حدود 90 F/g را ارائه نموده است.

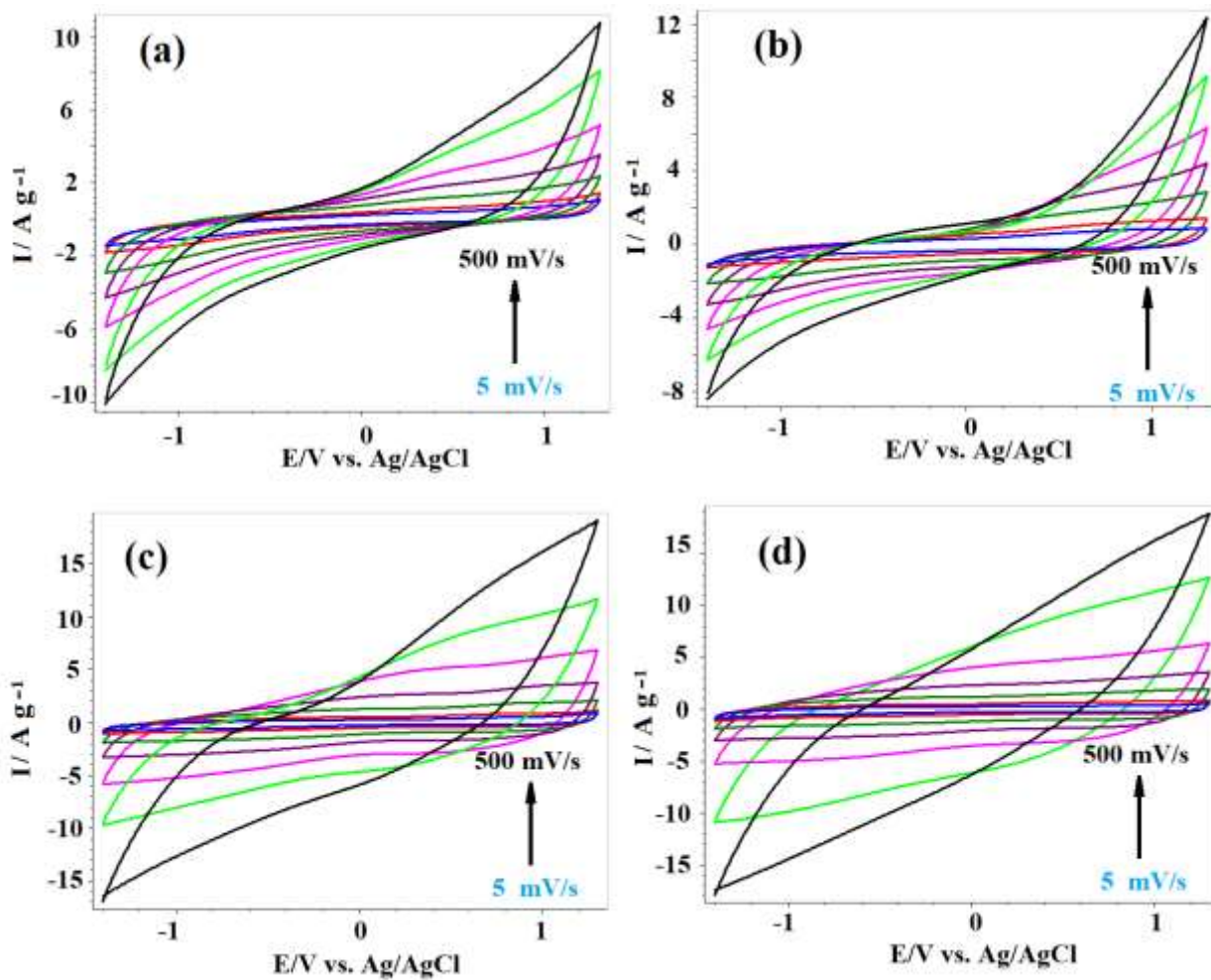
همچنین با مقایسه نتایج حاصل برای نمونه‌های سنتز شده در دماهای بالاتر نسبت به نمونه‌های سنتز شده در دماهای پایین‌تر مشخص می‌شود که ظرفیت خازنی بیشتری برای مواد سنتز شده در دماهای بالاتر قابل دسترس می‌باشد. به طور مثال در دانسیته شارژ/دشارژ 5 A/g ماده MC-1000-5 ظرفیت حدود 64 F/g را ایجاد می‌کند در حالیکه ماده ظرفیت حدود 28 F/g برای ماده MC-700-5 محسوبه شده است. همچنین قابل ذکر است که تفاوت نمونه‌های سنتز شده در دماهای بالاتر در مقایسه با نمونه‌های سایر دماها به طور ملموسی با افزایش جریان شارژ/دشارژ افزایش یافته است. در مجموع می‌توان نتیجه‌گیری نمود که با مطالعه شارژ و دشارژ در سیستم ۳ الکترودی و با بهره‌گیری از الکتروولیت پتاسیم هیدروکسید ۶ مولار مواد کربنی سنتز شده در دمای 100°C و نسبت ساکارز / نانو ذرات سیلیکا (در محدوده $0.36-0.56$) مناسبترین نتایج را حاصل می‌کنند.

۴-۳-۱-۳ الکتروولیت تترا اتیل آمونیوم تترا فلورو بورات در حلال استونیتریل

• ولتامتری چرخه‌ای

همانطور که در فصل ۳ مورد اشاره قرار گرفت محلول نمک تترا اتیل آمونیوم تترا فلورو بورات است در حلال آلی استونیتریل به عنوان یکی از متداول‌ترین و پر کاربردترین الکتروولیتها در ساخت ابر خازن‌های الکتروشیمیایی و به ویژه در ساخت نمونه‌های صنعتی مورد استفاده قرار می‌گیرند از این رو در بهینه‌سازی شرایط سنتز این الکتروولیت هم مورد مطالعه قرار گرفت. برای این منظور محلول یک مولار تتراتیل آمونیوم تترا فلورو بورات در حلال استونیتریل تهیه شد. لازم به ذکر است حدود استونیتریل باید دارای خلوص بالائی باشد و محتوی آب آن زیر 10 ppm باشد. الکترودهای تهیه شده از مواد کربنی سنتز شده در سیستم ۳ الکترودی مورد آزمون قرار گرفتند. آزمون ولتامتری چرخه‌ای با سرعت روبش در محدوده $500-5 \text{ mV/s}$ انجام گرفت. شکل ۴-۳۲ به طور نمونه نتایج حاصل (ولتاموگرام) را برای الکترودهای تهیه شده از مواد MC-700-5، MC-800-5، MC-900-5 و MC-700-5 را نشان می‌دهد. همانطور که در این شکل مشخص می‌باشد پنجره پتانسیل حدود $2/8$ ولت می‌باشد که در $1/4-1/4$ ولت نسبت به الکترود مرجع Ag/AgCl می‌باشد.

در مقایسه با الکتروولیت آبی سدیم سولفات با پنجره پتانسیل حدود $1/6$ ولت و الکتروولیت آبی پتانسیم هیدروکسید با پنجره پتانسیل حدود ۱ ولت، محلول تترا اتیل آمونیوم تترا فلورو بورات پنجره پتانسیل بزرگتری در حدود $2/8$ ولت را دارا می‌باشد که موجب می‌شود این الکتروولیت برای ساخت ابر خازن الکتروشیمیایی مناسب‌تر باشد. ظرفیت خازنی ویژه برای هر یک از مواد کربنی سنتز شده در هر سرعت روبش پتانسیل و با به کارگیری معادله $1-4$ محاسبه شد. مقادیر ظرفیت خازنی ویژه و قابلیت سرعت برای هر کدام از الکترودهای مورد مطالعه در جدول ۶-۴ ارائه شده است.



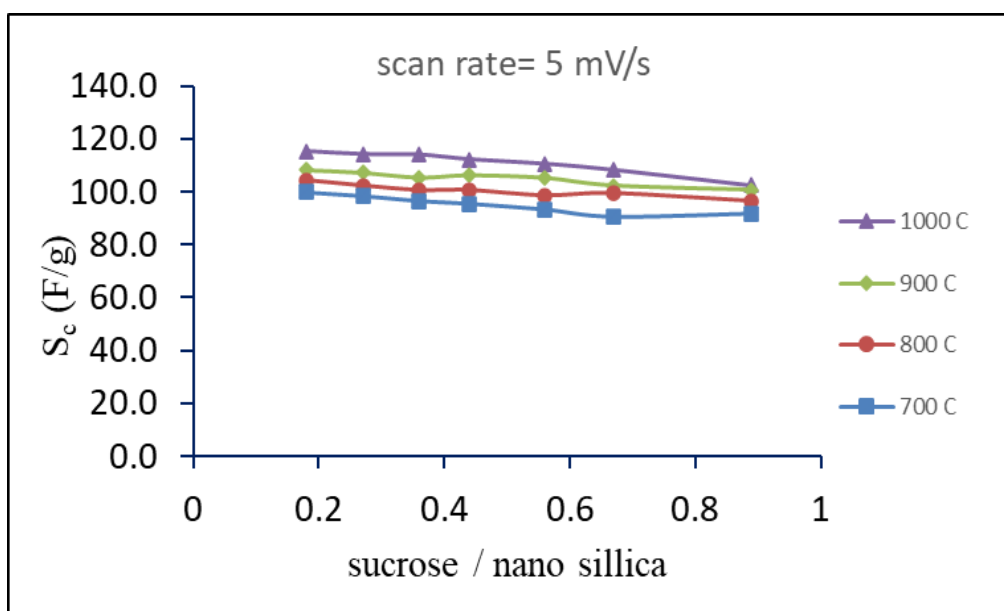
شکل ۴-۳۲ نمودار های حاصل در ولتاویری چرخه ای در سیستم سه الکترودی برای ماده های (a) MC-5 (b) MC-700-5 (c) MC-1000-5 و (d) MC-900-5 در محلول ۱ مولار تترا اتیل آمونیوم تترافلورو بورات در حلال استونیتریل

جدول ۶-۴ ظرفیت خازنی ویژه محاسبه شده برای ماده های مختلف سنتز شده در ولتاوتمتری چرخه ای در سیستم سه الکترودی با الکترولیت تترا اتیل آمونیوم تترافلورو بورات در حلال اسو نیتریل در سرعتهای روش ۵-۵۰۰ mV/s و قابلیت سرعت حاصل شده برای هر ماده

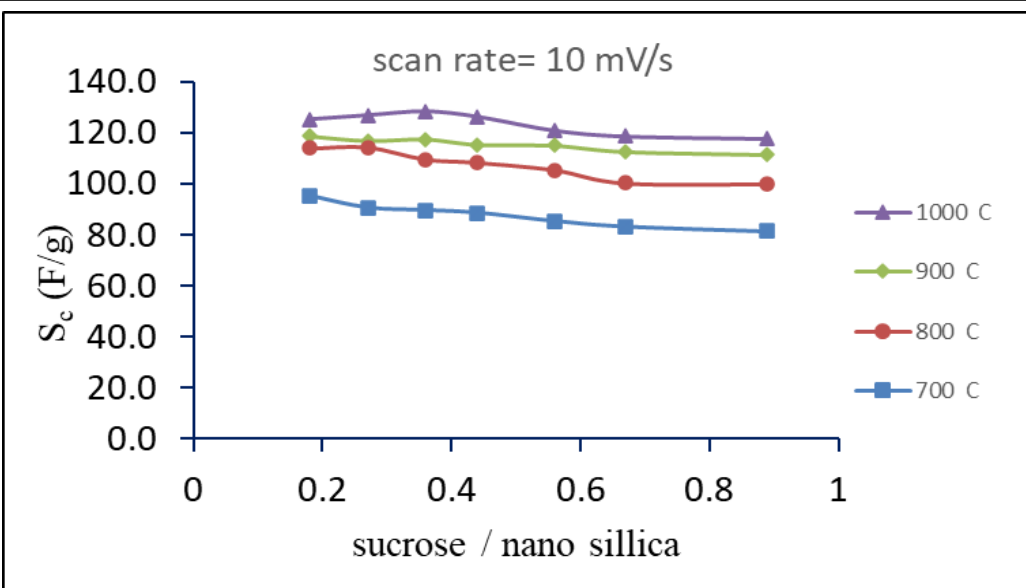
KOH	5 mV/s	10 mV/s	25 mV/s	50 mV/s	100 mV/s	250 mV/s	500 mV/s	Rate capability (%)
MC.700-1	99.8	95.2	59.3	44.3	32.2	20.9	10.5	10.5
MC.700-2	98.4	90.6	59.1	41.2	31.5	21.3	9.8	10.0
MC.700-3	96.5	89.6	58.6	40.9	30.5	19.6	9.5	9.8
MC.700-4	95.4	88.6	57.5	45.3	28.3	18.6	9.4	9.9
MC.700-5	93.2	85.4	55.8	41.9	25.6	17.6	8.5	9.1
MC.700-6	90.4	83.2	54.3	40.7	23.7	16.5	7.2	8.0
MC.700-7	91.6	81.3	52.8	37.6	22.8	15.4	6.5	7.1
MC.800-1	104.3	113.9	63.1	48.3	38.5	25.3	12.9	12.4
MC.800-2	102.3	114.3	62.5	46	37.5	24.6	13.1	12.8
MC.800-3	100.6	109.6	61.7	44.1	36.5	23.2	10.9	10.8
MC.800-4	100.58	108.3	60.2	42.8	34.3	23.1	11.2	11.1
MC.800-5	98.6	105.4	59.7	41	32.2	20.8	12.5	12.7
MC.800-6	99.4	100.2	54.3	40.8	30.8	21.3	10.6	10.7
MC.800-7	96.5	99.8	50.1	37.6	30.5	20.6	8.5	8.8
MC.900-1	108.3	118.6	78.6	55.3	44.3	31.3	17.8	16.4
MC.900-2	107.3	116.8	77.5	53.7	45	29.7	16.5	15.4
MC.900-3	105.4	117.4	74.2	54.1	42.3	28.5	16.9	16.0
MC.900-4	106.3	115.3	72.6	52.8	41.8	25.4	17	16.0
MC.900-5	105.3	114.9	70.8	51	40.9	25	15.7	14.9
MC.900-6	102.3	112.5	68.5	50.9	39.4	23.8	13.2	12.9
MC.900-7	100.6	111.3	65.3	48.6	36.3	22.4	11.8	11.7
MC.1000-1	115.3	125.3	81.4	61.5	50.2	34.5	20.1	17.4
MC.1000-2	114.2	126.9	80.2	60.8	51.3	33.5	18.9	16.5
MC.1000-3	114	128.4	79.6	60.2	50.9	32.6	18	15.8
MC.1000-4	112.3	126.3	79.1	60.3	49.7	31.9	17.5	15.6
MC.1000-5	110.6	120.9	74.6	60.7	47.5	30.9	16.4	14.8
MC.1000-6	108.3	118.6	72.3	58.3	45.6	30.8	16.9	15.6
MC.1000-7	102.5	117.6	70.8	55.9	42.9	28.6	14.1	13.8

همچنین نمودارهای حاصل برای ظرفیت خازنی ویژه محاسبه شده در هر سرعت روش (۵، ۱۰، ۲۵، ۵۰، ۱۰۰، ۳۴-۴، ۳۵-۴، ۳۶-۴، ۳۷-۴، ۳۸-۴ و ۳۹-۴) به ترتیب در شکل های ۴، ۴، ۴، ۴، ۴، ۴، ۴، ۴ ارائه شده است. در این نمودارها ظرفیت خازنی ویژه برای سری های دمائی ۱۰۰۰°C، ۹۰۰، ۸۰۰، ۷۰۰، ۹۰۰، ۱۰۰۰°C با یکدیگر قابل مقایسه می-

باشند. همانطور که در شکل ۳۳-۴ قابل مشاهده است در سرعت روش 5 mV/s با افزایش دمای کربونیزاسیون ظرفیت خازنی افزایش یافته است به طوریکه MC-700-5 ظرفیت خازنی 93 F/g دارد ولی MC-1000-5 ظرفیت خازنی در حدود 111 F/g را دارا می‌باشد. همانطور که در جدول ۷-۴ مشخص است با افزایش سرعت روش پتانسیل اختلاف بزرگتری در ظرفیت خازنی مواد سنتز شده در دماهای مختلف حاصل شده است. در این نمودارها مشخص است که مواد سنتز شده در دماهای بالای کربونیزاسیون بالاتر به شکل واضحی مطلوب‌تر می‌باشند.

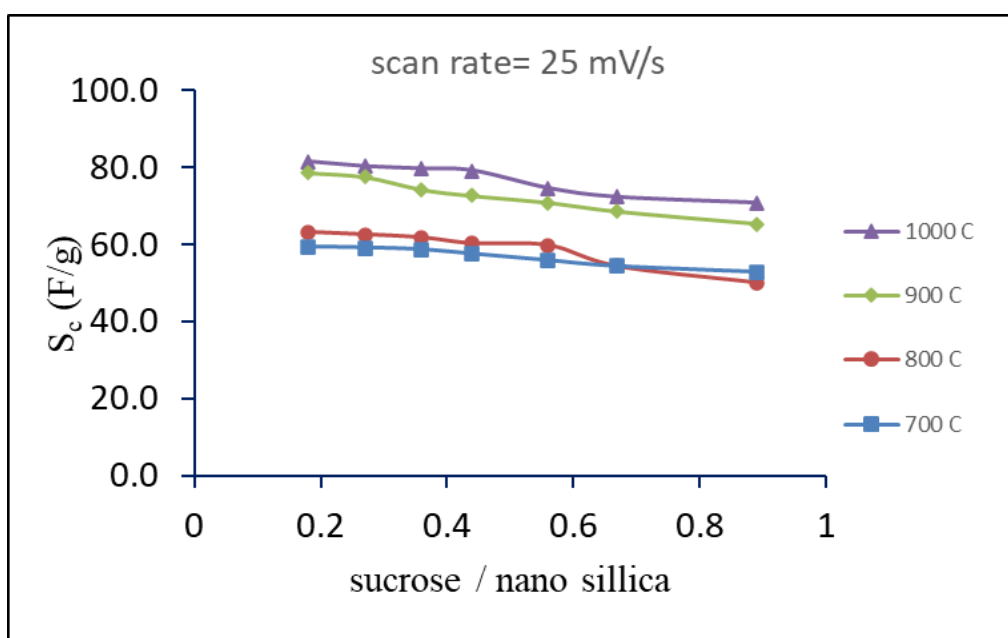


شکل ۳۳-۴ ظرفیت خازنی ویژه حاصل شده در الکتروولیت آبی سدیم سولفات برای ماده‌های سنتزی در روش ولتاوتمتری چرخه‌ای با سیستم سه الکترودی با سرعت روش 5 mV/s



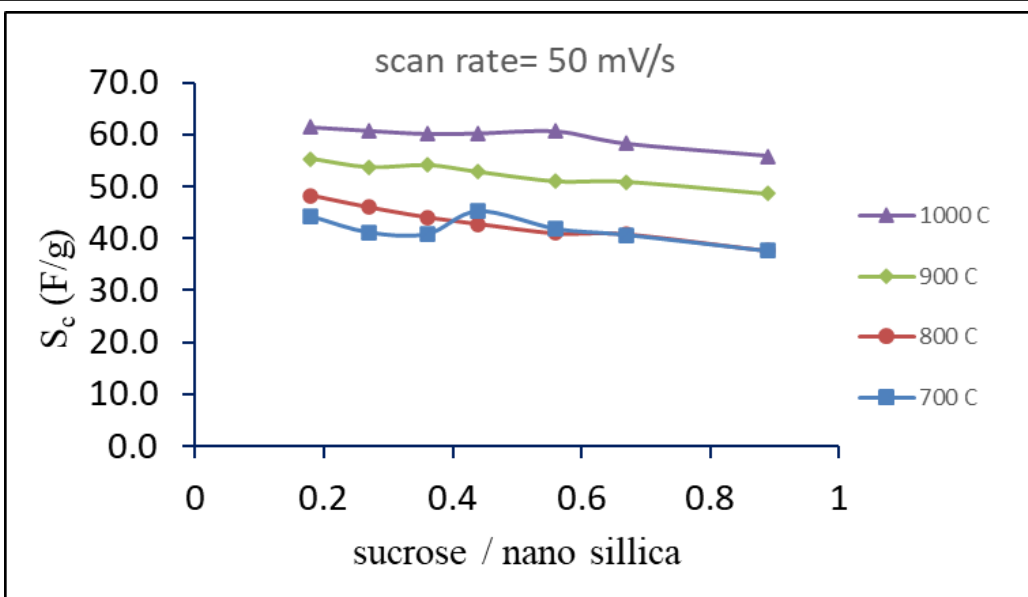
شکل ۳۴-۴ ظرفیت خازنی ویژه حاصل شده در الکتروولیت آبی سدیم سولفات برای ماده های سنتزی در روش ولتاوتمتری چرخه ای

با سیستم سه الکتروودی با سرعت روبش 10 mV/s

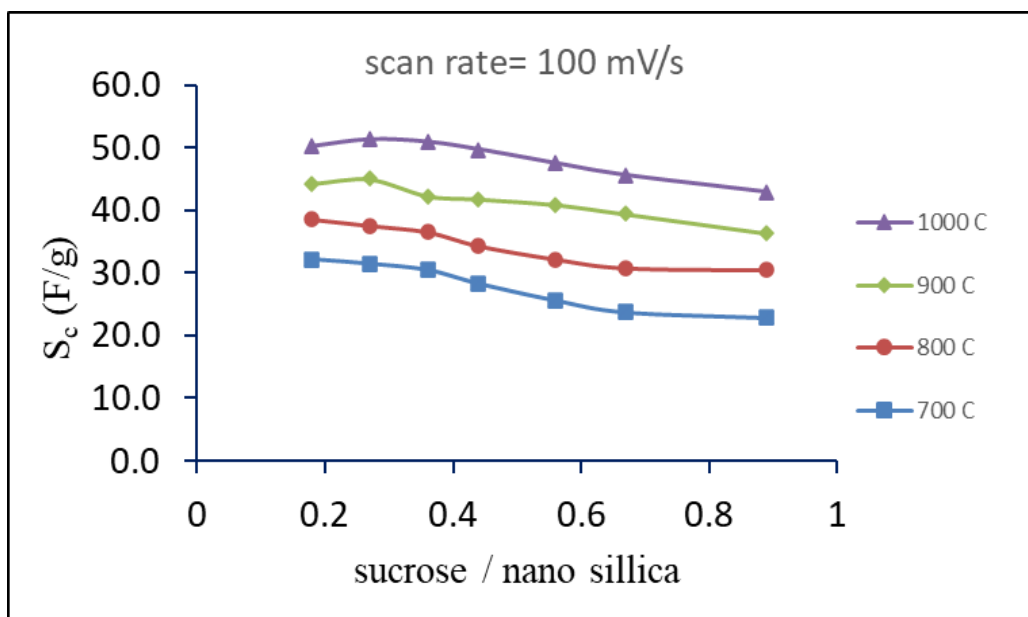


شکل ۳۵-۴ ظرفیت خازنی ویژه حاصل شده در الکتروولیت آبی سدیم سولفات برای ماده های سنتزی در روش ولتاوتمتری چرخه ای

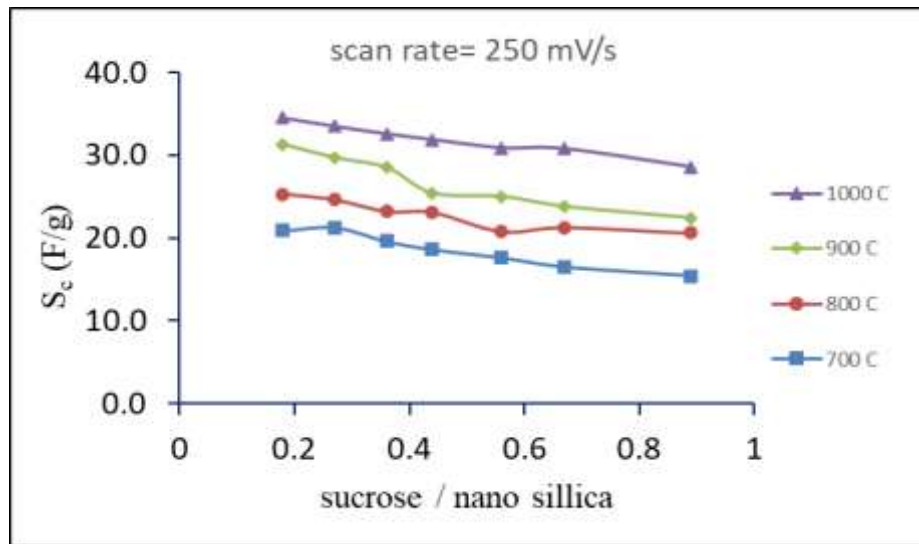
با سیستم سه الکتروودی با سرعت روبش 25 mV/s



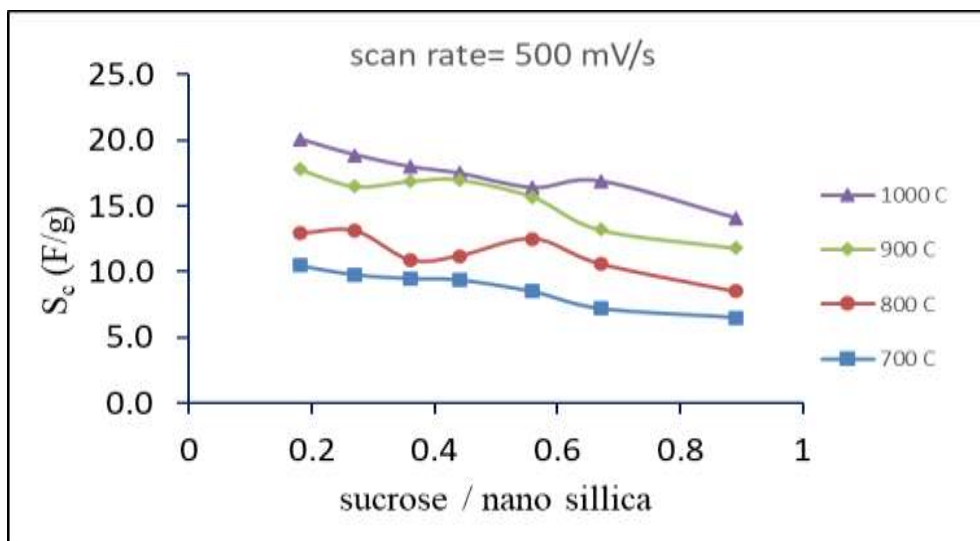
شکل ۳۶-۴ ظرفیت خازنی ویژه حاصل شده در الکتروولیت آبی سدیم سولفات برای ماده های سنتزی در روش ولتاوتمتری چرخه ای با سیستم سه الکتروودی با سرعت روبش 50 mV/s



شکل ۳۷-۴ ظرفیت خازنی ویژه حاصل شده در الکتروولیت آبی سدیم سولفات برای ماده های سنتزی در روش ولتاوتمتری چرخه ای با سیستم سه الکتروودی با سرعت روبش 100 mV/s



شکل ۳۸-۴ ظرفیت خازنی ویژه حاصل شده در الکترولیت آبی سدیم سولفات برای ماده های سنتزی در روش ولتاوتمتری چرخه ای با سیستم سه الکترودی با سرعت روبش 250 mV/s

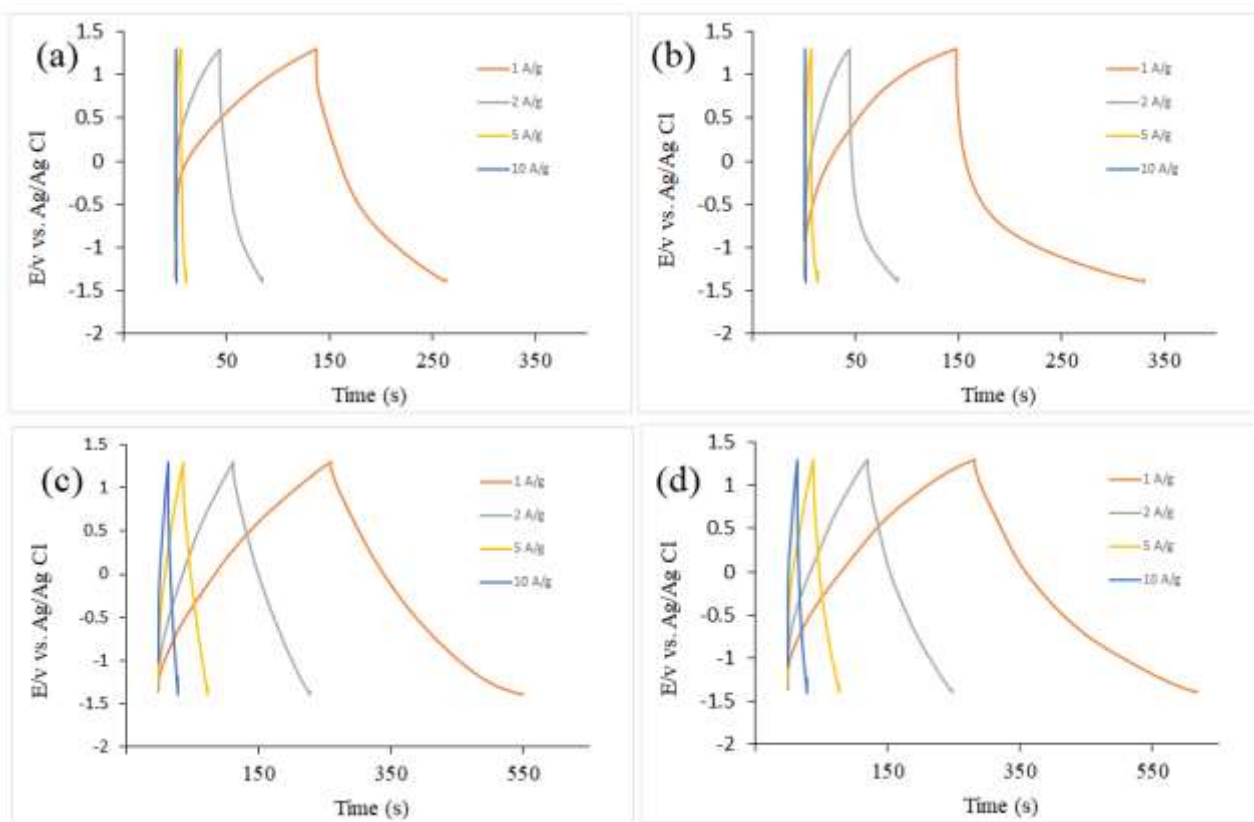


شکل ۳۹-۴ ظرفیت خازنی ویژه حاصل شده در الکترولیت آبی سدیم سولفات برای ماده های سنتزی در روش ولتاوتمتری چرخه ای با سیستم سه الکترودی با سرعت روبش 500 mV/s

همچنین در همه سرعتهای روبش مورد آزمایش با افزایش مقدار ساکارز و به تبع آن کاهش نسبت نانوذرات سیلیکا به ساکارز، یک کاهش به شکل نوسانی در ظرفیت خازنی مواد سنتز شده حاصل شده است. با توجه به اقتصادی تر بودن سنتزهای با شماره بالاتر (به طور مثال MC-1000-1 و MC-1000-7) و نتایج حاصل می توان مواد MC-1000-4 و MC-1000-5 را می توان به عنوان مواد الکترودی با عملکرد بهینه در این الکترولیت در نظر گرفت.

• روش شارژ و دشارژ

رفتار الکتروشیمیایی مواد سنتز شده در سیستم ۳ الکترودی شامل الکتروولیت تترا اتیل آمونیوم تترافلورو بورات در حلال استونیتریل نیز مشابه با الکتروولیت آبی سدیم سولفات و پتاسیم هیدروکسید مورد ارزیابی قرار گرفت. برای این منظور دانسیته‌های جریان متفاوت ۱، ۲، ۵ و 10 A/g به الکترودهای تهیه شده اعمال شد و پروفایل شارژ و دشارژ مواد MC-800-5، MC-700-5، MC-1000-5 و MC-900-5 را به طور نمونه از پروفایل مواد مطالعه نشان داده است.

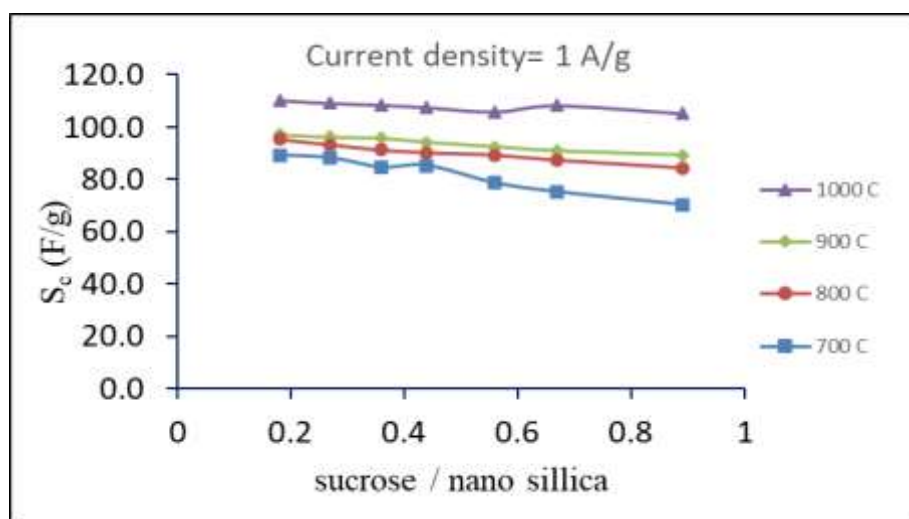


شکل ۴۰-۴ منحنی های حاصل در روش شارژ/دشارژ در سیستم سه الکترودی برای ماده های (a) MC-800- (b) MC-700-5 (c) MC-1000-5 و (d) MC-900-5 در محلول ۱ مولار تترا اتیل آمونیوم تترافلورو بورات در حلال استونیتریل همانطور که در این نمودار به وضوح مشخص است پروفایل شارژ/ دشارژ هر کدام از موارد مورد اشاره در هر کدام از دانسیته های جریان اعمال شده، به شکل مثلث می باشد که انحراف محسوسی از یک مثلث ایده آل ندارد که بیانگر

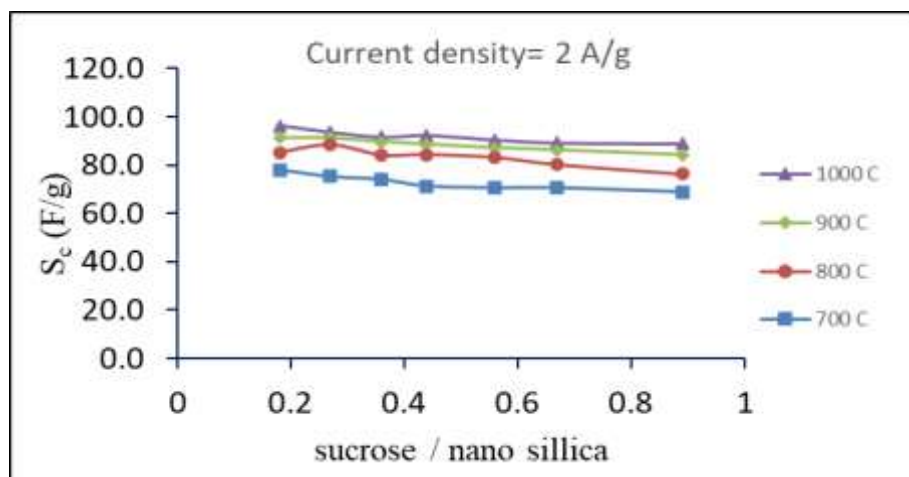
رفتار ایده آل یک خازن لایه دوگانه الکتریکی برای مواد مورد مطالعه است. قابل ذکر است برای سایر مواد مطالعه نیز

رفتار مشابه مشاهده شد.

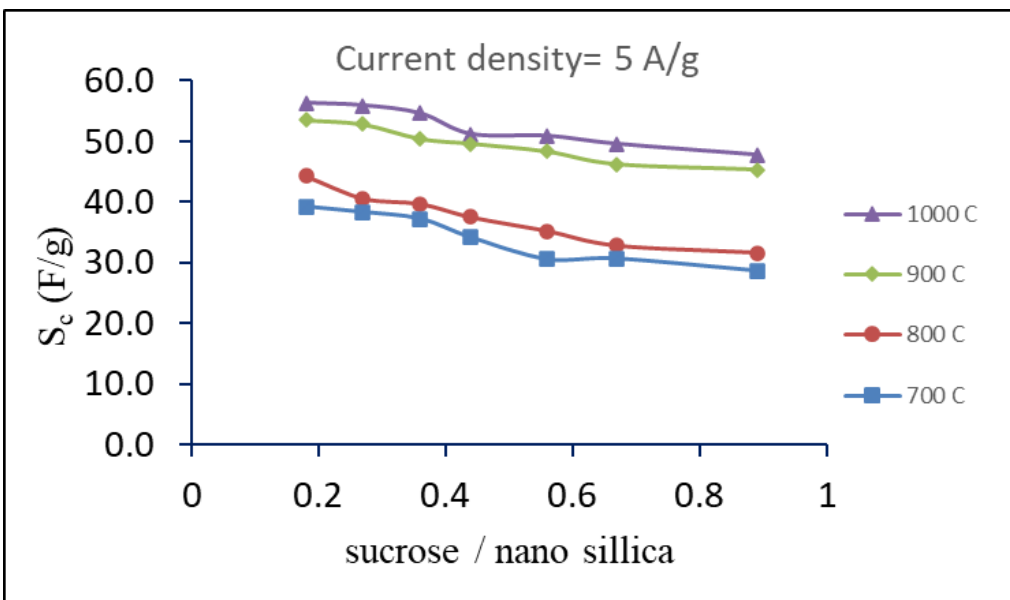
ظرفیت خازنی هر ماده در دانسیته جریان شارژ/دشارژ توسط معادله ۲-۴ مورد محاسبه قرار گرفت و نتایج مربوط به دانسیته جریان ۱، ۲، ۵ و g/A ۱۰ به ترتیب در شکل‌های ۴-۴، ۴۲-۴۱، ۴-۴ و ۴۳-۴۲ و همچنین جدول ۷-۴ ارائه شده‌اند. در هر نمودار اثر دمای کربونیزاسیون و نسبت ساکارز به نانو ذرات سیلیکا در ظرفیت خازنی ویژه قابل ارزیابی می‌باشد.



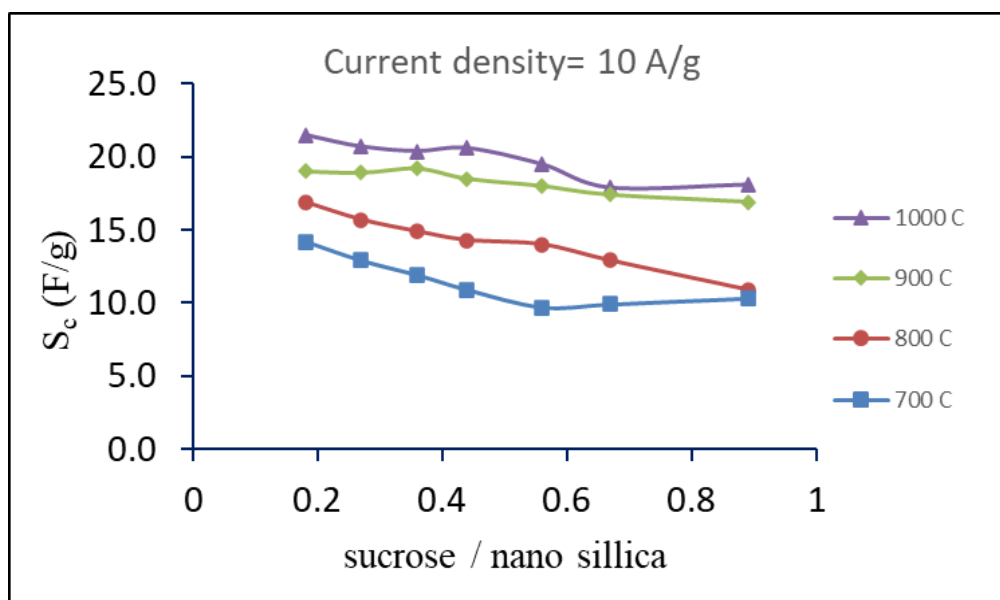
شکل ۴-۴۱- ظرفیت خازنی ویژه محاسبه شده برای مواد سنتزی با روش شارژ/دشارژ با دانسیته جریان g/A ۱ در سیستم سه الکترودی با الکتروولیت تترا اتیل آمونیوم تترا فلورو بورات در حلal استو نیتریل



شکل ۴-۴۲- ظرفیت خازنی ویژه محاسبه شده برای مواد سنتزی با روش شارژ/دشارژ با دانسیته جریان g/A ۲ در سیستم سه الکترودی با الکتروولیت تترا اتیل آمونیوم تترا فلورو بورات در حلal استو نیتریل



شکل ۴-۴۳ ظرفیت خازنی ویژه محاسبه شده برای مواد سنتزی با روش شارژ/دشارژ با دانسیته جریان ۵ A/g در سیستم سه الکترودی با الکتروولیت تترا اتیل آمونیوم تترافلورو بورات در حلال استو نیتریل



شکل ۴-۴۴ ظرفیت خازنی ویژه محاسبه شده برای مواد سنتزی با روش شارژ/دشارژ با دانسیته جریان ۱۰ A/g در سیستم سه الکترودی با الکتروولیت تترا اتیل آمونیوم تترافلورو بورات در حلال استو نیتریل

جدول ۷-۴ ظرفیت خازنی ویژه محاسبه شده برای ماده های مختلف سنتز شده در شارژ/دشارژ در سیستم سه الکتروودی با

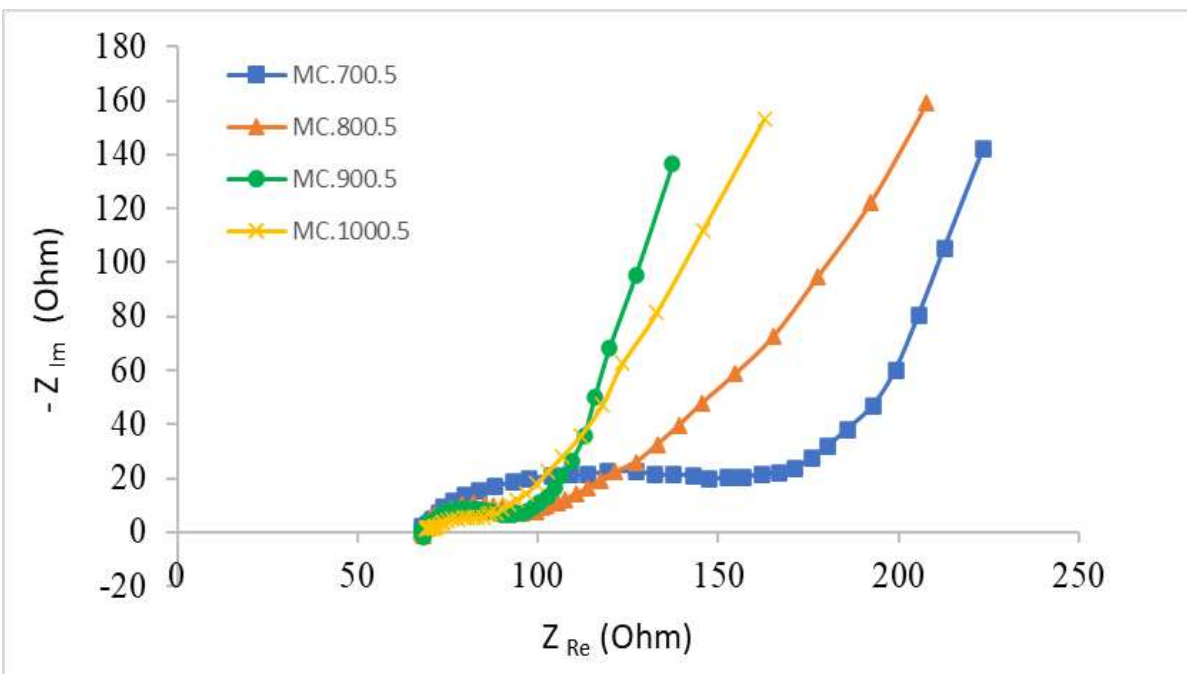
الکترولیت ترا اتیل آمونیوم تترا فلورو بورات با دانسیته جریان $A/g - 10$ و قابلیت سرعت حاصل شده برای هر ماده

TEA.BF4	1 A/g	2 A/g	5 A/g	10 A/g	Rate Capability (%)
MC.700-1	89.2	78.1	39.2	14.2	15.9
MC.700-2	88.2	75.3	38.3	12.9	14.6
MC.700-3	84.6	74.1	37.2	11.9	14.1
MC.700-4	85.3	71.3	34.1	10.9	12.8
MC.700-5	78.6	70.6	30.5	9.7	12.3
MC.700-6	75.2	70.6	30.6	9.9	13.2
MC.700-7	70.3	68.9	28.6	10.3	14.7
MC.800-1	95.3	85.2	44.3	16.9	17.7
MC.800-2	93.2	88.3	40.6	15.7	16.8
MC.800-3	91.2	84.1	39.7	14.9	16.3
MC.800-4	90.2	84.3	37.5	14.3	15.9
MC.800-5	89.2	83.1	35.2	14	15.7
MC.800-6	87.3	80.2	32.8	12.9	14.8
MC.800-7	84.3	76.3	31.6	10.9	12.9
MC.900-1	97.2	91.2	53.5	19	19.5
MC.900-2	96.2	91.1	52.8	18.9	19.6
MC.900-3	95.8	89.6	50.4	19.2	20.0
MC.900-4	94.3	88.6	49.6	18.5	19.6
MC.900-5	92.5	87.1	48.3	18	19.5
MC.900-6	90.9	86.2	46.2	17.4	19.1
MC.900-7	89.2	84.2	45.3	16.9	18.9
MC.1000-1	110.3	96.3	56.3	21.5	19.5
MC.1000-2	109.2	93.6	55.9	20.7	19.0
MC.1000-3	108.5	91.6	54.6	20.4	18.8
MC.1000-4	107.6	92.3	51.2	20.6	19.1
MC.1000-5	105.9	90.5	50.9	19.5	18.4
MC.1000-6	108.3	89.3	49.6	17.9	16.5
MC.1000-7	105.3	88.9	47.8	18.1	17.2

همانطور که در همه این نمودارها قبل مشاهده است با افزایش مقدار ساکارز (کاهش نسبت ساکارز به نانو سیلیکا) ظرفیت خازنی تا حدودی کاهش می‌یابد که مربوط به کاهش مساحت سطح ماده کربنی سنتز شده می‌باشد. به طور مثال در دانسیته شارژ/ دشارژ A/g , ماده ۱- $MC-1000$ ظرفیت در حدود $56 F/g$ را ارائه نموده در حالیکه ماده ۷- $MC-1000$ ظرفیت در حدود $48 F/g$ را حاصل نموده است. همچنین با مقایسه نتایج حاصل برای نمونه‌های سنتز شده در دماهای بالاتر نسبت به نمونه‌های سنتز شده در دماهای پایین‌تر مشخص شد که ظرفیت خازنی برای مواد سنتز شده در دمای بالاتر، با مقدار واضحی بیشتر از مواد سنتز شده در دماهای پایین‌تر می‌باشد. به طور مثال در دانسیته جریان A/g , ماده ۵- $MC-1000$ ظرفیت خازنی محاسبه شده حدود $20 F/g$ می‌باشد در حالیکه ظرفیت خازنی ماده ۵- $MC-700$ حدود $10 F/g$ برآورده شده است. به طور کلی می‌توان نتیجه گیری نمود که با مطالعه رفتار شارژ و دشارژ الکتروولیت تترا اتیل آمونیوم تترا فلورو بورات در سیستم ۳ الکترودی، مواد سنتز شده در دمای $1000^{\circ}C$ با نسبت‌های ساکارز به نانو ذرات سیلیکا در محدوده $56-36/0$ سنتزهای شماره ۵-۳ مناسبترین ظرفیت خازنی را ارائه می‌دهند.

۴-۳-۱-۴ طیف سنجی امپدانس الکتروشیمیایی

با توجه به اینکه روش طیف سنجی امپدانس الکتروشیمیایی یک روش مفید و کاربردی برای مطالعه فرآیندهای اساسی الکتروشیمیایی در سطح الکترودها می‌باشد از این رو آزمون امپدانس الکتروشیمیایی در محدوده فرکانس $100 mHz$ - $100 KHz$ در یک مدار باز (بدون اعمال پتانسیل) و در محلول الکتروولیت تترا اتیل آمونیوم تترا فلورو بورات در استونیتریل بر روی الکترودهای ۵- $MC-700$, ۵- $MC-800$, ۵- $MC-900$ و ۵- $MC-1000$ انجام شد. نتایج حاصل از این آزمایش به شکل نمودارهای نایکوئیست در شکل ۴-۴ نشان داده شده است.



شکل ۴-۴ نمودار های نایکوئیست حاصل از طیف سنجی امپدانس الکتروشیمیایی برای نمونه های MC-800-5، MC-700-5، MC-900-5 و MC-1000-5 در سیستم سه الکترودی با الکتروولیت تترا اتیل آمونیوم تترافلورو بورات در حلول استونیتریل همه الکترودهای مورد بررسی یک قسمت تقریباً نیم دایره ای (مربوط به فرکانس های اعمالی بالا) از خود نشان می دهند. اندازه این نیم دایره برای الکترودهای مورد مطالعه به ترتیب ذیل می باشد:

$$MC-700-5 > MC-800-5 > MC-900-5 > MC-1000-5$$

بار در سطح الکترود MC-700-5 حاصل شده است و با افزایش دمای کربونیزاسیون مقدار مقاومت در برابر انتقال بار کاهش یافته است. نتایج حاصل از این روش در هماهنگی کامل با نتایج حاصل از روش های ولتا متري چرخه ای و شارژ / دشارژ می باشد که بیان می کنند با افزایش دمای کربونیزاسیون ظرفیت خازنی ویژه افزایش می یابد. در نمودارهای نایکوئیست ارائه شده در شکل ۴-۴ یک قسمت خطی وجود دارد که در فرکانس های پایین ایجاد شده است. خطوط حاصل شده برای همه نمونه ها تقریباً خط عمودی است که بیانگر رفتار لایه دوگانه خازن الکتروشیمیایی برای الکترودهای مورد بررسی می باشد.

۴-۳-۵ نتیجه‌گیری و انتخاب شرایط بهینه سنتز

• دمای بهینه کربونیزاسیون

همانطور که به طور مفصل در بخش‌های قبلی ارائه شد نتایج حاصل از ولتاوتمتری چرخه‌ای و روش شارژ / دشارژ نشان می‌دهد که در همه الکتروولیت‌های مورد بررسی و در نسبت‌های ساکارز به نانو سیلیکای مختلف، با افزایش دمای کربونیزاسیون از 700°C تا 1000°C ظرفیت خازنی به شکل محسوسی افزایش می‌یابد. همچنین مطالعات نشان می‌دهد قابلیت سرعت نمونه‌های سنتز شده در دمای 1000°C به نحو چشمگیری نسبت به نمونه‌های سنتز شده در دمای 700°C بالاتر می‌باشد. قابلیت سرعت بالاتر یکی از عوامل مهم عملکرد ماده الکتروودی می‌باشد. با توجه به نتایج حاصل شده دمای کربونیزاسیون 1000°C برای سنتز نمونه بهینه و ساخت ابر خازن الکتروشیمیایی از آن انتخاب شده است. دلیل افزایش ظرفیت خازنی ویژه همزمان با افزایش دمای کربونیزاسیون به افزایش هدایت الکتریکی ماده کربنی نسبت داده می‌شود به منظور تأیید این نتیجه گیری آزمایش طیف سنجی امپدانس الکتروشیمیایی انجام گرفت که نتایج آن در بخش بعدی ارائه خواهد شد.

• نسبت ساکارز به نانو ذرات سیلیکا

همانطور که در بررسی نتایج حاصل شده مشخص شد با افزایش مقدار ساکارز مورد استفاده در فرایند سنتز، ظرفیت خازنی تا حدی کاهش می‌یابد. این کاهش در ظرفیت خازنی برای همه الکتروولیت‌های مورد مطالعه و در هر دو روش ولتاوتمتری چرخه‌ای و شارژ / دشارژ مشاهده شد. قابل اشاره می‌باشد که این کاهش در مقدار ظرفیت ویژه در مقایسه با دمای کربونیزاسیون خیلی کمتر می‌باشد.

البته در انتخاب مقدار ساکارز مورد استفاده پارامتر اقتصادی بودن فرایند سنتز نیز مطرح می‌باشند با افزایش مقداری ساکارز، مقدار ماده کربنی حاصل از سنتز افزایش می‌یابد (جدول ۴-۸) که در نتیجه باعث خواهد شد که محصول نهایی قیمت پایین‌تری داشته باشد.

نام ماده کربنی	مقدار ساکارز (گرم)	مقدار نانوسیلیکا گرم)	مقدار کربنی حاصل شده	نام ماده کربنی	مقدار ساکار ز (گرم)	مقدار نانوسیلی کا (گرم)	مقدار کربنی حاصل شده
MC.700-1	8	45	0.8	MC.900-1	8	45	0.9
MC.700-2	12	45	1/3	MC.900-2	12	45	1/3
MC.700-3	16	45	1/8	MC.900-3	16	45	2/0
MC.700-4	20	45	2/1	MC.900-4	20	45	2/4
MC.700-5	25	45	3/3	MC.900-5	25	45	3/8
MC.700-6	30	45	3/9	MC.900-6	30	45	4/1
MC.700-7	40	45	4/8	MC.900-7	40	45	5/1
MC.800-1	8	45	0/9	MC.1000-1	8	45	0/9
MC.800-2	12	45	1/4	MC.1000-2	12	45	1/2
MC.800-3	16	45	1/8	MC.1000-3	16	45	1/9
MC.800-4	20	45	2.1	MC.1000-4	20	45	2/1
MC.800-5	25	45	3/2	MC.1000-5	25	45	3/6
MC.800-6	30	45	3/7	MC.1000-6	30	45	4/1
MC.800-7	40	45	4/6	MC.1000-7	40	45	5/1

کاهش ظرفیت خازنی همزمان با افزایش مقدار ساکارز مورد استفاده در فرایند سنتز به کاهش مساحت سطح ویژه ترکیبات کربنی ارتباط داده می‌شود. برای تأیید این موضوع آزمون‌های تعیین مساحت سطح ویژه با روش جذب/ جذب نیتروژن انجام شد که نتایج حاصل در بخش ۴-۴-۲ ارائه خواهد شد. همانطور که اشاره شد کاهش ظرفیت خازنی ویژه که با افزایش مقدار ساکارز اتفاق می‌افتد خیلی چشمگیر نمی‌باشد و نمونه ۵-1000 MC ظرفیتی خازنی تقریباً برابر با ماده ۳-1000 MC را دارا می‌باشند در نتیجه نسبت وزنی $= ۰/۵۶$ نانوسیلیکا/ ساکارز در ماده ۱000- MC تقریباً به عنوان مقدار بهینه انتخاب شد.

• الکتروولیت

همانطور که اشاره شد از مطالعات انجام شده ۳ الکترولیت محلول آبی سدیم سولفات، محلول آبی پتاسیم هیدروکسید و محلول تترا اتیل آمونیوم تترا فلورو بورات در حلال استونیتریل به عنوان الکترولیت مورد ارزیابی قرار گرفتند. یکی از مهمترین فاکتورها در انتخاب الکترولیت پنجره پتانسیل قابل دسترسی در آن می‌باشد. جدول ۹-۴ پنجره پتانسیل حاصل برای هر الکترولیت را نشان می‌دهد. همانطور که در این جدول اشاره شده است الکترولیت تترا اتیل آمونیوم تترا فلورو بورات است پنجره پتانسیل بسیار بزرگتری (۲/۸ ولت) در مقایسه با الکترولیت سدیم سولفات با پنجره پتانسیل ۱/۶ ولت و الکترولیت پتاسیم هیدروکسید با پنجره پتانسیل ۱ ولت دارا می‌باشد. قابل ذکر است بررسی منابع علمی نشان می‌دهد که ظرفیت خازنی یک ماده کربنی متخلف در الکترولیتهای آلی در مقایسه با الکترولیتهای کاهش پیدا می‌کند ولی برای مواد کربنی مورد مطالعه در این پژوهه ظرفیت خازن الکترولیت آلی مشابه با الکترولیتهای آلی می‌باشد. با توجه به اهداف پژوهه که ساخت ابر خازن با ولتاژ کاری حدود ۲/۷ ولت می‌باشد الکترولیت تترا اتیل آمونیوم تترا فلورو بورات در حلال استو نیتریل برای ادامه مطالعات و ساخت ابر خازن شیمیایی انتخاب شد.

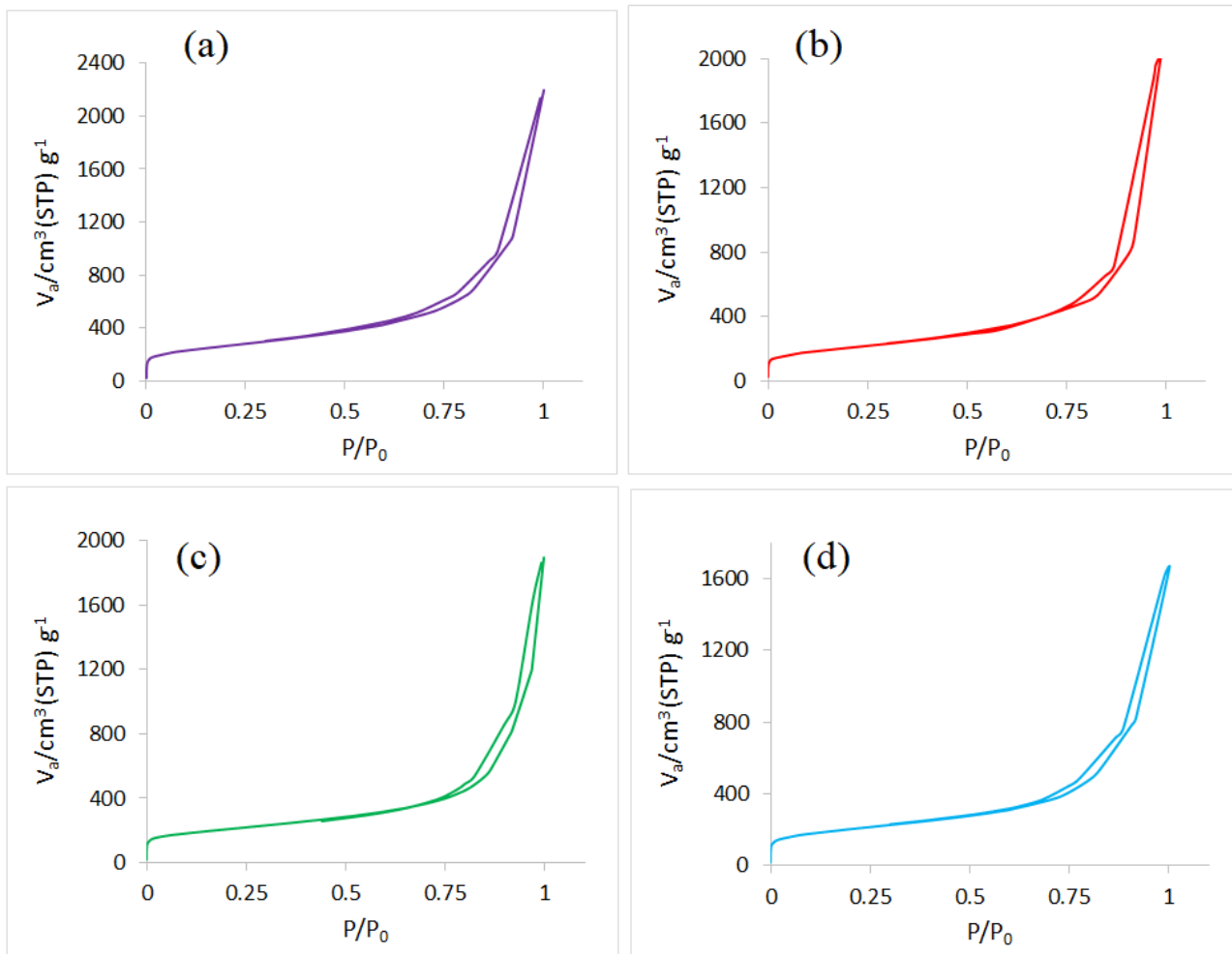
جدول ۹۸-۴ مقایسه پنجره پتانسیل الکترولیت‌های مورد مطالعه و ظرفیت خازنی ویژه ماده ۵-۱۰۰۰-MC

نام الکترولیت	پنجره پتانسیل (ولت)	ظرفیت خازنی ویژه ماده ۵-۱۰۰۰-MC (F/g)	ظرفیت خازنی ویژه ماده ۵ (F/g): حاصل شده با روش شارژ/دشارژ با دانسیته جریان g/A
آبی سدیم سولفات	۱/۶	۸۰	۱
آبی پتاسیم هیدروکسید	۱	۱۰۸	
تترا اتیل آمونیوم تترا فلورو بورات در استو نیتریل	۲/۸	۱۰۶	

۴-۳-۴ آزمونهای مشخصه یابی فیزیکو شیمیایی

۴-۳-۲-۱ آزمون جذب/واجدب نیتروژن

تخلخل نمونه‌های سنتز شده با روش جذب و واجدب نیتروژن مورد بررسی قرار گرفت. برای این منظور نمونه‌های MC-1000-7، MC-1000-5، MC-1000-3، MC-1000-1 و MC-1000-4 مورد بررسی قرار گرفتند. طیف جذب/واجدب نیتروژن نمونه‌های ذکر شده در شکل ۴ آمده است.



شکل ۴ نمودارهای جذب/واجدب نیتروژن برای نمونه های (a) MC-1000-1، (b) MC-1000-4، (c) MC-1000-3 و (d) MC-1000-7

جدول ۴-۱۰ مساحت سطح ویژه و میانگین اندازه حفرات مواد آنالیز شده

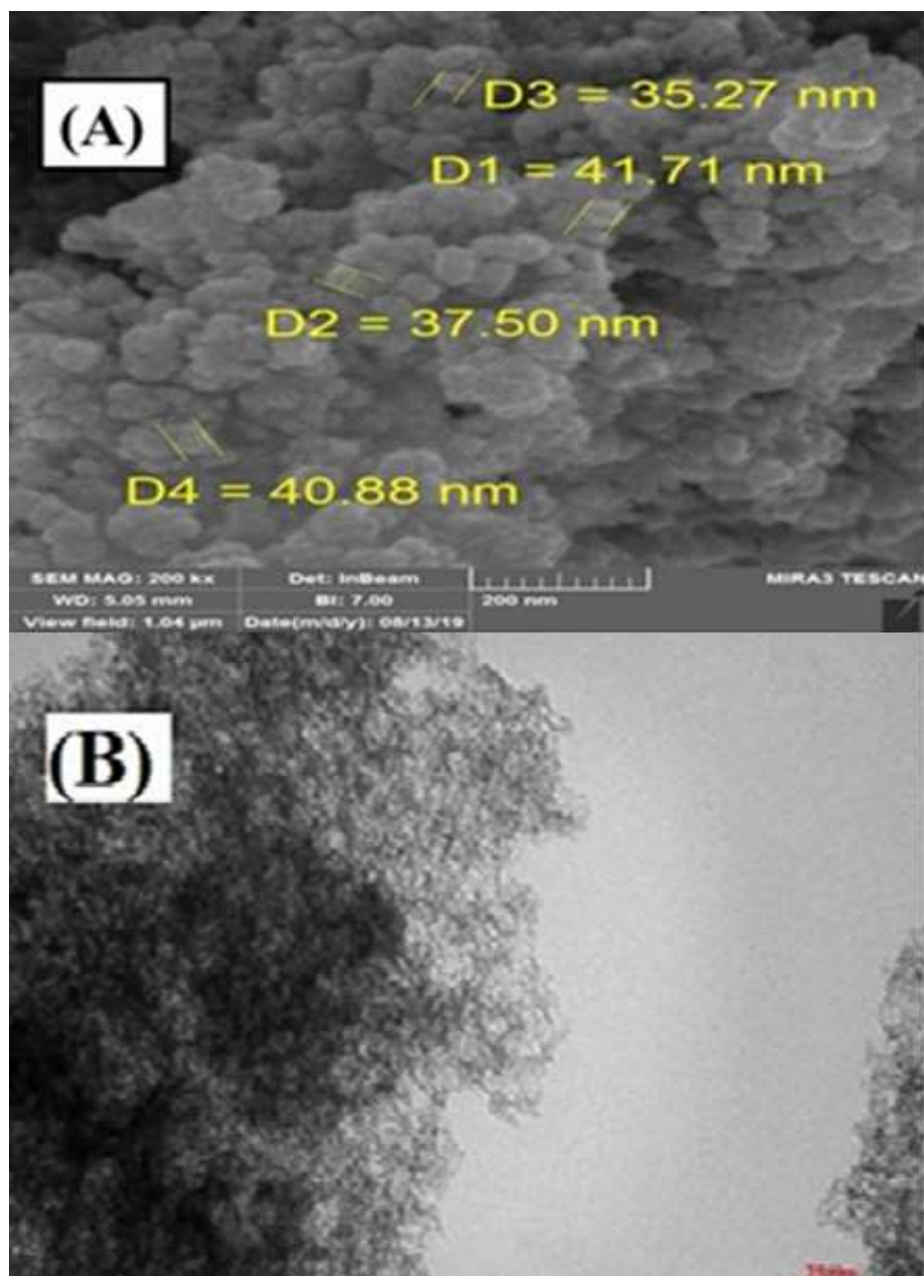
نام ماده	مساحت سطح (m^2/g)	میانگین اندازه حفرات (nm)
MC-1000-1	1090	12.4
MC-1000-3	970	12.5
MC-1000-5	920	12.4
MC-1000-7	790	12.5

در نمودارهای حاصل همه نمونه‌های مورد ارزیابی، ایزوترم نوع IV را حاصل نموده‌اند. که طبق دسته بندی آیوپاک متعلق به ترکیبات مزوپور با حفرات در محدوده $50-2 nm$ می‌باشد. مساحت سطح ویژه نمونه‌ها و متوسط اندازه حفرات مواد مورد مطالعه در جدول ارائه شده است. بیشترین مساحت سطح ویژه با اندازه $10.90 m^2/g$ متعلق به ماده 1-1000 MC-1000-1 می‌باشد. همانطور که در جدول ۴-۱ اشاره شده است در این سنتر کمترین مقدار پیش ماده کربنی ساکارز مورد استفاده قرار گرفته است. با افزایش مقدار پیش ماده کربنی در سایر نمونه کاهش تدریجی در مساحت سطح ویژه اتفاق افتاده است به طوریکه مساحت سطح ویژه ماده 7-1000 MC-1000-7 حدود $7.90 m^2/g$ می‌باشد. همانطور که نتایج مشخص می‌شود با کاهش نسبت نانوسیلیکا/ساکارز مورد استفاده در سنترها تخلخل مواد کربنی حاصل کاهش یافته است. با این حال این کاهش در مساحت سطح خیلی شدید نمی‌باشد به طوریکه ماده 5-1000 MC-1000-5 با داشتن مساحت سطح ویژه حدود $9.20 m^2/g$ درصد مساحت سطح ویژه نمونه 1-1000 MC-1000-1 را دارا می‌باشد. نتایج حاصل در این مطالعه تأیید کننده نتایج مطالعات الکتروشیمیایی می‌باشد.

۴-۳-۲-۴ بررسی ریخت شناختی با استفاده از تکنیک میکروسکوپ الکترونی روبشی و میکروسکوپ الکترونی عبوری

برای بررسی ریخت شناختی؛ تصاویر میکروسکوپ الکترونی روبشی و میکروسکوپ الکترونی عبوری از ماده 5-1000 MC-1000-5 گرفته شد. همانطور که در شکل ۴-۴۷ مشاهده می‌شود ماده کربنی سنتر شده دارای ساختار حفره‌ای با

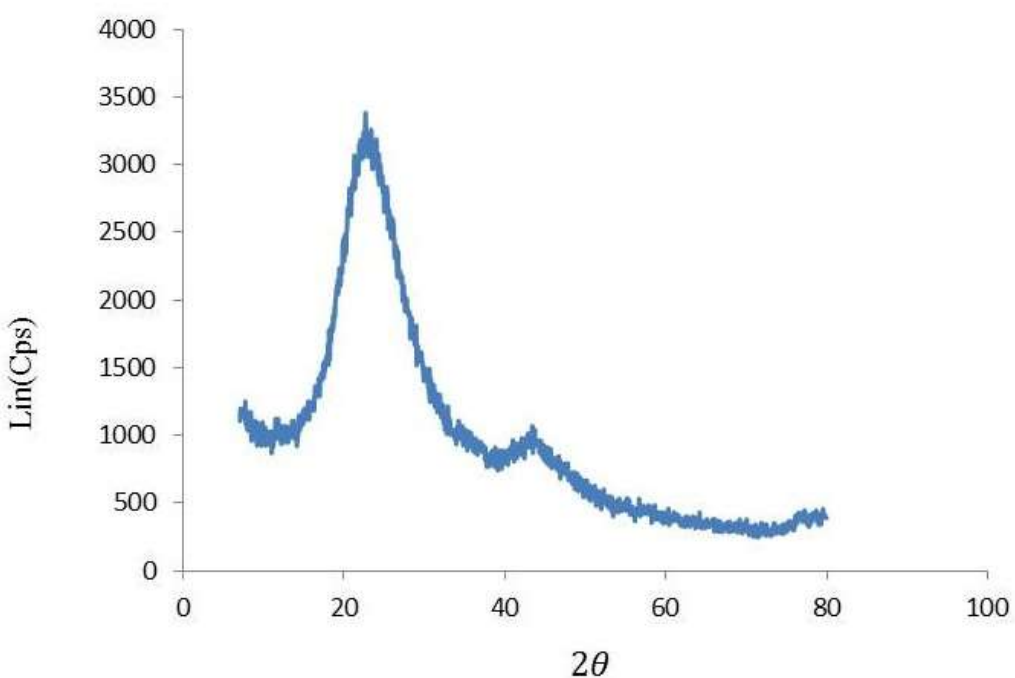
مساحت سطح بالا می‌باشد. میانگین اندازه ذرات در این ساختارها حدود ۵۰ نانومتر است این ذرات به شکل گوی های در هم تنیده هستند. تصویر میکروسکوپ الکترونی عبوری مربوط به این ماده نشان‌دهنده ساختاری حفره ای شبکه ای همراه با اتصالات درون شبکه ای است. چنین ساختاری نفوذ یون‌ها به درون ساختار کربنی را تسهیل می‌کند و خواص ابرخازنی لایه دوگانه الکتریکی را افزایش می‌دهند. اندازه حفرات مشاهده شده در این تصویر حدود ۱۰ نانو متر است که با نتیجه حاصل از آزمون جذب/واجدب نیتروژن همخوانی دارد.



شکل ۴-۴۷-۴ (A) تصویر میکروسکوپ الکترونی رویشی و (B) تصویر میکروسکوپ الکترونی عبوری مربوط به ماده ۵-1000-MC

۴-۳-۲-۲ بررسی ریخت شناختی با استفاده از روش پراش پرتو ایکس

الگوی پراش پرتو ایکس روشنی برای بررسی فاز کریستالی و اطلاعات ساختاری ترکیبات نانوساختار می‌باشد که در آن شدت پراش بر حسب 2θ رسم می‌شود که θ زاویه پراش مرسوم به زاویه برآگ می‌باشد. در این الگو هر چقدر پیک‌ها شارپ‌تر و دارای شدت بالایی باشند، نشان‌دهنده کریستالیزاسیون بالای نانو ذرات می‌باشد و هر چقدر پیک‌ها پهن باشند و دارای شدت کمتری باشند، نشان‌دهنده کریستالیزاسیون ضعیف نانو ذارت و ساختار آمورف آن‌ها می‌باشد. شکل ۴۸-۴ الگوی پراش پرتو ایکس کربن مزوحفه با نقص ساختاری بالا را نشان می‌دهد. دو پیک پهن در حدود ۲۵ و ۴۳ مشاهده می‌شود که این پیک‌های مشاهده شده برای این ساختار کربنی به ترتیب الگوی پراش (002) و (100) ترکیبات کربنی مطابقت دارد.



شکل ۴۸-۴ الگوی پراش پرتو ایکس ماده متخلخل کربنی MC-1000-5

: منابع

- [1] M. Thommes, Physical Adsorption Characterization of Nanoporous Materials, *Chemie Ingenieur Technik*, 82 (2010) 1059-1073.
- [2] P. Dou, Z. Liu, Z. Cao, J. Zheng, C. Wang, X. Xu, *J. Mater. Sci.* 51 (2016) 4274-4282.
- [3] J. Ma, X. Tao, S. Zhou, X Song, Y. Wang, *J. Electroanal. Chem.* 835 (2019) 346–353
- [4] H. He, L Ma, S. Fu, M. Gan, L. Hu, H. Zhang, *Appl. Surf. Sci.* 484 (2019) 1288–1296
- [5] H. Liu, B. Xu, M. Jia, M. Zhang, B. Cao, X. Zhao, Y. Wang, *Appl. Surf. Sci.* 332 (2015) 40–46.
- [6] M. Javed, S. Mustansar Abbas, M. Siddiq, D. Han, L. Niu, *J Phys Chem Solids* 113 (2018) 220–228
- [7] K. Xie, M. Zhang, Y. Yang, L. Zhao, W. Qi, *Nanoscale Res. Lett.* 13 (2018) 163-171.
- [8] Y. Zhao, Z. Zhang, Y. Ren, W. Ran, X. Chen, J. Wu, F.Gao, *J. Power Sources* 286 (2015) 1-9.
- [9] S. A. Delbari, L. S. Ghadimi, R. Hadi, S. Farhoudian, M. Nedaei, A. Babapoor, A. Sabahi Namini, Q. VanLe, review, *J. Alloys Compd.* 857 (2021) 158281.
- [10] S. Koohi-Fayegh, M. A. Rosen, *J. Energy Storage* 27 (2020) 101047,
- [11] M. Liu, Y. Yu, B. Liu, L. Liu, H. Lv,A. Chen, *J. Alloys Compd.* 768 (2018) 42-
- [12] B. K. Kim, S. Sy, Aiping Yu, J. Zhang, *Electrochemical Supercapacitors for Energy Storage and Conversion*, in: L. John Wiley & Sons (Ed.) *Handbook of Clean Energy Systems*, John Wiley & Sons, Ltd.2015, pp. 1-25.
- [13] J. Conder, K. Fic, C.M. Ghimbeu, *Supercapacitors (electrochemical capacitors)*. In: M. Jeguirim, L. Limousy, (Eds.) *Char Carbon Mater. Deriv. from Biomass*, Elsevier; 2019, p. 383–427.
- [14] L.M. Da Silva, R. Cesar, C.M.R. Moreira, J.H.M. Santos, L.G. De Souza, B.M. Pires, R. Vicentini, W. Nunes, H. Zanin, *Energy Storage Mater.* 27 (2020) 555–590.
- [15] A. Afif, S. MH Rahman, A. Tasfiah Azad, J. Zaini, *J. Energy Storage* 25 (2019) 100852.
- [16] A. González, E. Goikolea, J. A. Barrena, R. Mysyk, *Renew. Sust. Energ. Rev.* 58 (2016)1189–1206
 - [17]R. S. Kate, S. A. Khalate, R. J.Deokate, *J. Alloys Compd.* 734 (2018) 89-111.
- [18] F. Liaoaa, X. Hana, D. Chengb, Y. Zhangaa, X. Hanc, C. Xua, H. Chena, *Ceram. Int.* 45 (2019) 1058-1066.
- [19] B. Wang, J. Qiu, H. Feng, N. Wang, E. Sakai, T. Komiyama, *Electrochim. Acta* 212 (2016) 710-721.
 - [20] X. Ji, D. Sun, W. Zou, Z. Wang, D.Sun, *J. Alloys Compd.* 876 (2021) 160112.